

การออกแบบและวิเคราะห์ 1- ϕ เดลต้ามีอดคเดต พี ดับบลิว เอ็ม อินเวอร์เตอร์
ที่มีการป้อนกลับทางแรงดัน พี ดับบลิว เอ็ม เอาท์พุท
สำหรับแหล่งจ่ายกระแสสลับ

DESIGN AND ANALYSIS OF A 1- ϕ DELTA MODULATED AC POWER SUPPLY
PWM OUTPUT VOLTAGE FEEDBACK

คมสัน กลีบบัว

KHOMSAN KLEEBBUA

วิทยานิพนธ์นี้เป็นส่วนหนึ่งของการศึกษาตามหลักสูตรปริญญาวิศวกรรมศาสตรมหาบัณฑิต
สาขาวิชาวิศวกรรมไฟฟ้า
บัณฑิตวิทยาลัย

สถาบันเทคโนโลยีพระจอมเกล้าเจ้าคุณทหารลาดกระบัง

พ.ศ. 2546

ISBN 974-324-222-8

การออกแบบและวิเคราะห์ 1 - ϕ เดลต้ามีอดดูเลต พี ดับบลิว เอ็ม อินเวอร์เตอร์
ที่มีการป้อนกลับทางแรงดัน พี ดับบลิว เอ็ม เอาท์พุท
สำหรับแหล่งจ่ายกระแสสลับ

DESIGN AND ANALYSIS OF A 1 - ϕ DELTA MODULATED AC POWER SUPPLY
PWM OUTPUT VOLTAGE FEEDBACK



คมสัน กลีบบัว

KHOMSAN KLEEBBUA

เลขหมู่.....
เลขทะเบียน 49634
วัน, เดือน, ปี 25 ก.พ. 2547

b.....
i.....

วิทยานิพนธ์นี้เป็นส่วนหนึ่งของการศึกษาตามหลักสูตรปริญญาวิศวกรรมศาสตรมหาบัณฑิต

สาขาวิชาวิศวกรรมไฟฟ้า

บัณฑิตวิทยาลัย

สถาบันเทคโนโลยีพระจอมเกล้าเจ้าคุณทหารลาดกระบัง

พ.ศ.2546

ISBN 974-324-222-8

**DESIGN AND ANALYSIS OF A 1 - ϕ DELTA MODULATED AC POWER SUPPLY
PWM OUTPUT VOLTAGE FEEDBACK**

KHOMSAN KLEEBBUA

**A THESIS SUBMITTED IN A PARTIAL FULFILLMENT
OF THE REQUIREMENT FOR THE DEGREE OF
MASTER OF ENGINEERING IN ELECTRICAL ENGINEERING
SCHOOL OF GRADUATE STUDIES
KING MONGKUT'S INSTITUTE OF TECHNOLOGY LADKRABANG**

2003

ISBN 974-324-222-4

COPYRIGHT 2003

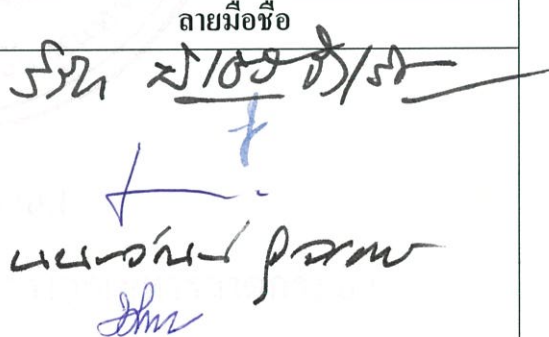
SCHOOL OF GRADUATE STUDIES

KING MONGKUT'S INSTITUTE OF TECHNOLOGY LADKRABANG

บัณฑิตวิทยาลัย
สถาบันเทคโนโลยีพระจอมเกล้าเจ้าคุณทหารลาดกระบัง
ใบรับรองวิทยานิพนธ์

หัวข้อวิทยานิพนธ์ การออกแบบและวิเคราะห์ 1- ϕ เกล็ดค้ำมีอคดูเลต พี ดับบลิว เอ็ม อินเวอร์เตอร์
ที่มีการป้อนกลับทางด้านแรงดัน พี ดับบลิว เอ็ม เอาท์พุทสำหรับแหล่งจ่าย
กระแสสลับ
DESIGN AND ANALYSIS OF A 1- ϕ DELTA MODULATED AC POWER
SUPPLY PWM OUTPUT VOLTAGE FEEDBACK

ชื่อนักศึกษา นายคมสัน กสิณบัว
รหัสประจำตัว 41061043
ปริญญา วิศวกรรมศาสตรมหาบัณฑิต
สาขาวิชา วิศวกรรมไฟฟ้า
อาจารย์ผู้ควบคุมวิทยานิพนธ์ ผศ.ดร.วิจิตร กิณเรศ

คณะกรรมการสอบวิทยานิพนธ์		ลายมือชื่อ
รศ.ดร.วิริยะ	พิเชฐจำเริญ	
ผศ.ร.อ.ดร.วีระเชษฐ	ชันเงิน	
ผศ.ดร.ชนินทร์	บุญลักษณ์านุสรณ์	
ดร.นนทวัฒน์	จุลเดชะ	
ผศ.ดร.วิจิตร	กิณเรศ	

วัน/เดือน/ปี ที่สอบ 24 ธันวาคม 2545 เวลา 14.00-16.00 น.

สถานที่สอบ ณ อาคาร 12 ชั้น ชั้น 4 (ห้อง E12-404)



วันที่.....๑๐.....เดือน.....กุมภาพันธ์.....พ.ศ.....๑๕๔๖.....

หัวข้อวิทยานิพนธ์	การออกแบบและวิเคราะห์ 1 - ϕ เกล็ด้ามีอดคูเลต พี ดับบลิว เอ็ม อินเวอร์เตอร์ที่มีการป้อนกลับทางค้ำแรงค้ำน พี ดับบลิว เอ็ม เอาท์พุท ส้ำหรับแหล่งจ่ายกระแสสลับ
ชื่อนักศึกษา	นายคมสัน กลีบบัว
รหัสประจำตัว	4101043
ปริญญา	วิศวกรรมศาสตรมหาบัณฑิต
สาขาวิชา	วิศวกรรมไฟฟ้า
อาจารย์ผู้ควบคุมวิทยานิพนธ์	ผศ.ดร.วิจิตร กิณเรศ

บทคัดย่อ

วิทยานิพนธ์นี้ได้นำเสนอการออกแบบและวิเคราะห์เกล็ด้ามีอดคูเลตพีดับบลิวเอ็มอินเวอร์เตอร์ชนิดแหล่งจ่ายแรงค้ำนหนึ่งเฟสขนาด 1 kVA ความถี่สวิตซิ่งสูงสุด 10 kHz โดยอาศัยการป้อนกลับแรงค้ำนพีดับบลิวเอ็มเอาท์พุทเพื่อชดเชยผลของริปเปิลของแรงค้ำนค้ำซีเชื่อมโยงเนื่องจากคาปาซิเตอร์มีค้ำค่า ซึ่งเทคนิคนี้ทำหน้าที่เป็นปริเร็กกิวเลเตอร์ส้ำหรับการประยุกต์ใช้งานแหล่งจ่ายไฟเอซี นอกจากนี้ยังเป็น การปรับปรุงค้ำDPF(Displacement Power Factor),PF(Power Factor)ทางค้ำนอินพุทให้ค้ำขึ้น ลดค้ำความ ผิดเพี้ยนรวมของกระแสอินพุทและลดค้ำความผิดเพี้ยนรวมของกระแสและแรงค้ำนทางค้ำนเอาท์พุทของ ระบบทำให้ระบบโดยรวมมีเสถียรภาพค้ำขึ้น โดยในขั้นแรกได้ทำการศึกษาและวิเคราะห์หลักการทำงาน ของวงจรถัด้ามีอดคูเลเตอร์ตลอดจนคุณสมบัติการทำงานต่างๆ เพื่อใช้ออกแบบวงจรถัด้าหลักและ สร้างระบบควบคุมการทำงาน พร้อมทั้งมีการจำลองการทำงานของวงจรถัด้านอกจากนี้ยังได้มีการเพิ่มวงจรถ ควบคุมแบบพีโอเพื่อชดเชยแรงค้ำนเอาท์พุทที่โหลดและลดระยะเวลาในการตอบสนองของระบบ ตลอดจน ตรวจสอบสมรรถนะของระบบทั้งทางค้ำนอินพุทและเอาท์พุท การลดผลกระทบบของริปเปิลเนื่องจาก คาปาซิเตอร์ที่แรงค้ำนค้ำซีเชื่อมโยงมีค้ำค่า การค้ำค่าแรงค้ำนเอาท์พุท การตอบสนองของระบบและค้ำประ สติธิภาพของอินเวอร์เตอร์

Thesis Title	Design and Analysis of A 1- ϕ Delta Modulated AC Power Supply PWM Output Voltage Feedback
Student	Mr. Khomsan Kleebbua
Student ID.	4101043
Degree	Master of Engineering
Programme	Electrical Engineering
Year	2003
Thesis Advisor	Asst. Prof. Dr. Vijit Kinnares

ABSTRACT

This thesis proposes the design and analysis of 1- ϕ delta modulated PWM voltage source inverter with 1kVA rating and maximum switching frequency of 10kHz based on PWM output voltage feedback in order to compensate for ripple effects of dc link voltage due to low value of capacitor. This technique acts as a preregulator applying for AC power supplies. Additionally, this causes increased displacement power factor (DPF), increased input power factor (PF), and decreased total harmonic distortion of both input and output current (THD). As a result, the stability is improved. In the initial stage, the principal operation of delta modulator as well as various characteristic operation are studied and analyzed for main power circuit design and operated control system construction. The simulation of designed circuit is included. In this paper, the PI controller is also included to compensate load output voltage, to improve system performance for both input and output side, output voltage regulation, system response and inverter efficiency are also investigated.

กิตติกรรมประกาศ

วิทยานิพนธ์ฉบับนี้สำเร็จลุล่วงได้อย่างดี ผู้วิจัยรู้สึกซาบซึ้งในความอนุเคราะห์ซึ่งขอกราบขอบพระคุณ ผศ.ดร. วิจิตร กิณเรศ อาจารย์ผู้ควบคุมวิทยานิพนธ์ฉบับนี้ที่ได้ให้ความรู้ ให้คำปรึกษาแนะนำความช่วยเหลือในด้านต่างๆเกี่ยวกับการทำวิทยานิพนธ์ฉบับนี้มาโดยตลอด

ขอขอบคุณภาควิชาวิศวกรรมไฟฟ้าและห้องสมุดคณะวิศวกรรมศาสตร์ที่เป็นแหล่งสนับสนุนทางด้านตำราและเอกสารอ้างอิง รวมทั้งเครื่องมือและอุปกรณ์ในการทำวิจัย

ขอกราบขอบพระคุณบิดา มารดา ที่เป็นผู้ให้กำลังใจในการศึกษาเล่าเรียนและเป็นผู้สนับสนุนให้ทุกสิ่งทุกอย่างมาโดยตลอด

ขอขอบคุณ คุณกำพล สิริจันทร์พงศ์ เพื่อนนักศึกษาและน้องๆทุกคนที่ให้ความช่วยเหลือรวมทั้งคอยให้กำลังใจผู้วิจัยอย่างใกล้ชิดมาโดยตลอด

คุณค่าและประโยชน์ที่พึงมีจากวิทยานิพนธ์ฉบับนี้ ผู้วิจัยขอมอบแด่ บิดา มารดา คุณครูบาอาจารย์ และผู้มีพระคุณทุกท่าน

คมสัน กลีบบัว

สารบัญ

	หน้า
บทคัดย่อภาษาไทย.....	I
บทคัดย่อภาษาอังกฤษ.....	II
กิตติกรรมประกาศ.....	III
สารบัญ.....	IV
สารบัญตาราง.....	VIII
สารบัญภาพ.....	X
คำย่อและสัญลักษณ์.....	XVII
บทที่ 1 บทนำ.....	1
1.1 ความเป็นมาและความสำคัญของปัญหา.....	1
1.2 ความมุ่งหมายและวัตถุประสงค์ของการศึกษาวิจัย.....	1
1.3 วิธีการวิจัย.....	2
1.4 ขอบเขตของการวิจัย.....	2
1.5 ประโยชน์ที่ได้จากวิทยานิพนธ์.....	2
1.6 โครงสร้างของวิทยานิพนธ์.....	3
บทที่ 2 ทฤษฎีของรูปคลื่นน็อนโซนูซอยด์ลและเอช/คิซี คอนเวอร์เตอร์แบบเฟสเดียว.....	5
2.1 บทนำ.....	5
2.2 รูปคลื่นน็อนโซนูซอยด์ล.....	5
2.2.1 การวิเคราะห์ฟูริเยร์ของรูปคลื่น.....	6
2.2.2 ความผิดเพี้ยนของรูปคลื่นกระแส.....	7
2.2.3 กำลังและตัวประกอบกำลัง.....	10
2.3 ไคโอดบริดจ์เร็คติไฟเออร์แบบเฟสเดียว.....	12
2.3.1 วงจรทางอุดมคติที่ $L_s = 0$	12
2.3.2 ผลกระทบของ L_s ที่มีต่อการคอมมิวเตทกระแส.....	16
2.3.3 คุณสมบัติของเร็คติไฟเออร์ที่ $v_d(t) = V_d$	22
2.3.4 ไคโอดบริดจ์เร็คติไฟเออร์ที่มีฟิลเตอร์คาปาซิเตอร์.....	26

สารบัญ (ต่อ)

หน้า

2.4	คาปาซิเตอร์เอาต์พุตฟิลเตอร์.....	29
2.5	การปรับปรุงคุณลักษณะอินเตอร์เฟสแบบเฟสเดียว.....	32
2.5.1	วงจรพาสซีฟ.....	32
2.5.2	Active Shaping สำหรับกระแสอินพุต.....	33
2.5.3	คอนเวอร์เตอร์สำหรับ Bidirectional Power Flow.....	34
2.6	สรุป.....	37
บทที่ 3	ทฤษฎีพื้นฐานของอินเวอร์เตอร์สำหรับแหล่งจ่ายกระแสสลับ.....	38
3.1	บทนำ.....	38
3.2	ทฤษฎีของอินเวอร์เตอร์.....	38
3.2.1	อินเวอร์เตอร์แบบแหล่งจ่ายกระแส.....	39
3.2.2	อินเวอร์เตอร์แบบแหล่งจ่ายแรงดัน.....	39
3.3	อินเวอร์เตอร์แบบเฟสเดียว.....	45
3.3.1	อินเวอร์เตอร์เฟสเดียวแบบบริดจ์ครึ่งคลื่น.....	45
3.3.2	อินเวอร์เตอร์เฟสเดียวแบบบริดจ์เต็มคลื่น.....	46
3.4	เทคนิคการควบคุมอินเวอร์เตอร์ในรูปแบบต่างๆ.....	50
3.4.1	เทคนิคพีดับบลิวเอ็มแบบกำจัดฮาร์มอนิกส์.....	50
3.4.2	เทคนิคพีดับบลิวเอ็มแบบลดการกระเพื่อมของกระแส.....	53
3.4.3	เทคนิคการปรับตัวของกระแสพีดับบลิวเอ็ม.....	54
3.5	สรุป.....	55
บทที่ 4	การวิเคราะห์และออกแบบวงจรเซลล์ตัวนำยิ่งยวด	
	ชนิดอะซิงโครนัส.....	57
4.1	บทนำ.....	57
4.2	วงจรเซลล์ตัวนำยิ่งยวดชนิดอะซิงโครนัสแบบต่างๆ.....	58
4.2.1	วงจรเซลล์ตัวนำยิ่งยวดแบบง่าย.....	58
4.2.2	วงจรเซลล์ตัวนำยิ่งยวดที่เสนอโดย C.A Karybabus.....	59
4.2.3	วงจรเซลล์ตัวนำยิ่งยวดโดย Phoivos D.Ziogas.....	61

สารบัญ(ต่อ)

หน้า

4.3	หลักการของเทคนิคเคลด้ามือคคูเลเตอร์แบบอะซิงโครนัส.....	62
4.4	การวิเคราะห์เคลด้ามือคคูเลเตอร์ซิงโครนัส.....	64
4.5	การวิเคราะห์หาค่าฮาร์โมนิกส์ของรูปคลื่นสวิทชิงเคลด้ามือค.....	71
4.6	สรุป.....	73
บทที่ 5	เทคนิคเคลด้ามือคคูเลเตอร์ที่นำเสนอ.....	74
5.1	บทนำ.....	74
5.2	การวิเคราะห์และออกแบบวงจรเคลด้ามือคที่มีการป้อนกลับ แรงดันพีคดับบลิวเอ็มเอท์พุทและการควบคุมแบบพีไอ.....	74
5.3	การวิเคราะห์และออกแบบวงจรเคลด้ามือคคูเลเตอร์.....	77
5.4	ผลการเปลี่ยนแปลงรูปคลื่นเคลด้ามือคคูเลชัน เมื่อมีการเปลี่ยนค่าพารามิเตอร์ต่างๆ.....	82
5.4.1	ผลของการเปลี่ยนขนาดแรงดันของสัญญาณไซน์อ้างอิง.....	82
5.4.2	ผลของการเปลี่ยนความถี่ของสัญญาณไซน์อ้างอิง.....	83
5.4.3	ผลของการเปลี่ยนแปลงค่าคงที่เวลาของการอินทิเกรเตอร์.....	84
5.4.4	ผลของการเปลี่ยนความกว้างฮิสเตอร์รีซิส.....	85
5.5	การออกแบบวงจรตรวจจับแรงดันเอาท์พุทพีคดับบลิวเอ็ม.....	86
5.6	การออกแบบระบบควบคุมแบบพีไอ.....	88
5.7	สรุป.....	92
บทที่ 6	วงจรกำลังและวงจรควบคุมเฟสเดียวเคลด้ามือคที่มีการป้อนกลับ แรงดันพีคดับบลิวเอ็มเอท์พุท.....	93
6.1	บทนำ.....	93
6.2	วงจรกำลังที่ออกแบบและสร้างขึ้น.....	93
6.2.1	วงจรแปลงไฟฟ้ากระแสสลับเฟสเดียวเป็นไฟฟ้ากระแสตรง.....	94
6.2.2	วงจรส่วนกรองแรงดัน.....	94
6.2.3	วงจรกำลังอินเวอร์เตอร์เฟสเดียว.....	94

สารบัญ (ต่อ)

	หน้า
6.2.4 วงจรเอาต์พุตฟิลด์เออร์.....	94
6.3 วงจรสร้างสัญญาณคลื่นไซน์.....	94
6.4 วงจรเคคไทม์.....	96
6.5 วงจรขับเกท.....	98
6.6 ชิ้นงานวิทยานิพนธ์.....	99
6.7 สรุป.....	100
บทที่ 7 การทดลองและผลการทดลอง.....	101
7.1 การทดสอบเพื่อเปรียบเทียบสมรรถนะทางด้านอินพุท.....	102
7.2 การทดสอบสมรรถนะทางด้านอินพุท โดยการเปลี่ยนแปลงโหลดทางด้านเอาต์พุท.....	104
7.3 การทดสอบแรงดันพีคดับลิเอ็มเอาต์พุทของทั้ง 2 เทคนิค.....	105
7.4 รูปคลื่นทางด้านเอาต์พุท.....	107
7.5 รูปสเปกตรัมฮาร์โมนิกส์.....	111
7.6 การทดสอบเพื่อเปรียบเทียบสมรรถนะทางด้านเอาต์พุทของอินเวอร์เตอร์.....	113
7.7 การทดสอบอินเวอร์เตอร์ที่มีสแต็ปโหลดแบบฉับพลัน.....	115
7.8 ผลการทดสอบการคงค่าแรงดันเอาต์พุทของทั้ง 3 เทคนิค.....	118
7.9 ผลการทดสอบหาค่าประสิทธิภาพของระบบอินเวอร์เตอร์.....	119
บทที่ 8 บทสรุปและข้อเสนอแนะ.....	127
8.1 สรุปผลการทดลอง.....	127
8.2 ปัญหาในงานวิจัยและข้อเสนอแนะ.....	129
เอกสารอ้างอิง.....	130
ภาคผนวก ก.....	133
ภาคผนวก ข.....	146
ภาคผนวก ค.....	150
ภาคผนวก ง.....	154
ประวัติผู้เขียน.....	167

สารบัญตาราง

ตารางที่	หน้า
2.1 การใช้ Symmetry ในการวิเคราะห์ฟูเรียร์.....	8
7.1 ค่า DPF, %THD _i และ PF ทางด้านอินพุท เมื่อค่าคาปาซิเตอร์เปลี่ยนไป.....	102
7.2 ค่า DPF, %THD _i และ PF ทางด้านอินพุท เมื่อโหลดเปลี่ยนไป.....	104
7.3 ค่า % THD _i ทางด้านเอาต์พุท เมื่อค่าคาปาซิเตอร์เปลี่ยนไป	113
7.4 ค่า % THD _v ทางด้านเอาต์พุท เมื่อค่าคาปาซิเตอร์เปลี่ยนไป	114
7.5 ผลการจำลองและผลการทดลองค่าประสิทธิภาพของระบบอินเวอร์เตอร์ที่โหลด ความต้านทาน	
ผลการจำลองของเทคนิคเซลล์มีอดที่ไม่มีการป้อนกลับ C _{dc} = 330 μF.....	119
ผลการจำลองของเทคนิคเซลล์มีอดที่มีการป้อนกลับแรงดัน	
พีคบัลลิสต์เอมเอาต์พุท C _{dc} = 330 μF.....	119
ผลการทดลองของเทคนิคเซลล์มีอดที่ไม่มีการป้อนกลับ C _{dc} = 330 μF.....	120
ผลการทดลองของเทคนิคเซลล์มีอดที่มีการป้อนกลับแรงดัน	
พีคบัลลิสต์เอมเอาต์พุท C _{dc} = 330 μF	120
ผลการจำลองของเทคนิคเซลล์มีอดที่ไม่มีการป้อนกลับ C _{dc} = 5000 μF.....	121
ผลการจำลองของเทคนิคเซลล์มีอดที่มีการป้อนกลับแรงดัน	
พีคบัลลิสต์เอมเอาต์พุท C _{dc} = 5000 μF.....	121
ผลการทดลองของเทคนิคเซลล์มีอดที่ไม่มีการป้อนกลับ C _{dc} = 5000 μF.....	121
ผลการทดลองของเทคนิคเซลล์มีอดที่มีการป้อนกลับแรงดัน	
พีคบัลลิสต์เอมเอาต์พุท C _{dc} = 5000 μF	121
7.6 ผลการจำลองและผลการทดลองค่าประสิทธิภาพของระบบอินเวอร์เตอร์ที่โหลด RL	
ผลการจำลองของเทคนิคเซลล์มีอดที่ไม่มีการป้อนกลับ C _{dc} = 330 μF.....	122
ผลการจำลองของเทคนิคเซลล์มีอดที่มีการป้อนกลับแรงดัน	
พีคบัลลิสต์เอมเอาต์พุท C _{dc} = 330 μF	123
ผลการทดลองของเทคนิคเซลล์มีอดที่ไม่มีการป้อนกลับ C _{dc} = 330 μF.....	123
ผลการทดลองของเทคนิคเซลล์มีอดที่มีการป้อนกลับแรงดัน	
พีคบัลลิสต์เอมเอาต์พุท C _{dc} = 330 μF.....	123

สารบัญตาราง (ต่อ)

ตารางที่		หน้า
7.6	ผลการจำลองของเทคนิคเซลล์ด้ามืดที่ไม่มีการป้อนกลับ $C_{dc} = 5000 \mu\text{F}$	124
	ผลการจำลองของเทคนิคเซลล์ด้ามืดที่มีการป้อนกลับแรงดัน	
	พีคัลบลิวเอ็มเอชท์พุท $C_{dc} = 5000 \mu\text{F}$	124
	ผลการทดลองของเทคนิคเซลล์ด้ามืดที่ไม่มีการป้อนกลับ $C_{dc} = 5000 \mu\text{F}$	125
	ผลการทดลองของเทคนิคเซลล์ด้ามืดที่มีการป้อนกลับแรงดัน	
	พีคัลบลิวเอ็มเอชท์พุท $C_{dc} = 330 \mu\text{F}$	125

สารบัญรูป

รูปที่	หน้า	
2.1	บล็อกไดอะแกรมของเร็คติไฟเออร์.....	5
2.2	การคิดเพี้ยนรูปคลื่นของกระแส.....	8
2.3	ความสัมพันธ์ของกำลังไฟฟ้า (Power triangle).....	10
2.4	พื้นฐานของเร็คติไฟเออร์กับแรงดันดิซีเชื่อม โยง.....	13
2.5	ไดโอดบริดจ์เร็คติไฟเออร์แบบเฟสเดียว.....	13
2.6	ไดโอดบริดจ์เร็คติไฟเออร์ในทางอุดมคติที่ $L_s = 0$	13
2.7	รูปคลื่นเร็คติไฟเออร์ของในรูปที่ 2.6	14
2.8	รูปคลื่นเร็คติไฟเออร์ของ (a) ในรูปที่ 2.6 (a) และ(b) รูปที่ 2.6(b).....	15
2.9	วงจรพื้นฐานของการคอมมิวเตทกระแส สมมติให้รูปคลื่นกระแส $L_s = 0$	17
2.10	(a) วงจรระหว่างการคอมมิวเตท.....	17
	(b) วงจรหลักจากการคอมมิวเตทกระแสที่สมบูรณ์.....	17
2.11	รูปคลื่นในวงจรพื้นฐานของรูปที่ 2.9	18
2.12	(a) ไดโอดบริดจ์เร็คติไฟเออร์ แบบเฟสเดียว L_s	20
	(b) รูปคลื่น.....	20
2.13	วงจรของรูปที่ 2.12(a) ระหว่างการคอมมิวเตทกระแส.....	21
2.14	(a) เร็คติไฟเออร์ที่แรงดันดิซีเชื่อม โยงคกที่.....	23
	(b) วงจรเทียบเท่า.....	23
	(c) รูปคลื่น.....	23
2.15	I_d แบบปกติต่อ V_d ในเร็คติไฟเออร์รูปที่ 2.14(a) กับแรงดันดิซีเชื่อม โยงคกที่.....	24
2.16	ค่าความผิดเพี้ยนรวมของฮาร์โมนิกส์ ค่า DPF และ ค่า PF ในเร็คติไฟเออร์ของรูปที่ 2.14(a) ซึ่งมีแรงดันดิซีเชื่อม โยงคกที่.....	25
2.17	V_d แบบปกติและ Crest factor ในเร็คติไฟเออร์ของรูปที่ 2.14(a) ซึ่งมีแรงดันดิซีเชื่อม โยงคกที่.....	25
2.18	ไดโอดบริดจ์เร็คติไฟเออร์ที่มีฟิลเตอร์คาปาซิเตอร์	26

สารบัญญรูป (ต่อ)

รูปที่		หน้า
2.19	วงจรที่เทียบเท่าของรูปที่ 2.18.....	26
2.20	รูปคลื่นในวงจรของรูปที่ 2.18.....	29
2.21	เร็คติไฟเออร์แบบเต็มคลื่นที่มีคาปาซิเตนซ์ฟิลเตอร์.....	30
2.22	วงจรพาสซีฟฟิลเตอร์ที่แก้ไขรูปคลื่น i_s	
	a) การจัดเรียงพาสซีฟฟิลเตอร์.....	32
	b) รูปคลื่นของกระแส.....	32
2.23	การกรองแอกทีฟฮาร์โมนิกส์	
	a) Step up คอนเวอร์เตอร์.....	34
	b) รูปคลื่น.....	34
	c) V_s และ i_L	34
2.24	สวิตช์โหมคคอนเวอร์เตอร์ของยูทิลิตี้อินเตอร์เฟส.....	35
2.25	การเร็คติไฟเออร์และการผกผัน	
	(a) เฟสเซอร์โคอะแกรมแบบทั่วไป.....	35
	(b) การเร็คติไฟเออร์ที่ยูนิตีเพาเวอร์แฟคเตอร์.....	35
	(c) การผกผันที่ยูนิตีเพาเวอร์แฟคเตอร์.....	35
2.26	รูปคลื่นของวงจรรูปที่ 2.23 ที่การทำงานของยูนิตีเพาเวอร์แฟคเตอร์	
	(a) เฟสเซอร์โคอะแกรม.....	36
	(b) รูปคลื่นวงจร.....	36
3.1	บล็อกไดอะแกรมของระบบอินเวอร์เตอร์.....	38
3.2	การมอดูเลตความกว้างพัลส์.....	42
3.3	การมอดูเลตความกว้างพัลส์ไซน์ซอซัด.....	43
3.4	การควบคุมแรงดันโดยการแปรค่า m_u	44
3.5	การสวิตช์รูปคลื่นจัตุรัส.....	45
3.6	วงจรอินเวอร์เตอร์เฟสเดียวแบบบริดจ์แบบครึ่งคลื่น.....	46
3.7	อินเวอร์เตอร์เฟสเดียวแบบบริดจ์เต็มคลื่น.....	46
3.8	พีดับบลิวเอ็มที่มีการสวิตช์แรงดันแบบ 2 ขั้ว.....	48
3.9	พีดับบลิวเอ็มที่มีการสวิตช์แรงดันแบบขั้วเดียว.....	50
3.10	รูปคลื่นพีดับบลิวเอ็ม โดยวิธีกำจัดฮาร์โมนิกส์.....	51

สารบัญรูป (ต่อ)

รูปที่	หน้า
3.11	หลักการเกิดรูปคลื่นพีคดับบลิวเอ็ม โดยเทคนิคปรับตัวของกระแสไหลลด เมื่อเปรียบเทียบกับกระแสอ้างอิง..... 55
3.12	วงจรสร้างสัญญาณของเทคนิคปรับตัวของกระแสไหลลด..... 55
4.1	วงจรเคลด้ามืดคคูเลเตอร์แบบง่าย..... 58
4.2	(a) รูปคลื่นเคลด้ามืดคคูเลเตอร์แบบง่าย..... 58 (b) การเกิดรูปคลื่นสวิทชิงเคลด้ามืดคที่มีคาบไม่คงที่..... 59
4.3	วงจรเคลด้ามืดคคูเลเตอร์ที่เสนอโดย C.A Karybabus..... 60
4.4	รูปคลื่นของวงจรมืดคคูเลเตอร์ตาม รูปที่ 4.3..... 60
4.5	รูปคลื่นเคลด้ามืดค..... 61
4.6	วงจรเคลด้ามืดคคูเลเตอร์ที่เสนอโดย Phoivos D.Ziogas..... 61
4.7	แผนภาพบล็อกหน่วยสร้างเทคนิคเคลด้ามืดค..... 62
4.8	รูปคลื่นเคลด้ามืดค (a) แรงดันป้อนกลับ (v_f) และแรงดันไซน์อ้างอิง (v_r)..... 63 (b) แรงดันเอาท์พุท (v_o)..... 63 (c) ผลต่าง (error) ของ (v_f) และ (v_r)..... 63
4.9	ทางเดิน Phase plane เมื่อ $v_r = 0$ 65
4.10	รูปคลื่นเคลด้ามืดค เมื่อ $v_r = 0$ 66
4.11	ทางเดิน Phase plane เมื่อ v_r เป็นสัญญาณ dc ขนาด V_r 66
4.12	ทางเดิน Phase plane เมื่อ v_r เป็นสัญญาณ ac 67
4.13	ความถี่ของพัลส์พีคดับบลิวเอ็ม เมื่อค่าความชันของสัญญาณไซน์อ้างอิงเปลี่ยนแปลง..... 70
4.14	การตอบสนองของความถี่มืดคคูเลตต่อความชัน ของสัญญาณไซน์อ้างอิง..... 71
4.15	รูปคลื่นเคลด้ามืดค..... 72
5.1	บล็อกโคอะแกรมของวงจรเคลด้ามืดคที่มีการป้อนกลับ แรงดันพีคดับบลิวเอ็มเอาท์พุทและการควบคุมแบบพีไอ..... 75
5.2	วงจรเคลด้ามืดคคูเลเตอร์ที่ออกแบบ..... 78

สารบัญรูป (ต่อ)

รูปที่	หน้า
5.3 รูปคลื่นสัญญาณ v_r และ v_o ที่ความถี่ 50 Hz	
(a) $V_r = 8\text{ V}$	82
(b) $V_r = 11\text{ V}$	82
(c) $V_r = 14\text{ V}$	82
5.4 รูปคลื่นสัญญาณ v_r และ v_o ที่ $V_r = 9.8\text{ V}$	
(a) $f = 50\text{ Hz}$	83
(b) $f = 70\text{ Hz}$	83
(c) $f = 90\text{ Hz}$	83
5.5 รูปคลื่นสัญญาณ v_r และ v_o ที่ $V_r = 9.8\text{ V}$ ความถี่ 50 Hz	
(a) $R = 50\text{ k}\Omega, C = 0.1\text{ }\mu\text{F}$	84
(b) $R = 75\text{ k}\Omega, C = 0.1\text{ }\mu\text{F}$	84
(c) $R = 100\text{ k}\Omega, C = 0.1\text{ }\mu\text{F}$	84
5.6 รูปคลื่นสัญญาณ v_r และ v_o ที่ $V_r = 9.8\text{ V}$ ความถี่ 50 Hz เมื่อ	
(a) $H = 1.4\text{ V}$	85
(b) $H = 2.8\text{ V}$	85
(c) $H = 5\text{ V}$	85
5.7 วงจรตรวจจับแรงดันเอาต์พุตที่ดับปลิวเอ็ม.....	87
5.8 ผลการทดลองของความสัมพันธ์ระหว่าง V_{dc} กับ E ของการออกแบบค่าเกิน.....	87
5.9 วงจรอิเล็กทรอนิกส์ของตัวควบคุมแบบพีไอ.....	89
5.10 กระบวนการที่ใช้ตัวควบคุมแบบพีไอที่มีฟังก์ชันถ่ายโอน ของตัวป้อนกลับเป็นยูนิตี.....	90
5.11 การออกแบบตัวควบคุมแบบพีไอ.....	90
5.12 เส้นทางเดินรากของระบบที่นำเสนอ.....	91
5.13 ผลตอบสนองของระบบ.....	92
6.1 วงจรกำลังของระบบอินเวอร์เตอร์ ด้วยเทคนิคเคลด้ามีออดที่มีการป้อนกลับแรงดันที่ดับปลิวเอ็มเอาต์พุต.....	93
6.2 วงจรสร้างสัญญาณไซน์อ้างอิง.....	95

สารบัญญรูป (ต่อ)

รูปที่	หน้า
6.3 ผลของรูปคลื่นไซน์อ้างอิง 50 Hz.....	96
6.4 (a) วงจรกำลังอินเวอร์เตอร์ในหนึ่งกึ่ง.....	96
(b) รูปสัญญาณเมื่อมีการสร้างเดคไทม์.....	97
6.5 วงจรเดคไทม์	97
6.6 สัญญาณเอาต์พุตของวงจรเดคไทม์ สำหรับ IGBT Upper และ Lower ในกึ่งเดียวกัน	98
6.7 วงจรขับเกท 1 ชุดที่ได้ออกแบบ.....	98
6.8 สัญญาณเอาต์พุตของวงจรขับเกท.....	99
6.9 เครื่องต้นแบบอินเวอร์เตอร์ของวงจรเดคไทม์ ที่มีการป้อนกลับแรงดันพีคดับลิวิตีเอาต์พุต สำหรับแหล่งจ่ายไฟกระแสสลับ.....	99
7.1 วงจรการทดลองและเครื่องมือที่ใช้ในการวัด.....	101
7.2 ค่า DPF , PF ทางด้านอินพุต เมื่อค่าคาปาซิเตอร์เปลี่ยนไป.....	103
7.3 ค่า %THD ของกระแสอินพุต เมื่อค่าคาปาซิเตอร์เปลี่ยนไป.....	103
7.4 ค่า DPF , PF ทางด้านอินพุต เมื่อโหลดเปลี่ยนไป.....	104
7.5 ค่า % THD ของกระแสอินพุต เมื่อโหลดเปลี่ยนไป.....	105
7.6 แรงดันพีคดับลิวิตีเอาต์พุตของเดคไทม์ที่ ไม่มีการป้อนกลับ ($C_{dc} = 330 \mu\text{F}$, $I_L = 4.6 \text{ A}$)	106
7.7 แรงดันพีคดับลิวิตีเอาต์พุตของเดคไทม์ที่ มีการป้อนกลับ ($C_{dc} = 330 \mu\text{F}$, $I_L = 4.6 \text{ A}$)	106
7.8 ผลการจำลองของแรงดันเอาต์พุตที่ $C_{dc} = 330 \mu\text{F}$ (a) เทคนิคเดคไทม์ที่ไม่มีการป้อนกลับ.....	108
(b) เทคนิคเดคไทม์ที่มีการป้อนกลับแรงดันพีคดับลิวิตีเอาต์พุต.....	108
7.9 ผลการจำลองของแรงดันเอาต์พุตที่ $C_{dc} = 5000 \mu\text{F}$ (a) เทคนิคเดคไทม์ที่ไม่มีการป้อนกลับ.....	109
(b) เทคนิคเดคไทม์ที่มีการป้อนกลับแรงดันพีคดับลิวิตีเอาต์พุต.....	109
7.10 กระแสและแรงดันเอาต์พุตของเดคไทม์ที่ ไม่มีการป้อนกลับ เมื่อผ่านฟิลเตอร์.....	110

สารบัญรูป (ต่อ)

รูปที่	หน้า
7.11	กระแสและแรงดันเอาต์พุทของเซลล์ที่มีมือคที่มีมือคที่มีการป้อนกลับ เมื่อผ่านฟิลเตอร์..... 110
7.12	สเปกตรัมฮาร์โมนิกส์ของแรงดันเอาต์พุทที่คียบบลิวเอ็มสำหรับ เทคนิคเซลล์ที่มีมือคที่มีมือคที่มีการป้อนกลับที่ No Load..... 111
7.13	สเปกตรัมฮาร์โมนิกส์ของแรงดันเอาต์พุทที่คียบบลิวเอ็ม เทคนิคเซลล์ที่มีมือคที่มีมือคที่มีการป้อนกลับที่ Full Load..... 112
7.14	กราฟค่า %THD _v ทางด้านเอาต์พุท เมื่อคาปาซิเตอร์เปลี่ยนไป..... 113
7.15	กราฟค่า %THD _v ทางด้านเอาต์พุท เมื่อคาปาซิเตอร์เปลี่ยนไป..... 114
7.16	แรงดันเอาต์พุทอินเวอร์เตอร์ของเทคนิคเซลล์ที่มีมือคที่มีมือคที่มีการป้อนกลับ (a) ผลการจำลอง..... 115 (b) ผลการทดลอง..... 115
7.17	แรงดันเอาต์พุทอินเวอร์เตอร์ของเทคนิคเซลล์ที่มีมือคที่มีมือคที่มีการป้อนกลับ (a) ผลการจำลอง..... 116 (b) ผลการทดลอง..... 116
7.18	แรงดันเอาต์พุทอินเวอร์เตอร์ของเซลล์ที่มีมือคที่มีมือคที่มีการป้อนกลับร่วมกับ การควบคุมแบบพีไอ (a) ผลการจำลอง..... 117 (b) ผลการทดลอง..... 117
7.19	กราฟแรงดันเอาต์พุททั้ง 3 เทคนิคกับโหลดที่เปลี่ยนไป ($C_{dc} = 330 \mu F$)..... 118
7.20	กราฟผลการจำลองและผลการทดลองประสิทธิภาพของอินเวอร์เตอร์ ที่โหลดความต้านทาน ($C_{dc} = 330 \mu F$) 120
7.21	กราฟผลการจำลองและผลการทดลองประสิทธิภาพของอินเวอร์เตอร์ ที่โหลดความต้านทาน ($C_{dc} = 5000 \mu F$)..... 121
7.22	กราฟผลการจำลองและผลการทดลองประสิทธิภาพของอินเวอร์เตอร์ ที่โหลด RL ($C_{dc} = 330 \mu F$)..... 124
7.23	กราฟผลการจำลองและผลการทดลองประสิทธิภาพของอินเวอร์เตอร์ ที่โหลด RL ($C_{dc} = 5000 \mu F$)..... 125

สารบัญรูป (ต่อ)

รูปที่		หน้า
ค1	Digital Oscilloscope ยี่ห้อ YOKOGAWA, 8 bits 200M/s , 150 MHz.....	151
ค2	เครื่องมือวัด โวลท์-แอมป์ด้านอินพุท ยี่ห้อ Hewlett Packard 973A.....	152
ค3	เครื่องมือวัดกำลังงานอินพุท/เอาต์พุทของ Fluke 41B.....	153

รายการคำย่อและสัญลักษณ์

A_n	คือ	สัมประสิทธิ์ฟูเรียร์ของฟังก์ชัน Cos
B_n	คือ	สัมประสิทธิ์ฟูเรียร์ของฟังก์ชัน Sin
C	คือ	คาปาซิเตอร์
$D_1, D_2, D_3, \dots, D_n$	คือ	ไดโอด
E	คือ	ค่าแรงดันสวิตช์ซึ่งป้อนกลับ
e, e_1, e_2	คือ	ความแตกต่างระหว่างสัญญาณสองสัญญาณ (error)
f_b	คือ	ความถี่กำหนด
f_c	คือ	ความถี่ของพัลส์วิด
f_{CL}	คือ	ความถี่ของ Limit cycle
f_r, f_1	คือ	ความถี่ของสัญญาณไซน์อ้างอิงหรือความถี่อินเวอร์เตอร์
f_s	คือ	ความถี่พาหะ
G	คือ	ค่าของเกน
G_c, G_p	คือ	ฟังก์ชันถ่ายโอนของตัวควบคุมพีไอ
H	คือ	ความกว้างฮิสเตอร์รีซิส
I_d	คือ	กระแสดีซี
I_L, I_0	คือ	กระแสโหลดหรือกระแสเอาต์พุต
I_{ripple}	คือ	กระแสริปเปิล
I_s	คือ	กระแสแหล่งจ่าย
I_{s1}	คือ	กระแสมูลฐาน
I_T	คือ	กระแสที่ไหลผ่านอุปกรณ์การสวิตช์
i_{dis}	คือ	ความผิดเพี้ยนของกระแส
K	คือ	ค่าคงที่ของการอินทิเกรต
K_i	คือ	อัตราขยายอินทิกรัล
K_p	คือ	อัตราขยายสัดส่วน
L	คือ	ตัวเหนี่ยวนำ
M	คือ	ดัชนีของการมอดูเลต
m	คือ	ความชันของสัญญาณไซน์อ้างอิง
m_a	คือ	อัตราส่วนของแอมพลิจูดที่ใช้ในการมอดูเลต
m_f	คือ	อัตราส่วนของความถี่ที่ใช้ในการมอดูเลต
N_{cm}	คือ	จำนวนครั้งของการสวิตช์ที่มากที่สุดของอุปกรณ์สวิตช์ซึ่ง
P	คือ	กำลังไฟฟ้า

Q_1	คือ	จุดศูนย์กลางจุดที่กำลังพิจารณาอยู่บน Phase plane
Q	คือ	กำลังไฟฟ้าที่สูญเสีย
$Q_1, Q_2, Q_3, \dots, Q_n$	คือ	ทรานซิสเตอร์
R	คือ	ความต้านทาน
S	คือ	กำลังปรากฏ
S_i	คือ	ความชันของรูปคลื่นเคลด้า
T, T_s	คือ	คาบเวลาของพัลส์ที่ดับบลิวเอ็ม
T_i	คือ	เวลาอินทิกรัล
T_{CL}	คือ	คาบของ Limit cycle
t_d	คือ	เดดไทม์
Δt_+	คือ	ค่าเวลาของพัลส์บวก
Δt_-	คือ	ค่าเวลาของพัลส์ลบ
V	คือ	แรงดันอาร์เอ็มเอสของไฟกระแสสลับ
V_{BE}	คือ	แรงดันคร่อมขาเบสและอิมิตเตอร์
V_d	คือ	แรงดันคิซีเชื่อมโยง
V_i	คือ	แรงดันอินพุท
V_L, V_0	คือ	แรงดันโหลดหรือแรงดันเอาต์พุท
V_m	คือ	แรงดันสูงสุดคลื่นไซน์
V_p	คือ	Peak แอมพลิจูดสัญญาณการมือคูลเดด
V_T, V_{tri}	คือ	Peak แอมพลิจูดคลื่นพาหะ
V_0	คือ	สัญญาณสวิทช์ของเอาต์พุท
V_{01}	คือ	ขนาดแรงดันมูลฐานของสัญญาณเอาต์พุท
V_{on}	คือ	ขนาดแรงดันของฮาร์โมนิกอันดับที่ n
$V_r, V_{control}$	คือ	ขนาดแรงดันของสัญญาณไซน์อ้างอิง
Δv	คือ	ขอบเขตฮิสเตอร์รีซิส
v_f	คือ	สัญญาณป้อนกลับ
$v_r, v_{control}$	คือ	สัญญาณไซน์อ้างอิง
v_s	คือ	แรงดันแหล่งจ่าย
ω_c	คือ	ความถี่เชิงมุมของสัญญาณคลื่นพาหะ
ω_r	คือ	ความถี่เชิงมุมของสัญญาณคลื่นไซน์อ้างอิง
α	คือ	มุมจุดฉนวน (Firing angle)
ϕ	คือ	มุมของตัวประกอบการกระจัด (Displacement factor angle)
θ	คือ	มุมระหว่างตัวแปรใดๆ (Angle)

คำย่อ

ADMI	คือ	Asynchronous Delta Modulated Inverter
CSI	คือ	Current Source Inverter
DPF	คือ	Displacement Power Factor
NS	คือ	Natural Sample
PF	คือ	Power Factor
PI	คือ	Proportional Integral
PWM	คือ	Pulse Width Modulation
SPWM	คือ	Sinusoidal Pulse Width Modulation
THD	คือ	Total Harmonic Distortion
T_L	คือ	Lock out time
UPS	คือ	Uninterruptible Power Supply
VCO	คือ	Voltage Control Oscillator
VSI	คือ	Voltage Source Inverter
VVVF	คือ	Variable Voltage Variable Frequency

บทที่ 1

บทนำ

1.1 ความเป็นมาและความสำคัญของปัญหา

ในปัจจุบันอินเวอร์เตอร์นั้นได้มีการพัฒนาทางด้านเทคนิคของการควบคุมสัญญาณพีคดับลิวเอ็มหลากหลายมากมาย ซึ่งในแต่ละเทคนิคนั้นมีข้อดีข้อเสียที่แตกต่างกันไปถึงแม้ว่าเทคนิคดังกล่าวจะมีการใช้งานกันอย่างกว้างขวางก็ตาม แต่เทคนิคเคลด้ามีอดคูเลชันเป็นอีกเทคนิคหนึ่งที่ใช้ในการสร้างสัญญาณพีคดับลิวเอ็มสำหรับอินเวอร์เตอร์ที่ให้เอาต์พุตเป็นรูปคลื่นไซน์ ซึ่งสามารถลดทอนฮาร์โมนิกส์อันดับต่ำได้และง่ายต่อการควบคุมเอาต์พุตของอินเวอร์เตอร์ ข้อดีของเทคนิคเคลด้ามีอดคูคือสามารถสร้างรูปคลื่นพีคดับลิวเอ็มที่สามารถปรับเปลี่ยนความถี่และแรงดันเอาต์พุตได้โดยการเปลี่ยนความถี่หรือแอมพลิจูดของสัญญาณไซน์อ้างอิง[1],[2],[3],[4] ดังนั้นจึงนำเทคนิคดังกล่าวมาใช้กับอินเวอร์เตอร์ โดยทั่วไปแล้ววงจรหลักของAC/DC/ACคอนเวอร์เตอร์ที่ใช้ในงานแหล่งจ่ายไฟเอซี ประกอบด้วยส่วนของคอนเวอร์เตอร์ (Converter) และ ส่วนของอินเวอร์เตอร์ (Inverter) ซึ่งอินพุตของอินเวอร์เตอร์เป็นไฟสลับจากแหล่งจ่ายไฟ (50Hz หรือ 60Hz)ไฟสลับนี้จะถูกแปลงเป็นไฟตรงโดยส่วนของวงจรคอนเวอร์เตอร์ จากนั้นไฟตรงจะถูกแปลงเป็นไฟสลับที่สามารถแปรขนาดแรงดันและความถี่ได้โดยส่วนของวงจรอินเวอร์เตอร์ วงจรทั้งสองส่วนนี้เป็นวงจรหลักทำหน้าที่แปลงรูปคลื่นและผ่านพลังงานของอินเวอร์เตอร์ ซึ่งในส่วนของวงจรคอนเวอร์เตอร์นี้จะประกอบด้วยคาปาซิเตอร์ ทำหน้าที่เป็นฟิลเตอร์กรองแรงดันให้เรียบ ไม่ให้เกิดการกระเพื่อมของรีปเปิลที่แรงดันดีซีเชื่อมโยง หากว่าค่าคาปาซิเตอร์ที่ใช้มีค่ามากจะทำให้รีปเปิลที่เกิดจากแรงดันดีซีเชื่อมโยงมีค่าน้อย แต่จะส่งผลทำให้ค่า DPF (Displacement Power Factor) และ ตัวประกอบกำลัง (PF)ต่ำลงเช่นกัน[4] ถ้าค่าคาปาซิเตอร์ที่ใช้มีค่าน้อยเกินไปก็จะส่งผลทำให้แรงดันดีซีเชื่อมโยงเกิดรีปเปิลมากจะทำให้กระแสและแรงดันเอาต์พุตไม่เป็นรูปคลื่นไซน์และจะมีผลต่อสมรรถนะของอินเวอร์เตอร์ด้วย

1.2 จุดมุ่งหมายและวัตถุประสงค์ของการศึกษาวิจัย

จากประโยชน์ที่ได้รับและความสำคัญของปัญหาข้างต้นเทคนิคเคลด้ามีอดคูเลเตอร์จึงได้ถูกนำเสนอ เพื่อขจัดปัญหาต่างๆดังกล่าวให้หมดไปและต้องการรักษาไว้ซึ่งสมรรถนะประสิทธิภาพและความน่าเชื่อถือของระบบ โดยในงานวิจัยนี้อาศัยหลักการทำงานของเทคนิคเคลด้ามีอดคูที่มีการป้อนกลับแรงดันพีคดับลิวเอ็มเอาต์พุตสำหรับใช้กับอินเวอร์เตอร์หนึ่งเฟสโดยเทคนิคนี้จะทำหน้าที่เป็นปริเร็กิวเลเตอร์(Preregulator)ซึ่งจะช่วยชดเชยแรงดันเอาต์พุตมาตรฐานที่ตกไปให้คงที่ เนื่องจากผลกระทบรีปเปิลของแรงดันดีซีเชื่อมโยงอันเป็นผลมาจากคาปาซิเตอร์ที่มีค่าจำกัดและการเพิ่มขึ้นของกระแสไหลอด จากเทคนิคที่นำเสนอนี้ [4], [5], [6]จะทำให้การคงค่าแรงดันเอาต์พุตดีขึ้นและ

เมื่อคาปาซิเตอร์ของแรงดันคิตซ์เชื่อม โยงมีค่าต่ำ ทำให้ค่า DPF สูงขึ้นและ THD_r มีค่าต่ำลงส่งผลให้ค่า PF ทางด้านอินพุตสูงขึ้นและลดผลกระทบของริปเปิลทำให้สมรรถนะของอินเวอร์เตอร์คิตซ์ขึ้นและยังมีการป้อนกลับแบบพีไอในการควบคุมลูปนอก เพื่อช่วยในการรักษาระดับแรงดันเอาต์พุตและลดระยะเวลาในการฟื้นตัวของระบบให้ดีขึ้น

1.3 วิธีการวิจัย

- 1.3.1 ศึกษาปัญหาที่เกิดขึ้นและวิธีการแก้ไขปัญหา
- 1.3.2 ค้นคว้าทฤษฎีจากบทความวารสารต่างๆ เอกสารและตำราที่สามารถให้ข้อมูลเกี่ยวกับเทคนิคเคลด้ามีอดคูเลชั่น
- 1.3.3 วิเคราะห์การทำงานของวงจรที่ได้ออกแบบขึ้น
- 1.3.4 จำลองการทำงานตามวงจรที่ได้ออกแบบด้วยคอมพิวเตอร์ เพื่อตรวจสอบเทียบผลทางทฤษฎีของเทคนิคนี้
- 1.3.5 ทดสอบการทำงานจริงของวงจรนี้
- 1.3.6 สรุปและวิจารณ์ผลการทดลอง

1.4 ขอบเขตของการวิจัย

- 1.4.1 วิเคราะห์การทำงานของวงจรในรูปสมการคณิตศาสตร์เพื่อใช้สำหรับการออกแบบวงจร
- 1.4.2 สร้างเครื่องต้นแบบและวิเคราะห์เคลด้ามีอดคูเลตพีดับบลิวเอ็มอินเวอร์เตอร์ ชนิดแหล่งจ่ายแรงดันเฟสเดียว ขนาด 1 kVA ความถี่สวิทซ์สูงสุด 10 kHz
- 1.4.3 ศึกษาสมรรถนะทางด้านอินพุตของอินเวอร์เตอร์และดูผลกระทบทางด้านเอาต์พุต
- 1.4.4 เปรียบเทียบประสิทธิภาพ

1.5 ประโยชน์ที่ได้จากวิทยานิพนธ์

- 1.5.1 ทำให้วงจรมีขนาดเล็กลงเพราะสามารถลดค่าและขนาดของคาปาซิเตอร์ได้
- 1.5.2 ปรับปรุงค่าDPF(Displacement Power Factor),PF(Power Factor)ทางด้านอินพุตให้ดีขึ้น
- 1.5.3 ลดค่าความผิดเพี้ยนรวมของกระแสอินพุตและลดค่าความผิดเพี้ยนรวมกระแสและแรงดันทางด้านเอาต์พุตของระบบ
- 1.5.4 ลดผลกระทบริปเปิลของแรงดันคิตซ์เชื่อม โยงต่อสมรรถนะทางด้านอินพุต
- 1.5.5 ช่วยปรับปรุงการตอบสนองของไดนามิก
- 1.5.6 ได้ปรับเร็กทิวเลเตอร์ขั้นต้น โดยใช้เทคนิคเคลด้ามีอดที่มีการป้อนกลับแรงดันพีดับบลิวเอ็มเอาต์พุตจะช่วยในการรักษาระดับแรงดันเอาต์พุตได้ดีกว่าเทคนิคเคลด้ามีอดที่ไม่มีการป้อนกลับ

1.5.7 การป้อนกลับแบบพีไอจะช่วยชดเชยแรงดันเอาต์พุตที่โหลดและลดระยะเวลาในการตอบสนองของระบบ

1.5.8 เป็นพื้นฐานในการศึกษาเพื่อนำมาประยุกต์ใช้งานอย่างอื่นเช่น เอช/ดีซี คอนเวอร์เตอร์ , AC Drives

1.6 โครงสร้างของวิทยานิพนธ์

ในวิทยานิพนธ์นี้ได้ศึกษาวิเคราะห์วิจัย เพื่อออกแบบและทดลองวงจรเซลล์ตัวนำมอดดูเลชั่นที่มีการป้อนกลับแรงดันพีดับบลิวเอ็มเอาต์พุตสำหรับแหล่งจ่ายกระแสสลับ ซึ่งรายละเอียดที่จะกล่าวถึงในวิทยานิพนธ์แบ่งเป็นบทๆ ได้ดังนี้

บทที่ 1 บทนำจะกล่าวถึงความจำเป็นมา ความสำคัญของปัญหา ความมุ่งหมาย วัตถุประสงค์ของการศึกษาวิจัย วิธีการวิจัย ขอบเขตการวิจัย ประโยชน์ที่ได้รับจากการวิจัยและโครงสร้างของวิทยานิพนธ์นี้

บทที่ 2 ทฤษฎีพื้นฐานของเอช/ดีซีวงจรคอนเวอร์เตอร์ การวิเคราะห์ฟูเรียร์น็อน ไซนูซอยด์ล ความผิดเพี้ยนของรูปคลื่นกระแสกำลังและแฟลคเตอร์กำลังทางด้านอินพุตที่ส่งผลกระทบต่อสมรรถนะของระบบ หลักการทำงานของไดโอดบริดจ์เร็คติไฟเออร์แบบเฟสเดียวคุณลักษณะของเร็คติไฟเออร์ การเกิดคาปาซิเตอร์เอาต์พุตฟิลเตอร์ที่แรงดันดีซีเชื่อมโยง รวมถึงการทำงานในรูปแบบของ Bidirectional power flow

บทที่ 3 ทฤษฎีพื้นฐานของอินเวอร์เตอร์สำหรับแหล่งจ่ายกระแสสลับ ประกอบด้วย ทฤษฎีของอินเวอร์เตอร์แบบแหล่งจ่ายกระแส(CSI) และอินเวอร์เตอร์แบบแหล่งจ่ายแรงดัน(VSI) ที่มีการมอดดูเลตความกว้างพัลส์ การเกิดรูปคลื่นสแควร์ การทำงานของอินเวอร์เตอร์เฟสเดียวแบบครึ่งคลื่นและแบบบริดจ์เต็มคลื่นที่มีการสวิทช์แรงดันแบบ 2 ขั้วและแบบขั้วเดียว เทคนิคการควบคุมอินเวอร์เตอร์ในรูปแบบต่างๆ คือ เทคนิคพีดับบลิวเอ็มแบบกำลังจัสตาร์โมนิกส์ เทคนิคพีดับบลิวเอ็มแบบลดการกระเพื่อมของกระแส เทคนิคการปรับตัวของกระแสพีดับบลิวเอ็มรวมถึงข้อดีและข้อเสียของแต่ละเทคนิค

บทที่ 4 การวิเคราะห์และออกแบบวงจรเซลล์ตัวนำมอดดูเลเตอร์ชนิดอะซิงโครนัสที่ประกอบด้วย วงจรเซลล์ตัวนำมอดดูเลเตอร์แบบง่าย, วงจรเซลล์ตัวนำมอดดูเลชั่นที่นำเสนอ โดย C.A Karybabus, วงจรเซลล์ตัวนำมอดดูเลเตอร์ที่เสนอ โดย Phoivos D.Ziogas, หลักการทำงานของเทคนิคเซลล์ตัวนำมอดดูเลเตอร์แบบอะซิงโครนัส และการวิเคราะห์หาค่าฮาร์โมนิกส์ของรูปคลื่นสวิทช์ซึ่งเซลล์ตัวนำมอดดูเลชั่น

บทที่ 5 การวิเคราะห์และออกแบบหลักการทำงานของเทคนิคเซลล์ตัวนำมอดดูเลชั่นที่นำเสนอ การศึกษาผลการเปลี่ยนแปลงรูปคลื่นเซลล์ตัวนำมอดดูเลชั่นที่มีการเปลี่ยนค่าพารามิเตอร์ต่างๆและการออกแบบวงจรตรวจจับแรงดันเอาต์พุตพีดับบลิวเอ็มและการออกแบบระบบควบคุมแบบพีไอ พร้อมทั้งออกแบบค่าพารามิเตอร์ของระบบควบคุม

บทที่ 6 วงจรกำลังและวงจรควบคุมเฟสเดียวเซลล์มีมอดที่มีการป้อนกลับแรงดันพีดับบลิวเอ็ม เอทพุทที่มีการอธิบายวงจรควบคุมที่ได้ออกแบบไว้ในแต่ละส่วนซึ่งเป็นหลักการสร้างในทางปฏิบัติ ตลอดจนเทคนิคต่างๆที่ได้นำมาใช้ในการแก้ปัญหาที่เกิดขึ้น

บทที่ 7 การจำลองและผลการทดลองของเฟสเดียวเซลล์มีมอดที่มีการป้อนกลับแรงดันพีดับบลิวเอ็มเอทพุทสำหรับแหล่งจ่ายกระแสสลับ โดยมีการตรวจสอบการทำงานของเทคนิคเซลล์มีมอดที่มีการป้อนกลับแรงดันพีดับบลิวเอ็มเอทพุทกับเทคนิคเซลล์มีมอดที่ไม่มีการป้อนกลับ เทคนิคเซลล์มีมอดที่มีการป้อนกลับแรงดันพีดับบลิวเอ็มเอทพุทร่วมกับการควบคุมแบบพีไอเพื่อดูผลกระทบเมื่อมีการเปลี่ยนค่าคาปาซิเตอร์กระแส โหลดรวมถึงค่าพารามิเตอร์ต่างๆที่มีผลต่อสมรรถนะของระบบการทดสอบการทำงานของแรงดันพีดับบลิวเอ็มเอทพุทการวิเคราะห์รูปคลื่นทางด้านเอทพุทและมีการทดสอบอินเวอร์เตอร์ที่มีการสลับ โหลดแบบฉับพลันเพื่อดูผลที่ได้ว่าสอดคล้องกับทฤษฎีที่ได้ศึกษาไว้หรือไม่รวมถึงทดสอบการฟื้นตัวของทั้ง 3 เทคนิค นอกจากนี้ยังมีผลการทดสอบการรักษาระดับแรงดันทางด้านเอทพุทการทดสอบเพื่อเปรียบเทียบสมรรถนะทางด้านเอทพุทของอินเวอร์เตอร์และค่าประสิทธิภาพของระบบอินเวอร์เตอร์ จากที่ได้กล่าวมาทั้งหมดนี้ได้มีการจำลองผลการทดลองเพื่อเปรียบเทียบผลที่ได้กับการทดลองจริง

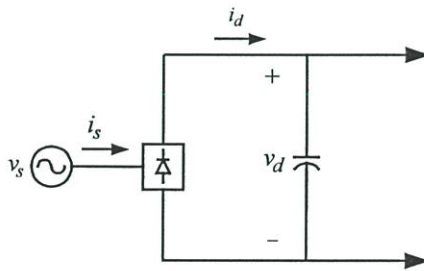
บทที่ 8 บทสรุปและข้อเสนอแนะจากผลการทดลองเพื่อใช้เป็นแนวทางในการแก้ปัญหาและวิเคราะห์วิจัยขั้นต่อไป

บทที่ 2

ทฤษฎีของรูปคลื่นนอนไซนูซอยดัลและเอซี/ดีซี คอนเวอร์เตอร์แบบเฟสเดียว

2.1 บทนำ

โดยทั่วไปแล้ววงจรหลักของ AC/DC/AC คอนเวอร์เตอร์ที่ใช้ในงานแหล่งจ่ายไฟเอซีประกอบด้วย คอนเวอร์เตอร์ (Converter) และอินเวอร์เตอร์ (Inverter) ซึ่งในส่วนของคอนเวอร์เตอร์นี้จะประกอบด้วยคาปาซิเตอร์สำหรับแรงดันดีซีเชื่อมโยงและในการนำอิเล็กทรอนิกส์กำลังมาประยุกต์ใช้ในงานส่วนใหญ่ นั้น กำลังทางด้านอินพุตจะอยู่ในรูปของคลื่นไซน์ 50 Hz หรือ 60 Hz เมื่อมีการรีคตีไฟเออร์และนำไดโอดที่มีราคาถูกมาใช้ในการแปลงอินพุตเอซีเป็นดีซีที่ไม่มีการควบคุม ดังรูปที่ 2.1 โดยไดโอดรีคตีไฟเออร์จะทำหน้าที่ในการแปลงกระแสสลับเป็นกระแสตรงตัวอย่างการนำมาประยุกต์ใช้ในงาน เช่น แหล่งจ่ายกำลังดีซี, การขับเคลื่อนมอเตอร์เอซี, การขับเคลื่อนดีซีเซอร์โว ซึ่งเป็นการใช้รีคตีไฟเออร์ที่ไม่มีการควบคุม โดยแรงดันเอาต์พุตกระแสตรงของรีคตีไฟเออร์ที่ได้จะมีริบเปิ้ลที่เป็นอิสระผสมอยู่ [7], [8], [9] ด้วยเหตุนี้คาปาซิเตอร์ขนาดใหญ่จึงถูกเชื่อมต่อในวงจรเสมือนเป็นตัวฟิลเตอร์ในกระแสตรงและจะถูกประจุให้มีค่าใกล้เคียงกับค่าออกของแรงดันอินพุตกระแสสลับที่ผ่านไปยังรีคตีไฟเออร์จะมีขนาดใกล้เคียงกับค่าสูงสุดแรงดันอินพุตกระแสสลับและจะเป็นช่วงระยะเวลาที่มีค่าเป็นศูนย์ระหว่างแต่ละครึ่งรอบของความถี่ จึงทำให้รีคตีไฟเออร์นี้มีการแสไฟบิคเบือนจากยูทิลิตี้



รูปที่ 2.1 บล็อกไดอะแกรมของรีคตีไฟเออร์

2.2 รูปคลื่นนอนไซนูซอยดัล

ในวงจรเพาเวอร์อิเล็กทรอนิกส์ดีซีหรือรูปคลื่นความถี่ต่ำด้านเอซีจะถูกนำมาวิเคราะห์เพื่อใช้ส่วนของรูปคลื่นอินพุตในการขับเคลื่อนระบบ นอกจากนี้มีส่วนประกอบที่เป็นความถี่พื้นฐานและมีส่วนประกอบของความถี่ที่ไม่ต้องการซึ่งเป็นฮาร์โมนิคส์ของความถี่พื้นฐาน ส่วนประกอบเหล่านี้สามารถถูกนำมาคำนวณจากการเฉลี่ยของการวิเคราะห์แบบฟูเรียร์

2.2.1 การวิเคราะห์ฟูรีเยร์ของรูปคลื่น

โดยทั่วไปแล้วรูปคลื่นน็อนไซน์ซอซดัลที่มีความถี่เชิงมุม ω แสดงได้ดังนี้

$$f(t) = F_o + \sum_{h=1}^{\infty} f_h(t) = \frac{1}{2}a_o + \sum_{h=1}^{\infty} \left\{ a_h \cos(h\omega t) + b_h \sin(h\omega t) \right\} \quad (2.1)$$

เมื่อ $F_o = \frac{1}{2}a_o$ เป็นค่าเฉลี่ย ในสมการที่ 2.1

$$a_h = \frac{1}{\pi} \int_0^{2\pi} f(t) \cos(h\omega t) d(\omega t) \quad h = 0, \dots, \infty \quad (2.2)$$

และ

$$b_h = \frac{1}{\pi} \int_0^{2\pi} f(t) \sin(h\omega t) d(\omega t) \quad h = 1, \dots, \infty \quad (2.3)$$

จากสมการที่ 2.1 และ 2.2 ค่าเฉลี่ย ที่ $\omega = 2\pi/T$

$$F_o = \frac{1}{2}a_o = \frac{1}{2\pi} \int_0^{2\pi} f(t) d(\omega t) = \frac{1}{T} \int_0^T f(t) dt \quad (2.4)$$

ในสมการที่ 2.1 แต่ละส่วนประกอบของความถี่ $[f_h(t) = a_h \cos(h\omega t) + b_h \sin(h\omega t)]$ เป็นเฟสเซอร์ในรูปของค่าอาร์เอ็มเอส

$$F_h = F_h e^{j\phi_h} \quad (2.5)$$

เมื่อขนาดอาร์เอ็มเอส

$$F_h = \frac{\sqrt{a_h^2 + b_h^2}}{\sqrt{2}} \quad (2.6)$$

และเฟส ϕ_h กำหนดจาก

$$\tan(\phi_h) = \frac{(-b_h)}{a_h} \quad (2.7)$$

ฟังก์ชัน $f(t)$ ในเทอมของค่าอาร์เอ็มเอสของส่วนประกอบอนุกรมฟูเรียร์ คือ

$$F = \left(F_0^2 + \sum_{h=1}^{\infty} F_h^2 \right)^{1/2} \quad (2.8)$$

2.2.2 ความผิดเพี้ยนของรูปคลื่นกระแส

จากรูปที่ 2.2 แสดงรูปคลื่นกระแส i_s ซึ่งเกิดจากอุปกรณ์อิเล็กทรอนิกส์กำลังที่ผิดเพี้ยนจากรูปคลื่นไซน์ กระแสที่ผิดเพี้ยนนี้สามารถก่อให้เกิดการผิดเพี้ยนในแรงดันด้วย แต่อย่างไรก็ตามการผิดเพี้ยนในแรงดันมักจะมีขนาดเล็ก ในการวิเคราะห์เพื่อให้ง่ายต่อการเข้าใจจึงสมมติให้แรงดันอินพุตเป็นคลื่นไซน์เท่านั้น ที่ความถี่พื้นฐาน ดังสมการที่ 2.9 ($\omega_1 = \omega$ และ $f_1 = f$)

$$v_s = \sqrt{2}V_s \sin \omega t \quad (2.9)$$

กระแส i_s คือ

$$i_s(t) = i_{s1}(t) + \sum_{h \neq 1} i_{sh}(t) \quad (2.10)$$

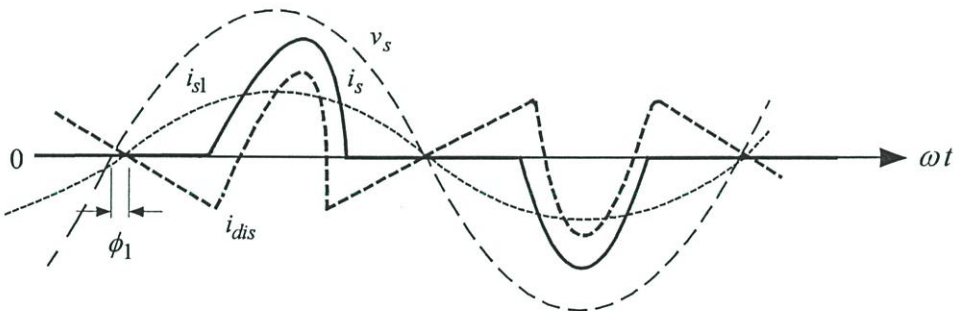
เมื่อ i_{s1} เป็นส่วนประกอบมูลฐาน

i_{sh} เป็นส่วนประกอบที่ความถี่ฮาร์โมนิคส์ที่ $f_h (= hf_1)$ ซึ่งส่วนประกอบของกระแสเหล่านี้แสดงดังสมการที่ 2.10 คือ

$$i_s(t) = \sqrt{2}I_{s1} \sin(\omega t - \phi_1) + \sum_{h \neq 1} \sqrt{2}I_{sh} \sin(\omega_h t - \phi_h) \quad (2.11)$$

ตารางที่ 2.1 การใช้ Symmetry ในการวิเคราะห์ฟูรีเยร์

Symmetry	Condition Required	a_n และ b_n
Even	$f(-t) = f(t)$	$b_n = 0$ $a_n = \frac{2}{\pi} \int_0^{\pi} f(t) \cos(n\omega t) d(\omega t)$
Odd	$f(-t) = -f(t)$	$a_n = 0$ $b_n = \frac{2}{\pi} \int_0^{\pi} f(t) \sin(n\omega t) d(\omega t)$
Half-wave	$f(t) = -f(t + \frac{1}{2}T)$	$a_n = b_n = 0$ สำหรับ n เลขคู่ $a_n = \frac{2}{\pi} \int_0^{\pi} f(t) \cos(n\omega t) d(\omega t)$ สำหรับ n เลขคี่ $b_n = \frac{2}{\pi} \int_0^{\pi} f(t) \sin(n\omega t) d(\omega t)$ สำหรับ n เลขคี่
Even quarter-wave	Even and half-wave	$b_n = 0$ สำหรับค่า n ทั้งหมด $a_n = \begin{cases} \frac{4}{\pi} \int_0^{\pi/2} f(t) \cos(n\omega t) d(\omega t) & \text{สำหรับ } n \text{ เลขคี่} \\ 0 & \text{สำหรับ } n \text{ เลขคู่} \end{cases}$
Odd quarter-wave	Odd and half-wave	$a_n = 0$ สำหรับค่า n ทั้งหมด $b_n = \begin{cases} \frac{4}{\pi} \int_0^{\pi/2} f(t) \sin(n\omega t) d(\omega t) & \text{สำหรับ } n \text{ เลขคี่} \\ 0 & \text{สำหรับ } n \text{ เลขคู่} \end{cases}$



รูปที่ 2.2 การผิดเพี้ยนรูปคลื่นของกระแส

เมื่อ ϕ_1 เป็นมุมเฟสระหว่างแรงดันอินพุตรูปคลื่นไซน์ที่ v_s และ i_{s1} (ϕ_1 หมายถึงกระแส i_{s1} ตามแรงดัน) ค่าอาร์เอ็มเอสของกระแส I_s สามารถคำนวณจากการกำหนดค่าอาร์เอ็มเอสตามสมการที่ 2.12 และได้รูปคลื่นกระแส i_s ดังสมการต่อไปนี้

$$I = \left(\frac{1}{T} \int_0^T i^2 dt \right) \quad (2.12)$$

$$I_s = \left(\frac{1}{T_1} \int_0^{T_1} i_s^2(t) dt \right)^{1/2} \quad (2.13)$$

เมื่อ $T_1 = 1/f_1 = 2\pi/\omega_1$

การแทนค่า i_s จากสมการที่ 2.10 ในสมการที่ 2.13 จะสังเกตเห็นได้ว่าอินทิกรัลของเทอม Cross-product ทั้งหมดเป็นศูนย์ดังสมการ

$$I_s = \left(I_{s1}^2 + \sum_{h \neq 1} I_{sh}^2 \right)^{1/2} \quad (2.14)$$

การผิดเพี้ยนในแรงดันหรือรูปคลื่นกระแสเป็นคุณสมบัติจากค่าเฉลี่ยของดัชนีที่เรียกว่า การผิดเพี้ยนของฮาร์โมนิกส์โดยรวม Total harmonic distortion (THD) ส่วนประกอบของการผิดเพี้ยน i_{dis} ของกระแสจากสมการที่ 2.10 แสดงได้ดังสมการต่อไปนี้

$$i_{dis}(t) = i_s(t) - i_{s1}(t) = \sum_{h \neq 1} i_{sh}(t) \quad (2.15)$$

จากในรูปที่ 2.2 แสดงค่าของอาร์เอ็มเอส ได้ดังนี้

$$I_{dis} = \left[I_s^2 - I_{s1}^2 \right]^{1/2} = \left(\sum_{h \neq 1} I_{sh}^2 \right)^{1/2} \quad (2.16)$$

และค่า THD ในกระแสถูกกำหนดให้เป็น

$$\begin{aligned} \%THD_i &= 100 \times \frac{I_{dis}}{I_{s1}} \\ &= 100 \times \frac{\sqrt{I_s^2 - I_{s1}^2}}{I_{s1}} \\ &= 100 \times \sqrt{\sum_{h \neq 1} \left(\frac{I_{sh}}{I_{s1}} \right)^2} \end{aligned} \quad (2.17)$$

เมื่อค่ายอด $I_{s,peak}$ ของรูปคลื่น i_s ในรูปที่ 2.2 เป็นอัตราส่วนของกระแสอาร์เอ็มเอสทั้งหมดซึ่ง I_s เป็นอัตราส่วน คือ

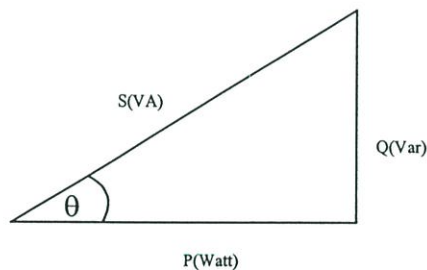
$$Crest\ factor = \frac{I_{s,peak}}{I_s} \quad (2.18)$$

2.2.3 กำลังและตัวประกอบกำลัง

โดยทั่วไปอุปกรณ์ที่นำมาใช้งานกับระบบไฟฟ้าจะเกิดกำลังไฟฟ้าใน 2 ลักษณะคือ กำลังไฟฟ้าที่เกิดขึ้นแล้วสามารถนำไปใช้ประโยชน์ได้และกำลังไฟฟ้าที่สูญเสียไปโดยไม่สามารถนำไปใช้ประโยชน์ได้ เช่น สูญเสียในรูปความร้อน สูญเสียในรูปกำลังไฟฟ้าซึ่งกำลังไฟฟ้าสามารถแยกได้เป็น 3 ประเภทคือ

1. กำลังไฟฟ้าที่จ่ายให้กับวงจรหรือโหลดได้จากการถอดรากที่สองของ $P^2 + Q^2$ เรียกกำลังไฟฟ้านี้ว่ากำลังไฟฟ้าปรากฏ(Apparent power) หรือค่า S มีหน่วยเป็นโวลท์แอมป์(VA)
2. กำลังไฟฟ้าที่เกิดขึ้นกับโหลดที่สามารถนำไปใช้ประโยชน์ได้หรือกำลังไฟฟ้าจริง (Active power) หรือ P จากสูตร $VI \cos\theta$ มีหน่วยเป็นวัตต์ (W)
3. กำลังไฟฟ้าที่ไม่สามารถนำไปใช้ประโยชน์ได้หรือกำลังรีแอกทีฟ (Reactive power) หรือค่า Q จากสูตร $VI \sin\theta$ มีหน่วยเป็นโวลท์แอมป์รีแอกทีฟหรืออาร์ (VAR)

ซึ่งสามารถแสดงความสัมพันธ์ระหว่างกำลังไฟฟ้าทั้ง 3 แบบ ได้ดังรูปที่ 2.3



รูปที่ 2.3 ความสัมพันธ์ของกำลังไฟฟ้า (Power triangle)

จากที่กล่าวมาข้างต้นจะส่งผลต่อค่าตัวประกอบกำลัง (Power factor หรือ PF) ค่าตัวประกอบการกระจัด (Displacement power factor หรือ DPF) เมื่อเพาเวอร์แฟคเตอร์คือ อัตราส่วนของกำลังงานจริง / กำลังงานปรากฏและมีค่าตั้งแต่ 0 ถึง $1 = \frac{kW}{kVA}$ หรือจากรูปที่ 2.3 จะได้ว่า $PF = \cos\theta$

โดยที่ค่า PF อาจเป็นแบบนำหน้าหรือตามหลังขึ้นอยู่กับทิศทางการไหลของกำลังงานที่ทำให้เกิดงานรีแอกทีฟ ถ้ากำลังงานทั้งสองส่วนนี้ไหลไปในทิศทางเดียวกันค่า PF จะเป็นแบบตามหลัง และถ้าไหลไปคนละทิศทาง ค่า PF จะเป็นแบบนำหน้า เนื่องจากตัวคาปาซิเตอร์เป็นแหล่งกำเนิดพลังงานรีแอกทีฟเพียงอย่างเดียวจึงมีค่า PF แบบนำหน้าสำหรับตัวเหนี่ยวนำมีค่า PF แบบตามหลัง ดังนั้นค่า PF เป็นการบ่งบอกถึงความสามารถในการนำกำลังไฟฟ้ามาใช้งานให้เกิดประโยชน์ได้มากน้อยเพียงใด

ซึ่งการกำหนดกำลัง โดยเฉลี่ย ในรูปที่ 2.2 คือ

$$P = \frac{1}{T_1} \int_0^{T_1} p(t) dt = \frac{1}{T_1} \int_0^{T_1} v_s(t) i_s(t) dt \quad (2.19)$$

เมื่อใช้ v_s จากสมการที่ 2.9 และ i_s จากสมการที่ 2.11 จะได้ว่า

$$P = \frac{1}{T_1} \int_0^{T_1} \sqrt{2} V_s \sin \omega_1 t \cdot \sqrt{2} I_{s1} \sin(\omega_1 t - \phi_1) dt = V_s I_{s1} \cos \phi_1 \quad (2.20)$$

หากสังเกตจะพบว่าส่วนประกอบของกระแส ที่ความถี่ฮาร์โมนิกส์ไม่ได้มีส่วนในกำลังเฉลี่ยจากแรงดันไซน์ซอซอดัล v_s โดยกำลังปรากฏ S ที่พบเป็นผลที่ได้จากแรงดันอาร์เอ็มเอสของ V_s และกระแสอาร์เอ็มเอสของ I_s ดังสมการ

$$S = V_s I_s \quad (2.21)$$

โดยเพาเวอร์แฟกเตอร์(PF)ที่มีเป็นลักษณะใกล้เคียงกับไซน์ซอซอดัลที่แสดงได้ดังในสมการที่ 2.22

$$PF = \frac{P}{S} \quad (2.22)$$

ดังนั้นจากสมการ 2.20 ถึง 2.22 ที่แรงดันเป็นรูปคลื่นไซน์แต่กระแสไม่เป็นรูปไซน์ ตามรูปที่ 2.2 จะได้ว่า

$$PF = \frac{V_s I_{s1} \cos \phi_1}{V_s I_s} = \frac{I_{s1}}{I_s} \cos \phi_1 \quad (2.23)$$

เพาเวอร์แฟกเตอร์ที่เคลื่อนที่ (DPF) ที่เป็นลักษณะเดียวกันกับเพาเวอร์แฟกเตอร์ในวงจรเชิงเส้นซึ่งมีแรงดันและกระแสไหลชอยดัล ถูกกำหนดเป็นโคไซน์ของมุม ϕ_1

$$\text{DPF} = \cos\phi \quad (2.24)$$

ดังนั้นเพาเวอร์แฟกเตอร์ของกระแสที่ไม่ใช่รูปคลื่นไซน์ คือ

$$\text{PF} = \frac{I_{s1}}{I_s} \text{DPF} \quad (2.25)$$

จากสมการที่ 2.16 จะสังเกตเห็นว่าการผิดเพี้ยนของรูปคลื่นกระแสส่งผลในรูปของ I_{s1}/I_s และเพาเวอร์แฟกเตอร์ของสมการ 2.17 และ 2.25 มีค่าเท่ากับ

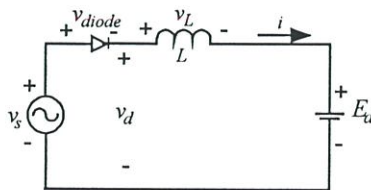
$$\text{PF} = \frac{1}{\sqrt{1+\text{THD}_i^2}} \text{DPF} \quad (2.26)$$

2.3 ไดโอดบริดจ์เรกติไฟเออร์แบบเฟสเดียว (Single-phase diode bridge rectifiers)

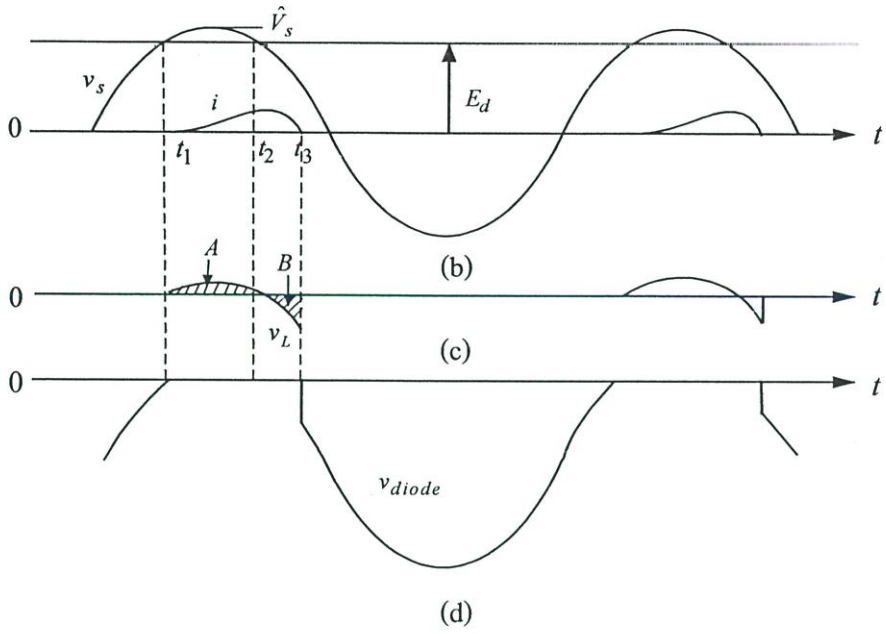
การทำงานของไดโอดบริดจ์เรกติไฟเออร์แบบทั่วไปดังแสดงในรูปที่ 2.5 ที่มีคาปาซิเตอร์เป็นฟิลเตอร์ที่แรงดันดีซีเชื่อมโยงโดยจำลองแหล่งจ่ายยูทิลิตี้เป็นแหล่งแรงดันไซน์ชอยดัล v_s พร้อมทั้งอิมพีแดนซ์ภายใน ซึ่งในทางปฏิบัติเป็นการเหนี่ยวนำเบื้องต้น ดังนั้นจึงแทนค่าด้วย L_s ตัวเหนี่ยวนำนี้อาจจะเพิ่มขึ้นในกระแสสลับ ซึ่งมีการวิเคราะห์วงจรและสมมุติฐานเพื่อความเข้าใจในการทำงานของวงจรในรูปที่ 2.5 เพื่อแก้ไขรูปคลื่นกระแสในไลน์

2.3.1 วงจรทางอุดมคติที่ $L_s = 0$

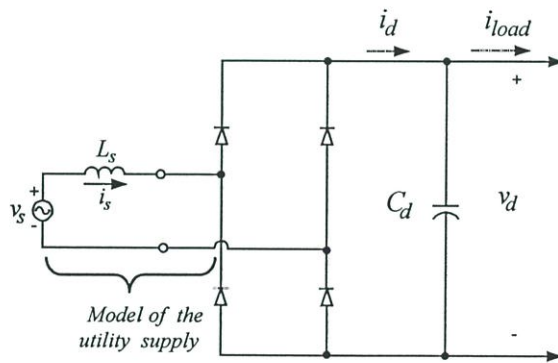
สมมุติให้ L_s เป็นศูนย์และแรงดันดีซีเชื่อมโยงของเรกติไฟเออร์ประกอบด้วยความต้านทาน R หรือแหล่งกระแสดีซีคงที่ I_d ดังในรูปที่ 2.6(a) และ (b) ตามลำดับ ในรูปที่ 2.6(a) โหลดความต้านทานถูกจ่ายโดยไดโอดเรกติไฟเออร์



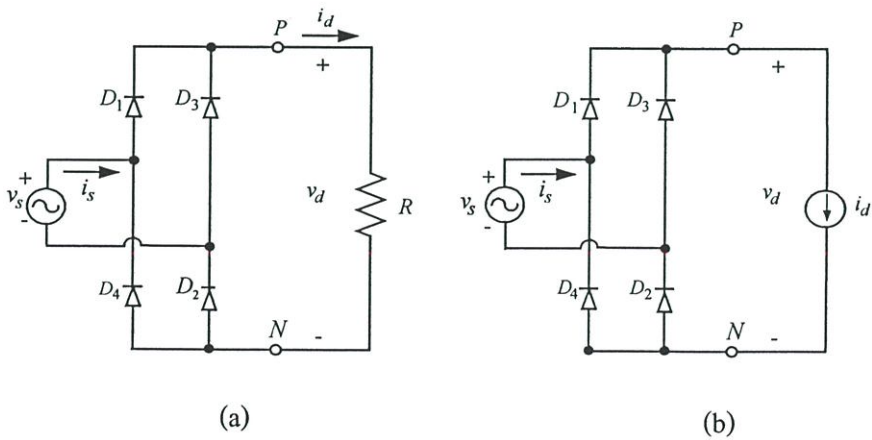
(a)



รูปที่ 2.4 พื้นฐานของเรกติไฟเออร์กับแรงค้ำคืนซีเอ็มไอ



รูปที่ 2.5 ไดโอดบริดจ์เรกติไฟเออร์แบบเฟสเดียว

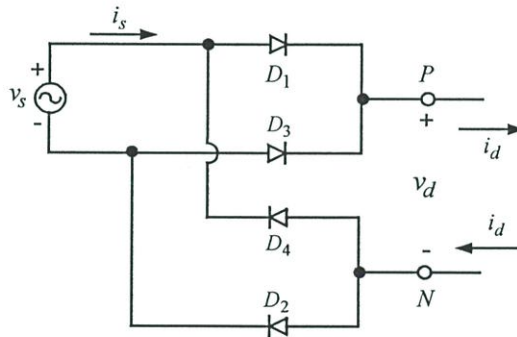


รูปที่ 2.6 ไดโอดบริดจ์เรกติไฟเออร์ในทางอุดมคติที่ $L_s = 0$

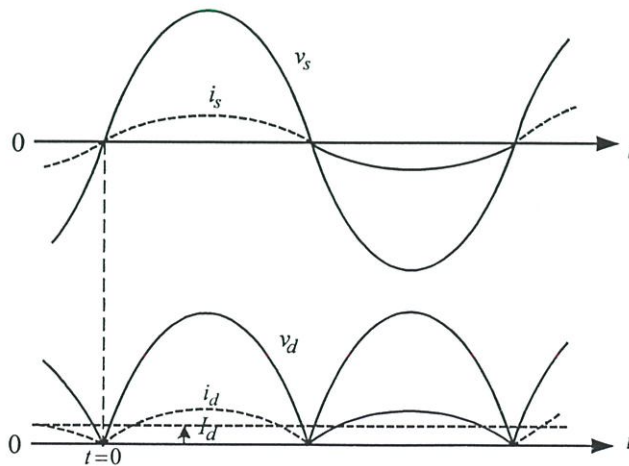
การอธิบายถึงโหลดที่กระแสชิ่งที่ในวงจรของรูปที่ 2.6(b)ถูกประมาณในกรณีที่ตัวเหนี่ยวนำขนาดใหญ่อาจจะถูกเชื่อมโยงที่ดีซีเอาท์พุทของเรกติไฟเออร์เพื่อเป็นฟิลเตอร์ดังในรูปที่ 2.5

วงจรในรูปที่ 2.6 ถูกนำมาแสดงในรูปที่ 2.7 ประกอบด้วยไดโอด 2 กลุ่ม กลุ่มบนที่ไดโอด 1 และ 3 และกลุ่มล่างที่ไดโอด 2 และ 4 เพื่อให้ง่ายต่อการพิจารณาการทำงานของแต่ละกลุ่มของไดโอดให้ $L_s = 0$ กระแส i_d ไหลไปยังคาโทดไดโอดของกลุ่มบนและคาโทดของกลุ่มล่างเป็นการนำกระแส i_d เมื่อ v_s เป็นบวก ไดโอด 1 จะนำกระแส i_d และ v_d จะเป็นเสมือนแรงดันไบแอสกลับทางกับไดโอด 3 เมื่อ v_s เป็นลบ ให้ $L_s = 0$ กระแส i_d จะคอมมิวเตทในช่วงหนึ่งไปยังไดโอด 3 เมื่อ $L_s = 0$ แรงดันไบแอสกลับทางกับไดโอด 1

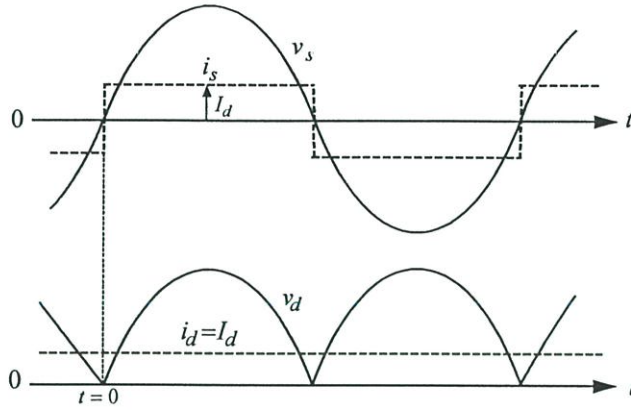
ในกลุ่มล่างอาโนดของไดโอด 2 ตัวที่ทำงานปกติพร้อมกับไดโอดที่คาโทดต่ำสุดจะนำกระแส i_d เมื่อ v_s เป็นบวก ไดโอด 2 จะนำกระแส i_d และ v_d เป็นแรงดันไบแอสกลับทางกับไดโอด 4 เมื่อ v_s เป็นลบ กระแส i_d จะคอมมิวเตทในช่วงหนึ่งไปยังไดโอด 4 และแรงดันไบแอสกลับทางกับไดโอด 2



รูปที่ 2.7 รูปคลื่นเรกติไฟเออร์ในรูปที่ 2.6



(a)



(b)

รูปที่ 2.8 รูปคลื่นรีกติไฟเออร์ของ (a) ในรูปที่ 2.6(a) และ (b) ในรูปที่ 2.6(b)

รูปคลื่นกระแสและแรงดันในวงจรรูปที่ 2.6 แสดงได้ดังรูปที่ 2.8(a) และ (b) เมื่อ v_s เป็นบวก ไคโอด 1 และ 2 จะนำ $v_d = v_s$ และ $i_s = i_d$ เมื่อ v_s เป็นลบ ไคโอด 3 และ 4 นำกระแส ด้วยเหตุนี้ $v_d = -v_s$ และ $i_s = -i_d$ ดังนั้นแรงดันเอาต์พุตของแรงดันดีซีเชื่อมโยงในไคโอดรีกติไฟเออร์คือ

$$v_d(t) = |v_s| \quad (2.27)$$

$$i_s = \begin{cases} i_d & \text{เมื่อ } v_s > 0 \\ -i_d & \text{เมื่อ } v_s < 0 \end{cases} \quad (2.28)$$

ในกรณีอุดมคติ ค่าเฉลี่ย V_{do} ของแรงดันดีซีเชื่อมโยงเอาต์พุต ทั้ง 2 วงจรสามารถหาได้จากการให้จุดกำเนิดเวลาที่ $t = 0$ ในรูปที่ 2.8 และการอินทิเกรต $v_s = \sqrt{2}V_s \sin \omega t$ ในคาบเชิงเวลา เมื่อ $\omega = 2\pi f$ และ $\omega T/2 = \pi$

$$V_{do} = \frac{1}{(T/2)} \int_0^{T/2} \sqrt{2}V_s \sin \omega t dt = \frac{1}{\omega T/2} (\sqrt{2}V_s \cos \omega t) \Big|_0^{T/2} = \frac{2}{\pi} \sqrt{2}V_s \quad (2.29)$$

ดังนั้น

$$V_{do} = \frac{2}{\pi} \sqrt{2}V_s = 0.9 V_s \quad (2.30)$$

เมื่อ V_s คือ ค่าอาร์เอ็มเอสของแรงดันอินพุต

จาก $i_d(t) = I_d$ รูปคลื่น v_s และ i_s ในรูปที่ 2.9(b) ตลอดจนส่วนประกอบความถี่พื้นฐาน i_{s1} ข้อจำกัดพื้นฐานของค่าอาร์เอ็มเอสต่อรูปคลื่น i_s ในกรณีอุดมคตินี้จะได้

$$I_s = I_d \quad (2.31)$$

จากการวิเคราะห์ฟูเรียร์ของ i_s ส่วนประกอบมูลฐานและฮาร์โมนิกส์มีค่าตามอาร์เอ็มเอสในกรณีอุดมคติ

$$I_{s1} = \frac{2}{\pi} \sqrt{2} I_d = 0.9 I_d \quad (2.32)$$

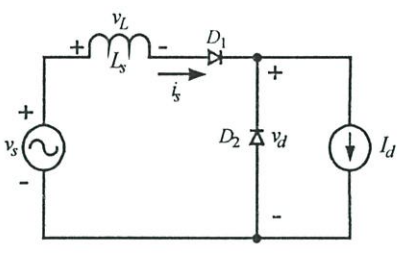
$$I_{sh} = \begin{cases} 0 & \text{สำหรับค่า } h \text{ และ} \\ I_{s1}/h & \text{สำหรับค่าคู่ของ } h \end{cases} \quad (2.33)$$

2.3.2 ผลกระทบของ L_s ที่มีต่อการคอมมิวเตทกระแส

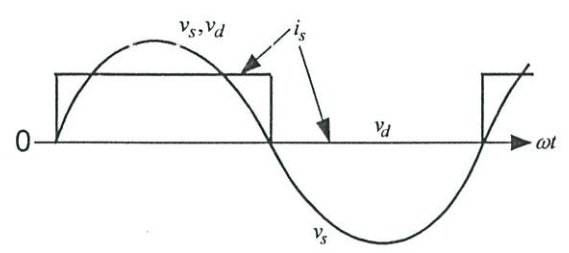
ผลกระทบของตัวเหนี่ยวนำ L_s ในการทำงานของวงจร สมมุติให้กระแสดีซีคิงที่ I_d ในรูปที่ 2.12(a) และค่ากระแส i_s จากค่า $+I_d$ ถึงค่า $-I_d$ จึงเป็นทรานเซียนท์ ที่เรียกว่า เวลาการคอมมิวเตทกระแส (Current Commutation Time) หรือ ช่วงของการคอมมิวเตท u (Commutation Interval u) และในขั้นตอนนี้เมื่อมีการนำกระแสเลื่อนจากไดโอดหนึ่งไปยังไดโอดอื่น เรียกว่า ขั้นตอนการคอมมิวเตทกระแส

ขั้นแรก ควรพิจารณาวงจรที่สมมุติขึ้นของรูป 2.9(a) ซึ่งมีไดโอด 2 ตัว ที่ถูกจ่ายจากแหล่งแรงดันไซน์ซอซอด้ล $v_s = \sqrt{2} V_s \sin \omega t$ การแทนเอาท์พุทโดยแหล่งกระแสดีซีคิงที่ I_d เพื่อเปรียบเทียบรูปที่ 2.9(b) ที่แสดงรูปคลื่น v_s, v_d และ i_s ที่มี $L_s = 0$

เมื่อ $\omega t = 0$ แรงดัน v_s เป็นลบและกระแส I_d ถูกหมุนเวียนไปยัง D_2 กับ $v_d = 0$ และ $i_s = 0$ เมื่อ v_s เป็นบวกที่ $\omega t = 0$ การเกิดแรงดันไบแอสเดินหน้าของ D_1 และเริ่มการนำกระแส การเพิ่ม i_s ได้มาจากวงจรในรูปที่ 2.10(a) เมื่อ D_2 กำลังนำกระแสจะเกิดการลัดวงจร สมมุติให้ไดโอดในอุดมคติ $v_d = 0$ ตามที่เพิ่ม i_s Mesh current แสดง I_d และ i_s ในเงื่อนไขของ Mesh current กระแสไดโอด $i_{D2} = I_d - i_s$

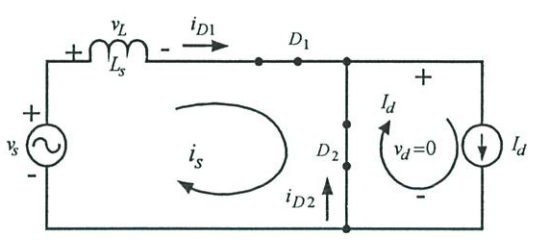


(a)

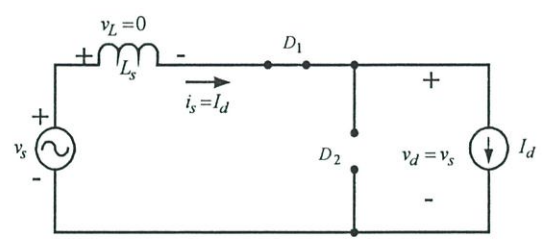


(b)

รูปที่ 2.9 วงจรพื้นฐานของการคอมมิวเตทกระแส สมมุติให้รูปคลื่นกระแส $L_s = 0$



(a)



(b)

รูปที่ 2.10 (a) วงจรระหว่างการคอมมิวเตท

(b) วงจรหลักจากการคอมมิวเตทกระแสที่สมบูรณ์

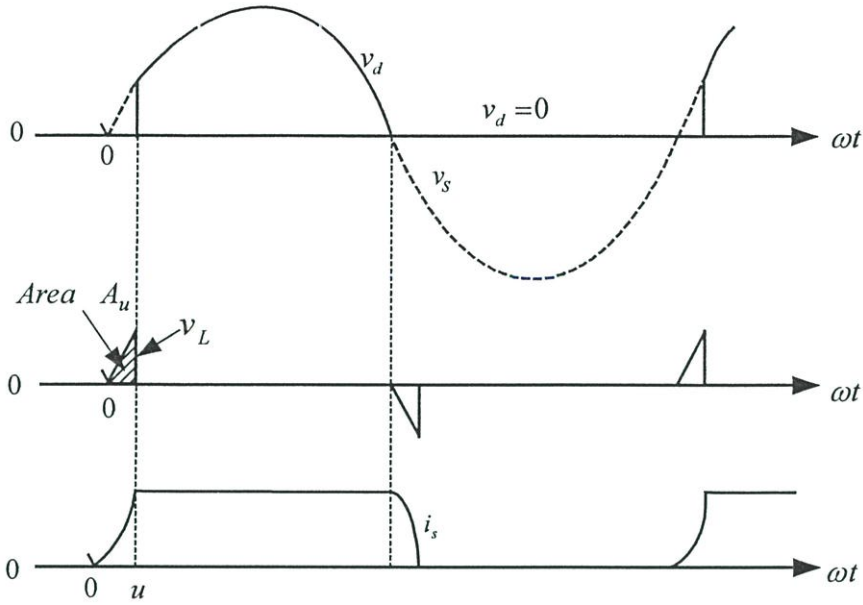
ดังนั้นการเพิ่ม i_s ค่า I_d ระหว่างช่วงคอมมิวเตท $\omega t = u$ เป็นบวกและ D_2 นำกระแสในวงจรของรูปที่ 2.10(a) กระแส i_s จะมากกว่า I_d เมื่อเกิดค่าลบของ i_{D2} ไดโอด D_2 หยุดนำกระแสที่ $\omega t = u$ ทำให้วงจรเป็นดังรูปที่ 2.10(b) รูปคลื่นถูกพล็อตดังรูปที่ 2.11 เป็นฟังก์ชันของ ωt

จากที่กล่าวมาในข้างต้น กระแส i_s ตลอดจนตัวเหนี่ยวนำเริ่มต้นด้วยค่าศูนย์ในช่วงการคอมมิวเตทและจบด้วยค่าของ I_d ที่สิ้นสุด เพื่อให้ได้ความยาวช่วงคอมมิวเตท u ซึ่งการพิจารณาสมการตัวเหนี่ยวนำระหว่างช่วงการคอมมิวเตทแรงดันอินพุทเอซีเป็นแรงดันการคอมมิวเตทกระแสกับตัวเหนี่ยวนำ ดังในรูปที่ 2.10(a)

$$v_L = \sqrt{2}V_s \sin \omega t = L_s \frac{di_s}{dt} \quad 0 < \omega t < u \quad (2.34)$$

ดังนั้นสามารถเขียนเป็น $\omega L_s di_s / d(\omega t)$

$$\sqrt{2}V_s \sin \omega t d(\omega t) = \omega L_s di_s \quad (2.35)$$



รูปที่ 2.11 รูปคลื่นในวงจรพื้นฐานของรูปที่ 2.9 จะเห็นได้ว่าค่าของ L_s ที่ถูกนำมาใช้แสดงถึงช่วงของการคอมมิวเตท

การอินทิเกรตของสมการที่ 2.35 จะสังเกตเห็นว่า i_s จากศูนย์จนถึง I_d ระหว่างช่วงคอมมิวเตท จากศูนย์จนถึง u จะได้

$$\int_0^u \sqrt{2}V_s \sin \omega t d(\omega t) = \omega L_s \int_0^{I_d} di_s = \omega L_s I_d \quad (2.36)$$

ในสมการที่ 2.36 เป็นการอินทิกรัลของแรงดันตัวเหนี่ยวนำ v_L ระหว่างช่วงการคอมมิวเตท อินทิกรัลแรงดันข้างต้นเป็นพื้นที่ที่โวลต์เรเดียน A_u ในรูปที่ 2.11

$$A_u = \int_0^u \sqrt{2}V_s \sin \omega t d(\omega t) = \sqrt{2}V_s (1 - \cos u) \quad (2.37)$$

จากสมการที่ 2.36 และ 2.37 จะได้

$$A_u = \sqrt{2}V_s (1 - \cos u) = \omega L_s I_d \quad (2.38)$$

จากสมการที่ 2.38 จะพบว่าอินทิกรัลของแรงดันการคอมมิวเตทในช่วงการคอมมิวเตทสามารถคำนวณจาก ω, L_s และการเปลี่ยนแปลงในกระแสผ่านไปยัง L_s ระหว่างการคอมมิวเตทจากสมการที่ 2.38

$$\cos u = 1 - \frac{\omega L_s I_d}{\sqrt{2} V_s} \quad (2.39)$$

สมการที่ 2.39 แสดงให้เห็นว่า หาก $L_s = 0$, $\cos u = 1$ และการคอมมิวเตทกระแสจะเป็นเพียงชั่วขณะหนึ่งที่มี $u = 0$ สำหรับการกำหนดความถี่ ω ช่วงการคอมมิวเตท u เพิ่มขึ้นด้วย L_s และ I_d โดยแรงดัน V_s ที่เพิ่มขึ้น

การจำกัดช่วงการคอมมิวเตทลดค่าเฉลี่ยของแรงดันเอาต์พุท ในรูปที่ 2.9(b) $L_s = 0$ ค่าเฉลี่ย V_{do} ของ v_d เป็น

$$V_{do} = \frac{1}{2\pi} \int_0^\pi \sqrt{2} V_s \sin \omega t d(\omega t) = \frac{2\sqrt{2}}{2\pi} V_s = 0.45 V_s \quad (2.40)$$

ที่ L_s และ ที่ไม่ใช่ศูนย์ u ในรูปที่ 2.11, $v_d = 0$ ระหว่างช่วง u ดังนั้น

$$V_d = \frac{1}{2\pi} \int_u^\pi \sqrt{2} V_s \sin \omega t d(\omega t) \quad (2.41)$$

ซึ่งสามารถเขียนได้ดังนี้

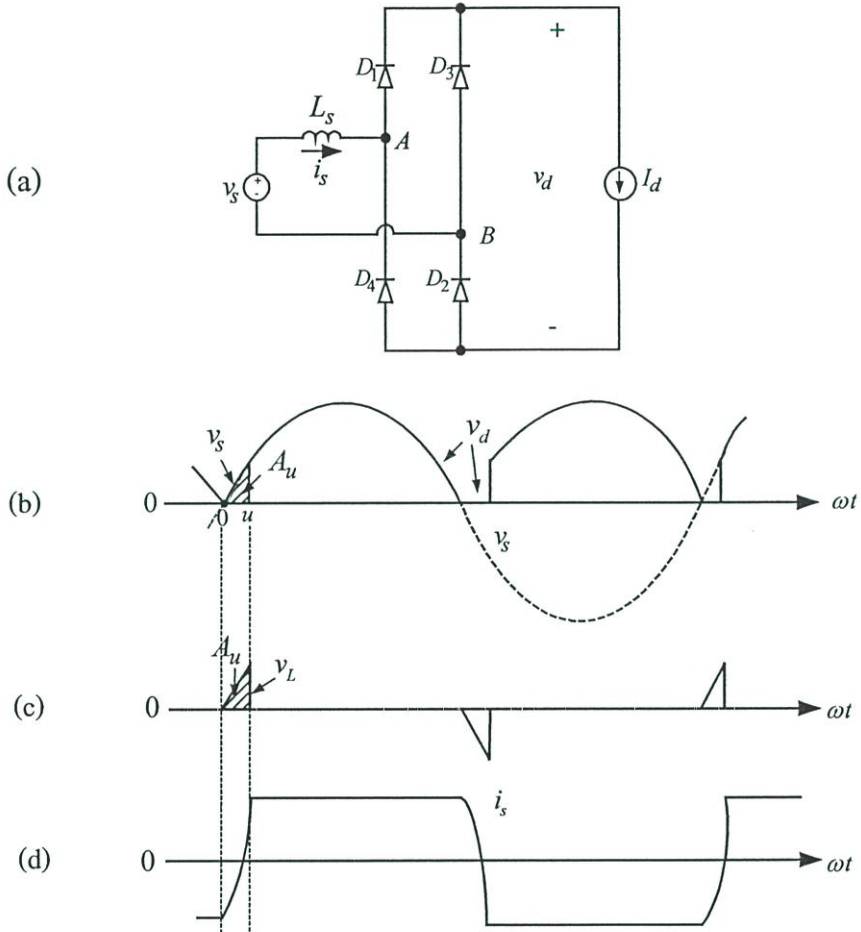
$$V_d = \frac{1}{2\pi} \int_0^\pi \sqrt{2} V_s \sin \omega t d(\omega t) - \frac{1}{2\pi} \int_0^u \sqrt{2} V_s \sin \omega t d(\omega t) \quad (2.42)$$

แทนค่าสมการที่ 2.40 และ 2.36 ในสมการที่ 2.42 จะได้

$$V_d = 0.45 V_s - \frac{\text{area } A_u}{2\pi} = 0.45 V_s - \frac{\omega L_s}{2\pi} I_d \quad (2.43)$$

เมื่อลดแรงดันเอาต์พุตเฉลี่ย ΔV_d จาก V_{do} ดังนั้น

$$\Delta V_d = \frac{\text{area } A_u}{2\pi} = \frac{\omega L_s}{2\pi} I_d \quad (2.44)$$



รูปที่ 2.12 (a) ไคโอดเร็คติไฟเออร์แบบเฟสเดียวที่ L_s

(b) รูปคลื่น

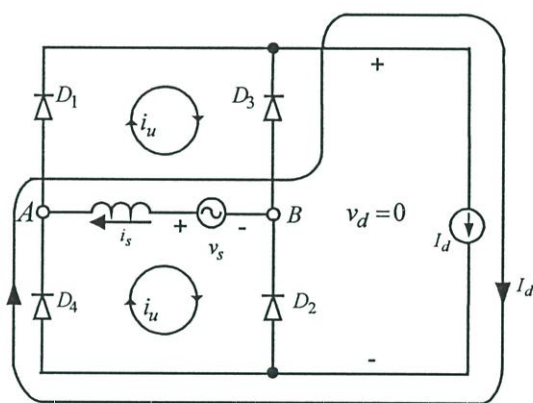
จากวงจรในรูปที่ 2.12(a) ได้แสดงรูปคลื่นในรูปที่ 2.12(b) ที่เป็นการพิจารณาขั้นตอนการคอมมิวเตทของกระแส ก่อนที่ $\omega t = 0$ ในรูปที่ 2.12 ไคโอด 3 และ 4 กำลังนำกระแส I_d ในวงจรรูปที่ 2.6(b) โดย $L_s = 0$ และ $i_s = -I_d$ ซึ่งวงจรของรูปที่ 2.12(a) แสดงได้ดังรูปที่ 2.13 เพื่อเสนอขั้นตอนการคอมมิวเตทกระแส ระหว่าง $0 < \omega t < u$ เมื่อ $t = 0$, v_s เป็นบวกและ ไคโอด 1 และ 2 เป็นไบแอสเดินหน้า เนื่องมาจากการลัดวงจรของการนำกระแสของไคโอด 3 และ 4 ในรูปที่ 2.13 เป็นการคอมมิวเตทกระแส i_u ของไคโอดทั้ง 4 ตัวที่เป็นการนำกระแสระหว่างช่วงการคอมมิวเตทและด้วยเหตุนี้ $v_d = 0$ ในเทอมของ Mesh current สามารถแสดงกระแสไคโอดและกระแสในไลน์ i_s ระหว่างช่วงการคอมมิวเตท เป็น

$$i_{D1} = i_{D2} = i_u \quad i_{D3} = i_{D4} = I_d - i_u \quad (2.45)$$

และ

$$i_s = -I_d + 2i_u \quad (2.46)$$

เมื่อ i_u ถูกเพิ่มจากศูนย์ที่จุดเริ่มต้นไปยัง I_d ที่จุดสิ้นสุดของช่วงการคอมมิวเตท ดังนั้นที่ $\omega t = u$, $i_{D1} = i_{D2} = I_d$ และ $i_s = I_d$ ระหว่างการคอมมิวเตทของกระแสจากไดโอด 3 และ 4 ไปยังไดโอด 1 และ 2 กระแสของตัวเหนี่ยวนำ L_s เปลี่ยนจาก $-I_d$ ถึง I_d เป็นการวิเคราะห์รูปที่ 2.9(a)



รูปที่ 2.13 วงจรของรูปที่ 2.12(a) ระหว่างการคอมมิวเตทกระแส

พื้นที่โวลท์เรเดียน A_u ในรูปคลื่นของรูปที่ 2.12(b) และ (c) สามารถเขียนจากสมการที่ 2.36 ถึง 2.38 เป็น

$$\text{พื้นที่โวลท์เรเดียน } A_u = \int_0^u \sqrt{2}V_s \sin \omega t d(\omega t) = \omega L_s \int_{-I_d}^{I_d} di_s = 2\omega L_s I_d \quad (2.47)$$

เมื่อการอินทิกรัลเป็น $i_s(0) = -I_d$ ดังนั้น

$$A_u = \sqrt{2}V_s (1 - \cos u) = 2\omega L_s I_d \quad (2.48)$$

และ

$$\cos u = 1 - \frac{2\omega L_s}{\sqrt{2}V_s} I_d \quad (2.49)$$

ซึ่งการคอมมิวเตตแสดงถึงวงรอบ ที่ i_s จาก I_d ถึง $-I_d$ และในวงจรมีค่าเฉลี่ยของ v_d ในกรณีอุดมคติที่ $L_s = 0$ คำนวณจากสมการที่ 2.30 เป็น $V_{do} = 0.9 V_s$ เมื่อค่าเฉลี่ย V_d คำนวณจากสมการที่ 2.40 ถึง 2.43 และคำนวณ V_d จากการตรวจสอบรูปที่ 2.12(b) เพื่อเปรียบเทียบกับกรณีอุดมคติ พื้นที่ A_u จะสูญเสียทุกๆครึ่งวงรอบจากอินทิกรัลและแรงดัน v_d จะได้ว่า

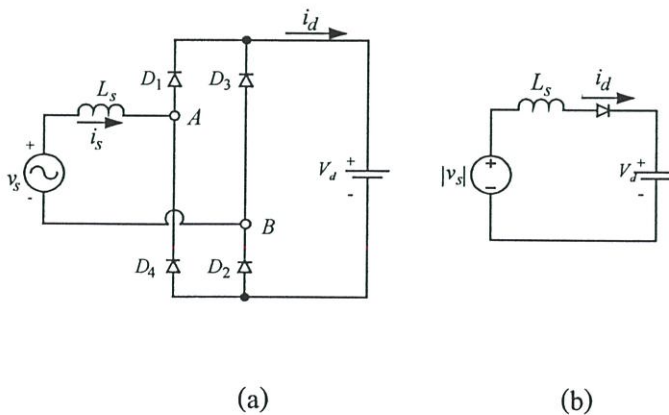
$$V_d = V_{do} - \frac{\text{area } A_u}{\pi} = 0.9V_s - \frac{2\omega L_s I_d}{\pi} \quad (2.50)$$

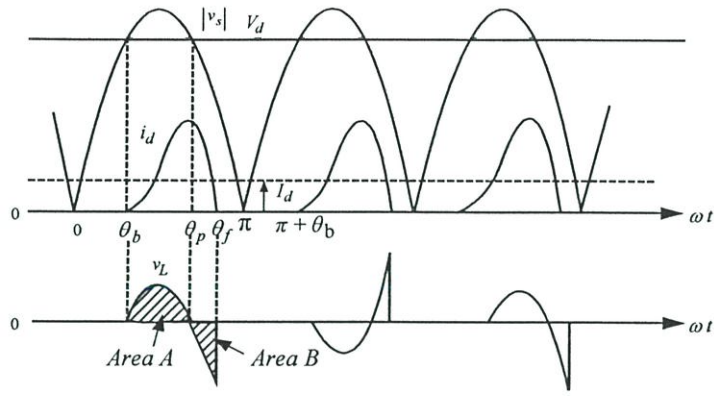
2.3.3 คุณสมบัติของเรกติไฟเออร์ ที่ $v_d(t) = V_d$

จากวงจรในรูปที่ 2.14(a) ที่แรงดันดีซีเชื่อมโยงที่ $v_d(t) = V_d$ พร้อมกับคาปาซิเตอร์ที่สภาวะของวงจรกระแส i_d เท่ากับศูนย์ดังในรูปที่ 2.14(c) ภายใต้สภาวะดังกล่าววงจรที่เทียบเท่าดังในรูปที่ 2.14(b) จากรูปคลื่นในรูปที่ 2.14(c) เมื่อค่า v_s มากกว่า V_d ที่ θ_b ไดโอดตัวที่ 1 และ 2 เริ่มนำกระแสไปสู่ค่าสูงสุดที่ θ_p ซึ่ง v_L จะเปลี่ยนเป็นลบ กระแสจะเป็นศูนย์ที่ θ_f เมื่อพื้นที่ Volt-second A และ B มีค่าเท่ากันหรือต่างมีค่าเท่ากับค่าติดลบ กระแสยังคงเป็นศูนย์จนถึง $\pi + \theta_b$ เมื่อค่า V_d ที่กำหนดค่าเฉลี่ย I_d โดย

มุม θ_b สามารถคำนวณได้จากสมการ

$$V_d = \sqrt{2}V_s \sin \theta_b \quad (2.51)$$





(c)

รูปที่ 2.14 (a) รีคตีไฟเออร์ที่แรงดันคัสเชื่อมโยงคท

(b) วงจรเทียบเท่า

(c) รูปคลื่น

จากรูปที่ 2.14(c) แรงดันเหนี่ยวนำเริ่มต้นศูนย์ที่ θ_b และเปลี่ยนเป็นศูนย์ที่ θ_p ก่อนจะเป็นค่าลบจากความสมมาตรในรูปที่ 2.14(c)

$$\theta_p = \pi - \theta_b \quad (2.52)$$

เมื่อเกิดการไหลของกระแสแรงดันเหนี่ยวนำ v_L จะถูกกำหนดโดย

$$v_L = L_s \frac{di_d}{dt} = \sqrt{2}V_s \sin(\omega t) - V_d \quad (2.53)$$

และอินทิกรัลที่เกี่ยวข้องกับ ωt สามารถเขียนเป็น

$$\omega L_s \int_{\theta_b}^{\theta} di_d = \int_{\theta_b}^{\theta} (\sqrt{2}V_s \sin \omega t - V_d) d(\omega t) \quad (2.54)$$

เมื่อ $\theta > \theta_b$ จะได้ i_d ที่ θ_b เป็นศูนย์ ดังสมการที่ 2.54 จะได้ว่า

$$i_d(\theta) = \frac{1}{\omega L_s} \int_{\theta_b}^{\theta} (\sqrt{2}V_s \sin \omega t - V_d) d(\omega t) \quad (2.55)$$

มุม θ_f ซึ่ง i_d เป็นศูนย์ จากสมการที่ 2.55 คือ

$$0 = \int_{\theta_b}^{\theta_f} (\sqrt{2}V_s \sin \omega t - V_d) d(\omega t) \quad (2.56)$$

ซึ่งสอดคล้องกับพื้นที่ A = พื้นที่ B ดังในรูปที่ 2.14(c)

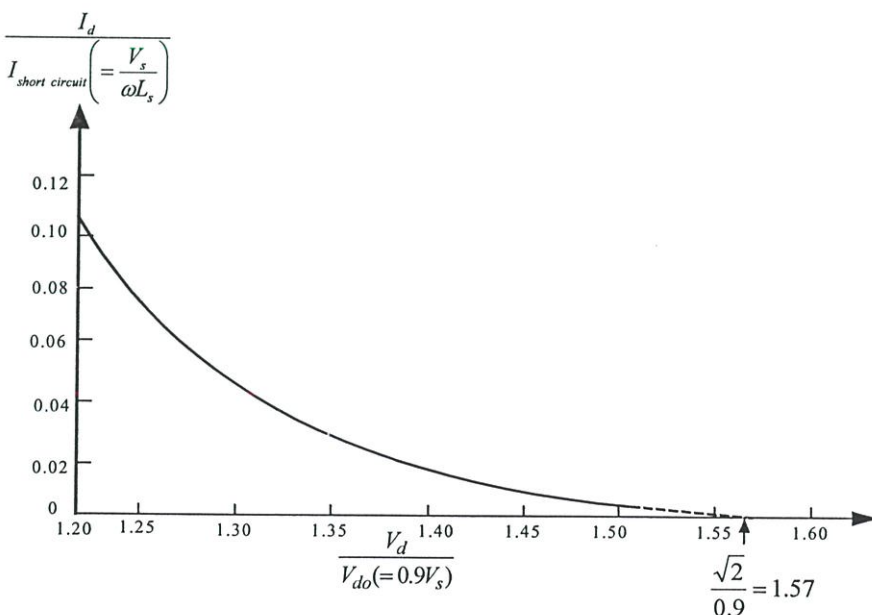
ค่าเฉลี่ย I_d ของกระแสคือหาได้จากการอินทิเกรต $i_d(\theta)$ จาก θ_b ถึง θ_f และหารด้วย π

$$I_d = \frac{\int_{\theta_b}^{\theta_f} i_d(\theta) d\theta}{\pi} \quad (2.57)$$

การกำหนดค่าพารามิเตอร์ของวงจรนั้น I_d จะขึ้นอยู่กับค่าของ V_d เพื่อนำเสนอความสัมพันธ์ระหว่างทั้ง 2 ในวิธีต่างๆไป ให้ V_d เป็นแบบปกติโดย V_{do} และ I_d จาก $I_{short\ circuit}$ เมื่อ

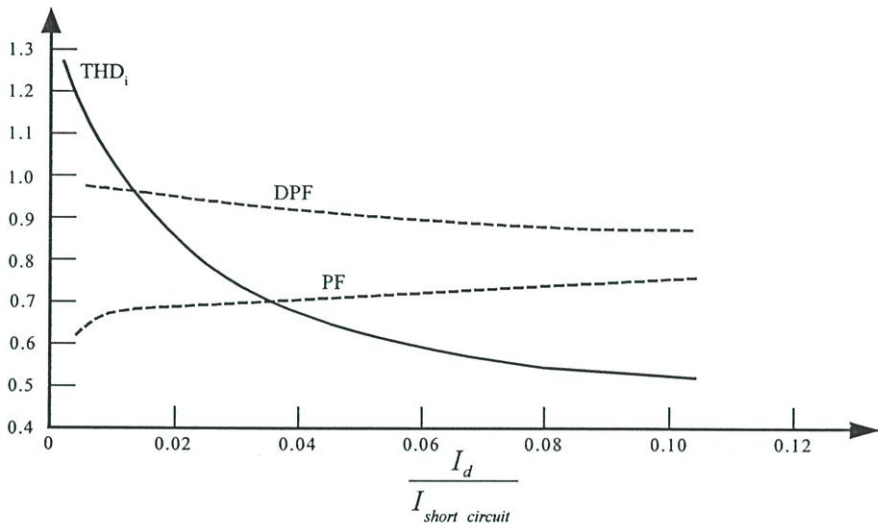
$$I_{short\ circuit} = \frac{V_s}{\omega L_s} \quad (2.58)$$

เป็นกระแสอาร์เอ็มเอสที่แหล่งแรงดันเอซี v_s ลัดวงจรไปสู่ L_s ผลที่ได้จากการปฏิบัติในข้างต้นที่กล่าวมานั้นถูกนำมาพล็อตในรูปที่ 2.15 เมื่อกระแสถึงศูนย์ ค่า V_d ไปสู่ค่าสูงสุดของแรงดันอินพุทเอซี



รูปที่ 2.15 I_d แบบปกติต่อ V_d ในเรกติไฟเออร์รูปที่ 2.14(a) กับแรงดันดีซีเชื่อมโยงคงที่

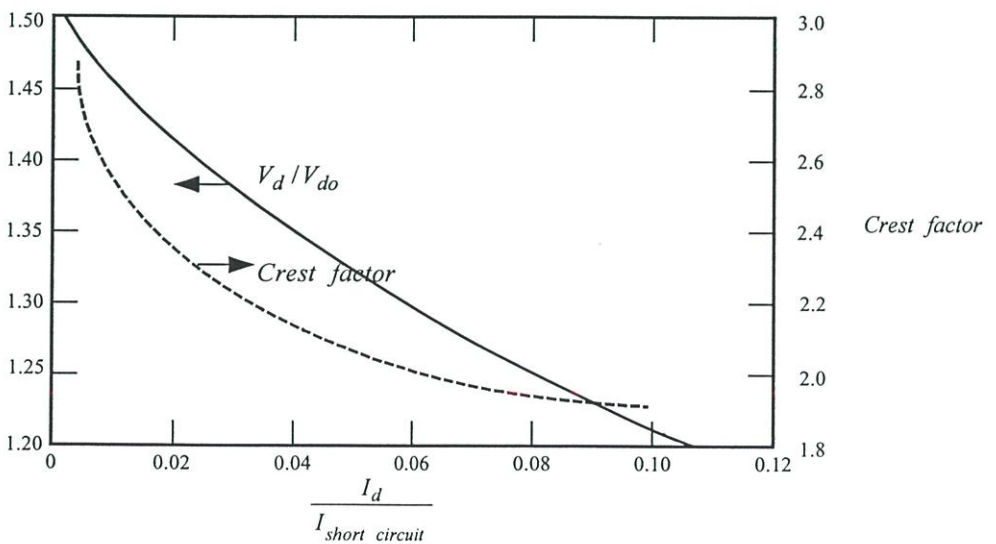
การประมาณค่าของแรงดันดีซีเชื่อมโยงที่คงที่ $v_d(t) = V_d$ อาจเป็นเหตุผลว่าวงจรที่สามารถใช้เป็นประโยชน์ได้มีสูงจากรูปที่ 2.5 หากว่าโหลดถูกเปลี่ยนโดยความต้านทานที่เทียบเท่า R_{load} ในรูปที่ 2.18 ค่าคงที่เวลา $C_d R_{load}$ มากกว่าค่าเวลาของความถี่ในไลน์เป็นผลให้รีปเปิลมีขนาดเล็กมากใน v_d การประมาณเป็นการนำเสนอลักษณะของเรคตีไฟเออร์ในแบบทั่วไปดังรูปที่ 2.16 และ 2.17 เป็นการพล็อตฟังก์ชันของกระแสดีซี I_d สำหรับการกำหนดค่า I_d การเพิ่ม L_s ผลใน $I_{short\ circuit}$ ที่ต่ำและด้วยเหตุนี้ $I_d / I_{short\ circuit}$ ที่สูง ดังนั้นรูปที่ 2.16 และ 2.17 แสดงการเพิ่ม L_s เป็นผลในการปรับปรุงรูปคลื่น i_s ซึ่งมี THD ต่ำกว่าทำให้เพาเวอร์แฟกเตอร์ดีขึ้นและ Crest factor (ที่ปรับปรุง) ต่ำกว่า ตามรูป



รูปที่ 2.16 ค่าความผิดเพี้ยนรวมของฮาร์โมนิกส์ ค่า DPF และค่า PF ในเรคตีไฟเออร์ของรูปที่

2.14(a) ซึ่งมีแรงดันดีซีเชื่อมโยงคงที่

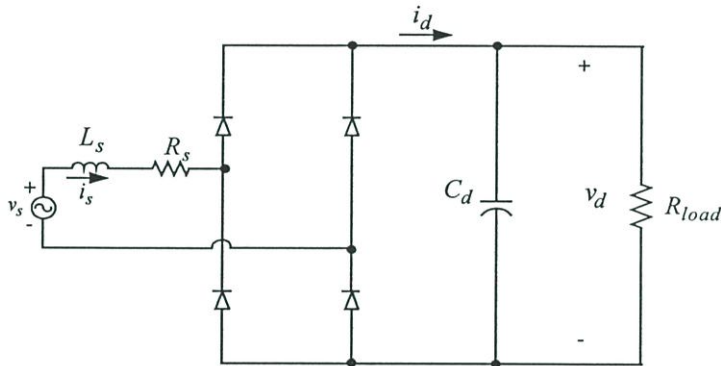
$$\frac{V_d}{V_{do} (= 0.9V_s)}$$



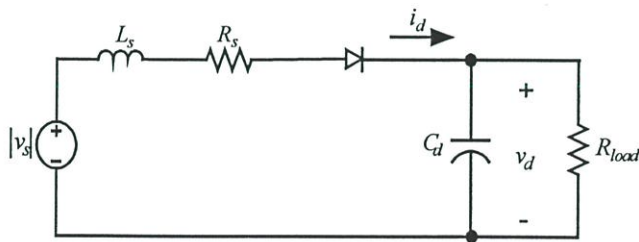
รูปที่ 2.17 V_d แบบปกติและ Crest factor ในเรคตีไฟเออร์ ของรูปที่ 2.14(a) ซึ่งมีแรงดันดีซีเชื่อมโยงคงที่

2.3.4 ไดโอดบริดจ์เรกติไฟเออร์ที่มีฟิลเตอร์คาปาซิเตอร์

จากรูปที่ 2.18 เมื่อโหลดถูกแทนด้วยความต้านทานที่เทียบเท่า R_{load} และในวงจรนี้มีรีปเปิลที่คาปาซิเตอร์ของแรงดันดีซีเชื่อมโยงที่ใช้ในการวิเคราะห์รูปคลื่นของวงจรและมีการคำนวณใช้ในการวิเคราะห์ภายใต้กระแสที่ไม่ต่อเนื่อง เงื่อนไขการทำงานของวงจรถูกตั้งสมมุติฐานเพื่อใช้ในความไม่ต่อเนื่องของกระแส i_d ซึ่งคล้ายคลึงกับรูปคลื่นในรูปที่ 2.14(c) ที่ i_d เป็นศูนย์และที่ v_s ทุกๆ ครั้งรอบ หลังจากวงจรที่เทียบเท่าของรูปที่ 2.19 นำมาใช้เพื่อคำนวณกระแสและแรงดันในรูปที่ 2.18 การคอมมิวเตทกระแสในช่วงต้นถูกรวมอยู่ในการวิเคราะห์นี้เพื่อที่จะอธิบายระบบในรูปที่ 2.19 สถานะของตัวแปรที่ถูกเลือกให้เป็นกระแสเหนี่ยวนำ i_d และแรงดันดีซีเชื่อมโยง v_d ระหว่างในแต่ละครั้งรอบของความถี่ในไลน์ที่มีช่วงแตกต่างกัน 2 ช่วงคล้ายกับรูปที่ 2.14(c) เมื่อ $t_b = \theta_b / \omega$ และ $t_f = \theta_f / \omega$



รูปที่ 2.18 ไดโอดบริดจ์เรกติไฟเออร์ที่มีฟิลเตอร์คาปาซิเตอร์



รูปที่ 2.19 วงจรที่เทียบเท่าของรูปที่ 2.18

(a) $t_b < t < t_f$ เมื่อกระแสไหลระหว่าง $t_b < t < t_f$ เมื่อ t_b เป็นจุดเริ่มต้นของการนำกระแส และ t_f เป็นเวลาการนำกระแสสุดท้ายดังสมการของความถี่ในไลน์

$$|v_s| = R_s i_d + L_s \frac{di_d}{dt} + v_d \quad (2.59)$$

และ

$$i_d = C_d \frac{dv_d}{dt} + \frac{v_d}{R_{load}} \quad (2.60)$$

เมื่อ KVL และ KCL เป็นกฎแรงดันและกระแสของ Kirchoff การนำสมการที่กล่าวมาในข้างต้นมาจัดรูปแบบใหม่ในรูปของตัวแปรระหว่าง $t_b < t < t_f$ จะได้

$$\begin{bmatrix} \frac{di_d}{dt} \\ \frac{dv_d}{dt} \end{bmatrix} = \begin{bmatrix} -\frac{R_s}{L_s} & -\frac{1}{L_s} \\ \frac{1}{C_d} & -\frac{1}{C_d R_{load}} \end{bmatrix} \begin{bmatrix} i_d \\ v_d \end{bmatrix} + \begin{bmatrix} \frac{1}{L_s} \\ 0 \end{bmatrix} |v_s| \quad (2.61)$$

สถานะที่แปรผันของเวกเตอร์ x ประกอบด้วย i_d และ v_d ในรูปเมตริก คือ

$$A = \begin{bmatrix} -\frac{R_s}{L_s} & -\frac{1}{L_s} \\ \frac{1}{C_d} & -\frac{1}{C_d R_{load}} \end{bmatrix} \quad (2.62)$$

และ

$$b = \begin{bmatrix} \frac{1}{L_s} \\ 0 \end{bmatrix} \quad (2.63)$$

ดังนั้นจะได้ว่า

$$x(t) = Mx(t - \Delta t) + N \left[|v_s(t)| - |v_s(t - \Delta t)| \right] \quad (2.64)$$

เมื่อ

$$M = \left[M - \frac{\Delta t}{2} A \right]^{-1} \cdot \left[I + \frac{\Delta t}{2} A \right]$$

$$N = \left[I \quad \frac{\Delta t}{2} \quad \Lambda \right]^{-1} \frac{\Delta t}{2} b \quad (2.65)$$

(b) $t_f < t < t_b + \frac{1}{2}T$ ระหว่างช่วง $t_f < t < t_b + \frac{1}{2}T$ เมื่อบริดจ์เร็คติไฟเออร์ไม่ถูกนำกระแส

$$i_d = 0 \quad (2.66)$$

และ

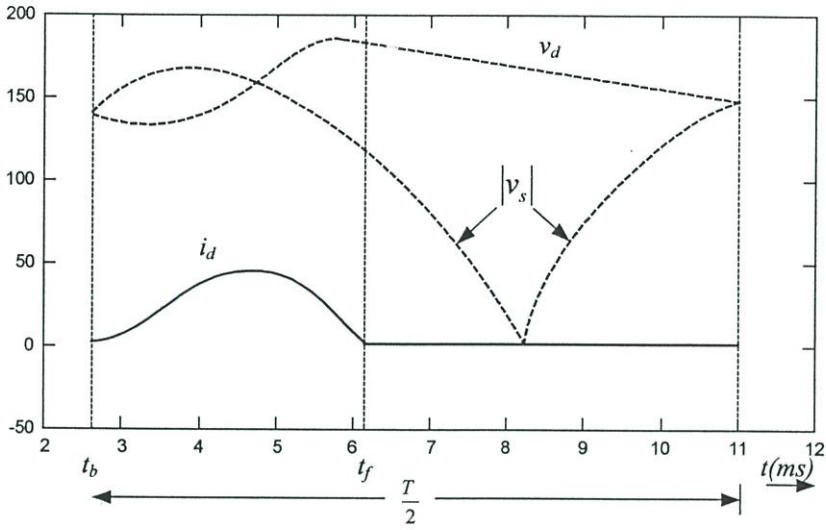
$$\frac{dv_d}{dt} = -\frac{1}{C_d R_{load}} v_d \quad (2.67)$$

ดังนั้นจากสมการที่ 2.67 จะได้

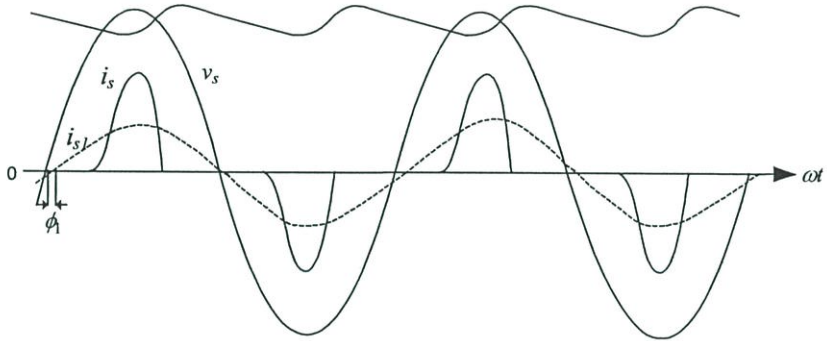
$$v_d(t) = v_d(t_f) e^{-(t-t_f)/(C_d R_{load})} \quad (2.68)$$

จากสมการที่ 2.68 เมื่อทำการเพิ่มค่า C_d หรือ R_{load} ให้มากขึ้นจะทำให้เวลาในการคายประจุสั้น ใช้เวลานานมากขึ้นจึงทำให้แรงดันกระแสตรง $v_d(t)$ เรียบมากขึ้นแต่จะส่งผลให้ค่า DPF (Displacement Power Factor), PF (Power Factor) ทางด้านอินพุตต่ำลงและค่าความผิดเพี้ยนรวมของ กระแสอินพุต (THD) มีค่ามากขึ้นและในทางตรงกันข้ามเมื่อลดค่า C_d หรือมีการเพิ่มขึ้นของกระแส โหลด ทำให้เวลาคายประจุน้อยลงเป็นผลให้แรงดันกระแสตรงเกิดริบเปิดมากจึงทำให้กระแสและแรงดันเอาต์พุตไม่เป็นรูปคลื่นไซน์และจะมีผลต่อสมรรถนะของอินเวอร์เตอร์

จากสมการที่ 2.64 และ 2.68 ต้องใช้เวลาคงที่ t_b ซึ่งเริ่มต้นการนำกระแส ค่า t_b ที่แท้จริงเป็นผล ในการเริ่มต้นของการนำกระแสที่เป็นไปอย่างช้าๆ จากค่าที่ถูกเลือกเดิมจนกระทั่งได้ค่าที่แท้จริงภายในค่าที่ยอมรับได้



(a)

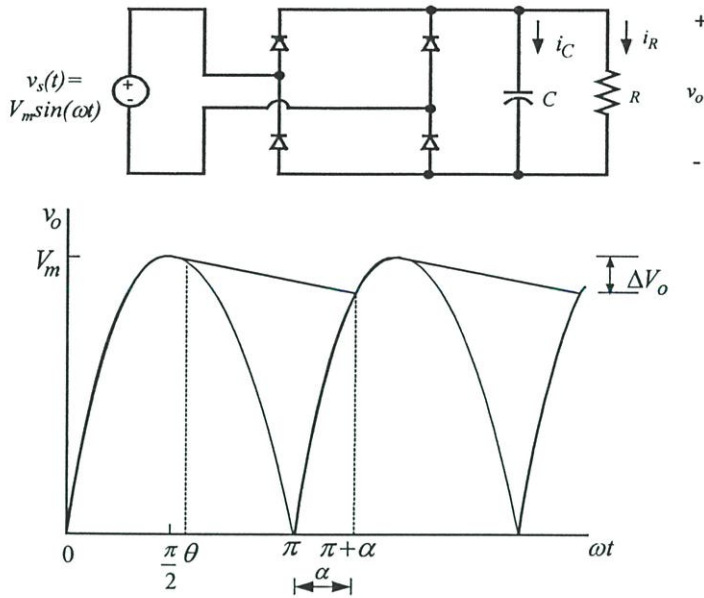


(b)

รูปที่ 2.20 รูปคลื่นในวงจรของรูปที่ 2.18

2.4 คาปาซิเตอร์เอ้าท์พุทฟิลเตอร์ [10]

คาปาซิเตอร์ที่ขนานด้วยโหลดตัวต้านทานสามารถทำให้เกิดแรงดันเอ้าท์พุทซึ่งเป็นกระแสตรง ดังรูปที่ 2.21 การวิเคราะห์คล้ายคลึงกับการเรียงกระแสแบบครึ่งคลื่น โดยวงจรแบบเต็มรูปคลื่นจะมีการคายประจุของตัวคาปาซิเตอร์ที่ใช้เวลาน้อยกว่าวงจรครึ่งคลื่น เนื่องจากรูปคลื่นเรียงกระแสในอันดับ 2 ครั้งของแต่ละระยะเวลาที่เปิดแรงดันเอ้าท์พุทของตัวเรียงกระแสแบบเต็มรูปคลื่น โดยประมาณ 1.5 ของตัวเรียงกระแสครึ่งคลื่นแรงดันเอ้าท์พุทสูงสุดจะน้อยกว่าในวงจรแบบเต็มรูปคลื่น เนื่องจากมีแรงดันไดโอด 2 ระยะ



รูปที่ 2.21 เร็คติไฟเออร์แบบเต็มคลื่นที่มีคาปาซิเตอร์ฟิลเตอร์

ในการวิเคราะห์ห้ขั้นตอนเร็คติไฟเออร์แบบครึ่งคลื่นที่แรงดันเอาต์พุตเป็นฟังก์ชันไซน์ หากสมมติให้ไดโอดในอุดมคติ คือ

$$v_o(\omega t) = \begin{cases} |V_m \sin \omega t| & \text{one diode pair on} \\ (V_m \sin \theta) e^{-(\omega t - \theta) / \omega RC} & \text{diodes off} \end{cases} \quad (2.69)$$

เมื่อ θ คือ มุมที่ไดโอดไบแอสกลับทางซึ่งเป็นแบบเดียวกันกับตัวเรียงกระแสแบบครึ่งคลื่นดังสมการ

$$\theta = \tan^{-1}(-\omega RC) = -\tan^{-1}(\omega RC) + \pi \quad (2.70)$$

แรงดันเอาต์พุตสูงสุดคือ V_m และแรงดันเอาต์พุตต่ำสุดถูกประมาณจากการกำหนดค่า v_o ที่มุมของไดโอดที่ $\omega t = \pi + \alpha$

$$(V_m \sin \theta) e^{-(\pi + \alpha - \theta) / \omega RC} = -V_m \sin(\pi + \alpha)$$

หรือ

$$(\sin \theta) e^{-(\pi + \alpha - \theta) / \omega RC} - \sin(\alpha) = 0 \quad (2.71)$$

การแปรผันแรงดันยอด-ยอดหรือริบเปิดเป็นความแตกต่างระหว่างแรงดันสูงสุดและต่ำสุดที่

$$\Delta V_0 = V_m - |V_m \sin(\pi + \alpha)| = V_m(1 - \sin \alpha) \quad (2.72)$$

ซึ่งคล้ายกับสมการในการแปรผันแรงดันในตัวเรียงกระแสแบบครึ่งคลื่น หากแต่ α มีขนาดใหญ่สำหรับตัวเรียงกระแสแบบเต็มรูปคลื่นและริบเปิดมีขนาดเล็กสำหรับโหลดที่กำหนดกระแสคาปาซิเตอร์ถูกกล่าวถึงจากสมการตัวเรียงกระแสแบบครึ่งคลื่น
เมื่อ $\omega RC > \pi$

$$\theta \approx \pi/2$$

$$\alpha \approx \pi/2 \quad (2.73)$$

แรงดันเอาต์พุตที่ต่ำสุดที่ถูกประมาณจากสมการที่ 2.70 สำหรับ Diode off $\omega t = \pi$

$$v_o(\pi + \alpha) = V_m e^{-(\pi + \pi/2 - \pi/2)/\omega RC} = V_m e^{-\pi/\omega RC} \quad (2.74)$$

แรงดันริบเปิดสำหรับตัวเรียงกระแสแบบเต็มรูปคลื่นที่มีฟิลเตอร์ของคาปาซิเตอร์สามารถหาได้จาก

$$\Delta V_o \approx V_m(1 - e^{-\pi/\omega RC}) \quad (2.75)$$

นอกจากนี้ตัวชี้กำลังในสมการสามารถประมาณจากการขยายจำนวนตัวเลขคือ

$$e^{-\pi/\omega RC} \approx 1 - \frac{\pi}{\omega RC} \quad (2.76)$$

การแทนค่าตัวชี้กำลังในการประมาณริบเปิด ยอด-ยอด คือ

$$\Delta V_o \approx \frac{V_m \pi}{\omega RC} = \frac{V_m}{2 fRC} \quad (2.77)$$

ซึ่งแรงดันริบเปิด ยอด-ยอดที่ถูกประมาณสำหรับตัวเรียงกระแสแบบเต็มรูปคลื่นเป็นครึ่งหนึ่งของตัวเรียงกระแสแบบครึ่งคลื่น

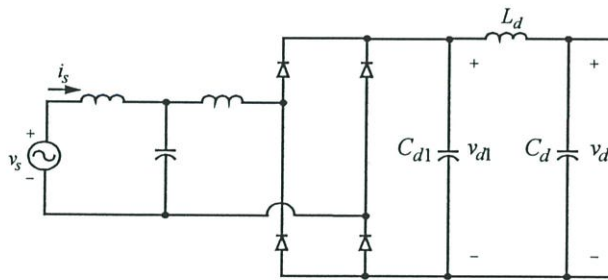
2.5 การปรับปรุงยูทิลิตี้อินเตอร์เฟสแบบเฟสเดียว

เป็นการปรับปรุงยูทิลิตี้อินเตอร์เฟสของอุปกรณ์พาวเวอร์อิเล็กทรอนิกส์ซึ่งอาศัยวิธีการดังนี้

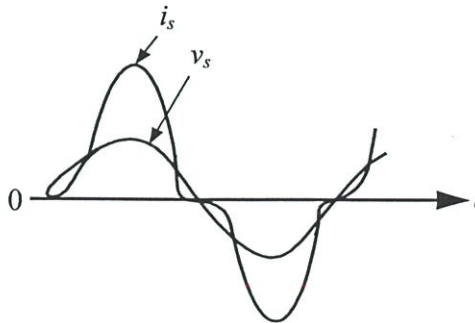
2.5.1 วงจรพาสซีฟ

เป็นการนำตัวเหนี่ยวนำและคาปาซิเตอร์ถูกนำมาใช้ในการเชื่อมต่อกับไดโอดบริดจ์เรกติไฟเออร์เพื่อแก้ไขรูปคลื่นของกระแสจาก Utility Grid โดยการเพิ่มตัวเหนี่ยวนำใน ac side ของบริดจ์เรกติไฟเออร์ในรูปที่ 2.1 ผลที่ได้คือ ค่าอินดักแตนซ์ L_s จะทำให้ ac side มีประสิทธิภาพสูง ซึ่งเป็นการปรับปรุงพาวเวอร์แฟคเตอร์และลดฮาร์โมนิกส์ซึ่งผลกระทบของการเพิ่มตัวเหนี่ยวนำจะมีผลกระทบดังนี้

- เป็นการแก้ไขรูปคลื่นกระแสพาวเวอร์แฟคเตอร์จากค่าที่ต่ำให้เป็นค่าที่ยอมรับได้
- แรงดันเอาต์พุต V_d ขึ้นอยู่กับเอาต์พุตของโหลดและมีค่าต่ำ (~10%) เมื่อเปรียบเทียบกับกรณีที่ไม่มีตัวเหนี่ยวนำ
- ตัวเหนี่ยวนำและ C_d ในรูปที่ 2.1 เป็นวงจรกรองแบบ Low-pass filter ที่รีปเปิลยอด-ยอดของแรงดันเอาต์พุตเรกติไฟเออร์ V_d จะมีค่าน้อย
- ประสิทธิภาพพลังงานยังคงเหมือนเดิมแต่การสูญเสียในตัวเหนี่ยวนำจะเพิ่มขึ้นหากแต่การสูญเสียของการนำไดโอดน้อยมาก



(a)



(b)

รูปที่ 2.22 วงจรพาสซีฟฟิลเตอร์ที่แก้ไขรูปคลื่น i_s

- a) การจัดเรียงพาสซีฟฟิลเตอร์
- b) รูปคลื่นของกระแส

มีความเป็นไปได้ว่าการแก้ไขรูปคลื่นกระแสอินพุทของ รูปที่ 2.22(b) จากการจัดเรียงวงจรในรูปที่ 2.22(a) ที่ประกอบด้วย C_{d1} ในบริดจ์เรกติไฟเออร์ ซึ่งมีความสัมพันธ์กับ C_d ซึ่งยอมให้เกิดริปเปิลใน V_{d1} แต่ผลในรูปคลื่นที่แก้ไข i_s ของริปเปิล V_{d1} จะถูกรองออกจากวงจรแบบ Low-pass filter ที่ประกอบด้วย L_d และ C_d ข้อเสียของการจัดเรียงเช่นนี้ คือ ต้นทุน ขนาด การสูญเสีย ที่ขึ้นอยู่กับค่าเฉลี่ยของแรงดันดีซีเชื่อมโยง V_d ในวงจรกำลัง

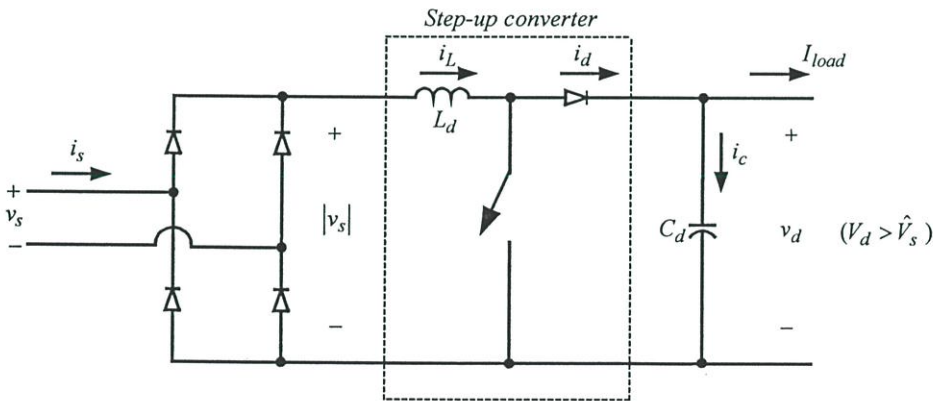
2.5.2 Active Shaping สำหรับกระแสอินพุท

จากการใช้คอนเวอร์เตอร์ของอิเล็กทรอนิกส์กำลัง เพื่อให้ได้รูปคลื่นของกระแสในรูปที่ 2.23(a) มีความเป็นไปได้ว่ากระแสอินพุทของบริดจ์เรกติไฟเออร์เป็นไซน์ซอซอซคัล

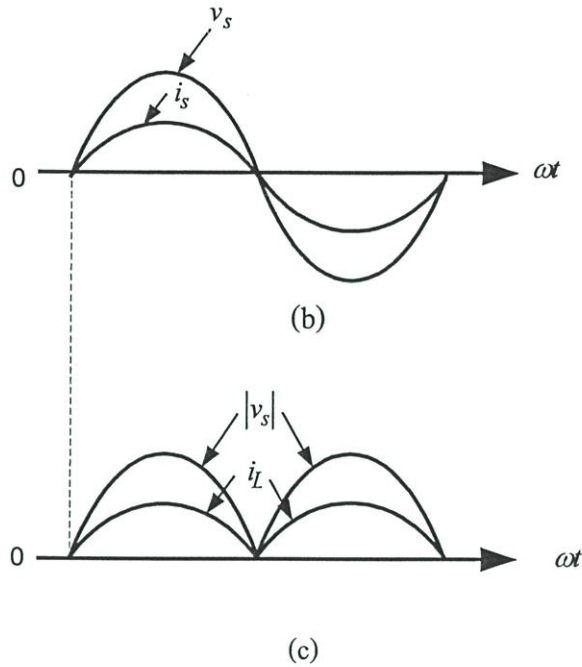
หากยึดตามข้อพิจารณาที่ว่า $V_d > \hat{V}_s$ เมื่อ \hat{V}_s เป็นค่ายอดของแรงดันเอซีอินพุทของคอนเวอร์เตอร์แบบ Step-up ดีซี-ดีซี โดยคอนเวอร์เตอร์แสดงได้ดังรูปที่ 2.23(a) เมื่อ C_d ถูกใช้เพื่อลดริปเปิลใน v_d และเป็นการสะสมพลังงานของระบบเพาเวอร์อิเล็กทรอนิกส์กระแสดีซี

ซึ่งหลักการพื้นฐานการทำงานของกระแส i_s ที่เป็นไซน์ซอซอซคัลของ v_s ที่เอาต์พุทยูทิลิตี้แสดงดังรูปที่ 2.23(b) จึงทำให้เอาต์พุทของฟูลบริดจ์เรกติไฟเออร์ i_L และ $|v_s|$ มีรูปคลื่นแบบเดียวกันดังแสดงในรูปที่ 2.23(c) เมื่อ $\hat{V}_s = \sqrt{2}V_s$ และ $\hat{I}_s = \sqrt{2}I_s$

จากที่กล่าวมาจึงทำให้มีต้นทุนและการสูญเสียของกำลังที่สูงและรูปคลื่นกระแสแอกทีฟมีความซับซ้อนต่อการนำมาใช้งาน



(a)



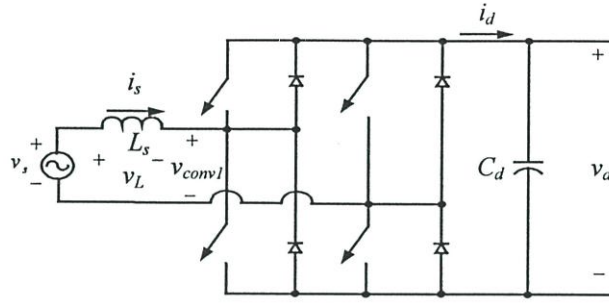
รูปที่ 2.23 การกรองแอกทีฟฮาร์โมนิกส์

- (a) Step-up คอนเวอร์เตอร์ของรูปคลื่นกระแส
- (b) รูปคลื่น
- (c) V_s และ i_L

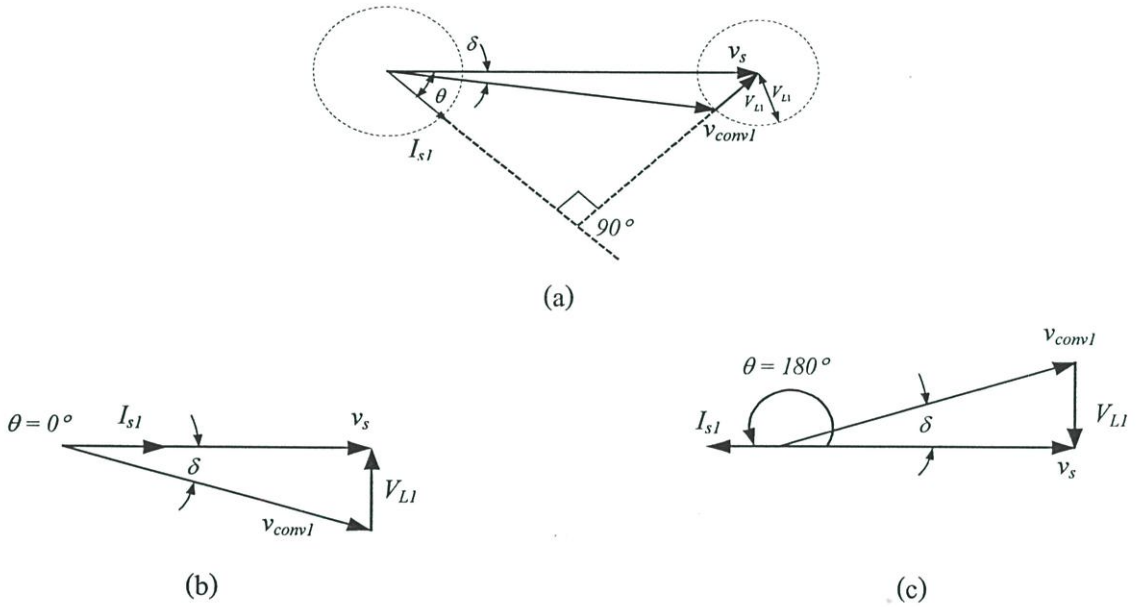
2.5.3 คอนเวอร์เตอร์สำหรับ Bidirectional Power Flow

ตัวอย่างของการนำไปประยุกต์ใช้งาน เช่น การขับเคลื่อนมอเตอร์ที่มีระบบการเบรกแบบพลวัต (Regenerative braking) การไหลของกำลังผ่านยูทิลิตี้อินเวอร์เตอร์เฟสคอนเวอร์เตอร์ย้อนกลับระหว่างระบบการเบรกแบบพลวัต ในขณะที่พลังงานจลน์ (Kinetic energy) สัมพันธ์กับแรงเฉื่อยของมอเตอร์และโหลดที่ถูกชดเชยป้อนกลับไปยังระบบยูทิลิตี้

จากรูปที่ 2.24 เป็นการใช้อิมพลีเมนต์คอนเวอร์เตอร์ที่ถือได้ว่าเป็นโหมคสวิชอินเวอร์เตอร์ 4 ควอดแรนซ์ ของอินเวอร์เตอร์โหมคกำลังที่ไหลจากดีซีไปยังเอซีเร็คติไฟเออร์เป็นโหมคของการทำงาน i_s ซึ่งเป็นการเพิ่มการเหนี่ยวนำภายในของแหล่งกำเนิดยูทิลิตี้ รวมถึงลคริปเปิลใน i_s ที่ความถี่สวิชซึ่งที่จำกัดของวงจรรูปที่ 2.24 สมมุติให้ v_s เป็นไซน์ชอยด์ลที่ความถี่พื้นฐานของ v_{conv} และ i_s เมื่อ $V_s = V_s e^{j\omega t}$ ที่ความถี่ $\omega = 2\pi f$



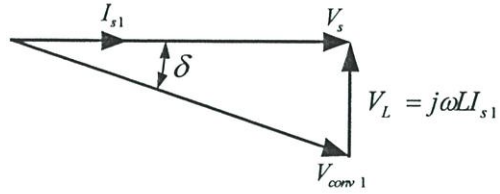
รูปที่ 2.24 สวิตซ์โหมคคอนเวอร์เตอร์ของยูทิลิตี้อินเตอร์เฟส



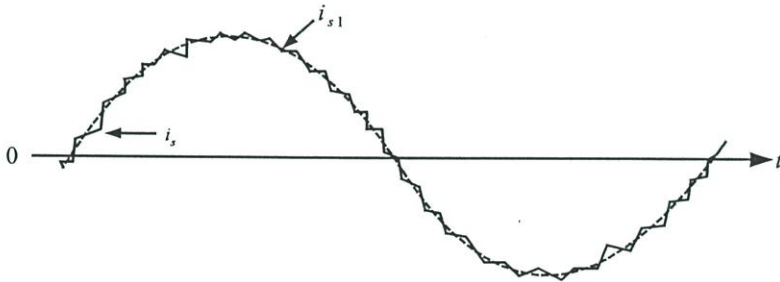
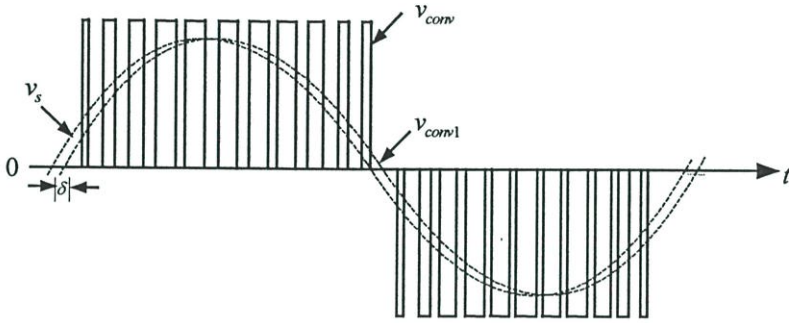
รูปที่ 2.25 การเร็คตีไฟเออร์และการผกผัน

- (a) เฟสเซอร์ไดอะแกรมแบบทั่วไป
- (b) การเร็คตีไฟเออร์ที่ยูนิตีเพาเวอร์แฟคเตอร์
- (c) การผกผันที่ยูนิตีเพาเวอร์แฟคเตอร์

จากรูปที่ 2.25(a) $V_s - \omega L_s I_{s1} \sin \theta = V_{conv1} \cos \delta$ ที่ Q เป็นค่ารวมของรีแอกทีฟเพาเวอร์ ดังนั้น Q สามารถถูกประมาณได้ว่าเป็นรีแอกทีฟเพาเวอร์ที่ถูกดูดซึมจากคอนเวอร์เตอร์ ซึ่งแรงดันในไลน์ v_s และตัวเหนี่ยวนำ L_s ค่า P และ Q ที่ต้องการได้จากการควบคุมขนาดและเฟสของ v_{conv1} ที่เป็นการเปลี่ยนแปลงของ I_{s1} ในรูปที่ 2.25(a) จะถูกตาม โดย loci ของเฟสเซอร์ I_{s1} และ V_{conv1} และในรูปที่ 2.26 เป็นการทํางานของเร็คตีไฟเออร์ที่เป็นยูทิลิตี้ ด้วยเหตุนี้ทำให้ต้องมีการเพิ่มวงจรควบคุมที่ซับซ้อนเข้าไปในระบบ



(a)



(b)

รูปที่ 2.26 รูปคลื่นของวงจรรูปที่ 2.23 ที่การทำงานของยูนิตเฟาเวอร์เฟคเตอร์

(a) เฟสเซอร์ไคอะแกรม

(b) รูปคลื่นวงจร

2.6 สรุป

ในบทนี้ได้กล่าวถึงรูปคลื่นน็อนไซน์ซอซยคัลและทฤษฎีพื้นฐานเอซี/ดีซีของคอนเวอร์เตอร์แบบเฟสเดียวที่มีการวิเคราะห์ฟูเรียร์ของรูปคลื่นน็อนไซน์ซอซยคัล ความผิดเพี้ยนของรูปคลื่นกระแสกำลังและเพาเวอร์แฟคเตอร์ที่กล่าวถึงความสัมพันธ์ของกำลังไฟฟ้าในรูป DPF (Displacement Power Factor) ของรูปคลื่นกระแสและตัวประกอบกำลัง PF (Power Factor) พร้อมทั้งมีการนำเสนอหลักการงานและคุณลักษณะของวงจรไดโอดบริดจ์เร็คติไฟเออร์แบบเฟสเดียวที่แสดงถึงความสัมพันธ์ของคาปาซิเตอร์เอาท์พุทฟิลเตอร์ของแรงดันดีซีเชื่อมโยง เมื่อเกิดริบเปิดแล้วเปรียบเทียบการทำงานและคุณลักษณะของเอซี/ดีซีคอนเวอร์เตอร์เฟสเดียวในแบบต่างๆ รวมถึงการปรับปรุงยูทิลิตีอินเตอร์เฟสแบบเฟสเดียวโดยใช้วงจรพาสซีฟ Active Shapingสำหรับกระแสอินพุทและการทำงานในรูปแบบของ Bidirectional power flow ซึ่งในงานวิจัยนี้ได้เลือกใช้ไดโอดบริดจ์เร็คติไฟเออร์เพราะมีความสะดวกในการนำไปประยุกต์ใช้งาน โดยไม่ต้องเพิ่มวงจรควบคุมที่ซับซ้อนเข้าไปในระบบเพื่อปรับปรุงสมรรถนะทางด้านอินพุทให้ดีขึ้นเพียงแต่ลดค่าคาปาซิเตอร์ที่แรงดันดีซีเชื่อมโยง

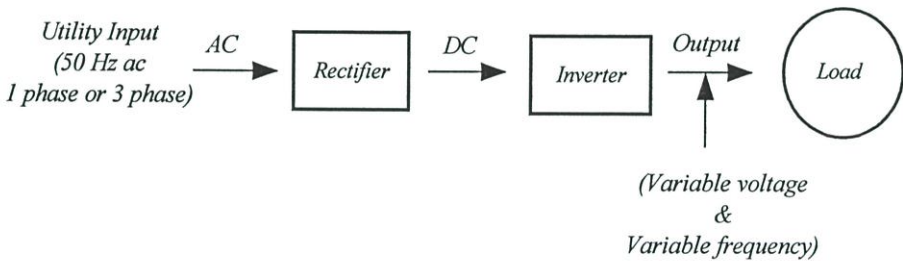
บทที่ 3

ทฤษฎีพื้นฐานของอินเวอร์เตอร์สำหรับแหล่งจ่ายกระแสสลับ

3.1 บทนำ

ปัจจุบันอินเวอร์เตอร์เป็นวงจรด้านเพาเวอร์อิเล็กทรอนิกส์ที่ใช้งานกันอย่างแพร่หลายซึ่งมีความแตกต่างกันขึ้นอยู่กับรูปแบบวิธีการควบคุมการทำงานที่ได้มีการปรับปรุงวิจัยพัฒนากันอย่างต่อเนื่อง โดยในปัจจุบันมีการประยุกต์ใช้กับงาน ได้แก่ ระบบการขับเคลื่อนมอเตอร์ (AC drives) หรือระบบแหล่งจ่ายไฟฟ้ากำลังต่อเนื่อง (Uninterruptable Power Supply : UPS) [11] ซึ่งโดยทั่วไประบบอินเวอร์เตอร์ที่ดีต้องมีคุณสมบัติพื้นฐาน ดังต่อไปนี้

1. สามารถที่จะปรับความถี่ได้เป็นสัดส่วนกับความเร็วที่ต้องการ
2. สามารถที่ปรับแรงดันเอาต์พุตเพื่อรักษาอัตราส่วนแรงดันต่อความถี่ (v/f) ให้คงที่
3. สามารถจ่ายกระแสได้เต็มพิกัดที่ความถี่ที่ต้องการ



รูปที่ 3.1 บล็อกไดอะแกรมของระบบอินเวอร์เตอร์

ในรูปที่ 3.1 แสดงหลักการพื้นฐานของแหล่งจ่ายไฟเข้าเอชไอทีที่ถูกเปลี่ยนเป็นแรงดันดีซี โดยใช้เรกติไฟเออร์ที่ควบคุมแรงดันได้หรือควบคุมไม่ได้ก็ได้ (Controlled or Uncontrolled-rectifier) และอินเวอร์เตอร์ทำหน้าที่เปลี่ยนแรงดันไฟดีซีเป็นเอชไอทีที่สามารถปรับเปลี่ยนแรงดันและความถี่ได้

3.2 ทฤษฎีของอินเวอร์เตอร์

แบ่งเป็นอินเวอร์เตอร์แบบแหล่งจ่ายกระแสมีภาคเรกติไฟเออร์ทำหน้าที่เป็นแหล่งจ่ายกระแสให้กับอินเวอร์เตอร์โดยที่ค่ากระแสค่าใดค่าหนึ่งเมื่อเปลี่ยน โหลดกระแสคงที่แต่แรงดันเปลี่ยนแปลงตาม โหลดและอินเวอร์เตอร์แบบแหล่งจ่ายแรงดันมีภาคเรกติไฟเออร์ทำหน้าที่เป็นแหล่งจ่ายแรงดันให้กับอินเวอร์เตอร์กล่าวได้ว่าค่าแรงดันใดๆที่เรกติไฟเออร์มีการคงค่านั้นไว้เมื่อ โหลดเปลี่ยนแรงดันคงที่แต่กระแสเปลี่ยนแปลงตาม โหลด โดยในวิทยานิพนธ์ฉบับนี้จะได้กล่าวถึงอินเวอร์เตอร์แบบเฟสเดียว เพื่อให้สอดคล้องกับเทคนิคที่นำเสนอ

ซึ่งโดยทั่วไประบบอินเวอร์เตอร์สามารถจำแนกออกตามชนิดของอินเวอร์เตอร์ได้เป็น 2 ระบบใหญ่ๆ คือ

3.2.1 อินเวอร์เตอร์แบบแหล่งจ่ายกระแส (Current Source Inverter)

อินเวอร์เตอร์แบบแหล่งจ่ายกระแสมีใช้อยู่ไม่มากในอุตสาหกรรมเพราะการประยุกต์ใช้งานเกือบทั้งหมดของอินเวอร์เตอร์แบบแหล่งจ่ายกระแสจะเป็นมอเตอร์ขนาดใหญ่อื่นเนื่องจากอินเวอร์เตอร์แบบแหล่งจ่ายกระแสทำงานได้ดีที่โหลดมากๆ แต่มีปัญหาเมื่อโหลดน้อยๆ และลักษณะของอุปกรณ์ในวงจรเหมาะสำหรับโหลดมากๆ โดยที่อินเวอร์เตอร์แบบแหล่งจ่ายกระแสประกอบด้วยไทรสเตอร์เรกติไฟเออร์ควบคุมได้ด้วยการควบคุมเฟสเอชไอไลน์และมีอินดักเตอร์ขนาดใหญ่ต่ออนุกรมอยู่ แต่ไม่มีคาปาซิเตอร์ต่อขนานอยู่เพื่อสร้างแหล่งจ่ายกระแสให้กับอินเวอร์เตอร์ จึงทำให้แตกต่างจากอินเวอร์เตอร์แบบแหล่งจ่ายแรงดัน โดยอินเวอร์เตอร์มีไทรสเตอร์ทำหน้าที่ควบคุมกระแสที่สามารถเปลี่ยนความถี่ได้ กระแสทางด้านเอาต์พุตอาจเป็น 6-step หรือพีคดับบลิวเอ็มก็ได้ แต่แรงดันเอาต์พุตจะมีรูปร่างเข้าใกล้รูปไซน์ แต่เกิดสไปค์จากการคอมมิวเทท ข้อดีของอินเวอร์เตอร์แบบแหล่งจ่ายกระแสคือวงจรกำลังใหญ่ไว้วางใจได้ดีและไม่เกิด Shoot through อย่างในอินเวอร์เตอร์แบบแหล่งจ่ายแรงดันจากข้อดีที่กล่าวมาของอินเวอร์เตอร์แบบแหล่งจ่ายกระแสจะยังคงมีข้อจำกัดของช่วงความถี่ของอินเวอร์เตอร์ที่ปรับได้ค่อนข้างต่ำ และไม่สามารถทำงานได้ที่สภาวะไร้อะไร นอกจากนั้นขนาดของ DC Link inductance และคาปาซิเตอร์ของการคอมมิวเททใหญ่ทำให้อินเวอร์เตอร์แบบนี้ใหญ่และมีราคาแพง

3.2.2 อินเวอร์เตอร์แบบแหล่งจ่ายแรงดัน (Voltage Source Inverter)

โครงสร้างของแรงดันดีซีเชื่อมโยงที่มีขนาดของฟิลเตอร์คาปาซิเตอร์ C ที่มีค่ามากทำให้แรงดันอินพุตและแรงดันเอาต์พุตมีค่าคงที่ไม่ขึ้นอยู่กับโหลด โดยที่ข้อดีของอินเวอร์เตอร์ชนิดนี้คือสามารถควบคุมแรงดันและความถี่ได้ง่าย ปรับความถี่ได้ในย่านกว้างและใช้ได้กับมอเตอร์หลายตัวที่ทำงานพร้อมๆ กัน ส่วนข้อเสียมักจะมีปัญหาเรื่องการลัดวงจร (Shoot through) ของอุปกรณ์สวิตชิงในกิ่งเดียวกัน ในทางปฏิบัติสามารถใช้ช่วงจรสร้างเดดไทม์ (Dead time) ช่วยในการป้องกัน โดยอินเวอร์เตอร์แบบแหล่งจ่ายแรงดันสามารถแบ่งออกได้เป็น 3 รูปแบบคือ

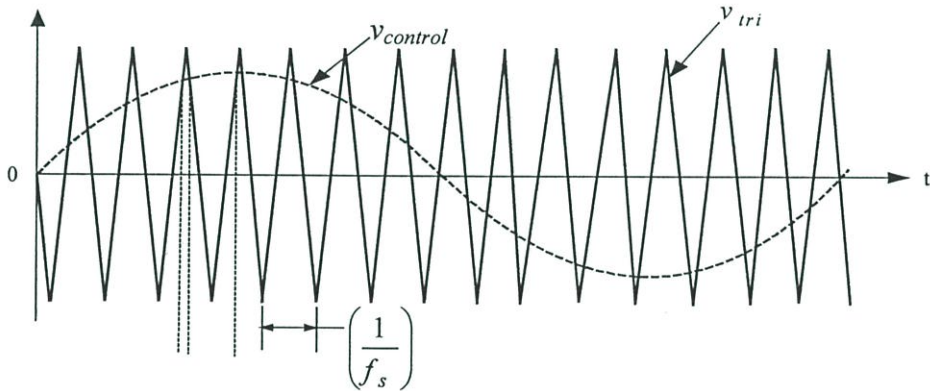
3.2.2.1 อินเวอร์เตอร์มอดูเลตความกว้างพัลส์ (Pulse-width Modulation)

เป็นการมอดูเลตความกว้างพัลส์หรือแบบพีคดับบลิวเอ็ม โดยสัญญาณควบคุมหรือ $v_{control}$ ซึ่งจะมีค่าคงที่หรือแปรค่าต่างๆอย่างซ้ำๆ ได้ถูกนำมาเปรียบเทียบกับรูปคลื่นสามเหลี่ยม เพื่อจะได้สัญญาณการสวิตซ์ไปควบคุมอัตราส่วนของแรงดันเอาต์พุตให้ได้ค่าเฉลี่ยตามต้องการและเอาต์พุตของอินเวอร์เตอร์จะต้องเกิดเป็นรูปคลื่นไซน์ซอซดัลที่เรียกว่า Sinusoidal Pulse Width Modulation

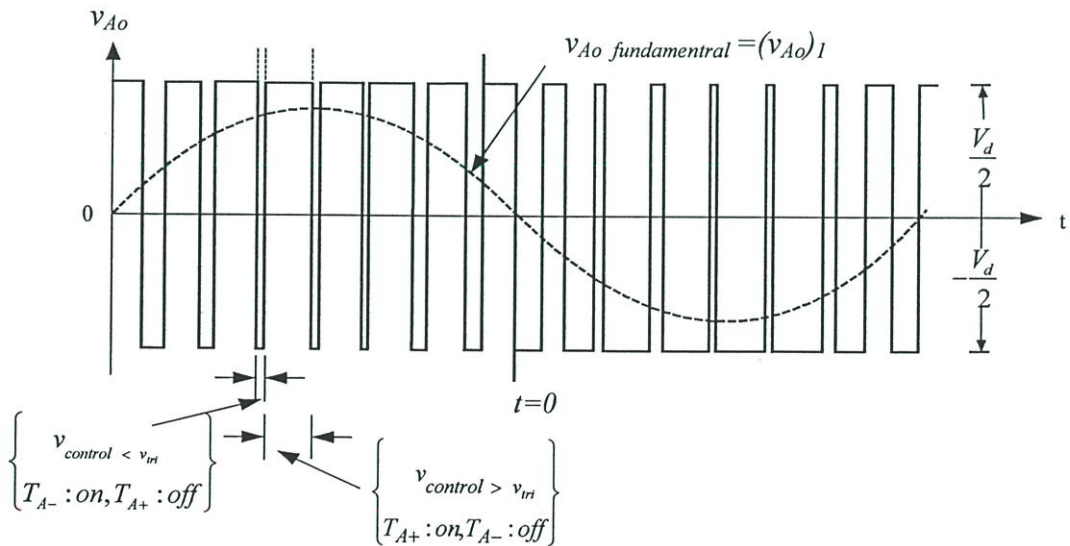
- แอมพลิจูดค่ายอดของแรงดันความถี่มูลฐาน (\hat{V}_{Ao})₁ ได้เท่ากับ m_a เท่าของ $\frac{1}{2}V_d$ จากการพิจารณาว่า $v_{control}$ มีค่าคงที่แล้วทำให้ได้แรงดัน v_{Ao} ดังรูปที่ 3.3(a) และจะเห็นว่าแรงดันเอาต์พุตเฉลี่ย V_{Ao} จะมีค่าแปรผันตรงกับ $v_{control}/\hat{V}_{tri}$ และ V_d ดังนั้น

$$V_{Ao} = \frac{v_{control}}{\hat{V}_{tri}} \frac{V_d}{2} \quad \text{เมื่อ } v_{control} \leq \hat{V}_{tri} \quad (3.4)$$

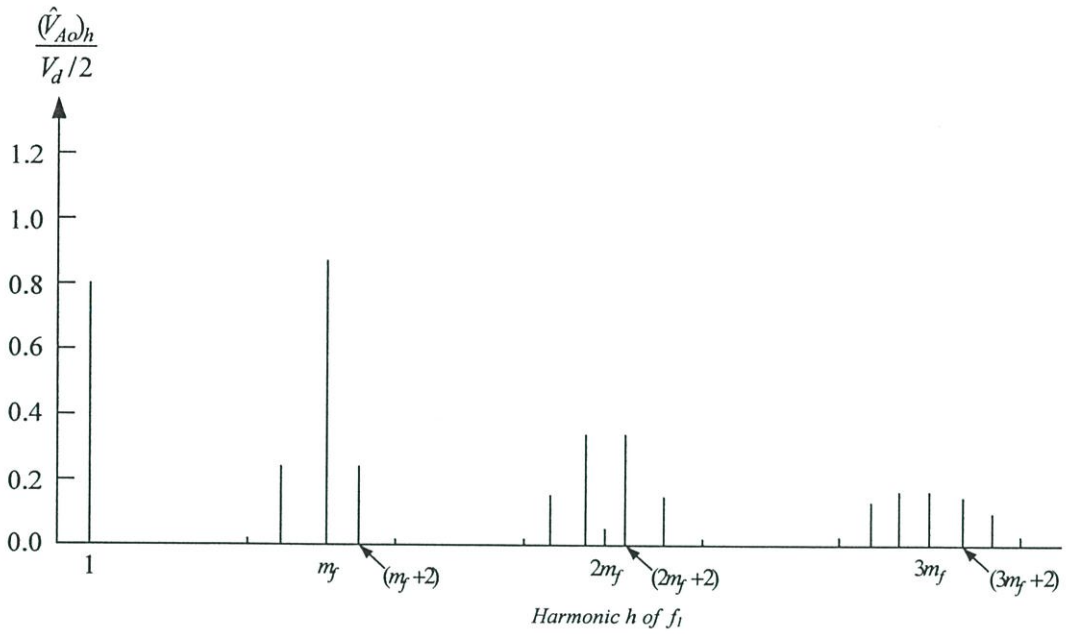
และจากสมการที่ 3.4 จะเห็นว่าแรงดันค่าเฉลี่ย V_{Ao} จะเท่ากับแรงดัน v_{Ao} ค่าเฉลี่ยใน 1 คาบ T_s และค่าเฉลี่ยใดๆที่ได้เหมือนกับ v_{Ao} ที่ประกอบขึ้นเป็นความถี่มูลฐาน



(a)



(b)



(c)

รูปที่ 3.2 การมอดูเลตความกว้างพัลส์

เมื่อ $f_1 = \omega_1 / 2\pi$ (หรือความถี่มูลฐาน) สมการ $v_{control}$ จะได้ว่า

$$v_{control} = \hat{V}_{control} \sin \omega_1 t$$

ซึ่ง

$$\hat{V}_{control} \leq \hat{V}_{tri} \quad (3.5)$$

จากสมการที่ 3.4 และ 3.5 แรงดันที่ประกอบขึ้นเป็นความถี่มูลฐาน $(V_{Ao})_1$ จะแปรเป็นรูปคลื่นไซน์ชอยดัลเฟสเดียวกับ $v_{control}$ ดังนั้น

$$\begin{aligned} (v_{Ao})_1 &= \frac{\hat{V}_{control}}{\hat{V}_{tri}} \sin \omega_1 t \frac{V_d}{2} \\ &= m_a \sin \omega_1 t \frac{V_d}{2} \end{aligned} \quad (3.6)$$

ดังนั้น
$$(\hat{V}_{Ao})_1 = m_a \frac{V_d}{2} \quad (m_a \leq 1.0) \quad (3.7)$$

จากพีคิบบวลิวเอ็มด้วยรูปคลื่นไซน์ซอซยคัลจะเห็นว่าแอมพลิจูดของแรงดันที่ประกอบขึ้นเป็นความถี่มูลฐานจะแปรค่าเป็นเชิงเส้นกับ m_a ในช่วงตั้งแต่ 0 ถึง 1

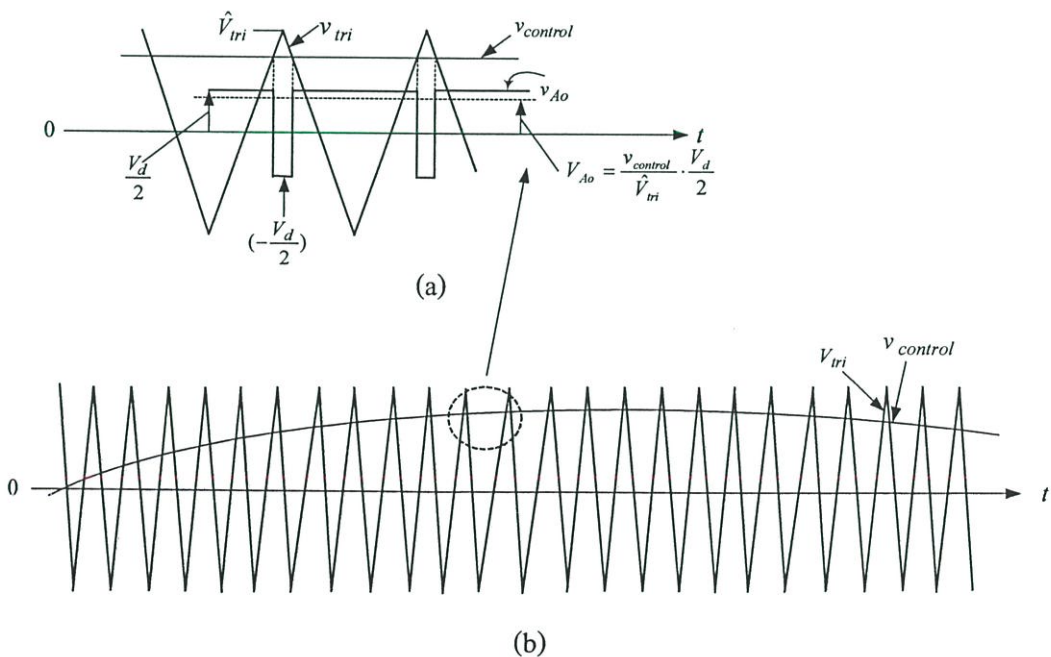
- การเกิดฮาร์โมนิกส์ในรูปคลื่นของแรงดันเอาท์พุทของอินเวอร์เตอร์จะปรากฏขึ้นที่แถบข้าง (Sideband) ใกล้กับความถี่การสวิตช์ของฮาร์โมนิกส์โดยรอบนี้ ความถี่ของแรงดันฮาร์โมนิกส์ใดๆ ที่เกิดขึ้นสามารถคำนวณได้จาก

$$f_h = (jm_f \pm k)f_1 \quad (3.8)$$

เมื่อ h แทนฮาร์โมนิกส์ใดๆ k แทนค่าแถบข้าง (Sideband) และ j แทนจำนวนเท่าของอัตราส่วนการมอดูเลต m_f และมีค่าเท่ากับ

$$h = j(m_f) \pm k \quad (3.9)$$

ซึ่งความถี่มูลฐาน h มีค่าเท่ากับ 1 โดยเมื่อค่า j เป็นเลขคี่และฮาร์โมนิกส์จะเกิดขึ้นได้เมื่อ ค่า k จะต้องเป็นเลขคู่ และเมื่อค่า j เป็นเลขคู่ k จะต้องเป็นเลขคี่

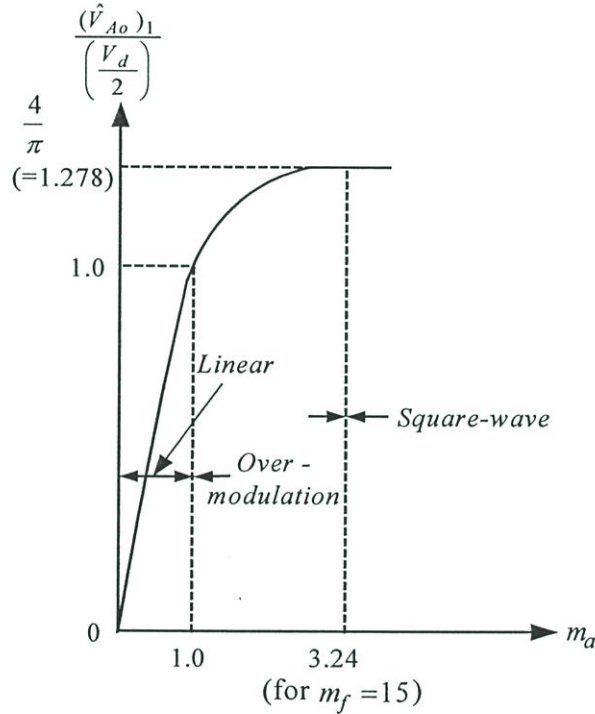


รูปที่ 3.3 การมอดูเลตความถี่พัลส์ไซน์ซอซยคัล

- m_f ควรมีค่าเป็นจำนวนเต็มด้วยเลขที่จะทำให้รูปคลื่นบวกและลบมีรูปร่างแบบสมมาตรกัน (Symmetry) ดังในรูปที่ 3.2(b)

3.2.2.2 อินเวอร์เตอร์รูปคลื่นจัตุรัส (Square-Wave Inverters)

จากวงจรอินเวอร์เตอร์รูปที่ 3.6 และ 3.7 สำหรับการวิเคราะห์ฟูริเยร์ (Fourier) เพื่อหาค่าแรงดันค่ายอดขณะประกอบเป็นความถี่มูลฐานจะเห็นว่าค่าดังกล่าวมีความสัมพันธ์โดยตรงกับ V_d ดังนี้คือ



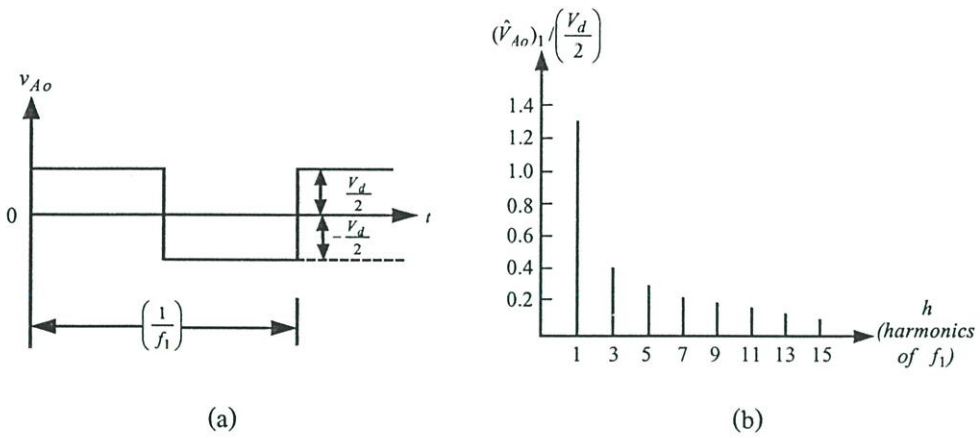
รูปที่ 3.4 การควบคุมแรงดันโดยการแปรค่า m_a

$$(\hat{V}_{Ao})_1 = \frac{4 V_d}{\pi} = 1.273 \left(\frac{V_d}{2} \right) \quad (3.10)$$

และ

$$(\hat{V}_{Ao})_h = \frac{(\hat{V}_{Ao})_1}{h} \quad (3.11)$$

ซึ่ง h แทนประเภทของฮาร์โมนิกส์ปกติเป็นเลขคี่ ดังแสดงในรูปที่ 3.5(b)



รูปที่ 3.5 การสวิตช์รูปคลื่นจัตุรัส

จากการสวิตช์ที่เกิดเป็นรูปคลื่นจัตุรัสจะเห็นว่าประโยชน์ที่ได้รับคือการเปลี่ยนสถานะของสวิตช์ 1 ไซเคิลได้เปลี่ยนแค่ 2 ครั้งเท่านั้น ซึ่งเป็นผลดีมากกับการควบคุมโหลดที่มีกำลังสูงๆและนอกจากนี้ยังเหมาะกับอุปกรณ์ที่มีความสามารถในการสวิตช์ให้น้ำและหยุดน้ำต่ำ แต่ข้อเสียคือการสวิตช์เพื่อทำให้เกิดเป็นรูปคลื่นจัตุรัสของวงจรนี้ไม่สามารถควบคุมแรงดันเอาต์พุตให้คงค่าได้ เพราะฉะนั้นแรงดันอินพุตคิซี V_d จะต้องถูกปรับอยู่เสมอเพื่อควบคุมให้เอาต์พุตอินเวอร์เตอร์ได้มีค่าตามต้องการ

3.2.2.3 อินเวอร์เตอร์เฟสเดียวแบบยกเลิกแรงดัน (Single-Phase Inverter with Voltage Cancellation)

เอาต์พุตของอินเวอร์เตอร์ที่ได้นี้เป็นเฟสเดียว และสามารถควบคุมได้ทั้งขนาดและความถี่แม้ว่าแรงดันอินพุตที่ป้อนจะคงที่ก็ตาม โดยวงจรนี้ได้รวมคุณลักษณะของอินเวอร์เตอร์ทั้งสองแบบข้างต้นเข้าด้วยกัน

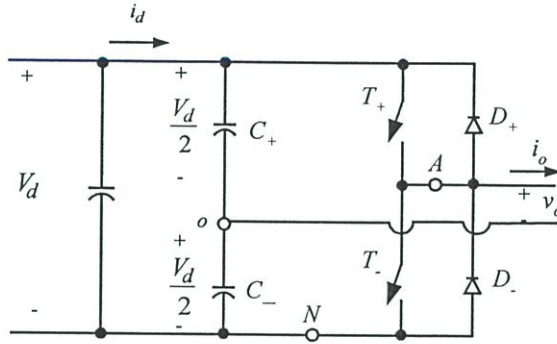
3.3 อินเวอร์เตอร์แบบเฟสเดียว

3.3.1 อินเวอร์เตอร์เฟสเดียวแบบบริดจ์ครึ่งคลื่น

ในรูปที่ 3.6 แสดงวงจรอินเวอร์เตอร์แบบบริดจ์ครึ่งคลื่น โดยมีคาปาซิเตอร์ด้วยค่าเท่ากัน 2 ตัวต่ออนุกรมกันแล้วคร่อมอยู่กับอินพุต V_d ดังนั้นแรงดันที่คร่อมคาปาซิเตอร์แต่ละตัวเท่ากับ $(1/2)V_d$ และจุดที่คาปาซิเตอร์ทั้งสองตัวต่อกัน เรียกว่า ความต่างศักย์กลาง (Midpotential) สำหรับค่าความจุไฟฟ้าของวงจรนี้จะต้องมีมากพอที่จะทำให้แรงดันที่จุด 0 เมื่อเทียบกับจุด N ได้ค่าคงที่แรงดันและกระแสค่าของอุปกรณ์ที่ใช้สวิตช์ในวงจรอินเวอร์เตอร์แบบบริดจ์ครึ่งคลื่นจะเท่ากับ

$$V_T = V_d \quad (3.12)$$

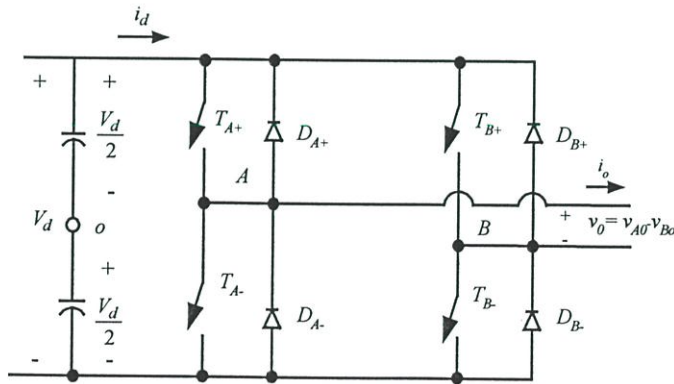
$$I_T = i_{o,peak} \quad (3.13)$$



รูปที่ 3.6 วงจรอินเวอร์เตอร์เฟสเดียวแบบบริดจ์แบบครึ่งคลื่น

3.3.2 อินเวอร์เตอร์เฟสเดียวแบบบริดจ์เต็มคลื่น

วงจรอินเวอร์เตอร์เฟสเดียวแบบบริดจ์เต็มคลื่นตามรูปที่ 3.7 มีวัตถุประสงค์เพื่อให้สามารถใช้งานกับพิกัดกำลังสูงๆ ได้ดีที่แรงดันอินพุตคี่ค่าเดียวกัน จะเห็นว่าแรงดันเอาต์พุตสูงสุดของวงจรบริดจ์เต็มคลื่นจะได้ค่าเป็นสองเท่าของอินเวอร์เตอร์บริดจ์ครึ่งคลื่น ดังนั้นขณะใช้งานด้วยกำลังเท่ากันที่กระแสเอาต์พุตค่าเดียวกันกระแสการสวิตช์จะมีค่าเพียงครึ่งหนึ่งของวงจรอินเวอร์เตอร์แบบบริดจ์ครึ่งคลื่นซึ่งถือว่าเป็นข้อดี



รูปที่ 3.7 อินเวอร์เตอร์เฟสเดียวแบบบริดจ์เต็มคลื่น

3.3.2.1 พีคดับลิวเอ็มที่มีการสวิตช์แรงดันแบบ 2 ขั้ว (PWM with Bipolar Voltage Switching)

การสวิตช์พีคดับลิวเอ็มเป็นแบบสวิตช์คู่ที่ทะแยงและตรงกันข้ามกัน T_{A+} กับ T_{B-} และ T_{A-} กับ T_{B+} ของวงจรแปลงผันโดยการเกิดของแรงดันเอาต์พุตเกิดขึ้นได้ด้วยวิธีเดียวกันคือการเปรียบเทียบแรงดัน $v_{control}$ กับ v_{tri} ดังรูปที่ 3.8(a) และเอาต์พุตที่ขา B ของอินเวอร์เตอร์ จะได้ค่าเป็นลบเมื่อเทียบกับเอาต์พุตขา A ซึ่งสามารถพิจารณาได้ดังนี้คือเมื่อสวิตช์ T_{A+} ต่อวงจร v_{Ao} ได้ค่าเท่ากับ $(+1/2)V_d$ และสวิตช์ T_{B-} ต่อวงจร $v_{Bo} = (-1/2)V_d$ ดังนั้น

$$v_{Bo}(t) = -v_{Ao}(t) \quad (3.14)$$

และ

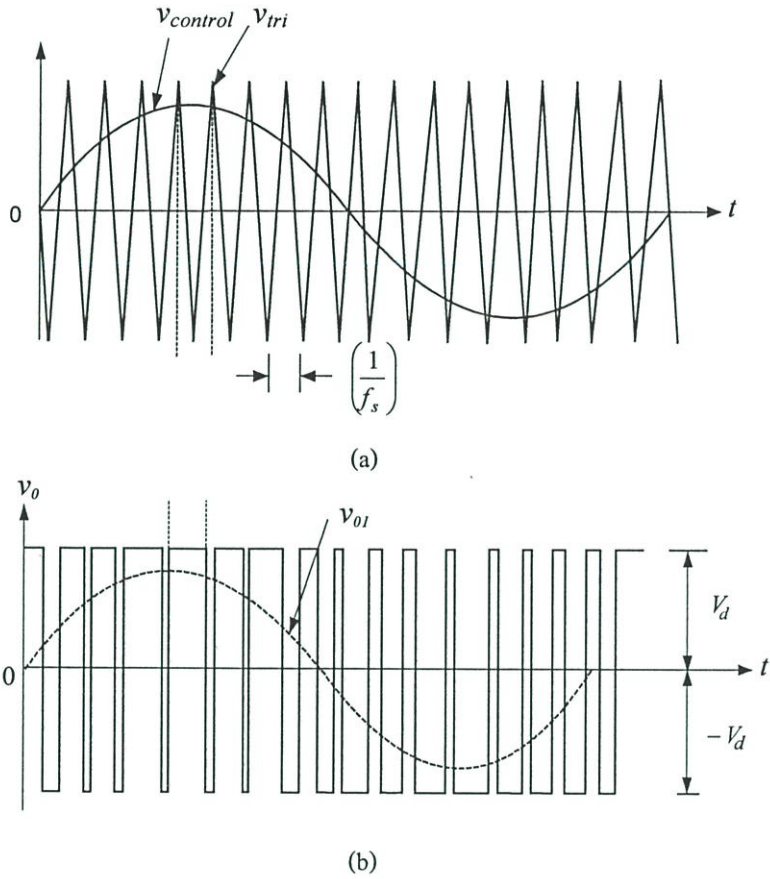
$$v_o(t) = v_{Ao}(t) - v_{Bo}(t) = 2v_{Ao}(t) \quad (3.15)$$

รูปคลื่นแรงดัน v_o จะได้ดังรูปที่ 3.8(b) จะได้ว่า

$$\hat{V}_{o1} = m_a V_d \quad (m_a \leq 1.0) \quad (3.16)$$

และ

$$V_d < \hat{V}_{o1} < \frac{4}{\pi} V_d \quad (m_a > 1.0) \quad (3.17)$$



รูปที่ 3.8 พัลส์บวลีแอมที่มีการสวิตช์แรงดันแบบ 2 ขั้ว

3.3.2.2 พัลส์บวลีแอมที่มีการสวิตช์แรงดันแบบขั้วเดียว (PWM with Unipolar Voltage Switching)

พัลส์บวลีแอมที่มีการสวิตช์แรงดันแบบขั้วเดียวของวงจรอินเวอร์เตอร์แบบบริดจ์เต็มคลื่นดังรูปที่ 3.7 สัญญาณควบคุมขา A จากการเปรียบเทียบแรงดัน v_{tri} กับ $v_{control}$ และขา B จากการเปรียบเทียบแรงดัน v_{tri} กับ $-v_{control}$ ดังในรูปที่ 3.9

$$v_{control} > v_{tri} : T_{A+} \text{ นำกระแส } v_{AN} = V_d$$

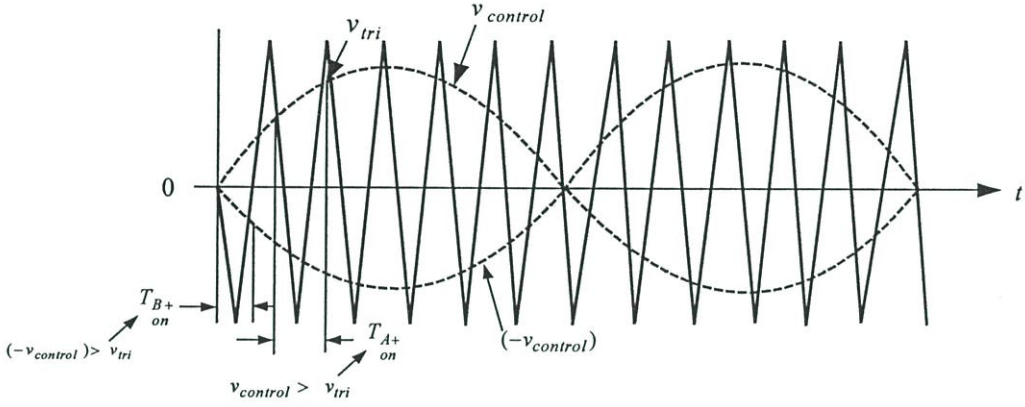
และ

$$v_{control} < v_{tri} : T_{A-} \text{ นำกระแส } v_{AN} = 0 \quad (3.18)$$

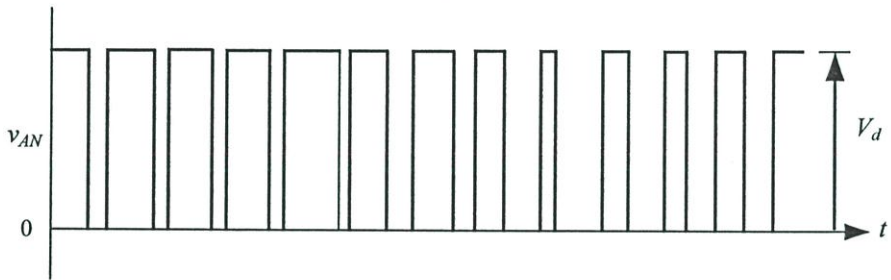
$$(-v_{control}) > v_{tri} : T_{B+} \text{ นำกระแส } v_{BN} = V_d$$

และ

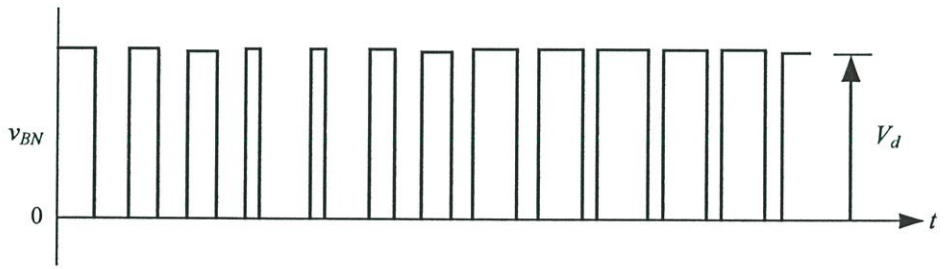
$$(-v_{control}) < v_{tri} : T_{B-} \text{ นำกระแส } v_{BN} = 0 \tag{3.19}$$



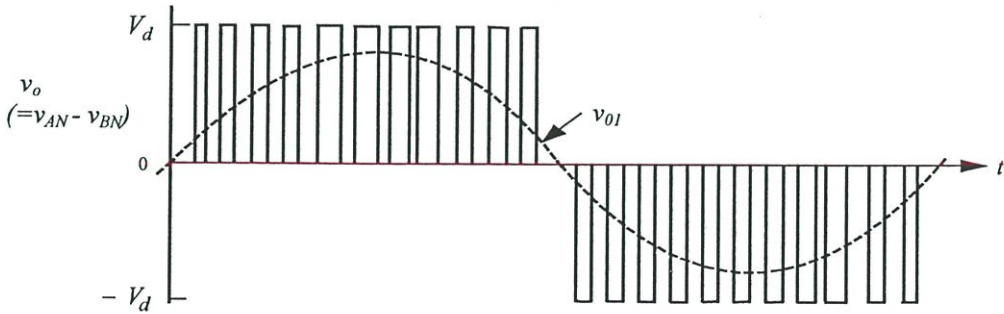
(a)



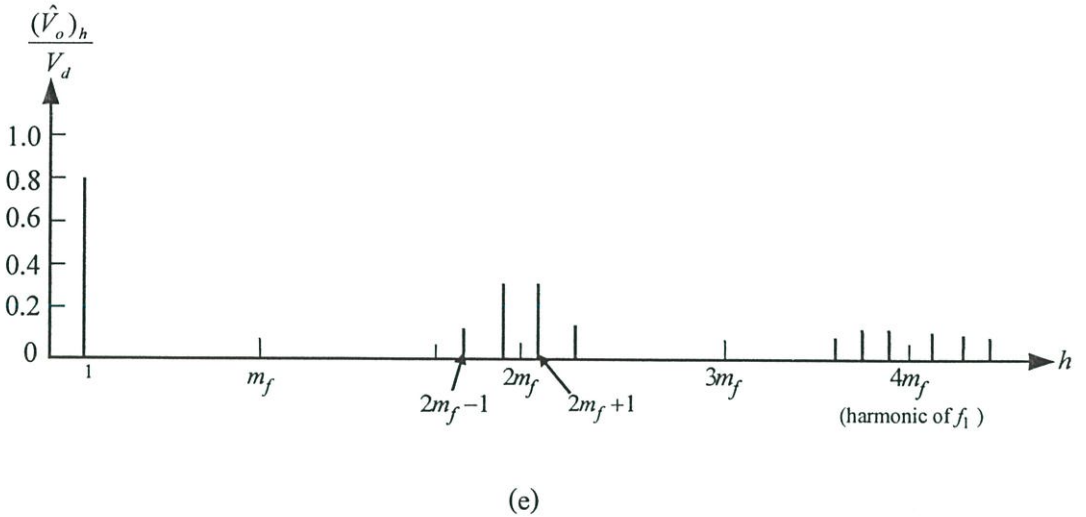
(b)



(c)



(d)



รูปที่ 3.9 พิกัดบลิวเอ็มที่มีการสวิตซ์แรงดันแบบขั้วเดียว

การสวิตซ์ลักษณะนี้ระดับแรงดันได้เปลี่ยนแปลงระหว่าง 0 กับ V_d หรือระหว่าง 0 กับ $-V_d$ จึงเรียกว่าพิกัดบลิวเอ็มที่มีการสวิตซ์แรงดันแบบขั้วเดียว (Unipolar) ซึ่งต่างจากพิกัดบลิวเอ็มที่มีการสวิตซ์แรงดันแบบสองขั้ว (Bipolar) ที่สวิตซ์ระหว่าง $+V_d$ กับ $-V_d$ การสวิตซ์แบบนี้ทำให้ความถี่ฮาร์โมนิกส์เอาท์พุทมีค่าเป็น 2 เท่าของการสวิตซ์แรงดันแบบสองขั้ว การทำงานมีประสิทธิภาพสูงที่สวิตซ์ $2V_d$ ของระดับแรงดันเอาท์พุทจะได้ว่า

$$\hat{V}_{01} = m_a V_d \quad (m_a \leq 1.0) \quad (3.20)$$

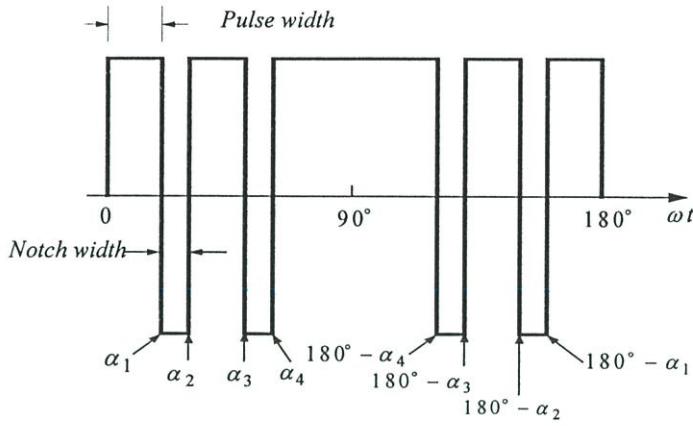
และ

$$V_d < \hat{V}_{01} < \frac{4}{\pi} V_d \quad (m_a > 1.0) \quad (3.21)$$

3.4 เทคนิคการควบคุมอินเวอร์เตอร์ในรูปแบบต่างๆ

3.4.1 เทคนิคพิกัดบลิวเอ็มแบบกำจัดฮาร์โมนิกส์ (Harmonic Elimination Method) [12]

เทคนิคนี้สามารถควบคุมแรงดันมูลฐานและกำจัดองค์ประกอบฮาร์โมนิกส์ที่ไม่ต้องการออกไป โดยหลักการของวิธีการนี้จะทำการคำนวณมุมของการสวิตซ์ โดยใช้ทฤษฎีการวิเคราะห์รูปคลื่นด้วยอนุกรมฟูเรียร์ซึ่งสามารถแสดงได้ดังรูปที่ 3.10 เป็นการกำหนดมุม $\alpha_1, \alpha_2, \alpha_3$ และ α_4 ให้เหมาะสมจะสามารถกำจัดฮาร์โมนิกส์เพิ่มขึ้นได้อีก [1], [13], [14] ซึ่งสามารถพิสูจน์ให้เห็นได้ดังนี้



รูปที่ 3.10 รูปคลื่นพีคดับลิวเอ็มโดยวิธีกำลังฮาร์โมนิกส์

เนื่องจากรูปคลื่นพีคดับลิวเอ็ม ตามรูปที่ 3.10 แสดงลักษณะคลื่นที่สมมาตรหนึ่งในสี่ของคาบ ซึ่งสัมประสิทธิ์ของอนุกรมฟูเรียร์สามารถหาได้จาก

$$f(t) = \sum_{n=1}^{\infty} (a_n \cos n\theta + b_n \sin n\theta) \quad (3.22)$$

เมื่อ

$$a_n = \frac{1}{\pi} \int_0^{2\pi} f(t) \cos n\theta d\theta \quad (3.23)$$

$$b_n = \frac{1}{\pi} \int_0^{2\pi} f(t) \sin n\theta d\theta \quad (3.24)$$

จากลักษณะแรงดันรูปคลื่นพีคดับลิวเอ็ม ตามรูปที่ 3.10 จะมีแต่ฮาร์โมนิกส์คี่เท่านั้น เนื่องจากรูปคลื่นดังกล่าวเป็นการสมมาตรแบบคี่ (Odd symmetry) เพราะ $f(t) = -f(-t)$ ดังนั้นจะได้ว่า

$$a_n = 0 \quad (3.25)$$

และ

$$b_n = \frac{4}{\pi} \int_0^{\pi/2} f(t) \sin n\theta d\theta \quad (3.26)$$

สมมุติว่ารูปคลื่นพีคดับบลิวเอ็ม ดังกล่าวมี $f(t) = \pm 1$ ดังนั้น

$$b_n = \frac{4}{\pi} [1 + 2(-\cos n\alpha_1 + \cos n\alpha_2 - \dots + \cos n\alpha_k)] \quad (3.27)$$

$$= \frac{4}{n\pi} [1 + 2 \sum_{k=1}^k (-1)^k \cos n\alpha_k] \quad (3.28)$$

จากสมการที่ 3.28 จะประกอบด้วยตัวแปร k จำนวน (เช่น $\alpha_1, \alpha_2, \alpha_3, \dots, \alpha_k$) เพื่อที่จะแก้สมการ n จำนวน k ตัวซึ่งแรงดันมูลฐานสามารถถูกควบคุมได้และจะมีฮาร์โมนิกส์ที่ถูกกำจัด $k-1$ ฮาร์โมนิกส์ดังนั้นฮาร์โมนิกส์อันดับสามและอันดับฮาร์โมนิกส์ที่มีผลคูณของ 3 จะถูกกำจัดไปเมื่อใช้กับไฟสามเฟส ซึ่งสามารถเขียนได้ดังสมการ คือ

องค์ประกอบมูลฐาน

$$b_1 = \frac{4}{\pi} (1 - 2 \cos \alpha_1 + 2 \cos \alpha_2 - 2 \cos \alpha_3) \quad (3.29)$$

องค์ประกอบฮาร์โมนิกส์อันดับ 5 :

$$b_5 = \frac{4}{5\pi} (1 - 2 \cos 5\alpha_1 + 2 \cos 5\alpha_2 - 2 \cos 5\alpha_3) = 0 \quad (3.30)$$

องค์ประกอบฮาร์โมนิกส์อันดับ 7 :

$$b_7 = \frac{4}{7\pi} (1 - 2 \cos 7\alpha_1 + 2 \cos 7\alpha_2 - 2 \cos 7\alpha_3) = 0 \quad (3.31)$$

จากสมการที่ 3.29, 3.30 และ 3.31 สามารถใช้วิธีการหาคำตอบเชิงตัวเลข (Numerical method) แก้สมการเหล่านี้ได้ทำให้สามารถกำหนดมุม α_1, α_2 และ α_3 เพื่อให้ฮาร์โมนิกส์ต่างๆถูกกำจัดไปตามที่ต้องการได้ แต่ข้อเสีย คือ ถ้าต้องการกำจัดฮาร์โมนิกส์หลายอันดับทำให้มีการเก็บตำแหน่งมุมและสภาวะมุมสวิทซึ่งในหน่วยความจำเป็นจำนวนมากทำให้ไม่สะดวก ดังนั้นจึงมีการใช้เทคนิคผสมของเทคนิคพีคดับบลิวเอ็ม (hybrid PWM) โดยเมื่ออินเวอร์เตอร์ทำงานในย่าน

ความถี่และแรงดันต่ำจะใช้วิธี SPWM ในขณะที่ย่านความถี่สูงและแรงดันสูงใช้วิธีกำจัดฮาร์โมนิกส์ ทำให้ไม่มีปัญหาเกี่ยวกับการสูญเสีย เนื่องจากฮาร์โมนิกส์และสวิตชิง

3.4.2 เทคนิคพีคดับลิวเอ็ม แบบลดการกระเพื่อมของกระแส (Minimum Ripple Current Method) [12]

วิธีการสร้างรูปคลื่นพีคดับลิวเอ็มแบบกำจัดฮาร์โมนิกส์ที่ไม่ต้องการถือได้ว่าเป็นวิธีที่ดีวิธีหนึ่ง แต่ยังคงมีข้อเสียคือ ทำให้ฮาร์โมนิกส์อันดับต่ำที่ไม่ต้องการกำจัดมีค่าสูงขึ้นอย่างมาก จากการสูญเสียในตัวแมชชีนเนื่องจากฮาร์โมนิกส์ต่างๆ ไม่ได้เกิดจากฮาร์โมนิกส์ของแรงดัน แต่เกิดจากฮาร์โมนิกส์ของกระแสและไม่ได้เกิดจากฮาร์โมนิกส์หนึ่งแต่เกิดจากผลรวมของกระแสฮาร์โมนิกส์ทุกตัวรวมกันที่ถูกกำหนดโดยอาร์เอ็มเอสของกระแสรีปเปิล (rms ripple current) ดังนั้นกระแสรีปเปิลจึงเป็นพารามิเตอร์ที่ควรพิจารณาให้มีค่าน้อยที่สุดแทนการกำจัดฮาร์โมนิกส์ที่ต้องการออกไป ซึ่งเทคนิคนี้จะสมมุติให้ไม่คิดผลของ Skin effect ของพารามิเตอร์ ซึ่งอาจเป็นสิ่งที่ไม่ถูกต้องมากนัก โดยเฉพาะอย่างยิ่งสำหรับขดลวดโรเตอร์ ซึ่งค่าของกระแสรีปเปิลนี้สามารถหาได้จากสมการ

$$I_{ripple} = \sqrt{I_3^2 + I_5^2 + I_7^2 + I_9^2 + \dots} \quad (3.32)$$

$$= \sqrt{\frac{I_{3m}^2}{2} + \frac{I_{5m}^2}{2} + \frac{I_{7m}^2}{2} + \frac{I_{9m}^2}{2} + \dots} \quad (3.33)$$

ดังนั้น

$$I_{ripple} = \sqrt{\frac{1}{2} \sum_{n=3}^{\infty} \left(\frac{V_n}{n\omega_s L} \right)^2} \quad (3.34)$$

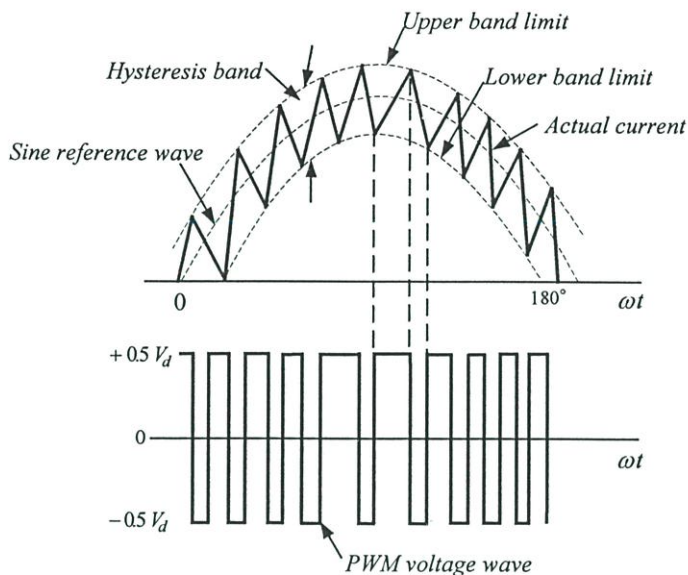
เมื่อ	I_3, I_5, \dots	คือ กระแสอาร์เอ็มเอสของฮาร์โมนิกส์อันดับที่ 3, 5, ...
	I_{3m}, I_{5m}, \dots	คือ ค่ายอดของกระแสของฮาร์โมนิกส์อันดับที่ 3, 5, ...
	n	คือ อันดับของฮาร์โมนิกส์
	V_n	คือ ขนาดค่ายอดของแรงดันฮาร์โมนิกส์อันดับที่ n
	L	คือ ค่าลิกเกจรีแอคแตนซ์ของแมชชีนต่อเฟส
	ω_s	คือ ความถี่เชิงมุมมูลฐาน

จากสมการที่ 3.34 แทนค่าแรงดัน V_n ด้วย b_n ในสมการที่ 3.28 เมื่อแรงดันคือ ค่าของสัมประสิทธิ์ b_n และใช้โปรแกรมคอมพิวเตอร์ในการหาค่า α ต่างๆ ที่ทำให้เกิดกระแสรีเปลนน้อยที่สุดเท่าที่จะเป็นไปได้โดยวิธีการหาค่าแบบวนซ้ำ (Iteration method) หรือการลองผิดลองถูกอย่างมีหลักการ

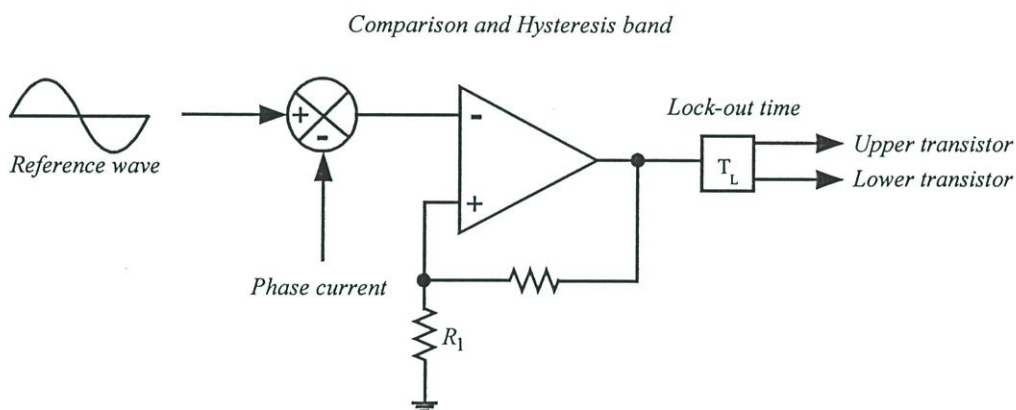
3.4.3 เทคนิคการปรับตัวของกระแสฟีดแบลลิวเอ็ม

การวิเคราะห์ฮาร์โมนิกส์ของรูปคลื่นแรงดันเอาต์พุตของ VSI ในทางอุดมคติ แรงดันดีซีเชื่อมโยงมีค่าคงที่ไม่เกิดรีเปล แต่ในทางปฏิบัติจะเกิดรีเปลโดยเฉพาะในกรณีที่โหลดคิงกระแสมาากๆ ซึ่งส่งผลให้ประจุที่เก็บไว้ที่คาปาซิเตอร์ในภาควงจรเชื่อมโยงกระแสตรงมีการเปลี่ยนแปลงสูงและส่งผลถึงการกระเพื่อมของแรงดันและกระแสหรือเนื่องจากค่าของ LC หรือ C-filter มีค่าไม่มากพอ การแก้ปัญหาี้คือต้องเพิ่มค่าของคาปาซิเตอร์ให้ใหญ่ขึ้นมาากๆ ซึ่งไม่เหมาะสมจึงมีวิธีที่จะลดสถานะการกระเพื่อมของกระแสที่ไหลเข้า โหลดวิธีหนึ่งคือเทคนิคที่ใช้การควบคุมกระแส[12], [15] ตามรูปที่ 3.11 วงจรควบคุมสร้างกระแสไซน์อ้างอิงที่มีขนาดและความถี่ตามต้องการนำมาเปรียบเทียบกับกระแสเฟสจริงหลังจากนั้นนำผลจากการเปรียบเทียบที่ได้ไปสร้างแรงดันรูปคลื่นฟีดแบลลิวเอ็มโดยมีวงจรควบคุมการสร้างสัญญาณไบแอสทรานซิสเตอร์เพื่อให้ได้รูปคลื่นฟีดแบลลิวเอ็ม ตามรูปที่ 3.12 เมื่อกระแสเกินค่าขอบเขตฮีสเตอร์รีซิสที่กำหนดไว้ทรานซิสเตอร์ในกึ่งบนของวงจรบริดจ์อินเวอร์เตอร์จะหยุดนำกระแส (Turn-off) ในขณะที่ทรานซิสเตอร์ตัวล่างจะนำกระแส (Turn-on) ทำให้แรงดันเอาต์พุตเปลี่ยนจาก $+0.5 V_d$ เป็น $-0.5 V_d$ และกระแสจะเริ่มลดลง จนกระทั่งกระแสลดมาถึงขอบเขตล่างของฮีสเตอร์รีซิสมีการเปลี่ยนแปลงการสวิตช์ โดยทรานซิสเตอร์ตัวบนนำกระแสและทรานซิสเตอร์ตัวล่างหยุดนำกระแสเป็นการครอบรอบของการสวิตช์และการทำงานเป็นลักษณะนี้ไปเรื่อยๆ ซึ่งเรียกว่า การติดตามกระแส (Current tracking) จากรูปที่ 3.12 จะมีวงจรถูกเอาต์ (T_d) เป็นเวลาเดคไมม์ เพื่อแยกสัญญาณไบแอสทรานซิสเตอร์ของชุดบนและชุดล่างให้เป็นอิสระต่างกันเป็นการป้องกันการที่ทรานซิสเตอร์ทั้งสองตัวถูกกระตุ้นให้ทำงานพร้อมกันส่งผลให้เกิดการลัดวงจรที่วงจรเชื่อมโยงกระแสตรงผ่านทรานซิสเตอร์ดังกล่าวและกระแสถูกบังคับให้เกาะติดสัญญาณไซน์อ้างอิงให้อยู่ในขอบเขตฮีสเตอร์รีซิสและกระแสรีเปลที่คิงถูกควบคุมให้ปรับตัวอยู่ในขอบเขตฮีสเตอร์รีซิสตามค่า V_d ที่เกิดการกระเพื่อม

นอกจากการใช้สัญญาณมอดูเลตที่เป็นรูปคลื่นไซน์แล้วยังมีการใช้รูปคลื่นสี่เหลี่ยมคางหมู ซึ่งพัลส์ที่ได้สมมาตรีที่เอาต์พุตของอินเวอร์เตอร์และควบคุมแรงดันเอาต์พุตได้อย่างเชิงเส้น



รูปที่ 3.11 หลักการเกิดรูปคลื่นพีคดับลิวเอ็ม โดยเทคนิคปรับตัวของกระแสไหลลด เมื่อเปรียบเทียบกับกระแสอ้างอิง



รูปที่ 3.12 วงจรสร้างสัญญาณของเทคนิคปรับตัวของกระแสไหลลด

3.5 สรุป

ในบทนี้ได้มีการกล่าวถึงทฤษฎีพื้นฐานของอินเวอร์เตอร์ซึ่งประกอบไปด้วยอินเวอร์เตอร์แบบแหล่งจ่ายกระแส (Current Source Inverter) : CSI และอินเวอร์เตอร์แบบแหล่งจ่ายแรงดัน (Voltage Source Inverter) : VSI และข้อแตกต่างของอินเวอร์เตอร์ทั้ง 2 แบบ โดยที่อินเวอร์เตอร์แบบแหล่งจ่ายแรงดันได้กล่าวถึงรูปคลื่นพีคดับลิวเอ็มและรูปคลื่นสแควร์ รวมถึงการทำงานของอินเวอร์เตอร์เฟสเดียวแบบบริดจ์ครึ่งคลื่นและอินเวอร์เตอร์เฟสเดียวแบบบริดจ์เต็มคลื่นที่มีการสวิตช์แรงดันแบบ 2 ขั้วและแบบขั้วเดียว นอกจากนี้ยังมีเทคนิคอินเวอร์เตอร์การควบคุมอินเวอร์เตอร์ในรูปแบบต่างๆ ประกอบด้วย เทคนิคพีคดับลิวเอ็มแบบกำจัดฮาร์โมนิกส์ เทคนิคพีคดับลิวเอ็มแบบลดการ

กระพ้อมของกระแสเทคนิคการปรับตัวของกระแสพีดับบลิวเอ็มข้อดีและข้อเสียของแต่ละแบบซึ่งได้มีการวิเคราะห์เทคนิคพีดับบลิวเอ็มในแต่ละวิธี

บทที่ 4

การวิเคราะห์และออกแบบ

วงจรเคลื่อนย้ายมอดดูเลเตอร์ชนิดอะซิงโครนัส

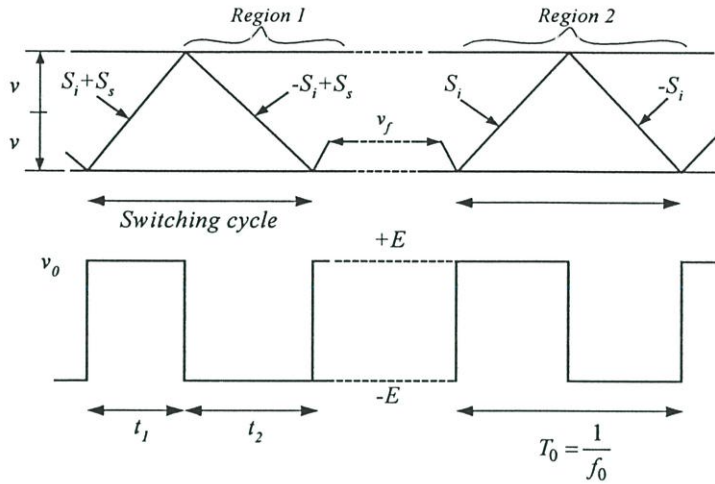
สำหรับเฟสเดียวดีซี/เอซี อินเวอร์เตอร์

4.1 บทนำ

โดยทั่วไปเทคนิคที่นำมาใช้กับอินเวอร์เตอร์ต้องการให้มีวัตถุประสงค์หลักคือสามารถปรับเปลี่ยนความถี่และแรงดันเอาต์พุตได้อย่างต่อเนื่องทำให้แรงดันต่อความถี่คงที่และลดทอนองค์ประกอบฮาร์โมนิกส์อันดับต่ำได้เป็นวงจรที่ควบคุมง่าย ไม่สลับซับซ้อน แต่ยังมีข้อเสียของเทคนิค เช่น ไซน์ชอยด์พัลส์ดับบลิวเอ็ม (SPWM) จะมีค่าแรงดันการได้ประโยชน์ของแรงดันดีซีเชื่อมโยงไฟฟ้ากระแสตรง (DC – Link Utilization) ค่อนข้างต่ำ [1], [13] แก้ไขโดยการเปลี่ยนโหมดการทำงานจากคลื่นพัลส์ดับบลิวเอ็มไปสู่คลื่นสแควร์แต่จะเกิดปัญหาในความไม่ต่อเนื่องของการเปลี่ยนโหมดการทำงานและความสลับซับซ้อนของวงจรควบคุมซึ่งมีผลกับอุปกรณ์สวิตซ์ซึ่งเป็นทรานซิสเตอร์ของอินเวอร์เตอร์และเทคนิคพัลส์ดับบลิวเอ็มต้องใช้วงจรควบคุมที่ยุ่งยากสลับซับซ้อนมากที่จะทำให้แรงดันต่อความถี่คงที่และระบบต้องมีเสถียรภาพสูง เพื่อแก้ไขปัญหาดังกล่าวเทคนิคเคลื่อนย้ายมอดดูเลเตอร์จึงได้ถูกนำเสนอซึ่งให้ผลคือ

1. แรงดันมูลฐานต่อความถี่ด้านเอาต์พุตคงที่โดยไม่ต้องมีวงจรภายนอกที่ซับซ้อนเพิ่มเข้าไป
2. การเปลี่ยนโหมดการทำงานจากคลื่นพัลส์ดับบลิวเอ็มไปสู่คลื่นสแควร์ได้อย่างต่อเนื่อง ซึ่งจะให้ค่ายูทิลไลเซชันของแรงดันทางด้านเอาต์พุตจากแรงดันดีซีเชื่อมโยงสูง

เทคนิคเคลื่อนย้ายมอดดูเลเตอร์ [17], [18], [19] ถือว่าเป็นการมอดดูเลตทางความกว้างของพัลส์ชนิดหนึ่งที่สามารถแยกออกเป็น 2 ชนิด คือ แบบอะซิงโครนัสและแบบซิงโครนัส โดยที่เทคนิคเคลื่อนย้ายมอดดูเลเตอร์แบบอะซิงโครนัสนั้นนอกจากจะเป็นการมอดดูเลตทางพัลส์แล้วยังเป็นการมอดดูเลตทางความถี่ (Frequency modulation) รวมอยู่ด้วยทำให้คาบของพัลส์ที่ดับบลิวเอ็มไม่เท่ากันให้สัญญาณสวิตซ์ที่ดับบลิวเอ็มเปลี่ยนแปลงตลอดเวลาไม่แน่นอนเพราะไม่มีการซิงโครไนส์กับสัญญาณไซน์อ้างอิง



รูปที่ 4.2 (b) การเกิดรูปคลื่นสวิทชิงเซลล์ด้ามีอดคที่มีคาบไม่คงที่

ดังนั้นสัญญาณป้อนกลับที่ได้มีความชันที่เป็นบวกหรือลบ พิจารณาได้จาก

$$\frac{dv_f}{dt} = \frac{\pm E}{CR_c} = S_i \quad (4.1)$$

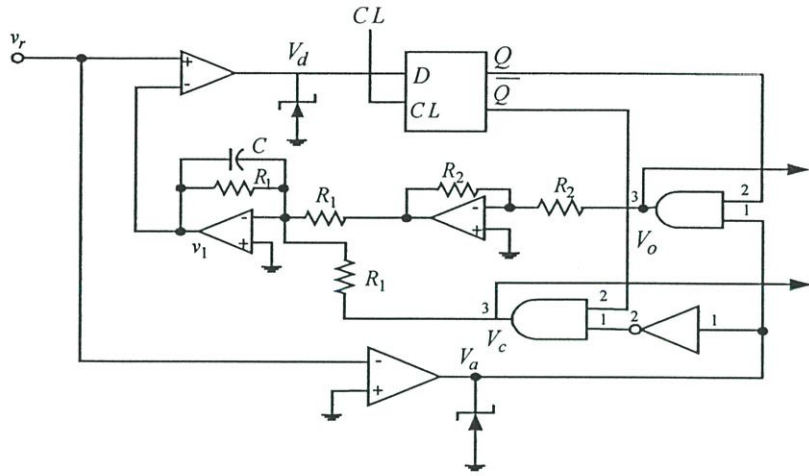
เมื่อ S_i คือ ความชันของรูปคลื่นเซลล์ด้ามีอดคที่สัญญาณป้อนกลับเคลื่อนที่ห่างจากสัญญาณ ไซน์อ้างอิงมีค่าเท่ากับ ΔV ทำให้สัญญาณป้อนกลับออสซิลเลตรอบๆสัญญาณ ไซน์อ้างอิงอยู่ในขอบเขตฮิสเตอร์รีซิส ($\pm \Delta V$) ตามรูปที่ 4.2(a) สัญญาณเอาต์พุตเป็นสัญญาณสวิทชิงที่มีความสัมพันธ์ ดังนี้

$$v_o = \frac{dv_f}{dt} = \frac{dv_r}{dt} + \text{Switching harmonics} \quad (4.2)$$

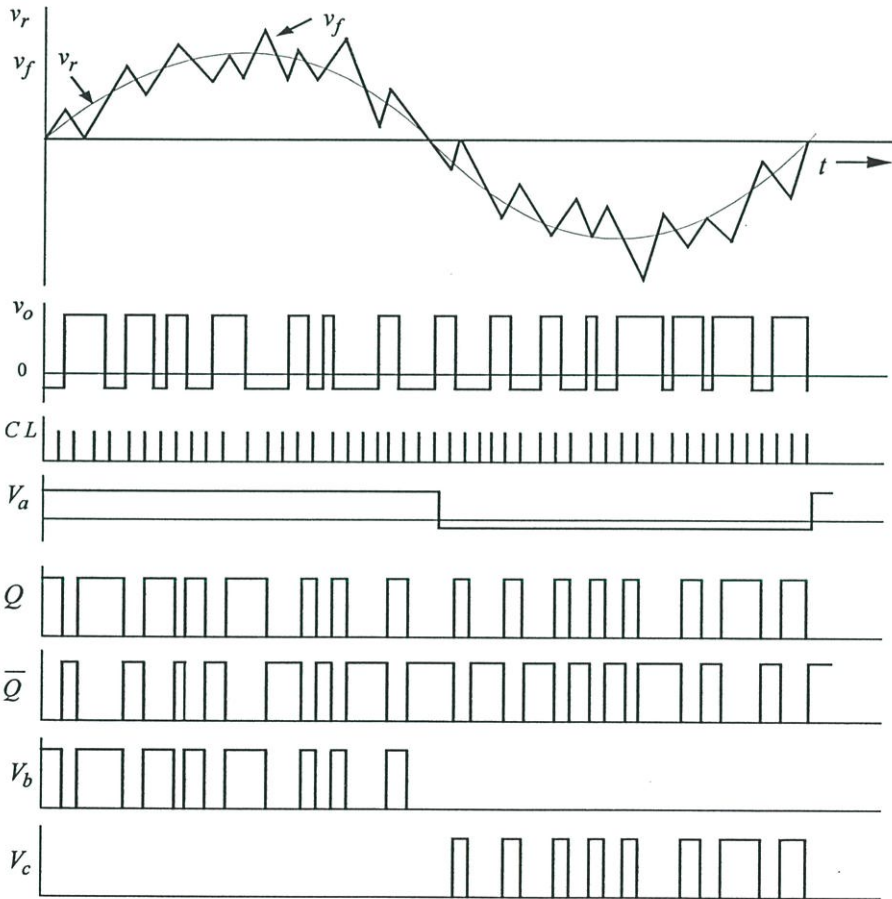
เมื่อขอบเขตฮิสเตอร์รีซิสยิ่งแคบจะทำให้สัญญาณป้อนกลับมีค่าเข้าใกล้สัญญาณ ไซน์อ้างอิงมากขึ้นและทำให้ความถี่ Switching harmonics ยิ่งมีค่าสูงขึ้น

4.2.2 วงจรเซลล์ด้ามีอดคโดย C.A Karybabus [20]

สามารถใช้ได้กับอินเวอร์เตอร์ที่เป็นโหลด RL ซึ่งเอาต์พุตที่ได้มีการเปลี่ยนทั้งความถี่และแรงแค้นทำให้กระแสโหลดมีรูปร่างเข้าใกล้ไซน์สามารถเลือกค่าคงที่เวลา (Time constant) ของอินทิเกรเตอร์ให้สอดคล้องกับค่าคงที่เวลาของโหลดได้ ซึ่งเป็นการกำหนดค่าความถี่สวิทชิง ตามรูปที่ 4.3 และรูปที่ 4.4



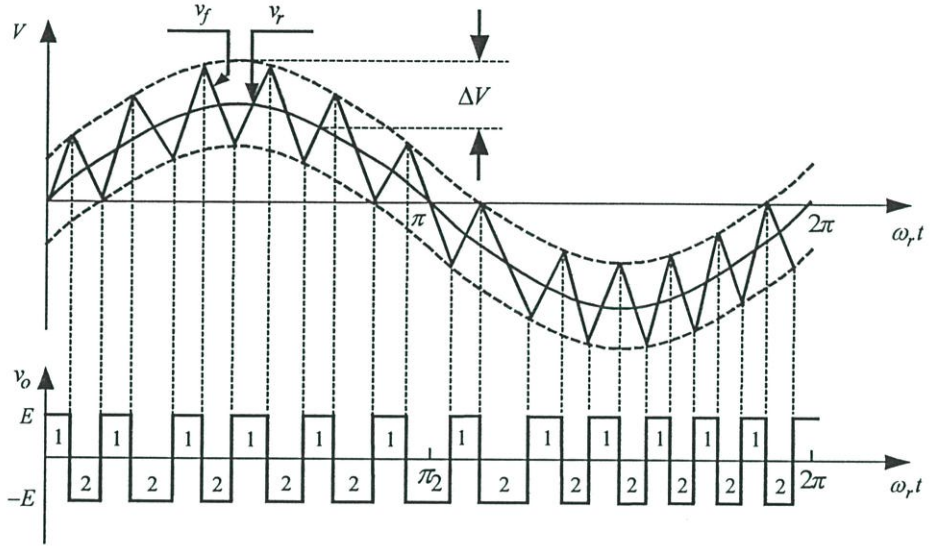
รูปที่ 4.3 วงจรเคลต้ามี่อดคูเลเตอร์ที่เสนอโดย C.A Karybabus



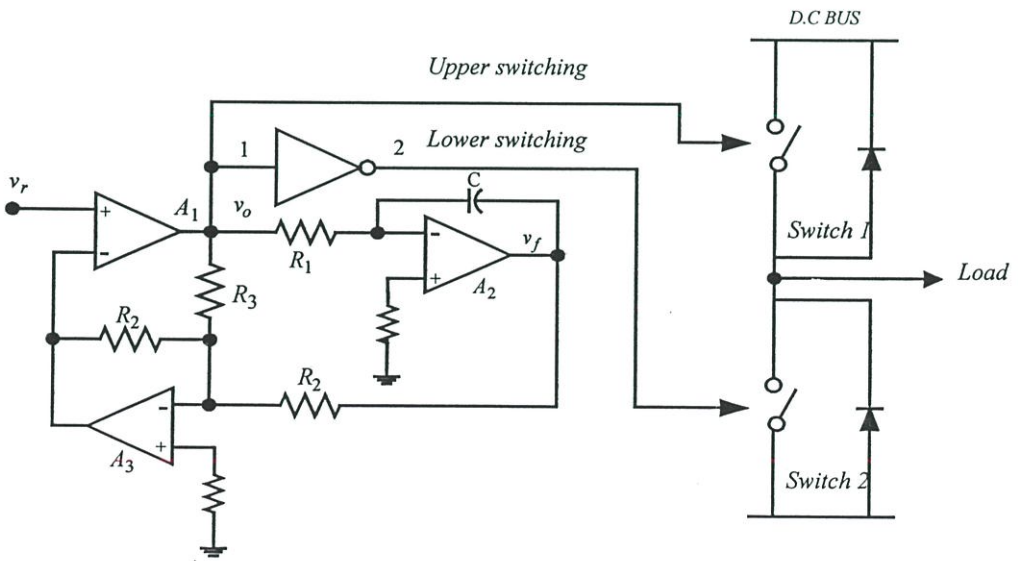
รูปที่ 4.4 รูปคลื่นของวงจรมี่อดคูเลเตอร์ตาม รูปที่ 4.3

4.2.3 วงจรเคลต้ามืดคูลเตอร์โดย Phoivos D.Ziogas [21]

จากรูปที่ 4.5 แสดงรูปคลื่นเคลต้ามืดคูลเตอร์ เมื่อสัญญาณเอาต์พุตที่ได้เป็นสัญญาณสวิตชิงของเคลต้ามืดที่นำไปขับพีคดับบลิวเอ็มอินเวอร์เตอร์และสัญญาณป้อนกลับคือสัญญาณคลื่นพาหะ (Carrier) จะออสซิลเลตรอบสัญญาณไซน์อ้างอิงอยู่ในขอบเขตฮีสเตอร์รีซิส ($\pm\Delta V$) โดยความถี่สวิตชิงจะถูกกำหนดโดยค่าความกว้างของฮีสเตอร์รีซิสและค่าความชันของสัญญาณป้อนกลับของอินเวอร์เตอร์



รูปที่ 4.5 รูปคลื่นเคลต้ามืด

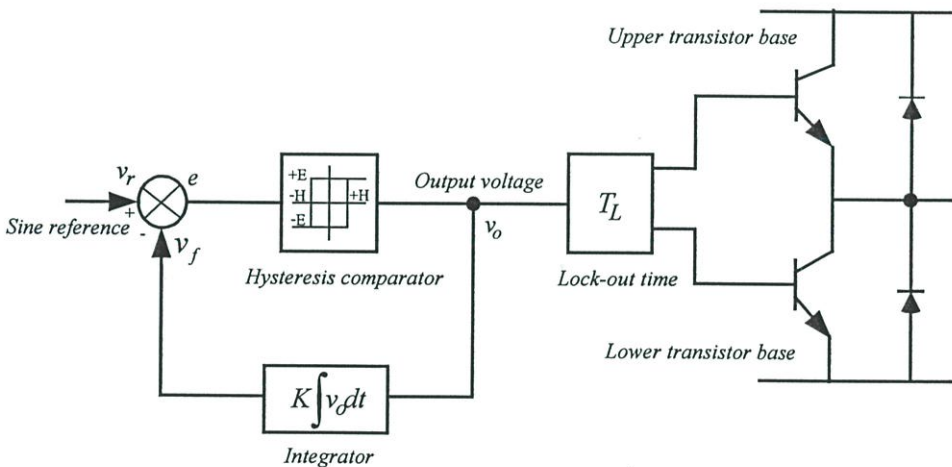


รูปที่ 4.6 วงจรเคลต้ามืดคูลเตอร์ที่เสนอโดย Phoivos D.Ziogas

การทำงานของวงจรถอดค่ามีอคติของเทคนิคนี้แสดงได้ดังรูปที่ 4.6 โดยสัญญาณไซน์อ้างอิงถูกป้อนเข้าที่ขั้วอินพุทของคอมพาราเตอร์ (Comparator) A_1 และอินทิเกรเตอร์ A_2 สร้างคลื่นพาหะเป็นสัญญาณป้อนกลับป้อนเข้าที่ขั้วลบ ซึ่งความกว้างของฮิสเตอร์รีซิสกำหนดค่าด้วยอัตราส่วนของ R_2/R_3 เมื่อไรก็ตามเอาต์พุทของ A_2 เกินค่าขอบเขตบน (Upper) หรือขอบเขตล่าง (Lower) ทำให้คอมพาราเตอร์ A_1 กลับ Polarity ของสัญญาณเอาต์พุท ซึ่งสัญญาณเอาต์พุทที่ได้นี้จะทำหน้าที่เป็นอินพุทของ A_2 มีผลทำให้ความชันของสัญญาณไซน์อ้างอิงเปลี่ยนเครื่องหมายตรงกันข้ามและออสซิลเลตรอบสัญญาณไซน์อ้างอิง

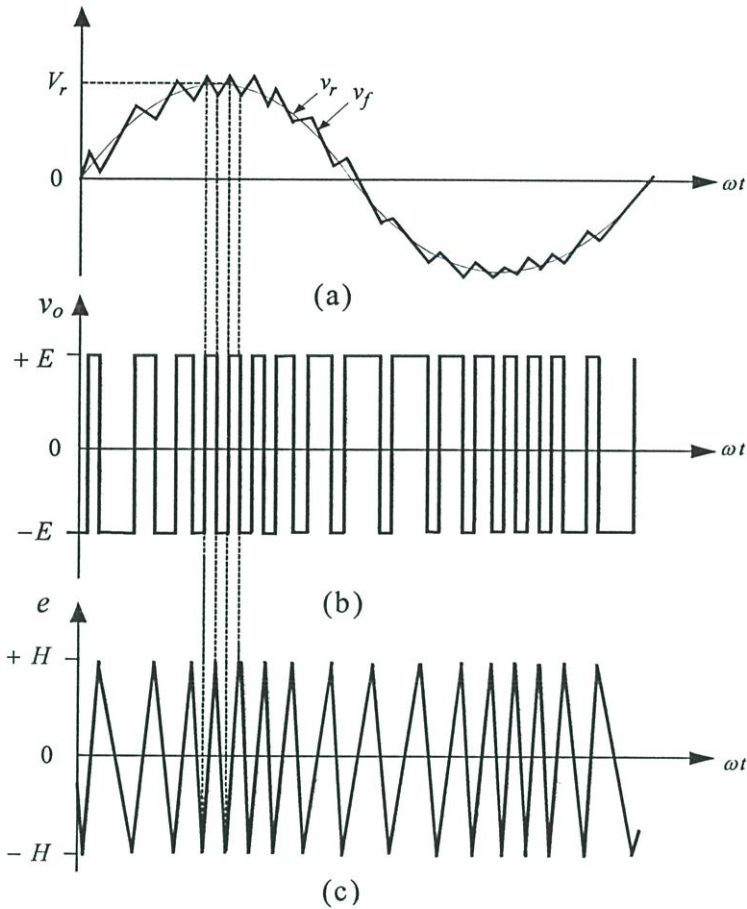
4.3 หลักการของเทคนิคเคลด้ามีอคติแบบอะซิงโครนัส

หลักการการทำงานของเทคนิคเคลด้ามีอคติแบบอะซิงโครนัส [22], [23], [24] ที่นำไปใช้กับพีดีบีบลิวเอ็มอินเวอร์เตอร์ประกอบด้วยบล็อกการทำงานของฮิสเตอร์รีซิสและบล็อกการทำงานของอินทิเกรเตอร์ แสดงได้ดังรูปที่ 4.7



รูปที่ 4.7 แผนภาพบล็อกหน่วยสร้างเทคนิคเคลด้ามีอคติ

จากรูปที่ 4.8 แสดงสัญญาณเอาต์พุทของฮิสเตอร์รีซิสเปลี่ยนการสวิตช์ซึ่งจาก $-E$ เป็น $+E$ โดย error จะเพิ่มขึ้นจาก $-H$ จนถึงค่า $+H$ เอาต์พุทเปลี่ยนเป็น $-E$ แล้วเกิดเหตุการณ์ในลักษณะเดิมอีก ซึ่งสัญญาณป้อนกลับจะออสซิลเลตอยู่ในความกว้างฮิสเตอร์รีซิส (Hysteresis width) ถ้าผลต่างหรือความกว้างฮิสเตอร์รีซิสยิ่งแคบจะทำให้สัญญาณป้อนกลับเข้าใกล้สัญญาณไซน์อ้างอิงมากขึ้นได้ สัญญาณเอาต์พุทที่จะนำไปควบคุมการทำงานของทรานซิสเตอร์ในอินเวอร์เตอร์ โดยที่แรงดันเอาต์พุทมูลฐานของอินเวอร์เตอร์ และความถี่ของอินเวอร์เตอร์ถูกควบคุมโดยขนาดและความถี่ของสัญญาณไซน์อ้างอิง



รูปที่ 4.8 รูปคลื่นเดลด้ามี้อด

(a) แรงดันป้อนกลับ (v_r) และแรงดันไขน้ออิง (v_f)

(b) แรงดันเอาท์พุท (v_o)

(c) ผลต่าง (error) ของ (v_f) และ (v_r)

$$v_o = \frac{dv_f}{dt} = -\frac{dv_r}{dt} + \text{Switching harmonics} \quad (4.3)$$

ซึ่งจากสมการที่ 4.3 จะเห็นได้ว่าสัญญาณเอาท์พุทที่ได้จะมีเฟสล้าหลังสัญญาณไขน้ออิงอยู่ 90 องศาและมีอังก์ประกอบฮาร์โมนิกส์อันค้บต่างๆ แต่อย่างไรก็้ตามรูปคลื่นสวิทซึ่งที่ก้เกิดขึ้นนอกจากจะก้เกิดพัลส์วิดมี้อด (Pulse Width Modulation) แล้วยังก้เกิดการมี้อดคูละตทงควมถี้ (Frequency Modulation) รวมอยู่ค้ด้วยสังกค้ได้จากค้บพัลส์วิดที่ไม้คงที่ท้ทำให้ก้เกิดการสวิทซึ่งที่เปลี่ยนเปล้งตามเวลออย่างไม้แน่นอนเป็นพีค้บบลิวเอ็มชนค้อะซิงโครนัส

4.4 การวิเคราะห์เดลด้ามือคดูเลเตอร์ชนิดอะซิงโครนัส [25], [26]

ในการวิเคราะห์เดลด้ามือคดูเลเตอร์นี้จะใช้วิธี Phase plane ในการอธิบายคุณสมบัติและลักษณะการเกิดรูปคลื่นจากรูปที่ 4.7 แสดงสมการความสัมพันธ์ต่างๆ ได้ดังนี้

$$v_f = K \int v_o dt \quad (4.4)$$

$$e = v_r - v_f \quad (4.5)$$

$$v_o = G(e) \quad (4.6)$$

เมื่อ K คือ ค่าคงที่ของอินทิเกรเตอร์มีค่าเท่ากับ $-1/RC$

$G(e)$ คือ ฟังก์ชันมัลติฟอร์ม (Multiform) ของฮิสเตอรีซิส

โดยกำหนดให้ v_o และ $\frac{v_f}{K}$ เป็นตัวแปรของ Phase plane ในแกนตั้งและแกนนอน ตามลำดับ

$$\int v_o dt = X$$

จากสมการที่ 4.5 สามารถวิเคราะห์การป้อนกลับสัญญาณไซน์อ้างอิง (v_r) ในลักษณะต่างๆ ได้ 3 กรณี ดังนี้

กรณีที่ 1 เมื่อ $v_r = 0$

สามารถเขียนสมการที่ 4.5 และ 4.6 ใหม่ได้ดังนี้

$$e = -v_f = -Kx$$

$$x' = G(-Kx) \quad (4.7)$$

จากสมการที่ 4.7 แทน Limit cycle ของฮิสเตอรีซิส ดังในรูปที่ 4.9 ซึ่งเป็นทางเดินของ Phase plane และแรงดันเอาต์พุต v_o หรือ X' จะออสซิลเลตด้วยคาบๆ หนึ่งเป็นเวลาที่อยู่ของ Phase plane เคลื่อนที่รอบ Limit cycle ที่จุดศูนย์กลางที่ 0 ในรูปที่ 4.10 แสดงลักษณะการเกิดของรูปคลื่นเดลด้ามือคที่ $v_r = 0$ สามารถคำนวณหาคาบเวลาของ Limit cycle ได้ดังนี้

จาก $e = -KX$ จะได้ $e = -K \int_{t_0}^{t_1} (-E) dt$ (ระหว่างค่าเวลา t_0 และ t_1 ซึ่ง $v_0 = -E$)

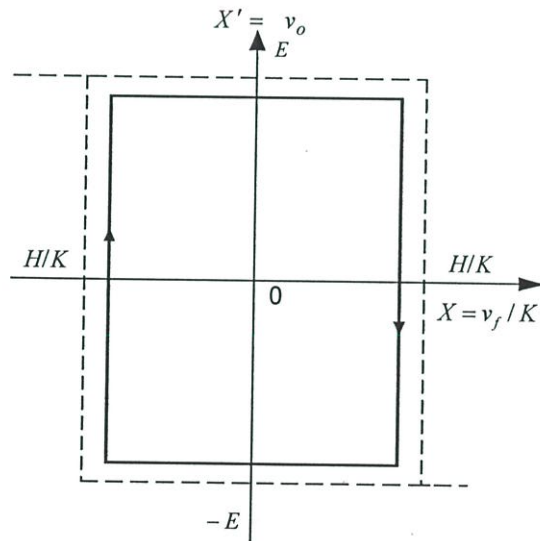
ซึ่ง t_0 จะได้ $e = H$

และ t_1 จะได้ $e = -H$

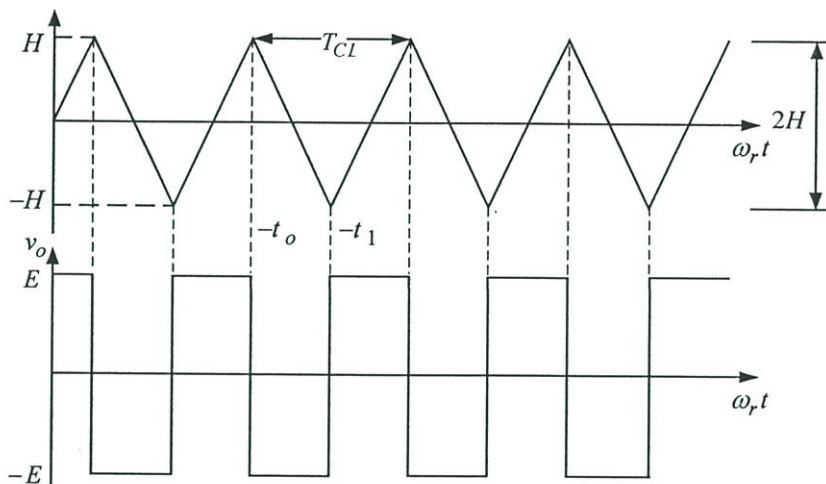
ดังนั้น $t_1 - t_0 = \frac{2H}{KE}$

$$T_{CL/2} = \frac{2H}{KE}$$

$$T_{CL} = \frac{4H}{KE} \quad \text{คือคาบของ Limit cycle}$$



รูปที่ 4.9 ทางเดิน Phase plane เมื่อ $v_r = 0$



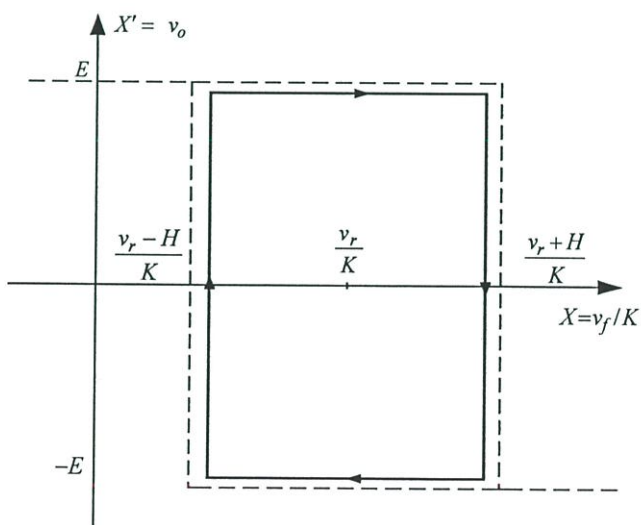
รูปที่ 4.10 รูปคลื่นเคลด้ามีอด เมื่อ $v_r = 0$

กรณีที่ 2 เมื่อ v_r เป็นสัญญาณ dc ขนาด V_r

จากสมการที่ 4.7 จะได้ว่า

$$x' = G(v_r - Kx) \quad (4.8)$$

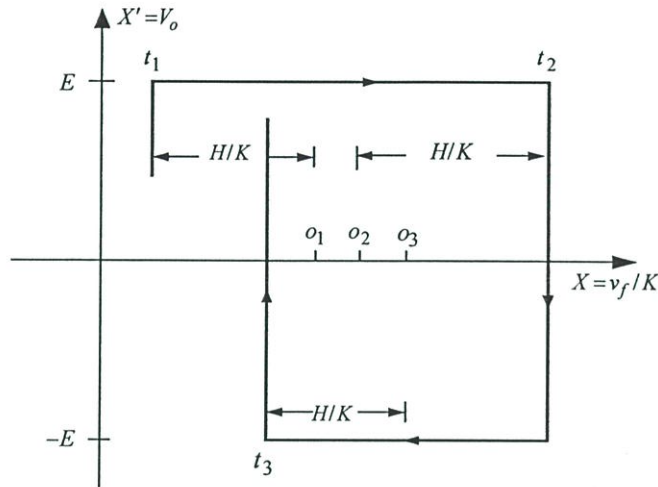
ทางเดินของ Phase plane แสดงได้ดังรูปที่ 4.11



รูปที่ 4.11 ทางเดิน Phase plane เมื่อ v_r เป็นสัญญาณ dc ขนาด V_r

โดย Limit cycle จะเลื่อนไปทางขวาตามแกนนอนเข้าสู่จุดศูนย์กลางใหม่ คือ v_r/K และขนาดของสัญญาณ V_r จะไม่มีผลต่อการมีอคติซึ่งความถี่ออสซิลเลตยังคงเดิมอยู่

กรณีที่ 3 เมื่อสัญญาณอ้างอิง v_r เป็นสัญญาณ ac ดังสมการ $v_r = V_r \sin(\omega t)$ จุดศูนย์กลาง (O_1) ของ Limit cycle จะแปรตามสัญญาณ ไซน์อ้างอิง ตามสมการ $O_1 = (v_r/K)\sin(\omega t)$ และเคลื่อนที่ตามแกนนอน ขณะที่จุดกำลังพิจารณาของ Phase plane เคลื่อนที่ไปตามทางเดินของมัน แสดงดังรูปที่ 4.12



รูปที่ 4.12 ทางเดิน Phase plane เมื่อ v_r เป็นสัญญาณ ac

การสวิตช์ที่เวลา t_1 จะเกิดขึ้นเมื่อระยะระหว่างจุดที่กำลังพิจารณาและจุดศูนย์กลาง (O_1) เท่ากับ H/K ซึ่งจุดทั้งสองเคลื่อนที่ไปในทิศทางเดียวกันจนถึงจุดที่กำลังพิจารณาเคลื่อนที่ผ่านจุดศูนย์กลางไปจนมีค่าเท่ากับ H/K จะเกิดการสวิตช์ของสัญญาณเอาท์พุทที่ $t = t_2$ โดยผลต่างของ t_1 และ t_2 คือเวลาของพัลส์บวก (Δt_+) หลังจากนั้นจุดทั้งสองจะเคลื่อนที่ไปในทิศทางตรงกันข้าม เมื่อระยะระหว่างจุดทั้งสองเท่ากับ H/K เกิดการสวิตช์ใหม่ที่ $t_2 = t_3$ ซึ่งเป็นการสวิตช์ครบรอบพอดีผลต่างของเวลา t_2 และ t_3 คือเวลาของพัลส์ลบ (Δt_-)

จากรูปที่ 4.12 เมื่อ $x = \int v_o dt$ และ $x = v_r/K$ ดังนั้น

$$\text{พัลส์บวก} \quad E \cdot \Delta t_+ = E(t_2 - t_1) = \frac{2H}{K} + [O_2 - O_1]$$

ซึ่ง

$$O_1 = \frac{v_r(t_1)}{K}$$

ดังนั้น

$$E \cdot \Delta_+ = \frac{2H}{K} + \left(\frac{v_r(t_2) - v_r(t_1)}{K} \right) \quad (4.9)$$

และพัลส์ลบ

$$\begin{aligned} E \cdot \Delta_- &= E(t_3 - t_2) = \frac{2H}{K} - [O_3 - O_2] \\ &= \frac{2H}{K} - \left(\frac{v_r(t_3) - v_r(t_2)}{K} \right) \end{aligned} \quad (4.10)$$

จากสมการที่ 4.9 และ 4.10 สามารถหาค่าพัลส์บวกและพัลส์ลบจาก

$$v_r(t_2) - v_r(t_1) = \frac{dv_r(t)}{dt} \cdot \Delta_+ \quad (4.11)$$

$$v_r(t_3) - v_r(t_2) = \frac{dv_r(t)}{dt} \cdot \Delta_- \quad (4.12)$$

ถ้าสัญญาณไซน์อ้างอิงคือ $v_r = V_r \sin(\omega_r t)$ ดังนั้นความชันของสัญญาณอ้างอิงไซน์คือ

$$\frac{dv_r(t)}{dt} = V_r \omega_r \cos(\omega_r t) \quad (4.13)$$

จากสมการที่ 4.9, 4.11 และ 4.13 จะได้ว่า

$$\Delta_+ = \frac{2H}{KE \left(1 - \frac{V_r \omega_r \cos(\omega_r t)}{KE} \right)} \quad (4.14)$$

จากสมการที่ 4.14 เมื่อสัญญาณไซน์อ้างอิงมีค่าลดลงหรือความชันของสัญญาณไซน์มีค่าเป็นลบจะทำให้พัลส์บวกมีค่ากว้างมากยิ่งขึ้น โดยสัญญาณ error เปลี่ยนค่าจาก $-H$ เป็น $+H$ ใช้เวลานานซึ่งค่าเวลาของพัลส์ลบ คือ

$$\Delta t_- = \frac{2H}{KE \left(1 + \frac{V_r \omega_r \cos(\omega_r t)}{KE} \right)} \quad (4.15)$$

สมการที่ 4.15 เมื่อสัญญาณไซน์อ้างอิงมีค่าเพิ่มขึ้นหรือค่าความชันของสัญญาณไซน์มีค่าเป็นบวก จะทำให้พัลส์ลบมีค่ากว้างมากขึ้นและสัญญาณ error เปลี่ยนค่าจาก $+H$ เป็น $-H$ ใช้เวลามากจากสมการที่ 4.14 และ 4.15 คาบพัลส์วัดคือ

$$\Delta t_+ + \Delta t_- = T_C = \frac{4H}{KE \left(\frac{1 - (V_r \omega_r \cos(\omega_r t))^2}{(KE)^2} \right)} \quad (4.16)$$

เมื่อ $m = V_r \omega_r \cos(\omega_r t)$ เป็นความชันของรูปคลื่นไซน์ ดังนั้นสมการที่ 4.16 สามารถเขียนใหม่ได้เป็น

$$T_c = \frac{4H}{KE} \frac{1}{\left(1 - \frac{m^2}{K^2 E^2} \right)} \quad (4.17)$$

ดังนั้นความถี่ของพัลส์วัด คือ

$$f_c = \frac{1}{T_c} = \frac{KE}{4H} \left(1 - \frac{m^2}{K^2 E^2} \right) \quad (4.18)$$

จากสมการที่ 4.17 และ 4.18 ถ้ากำหนดให้ค่า K, E และ H คงที่ เมื่อคาบพัลส์วัดไม่คงที่โดยจะขึ้นอยู่กับความชันของสัญญาณไซน์อ้างอิงซึ่งเปลี่ยนไปตามเวลาทำให้เทคนิคเคลด้ามีอดแบบอะซิงโครนัส นอกจากจะมีการมีอดคูเลตของพัลส์วัดแล้วยังมีการมีอดคูเลตทางความถี่รวมอยู่ด้วย โดยที่ความถี่ของพัลส์วัดแปรผกผันกับความชันของสัญญาณไซน์อ้างอิง โดยที่ความชันมากที่สุดและน้อยที่สุดทำให้คาบของพัลส์กว้างที่สุดและที่ความชันมีค่าเป็นศูนย์คาบของพัลส์แคบที่สุดจึงทำให้สัญญาณรูปคลื่นพีคับบลิวเอ็มของเทคนิคเคลด้ามีอดซิงโครนัสเปลี่ยนแปลงตลอดเวลา จากสมการที่ 4.16 จะได้ว่า

$$\begin{aligned} m^2 &= V_r^2 \omega_r^2 \cos^2 \omega_r t \\ &= 0.5 V_r^2 \omega_r^2 (1 + \cos 2\omega_r t) \end{aligned} \quad (4.19)$$

ดังนั้นสมการที่ 4.19 เขียนใหม่ จะได้

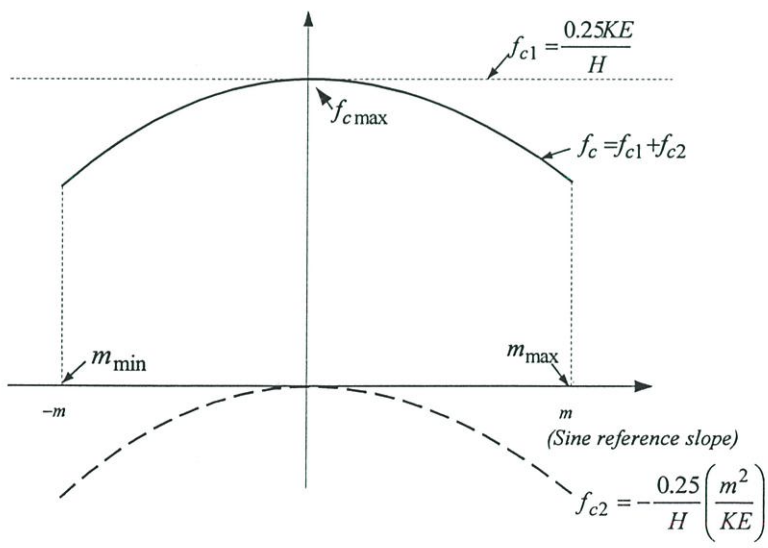
$$f_c = \frac{KE}{4H} \left(1 - \frac{0.5 V_r^2 \omega_r^2 (1 + \cos 2\omega_r t)}{K^2 E^2} \right) \tag{4.20}$$

เมื่อ $f_{c1} = \frac{0.25KE}{H} \tag{4.21}$

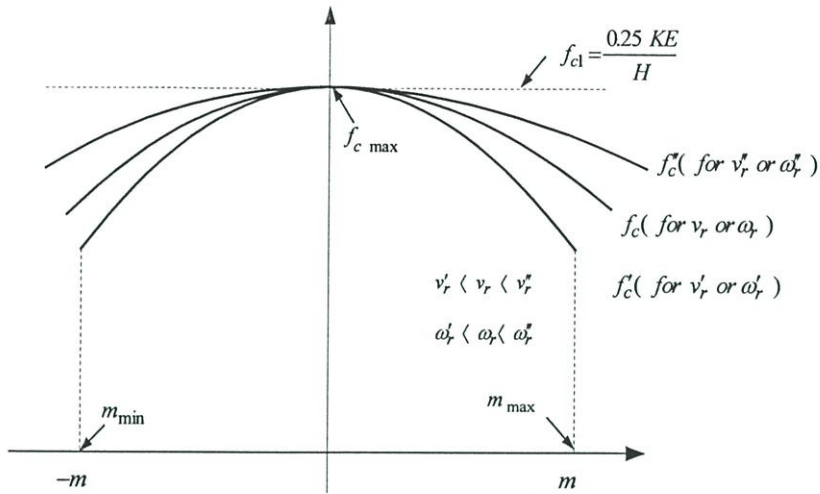
และ $f_{c2} = \frac{-0.5 V_r^2 \omega_r^2 (1 + \cos 2\omega_r t)}{4HKE} \tag{4.22}$

ดังนั้นจะได้ว่า $f_c = f_{c1} + f_{c2} \tag{4.23}$

จากสมการ 4.23 สามารถนำไปพิจารณาเขียนกราฟการตอบสนองความถี่ของพัลส์พีคดับบลิวเอ็มต่อค่าความชันของสัญญาณไซน์อ้างอิง ดังรูปที่ 4.13 และ 4.14 แสดงให้เห็นว่า การเปลี่ยนแปลงและความถี่ของแรงดัน ไซน์อ้างอิงมีผลต่อการเปลี่ยนความถี่มีอคตดูเลต โดยเมื่อขนาดหรือความถี่ของแรงดัน ไซน์อ้างอิงลดลงทำให้ความถี่การมีอคตดูเลตสูงขึ้นหรือคาบพัลส์วิดแคบลงแต่เมื่อขนาดหรือความถี่ของแรงดัน ไซน์อ้างอิงเพิ่มขึ้นทำให้ความถี่มีอคตดูเลตลดลงหรือคาบพัลส์วิดกว้างขึ้นทำให้จำนวนพัลส์ของพีคดับบลิวเอ็มลดลงและเปลี่ยนจากคลื่นพีคดับบลิวเอ็มเข้าสู่คลื่นสแควร์



รูปที่ 4.13 ความถี่ของพัลส์พีคดับบลิวเอ็มเมื่อค่าความชันของสัญญาณไซน์อ้างอิงเปลี่ยนแปลง



รูปที่ 4.14 การตอบสนองของความถี่มอดูเลตต่อความชันของสัญญาณไซน์อ้างอิง

จากสมการที่ 4.20 จะเห็นได้ว่า ความถี่ของการมอดูเลต(Frequency modulation)จะมีค่ามากที่สุดคือ

$$f_{c\max} = \frac{KE}{4H} \quad \text{ที่} \quad \omega_r t = \frac{\pi}{2}, \frac{3\pi}{2}, \dots \quad (4.24)$$

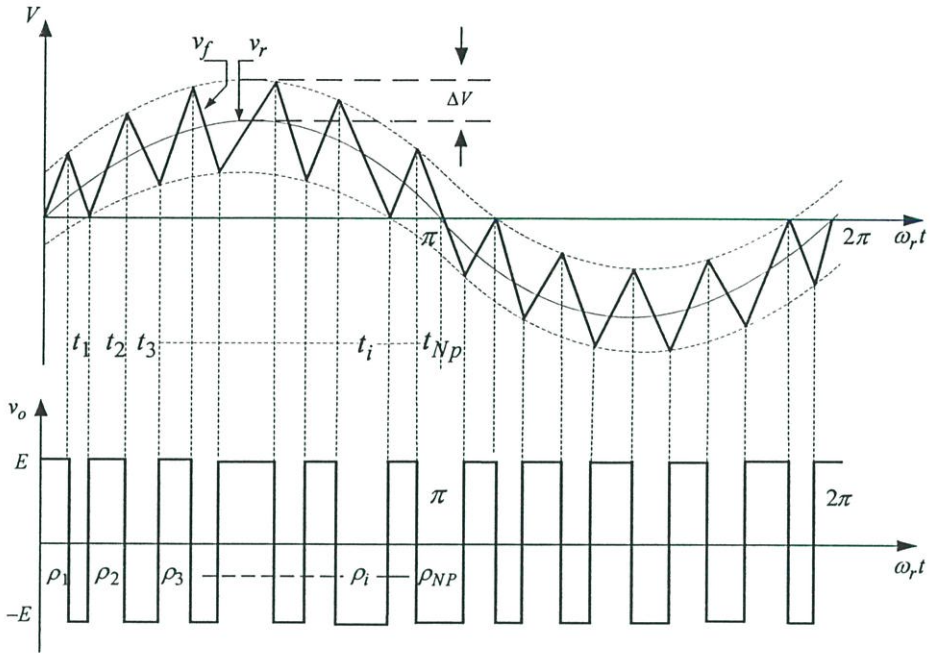
และความถี่ของการมอดูเลตจะมีค่าน้อยที่สุดคือ

$$f_{c\min} = \frac{KE}{4H} \left(1 - \frac{V_r^2 \omega_r^2}{K^2 E^2} \right) \quad \text{ที่} \quad \omega_r t = 0, \pi, \dots \quad (4.25)$$

4.5 การวิเคราะห์หาค่าฮาร์โมนิกส์ของรูปคลื่นสวิทชิงเคลดตำมอด

การวิเคราะห์หาค่าฮาร์โมนิกส์จากสมการที่ 4.9 ถึง 4.14 เป็นการหาตำแหน่งมุมสวิทชิง [27] ตามรูปที่ 4.15 ที่ $\rho_i = \pi$

เมื่อค่า i คือ จำนวนพัลส์ต่อไซเคิล = N_p



รูปที่ 4.15 รูปคลื่นเคลต้ามืด

สัมประสิทธิ์ของอนุกรมฟูเรียร์ กำหนดได้ดังนี้

$$A_n = (2E/m\pi) \sum_{i=1,2,3,\dots}^{Np} (-1)^{i+1} (\sin n\rho_i - \sin n\rho_{i-1}) \quad (4.26)$$

$$B_n = (2E/m\pi) \sum_{i=1,2,3,\dots}^{Np} (-1)^{i+1} (\cos n\rho_{i-1} - \cos n\rho_i) \quad (4.27)$$

ซึ่งแรงดันฮาร์โมนิกส์อันดับที่ n ของรูปคลื่นเคลต้ามืด กำหนดโดย

$$V_{on} = (A_n^2 + B_n^2)^{1/2} \quad (4.28)$$

เมื่อ n คือ อันดับฮาร์โมนิกส์

ถ้าความถี่ของสัญญาณ ไซน์อ้างอิงเปลี่ยนแปลงโดยมีค่าคงที่ของการอินทิเกรเตอร์ (K) และระดับแรงดันสวิทชิง (E) มีค่าคงที่ จะทำให้จำนวนพัลส์และรูปคลื่นพัลส์มีอดมีการเปลี่ยนแปลง ซึ่ง

จะทำให้อินเวอร์เตอร์เปลี่ยนระดับแรงดันเอาต์พุตไปพร้อมกับการเปลี่ยนความถี่และเมื่อสัญญาณป้อนกลับมีความถี่เท่ากับความถี่สัญญาณไซน์อ้างอิงทำให้เอาต์พุตของเซลล์มีออคดูเลเตอร์เป็นคลื่นแอสควร์ซึ่งแรงดันฮาร์โมนิกส์ อันดับที่ n ของคลื่นแอสควร์คือ

$$V_{on} = 4E / n\pi \quad (4.29)$$

ดังนั้นจำนวนครั้งของการสวิตช์ในเซลล์มีออคที่ดับบลิวเอ็มอินเวอร์เตอร์สามารถพิจารณาจาก

$$\rho_i = 2\pi f_r t_i \quad (4.30)$$

เมื่อ $\rho_i = \pi, i$ คือ จำนวนพัลส์ต่อครึ่งไซเคิลของสัญญาณไซน์อ้างอิง
 f_r คือ ความถี่ของสัญญาณไซน์อ้างอิง $i = N_p$ ที่ $\rho_i = \pi$

ดังนั้นจำนวนครั้งของการสวิตช์ คือ

$$N_c = 2N_p f_r \quad (4.31)$$

4.6 สรุป

ในบทนี้ได้มีการวิเคราะห์และออกแบบวงจรเซลล์มีออคดูเลชันซิกไนลอะซิงโครนัสแบบต่างๆซึ่งได้กล่าวถึงข้อดีของเทคนิคเซลล์มีออคและนำเสนอหลักการของเทคนิคเซลล์มีออคดูเลเตอร์แบบอะซิงโครนัสแล้วมีการวิเคราะห์ในรูปแบบสมการคณิตศาสตร์ไม่ว่าจะเป็นคาบพัลส์วิดหรือความถี่พัลส์วิดเพื่อให้สอดคล้องกับหลักการออกแบบรวมถึงการวิเคราะห์หาค่าฮาร์โมนิกส์ของรูปคลื่นสวิตชิงเซลล์มีออคในรูปของอนุกรมฟูเรียร์ ดังนั้นจึงได้นำเทคนิคเซลล์มีออคที่เสนอโดย Phoivos D.Ziogas มาวิเคราะห์เพื่อใช้ในการออกแบบเทคนิคเซลล์มีออคที่มีการป้อนกลับแรงดันที่ดับบลิวเอ็มเอาต์พุตซึ่งจะได้นำเสนอในบทถัดไป

บทที่ 5

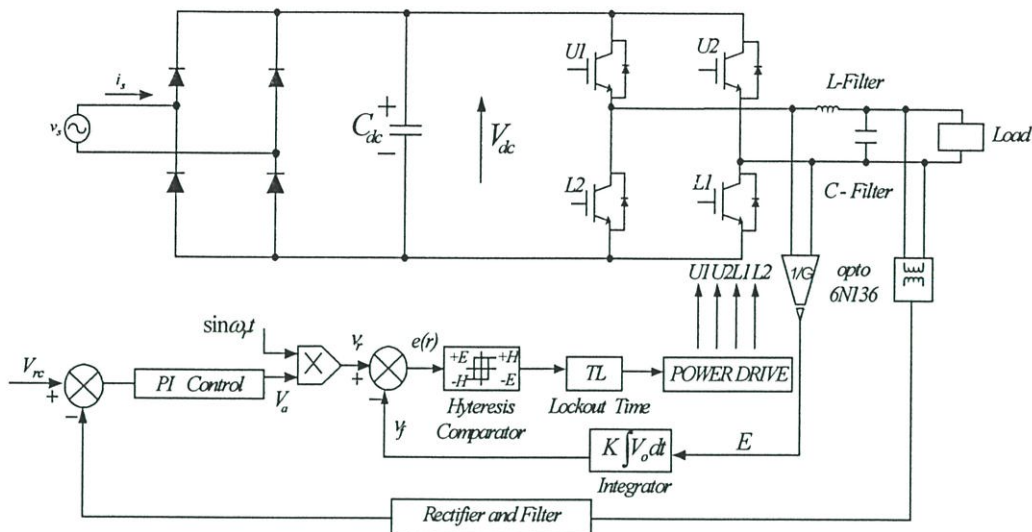
เทคนิคเคลต้ามืดดูเลเตอร์ที่นำเสนอ

5.1 บทนำ

วงจรเคลต้ามืดที่มีการป้องกันแรงดันพีดับบลิวเอ็มเอาท์พุทสำหรับแหล่งจ่ายไฟกระแสสลับ [4], [28] เป็นเทคนิคที่ทำหน้าที่เป็นปริเร็กกูเลเตอร์ (Preregulator) และเป็นเทคนิคหนึ่งที่ทำให้อินเวอร์เตอร์ทำงานได้อย่างมีประสิทธิภาพซึ่งถ้าค่าของคาปาซิเตอร์ที่แรงดันดีซีเชื่อมโยงมีค่าน้อยส่งผลให้ค่า DPF (Displacement Power Factor), PF (Power Factor) ทางด้านอินพุทสูงขึ้นและค่าความผิดเพี้ยนรวมของกระแสอินพุท (THD) ลดลงเป็นเทคนิคที่ทำให้การคงค่าของแรงดันเอาท์พุทและการตอบสนองทางไดนามิกดีขึ้น อันเนื่องจากการเปลี่ยนแปลงโหลดอย่างฉับพลันลดค่าความผิดเพี้ยนรวมของกระแสและแรงดันทางด้านเอาท์พุทและยังปรับปรุงสมรรถนะของระบบให้ดีขึ้น นอกจากนี้ในระบบยังมีการเพิ่มวงจรป้องกันแบบพีไอสำหรับดูปลอกเพื่อช่วยในการคงค่าแรงดันและลดระยะเวลาในการฟื้นตัวทางด้านเอาท์พุท ซึ่งงานวิจัยในวิทยานิพนธ์ฉบับนี้จะนำเสนอเทคนิคและการประยุกต์ใช้งานเทคนิคเคลต้ามืดที่มีการป้องกันแรงดันพีดับบลิวเอ็มเอาท์พุท ร่วมกับการควบคุมแบบพีไอที่มีการออกแบบและวิเคราะห์หลักการทำงานของวงจรเคลต้ามืดที่นำเสนอ รวมทั้งแสดงถึงขั้นตอนการออกแบบค่าพารามิเตอร์ต่างๆของวงจรเพื่อตรวจสอบการทำงานของวงจร และผลการทดลองที่ได้ออกแบบว่ามีความสอดคล้องกับทฤษฎีและหลักการที่ได้มีการวิเคราะห์ไว้หรือไม่ก่อนที่จะมีการออกแบบและวิเคราะห์การทำงานขั้นต่อไป

5.2 การวิเคราะห์และออกแบบวงจรเคลต้ามืดที่มีการป้องกันแรงดันพีดับบลิวเอ็มเอาท์พุทและการควบคุมแบบพีไอ

โดยปกติวงจรเคลต้ามืดแบบทั่วไปที่ไม่มีการป้องกันจะไม่ได้คำนึงถึงผลกระทบทางด้านอินพุทและทางด้านเอาท์พุทรวมถึงรีปเปิลของแรงดันดีซีเชื่อมโยง ดังนั้นเพื่อที่ชดเชยผลกระทบเหล่านี้จึงได้นำเสนอวงจรเคลต้ามืดที่มีการป้องกันแรงดันพีดับบลิวเอ็มเอาท์พุทร่วมกับการควบคุมแบบพีไอ ดังแสดงในรูปที่ 5.1



รูปที่ 5.1 บล็อกโคอะแกรมของวงจรเคลื่อนตัวมีอคที่มีการป้อนกลับแรงดันพีดับบลิวเอ็มเอท์พุท และการควบคุมแบบพีไอ

โดยในส่วนแรกเป็นส่วนของวงจรเรียงกระแสแบบฟูลบริดจ์ (Full Bridge) ประกอบด้วยคาปาซิเตอร์ (C_{dc}) ที่ทำหน้าที่เป็นฟิลเตอร์กรองแรงดันให้เรียบ ซึ่งเมื่อคาปาซิเตอร์ที่ใช้มีค่าน้อยหรือกระแสเอาท์พุทมีค่ามากขึ้นจากการเพิ่มของโหลดมีผลให้เกิดริปเปิลมากขึ้นด้วย จึงเป็นผลให้แรงดันเอาท์พุทพีดับบลิวเอ็มกระแสเฟื้อมตามริปเปิลของแรงดันดีซีเชื่อมโยง ดังนั้นจึงได้นำผลการเปลี่ยนแปลงแรงดันพีดับบลิวเอ็มเอท์พุทที่มีผลริปเปิลของแรงดันดีซีเชื่อมโยงรวมอยู่ด้วยป้อนกลับเข้าสู่วงจรอินทิเกรท โดยใช้อปโตได์ 6N136 เป็นตัวตรวจจับแรงดันเอาท์พุทพีดับบลิวเอ็ม โดยเมื่อเกิดริปเปิลขึ้นทำให้ระดับแรงดันเอาท์พุทพีดับบลิวเอ็มลดลงตามผลการเปลี่ยนแปลงริปเปิลของแรงดันดีซีเชื่อมโยงจึงทำให้ค่าแรงดันสวิทซึ่งป้อนกลับ (E) ลดลงด้วยสัดส่วนของเกนออปโตได์ ดังนั้น จะได้ว่า

$$E = \frac{V_{dc}(t)}{G} \quad (5.1)$$

เมื่อ G คือ เกนของออปโตได์

และในส่วนลูปนอกเป็นการป้อนกลับแบบพีไอที่จะช่วยในการรักษาระดับแรงดันเอาท์พุทที่โหลดและลดระยะเวลาในการตอบสนองของระบบ โดยตรวจจับแรงดันเอาท์พุทที่โหลดผ่านเร็คติไฟเออร์และฟิลเตอร์เป็นแรงดันดีซีที่เปลี่ยนแปลงตามแรงดันเอาท์พุทของโหลด แล้วผ่านไปท่วงจรคอมพาราเตอร์เปรียบเทียบกับแรงดันดีซีอ้างอิง ก่อนเข้าสู่ PI Control โดยสัญญาณที่ได้จะนำไปปรับเพิ่มที่ Amplitude Control ของ EPROM สร้างสัญญาณไซน์อ้างอิงต่อไป

ดังนั้น เมื่อนำสมการที่ 5.1 แทนในสมการที่ 4.14 , 4.15 และ 4.16 จะได้ว่า

$$\Delta t_+ = \frac{2H}{K \frac{V_{dc}(t)}{G} \left(1 - \frac{V_r \omega_r \cos(\omega_r t)}{K \frac{V_{dc}(t)}{G}} \right)} \quad (5.2)$$

และ

$$\Delta t_- = \frac{2H}{K \frac{V_{dc}(t)}{G} \left(1 + \frac{V_r \omega_r \cos(\omega_r t)}{K \frac{V_{dc}(t)}{G}} \right)} \quad (5.3)$$

ดังนั้นจะได้ว่า

$$\Delta t_+ + \Delta t_- = T_c = \frac{4H}{K \frac{V_{dc}(t)}{G} \left(1 - \frac{(V_r \omega_r \cos(\omega_r t))^2}{\left(K \frac{V_{dc}(t)}{G} \right)^2} \right)} \quad (5.4)$$

เมื่อแรงดันสวิทซ์ซึ่งป้อนกลับผ่านวงจรอินทิเกรทแล้วได้สัญญาณป้อนกลับ(v_f) นั้นจะมีการปรับตัวเพื่อที่จะเกาะติดกับสัญญาณไซน์อ้างอิง(v_i) ตลอดเวลา จากสมการที่ 5.2, 5.3 และ 5.4 พบได้ว่า ค่าระดับแรงดันสวิทซ์ซึ่งป้อนกลับ (E) ของเซลล์มีอคติที่มีการป้อนกลับแรงดันที่ดับปลิวเอ็มเอท์พุก มีผลของแรงดันดีซีเชื่อม โยงและผลกระทบของริปเปิลรวมอยู่ด้วย แต่ในกรณีของเซลล์มีอคติที่ไม่มีกรป้อนกลับระดับแรงดันสวิทซ์ซึ่งป้อนกลับ (E) มีค่าเท่ากับ V_{cc} ของคอมพาราเตอร์ซึ่งจากการที่ค่าของ $V_{dc}(t)$ มีการเปลี่ยนแปลงอยู่ตลอดเวลา นั้นจึงทำให้ค่าเวลาของพัลส์บวก (Δt_+) และค่าเวลาของพัลส์ลบ (Δt_-) นั้นเปลี่ยนแปลงตามไปด้วย ซึ่งได้ทดลองที่ความถี่สวิทซ์ซึ่ง 1 kHz เพื่อให้เห็นถึงการขยายตัวของเนื้อพัลส์อย่างชัดเจนเมื่อเกิดริปเปิลขึ้นตามทฤษฎีและเทคนิคที่นำเสนอ โดยถ้าค่า $V_{dc}(t)$ นั้นมีค่าลดลงจากผลของริปเปิลจะทำให้ค่าเวลาของพัลส์บวกและค่าเวลาพัลส์ลบมีค่ามากขึ้น ดังรูปที่ 7.6 จึงทำให้สัญญาณป้อนกลับ(v_f) มีการปรับตัวเพื่อเกาะติดกับสัญญาณไซน์อ้างอิงอยู่ตลอดเวลาจนกว่าจะเข้าสู่คลื่นสแควร์ เมื่อความถี่ของสัญญาณป้อนกลับเท่ากับ

ความถี่สัญญาณ ไซน์อ้างอิงส่งผลให้พัลส์มีแรงดันเฉลี่ยสูงขึ้นและเป็นการปรับเพิ่มการมีอดตามการเปลี่ยนแปลงของค่า $V_{dc}(t)$ ดังสมการที่ 5.6 เมื่อ

$$M = \frac{V_r \omega_r}{KE} \quad (5.5)$$

ดังนั้น เมื่อนำสมการที่ 5.1 แทนในสมการที่ 5.5 จะได้

$$M = \frac{V_r \omega_r}{K \frac{V_{dc}(t)}{G}} \quad (5.6)$$

จากสมการที่ 5.6 จึงทำให้แรงดันเอาต์พุตมูลฐานเพิ่มขึ้นเพื่อชดเชยแรงดันที่ตกไปให้คงที่เมื่อเกิดรีเปิลของแรงดันดีซีเชื่อมโยงจึงทำให้เทคนิคนี้สามารถลดผลกระทบรีเปิลของแรงดันดีซีเชื่อมโยงที่มีต่อสมรรถนะของระบบและลดผลกระทบทางด้านเอาต์พุตได้ การป้อนกลับลักษณะนี้ถือได้ว่าเป็นปรีเร็กคิวเลเตอร์แต่เมื่อแรงดันพีคดับลิแวมเอาต์พุตที่ตรวจจับได้นั้นอยู่ก่อนฟิลเตอร์จึงไม่สามารถรักษาระดับแรงดันเอาต์พุตที่โหลดได้ จึงได้มีการทำงานร่วมกับการควบคุมแบบพีโอเพื่อช่วยในการคงค่าแรงดันและลดระยะเวลาในการฟื้นตัวให้เร็วขึ้นเมื่อมีการเปลี่ยนแปลงโหลดอย่างฉับพลัน

จากรูปที่ 5.1 สามารถนำไปคำนวณเพื่อใช้ในการออกแบบและการทดลองโดยในการออกแบบวงจรนี้ได้มีการจำลองวงจรควบคุมโดยใช้โปรแกรม MATLAB เพื่อให้แน่ใจว่าวงจรเซลล์มีอดที่มีการป้อนกลับแรงดันพีคดับลิแวมเอาต์พุตที่ได้ออกแบบไว้มีความถูกต้องตรงตามทฤษฎีที่ได้วิเคราะห์ศึกษาไว้และมีความเป็นไปได้ในการนำไปใช้งานจริง

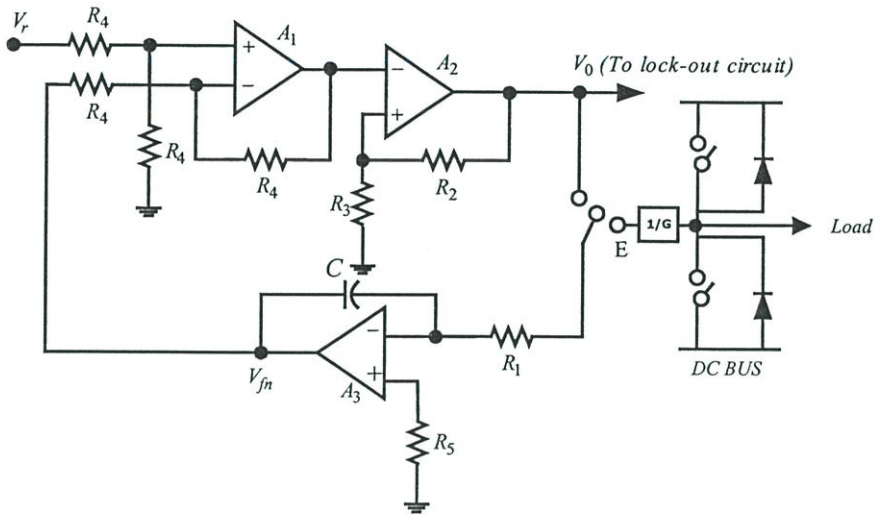
สำหรับค่าพารามิเตอร์ของวงจรที่ได้มีการออกแบบไว้ในที่นี้คือค่าเวลาคงที่ของอินทิเกรท ($K = \frac{1}{R_1 C}$) ความกว้างของฮิสเตอร์รีซิส ($H = \frac{R_2 E}{R_2 + R_3}$) อัตราขยายเกน ($1/G$) และการควบคุมแบบพีโอ

5.3 การวิเคราะห์และออกแบบวงจรเซลล์มีอดดูเลเตอร์

การวิเคราะห์ค่าพารามิเตอร์ต่างๆ [22], [29] เพื่อใช้ในการออกแบบวงจรเซลล์มีอดที่มีการป้อนกลับแรงดันพีคดับลิแวมเอาต์พุตดังรูปที่ 4.7 สามารถแสดงได้ดังรูปที่ 5.2

โดยที่ A_3 เป็นวงจรอินทิเกรเตอร์เพื่อทำหน้าที่กรองความถี่ต่ำผ่านอันดับแรก [30], [31] ดังนั้นเอาต์พุตของการกรองที่อันดับ n ใดๆ คือ

$$V_{fn} = \frac{V_{on}}{nR_1C\omega_r} \quad (5.7)$$



รูปที่ 5.2 วงจรเคลด้ามีอดคูเลเตอร์ที่ออกแบบ

เมื่อ ω_r คือ Angular frequency ของสัญญาณไซน์อ้างอิงที่มีค่าเท่ากับ $2\pi f_r$ เนื่องจากว่าขนาดของแรงดันเอาต์พุตมูลฐาน ($n = 1$) มีขนาดเท่ากับสัญญาณไซน์อ้างอิง ดังนั้นจะได้ว่า

$$V_{f1} = V_r \quad (5.8)$$

และ

$$V_r = \frac{V_{01}}{R_1C\omega_r} \quad (5.9)$$

จากสมการที่ 5.9 ถ้าขนาดของสัญญาณไซน์อ้างอิงและค่าคงที่เวลาของอินทิเกรเตอร์มีค่าคงที่ จะทำให้อัตราส่วนแรงดันมูลฐานต่อความถี่ $\left(\frac{V_{01}}{\omega_r}\right)$ มีค่าคงที่ทุกๆความถี่ที่ความถี่ต่ำกว่าความถี่กำหนด ซึ่งเป็นการทำงานในโหมดพีคดับลิแวมและจะคงที่จนกระทั่งความถี่ของสัญญาณไซน์อ้างอิงมีค่าเท่ากับความถี่กำหนด ($f_r = f_b$) แต่เมื่อความถี่สัญญาณไซน์อ้างอิงมีค่าสูงกว่าความถี่กำหนดจะทำให้คลื่นพีคดับลิแวมเกิดโอเวอร์มีอดคูเลชัน (Over-Modulation) หรือค่าดัชนีการมีอด

มีค่ามากกว่าหนึ่งจนในที่สุดสัญญาณเอาต์พุตจะเปลี่ยนจากคลื่นพีคดับลิแวมเป็นคลื่นสแควร์ตามสมการที่ 5.10

$$V_{01} = \frac{4E}{\pi} \quad (5.10)$$

ในโหมคของคลื่นสแควร์นี้ V_{01} จะไม่ขึ้นอยู่กับความถี่และมีค่าคงที่ตลอดที่ $\frac{4E}{\pi}$ โดยความถี่กำหนด f_b (Base frequency) สามารถพิจารณาได้จากค่าคงที่เวลา R_1C ของอินทิเกรเตอร์ A_3 ที่ ($f_r = f_b$) จะได้ดัชนีการมอดเท่ากับ 1 ซึ่งจะได้ว่า $V_{01} = E$ ซึ่งกำหนดให้เป็น Base frequency ดังนั้นจากสมการที่ 5.9 สามารถเขียนใหม่ได้เป็น

$$\frac{V_{01}}{f_b} = \frac{E}{f_b} = 2\pi R_1 C V_r \quad (5.11)$$

ซึ่ง

$$R_1 C = \frac{E}{(2\pi V_r f_b)} \quad (5.12)$$

ดังนั้นจะได้ว่า

$$K = \frac{1}{R_1 C} = \frac{2\pi V_r f_b}{E} \quad (5.13)$$

และที่คอมพาราเตอร์ A_2 จะทำหน้าที่เป็นฮิสเตอร์รีซิส

$$\text{เมื่อความกว้างฮิสเตอร์รีซิส} = \frac{R_2 E}{R_2 + R_3} \quad (5.14)$$

ในขณะที่ความถี่หรือขนาดสัญญาณอ้างอิงไซน์มีค่าใกล้ศูนย์จะทำให้จำนวนครั้งของการสวิทช์ของรูปคลื่นสวิทช์ซึ่งจะมีค่ามากที่สุด

$$\text{ซึ่ง} \quad f_{CL} = \frac{1}{T_{CL}} = \frac{N_{cm}}{2} \quad (\text{ในหนึ่งคาบมีจำนวนการสวิทช์ 2 ครั้ง}) \quad (5.15)$$

เมื่อ f_{cl} คือ ความถี่รีปเปิด v_f เมื่อ f_r หรือ $V_r = 0$

N_{cm} คือ จำนวนครั้งของการสวิตช์มากที่สุดต่อคาบ

$$\text{จาก } T_{cl} = \frac{4H}{KE}, \quad K = \frac{1}{R_1 C} \quad \text{และ} \quad H = \frac{R_2 E}{(R_2 + R_3)} \quad (5.16)$$

ดังนั้นจะได้ว่า

$$T_{cl} = \frac{4R_1 C R_2}{(R_2 + R_3)} \quad (5.17)$$

จากสมการที่ 5.14 แทนในสมการที่ 5.15 จะได้

$$H = \frac{R_2 E}{(R_2 + R_3)} = \frac{E}{(2R_1 C N_{cm})} \quad (5.18)$$

$$\text{และ} \quad \frac{R_2}{(R_2 + R_3)} = \frac{1}{(2R_1 C N_{cm})} \quad (5.19)$$

จากสมการเหล่านี้สามารถกำหนดค่าพารามิเตอร์ต่างๆในการออกแบบได้รวมถึงค่าแรงดันสวิทช์ซึ่งป้อนกลับ (E) ซึ่งจะพิจารณาได้จากสมการที่ 5.1

การคำนวณค่าพารามิเตอร์เพื่อการออกแบบ

กำหนดให้

1. ความถี่กำหนด $f_b = 50$ Hz
2. ขนาดของสัญญาณไซน์อ้างอิง $V_r = 9$ V
3. แรงดันสวิทช์ซึ่งเอาท์พุทของคอมพาราเตอร์ $A_2(E) = 14$ V
4. จำนวนครั้งของการสวิตช์ที่มากที่สุด $N_{cm} = 10$ kHz

จากข้อมูลที่กำหนดให้สามารถหาค่าพารามิเตอร์ต่างๆได้ดังสมการที่ 5.12

$$R_1 C = \frac{E}{2\pi V_r f_b} = \frac{14}{(2\pi)(9)(50)} = 0.004954 \text{ S}$$

โดยเลือกค่าของคาปาซิเตอร์ที่

$$C = 0.1 \mu\text{F}$$

ดังนั้นนำ $C = 0.1 \mu\text{F}$ แทนลงใน $R_1 C = 0.004954 \text{ S}$ จะได้ว่า

$$R_1 = \frac{0.004954}{0.1 \times 10^{-6}} = 49.54 \times 10^3$$

ดังนั้นเลือกค่าที่เหมาะสมจะได้

$$R_1 = 49 \text{ k}\Omega$$

และจากสมการที่ 5.19 ในการคำนวณหาค่าความถี่ในการสวิตช์ คือ

$$\frac{R_2}{R_2 + R_3} = (2R_1 C N_{cm})^{-1} = \frac{1}{(2)(49.54 \times 10^3)(0.1 \times 10^{-6})(10 \times 10^3)}$$

$$\frac{R_2}{R_2 + R_3} = 0.0101$$

กำหนดให้ $R_2 = 1 \text{ k}\Omega$

$$\frac{1 \times 10^3}{(1 \times 10^3) + R_3} = 0.0101$$

$$1 \times 10^3 = (1 \times 10^3)(0.0101) + R_3(0.0101)$$

ดังนั้น

$$R_3 = 98 \text{ k}\Omega$$

ในการเลือกค่าของ R_2 และ R_3 จะประมาณใช้ค่าที่เหมาะสม จึงกำหนดให้

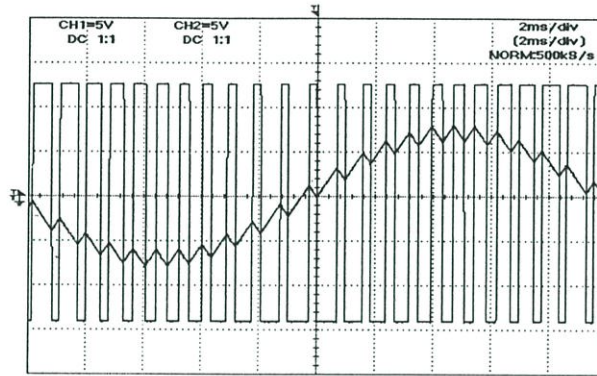
$$R_2 = 1 \text{ k}\Omega \text{ และ } R_3 = 98 \text{ k}\Omega$$

และจะได้ค่า N_{cm} ที่มีการปรับใหม่คือ 10.11×10^3 ครั้งต่อวินาที

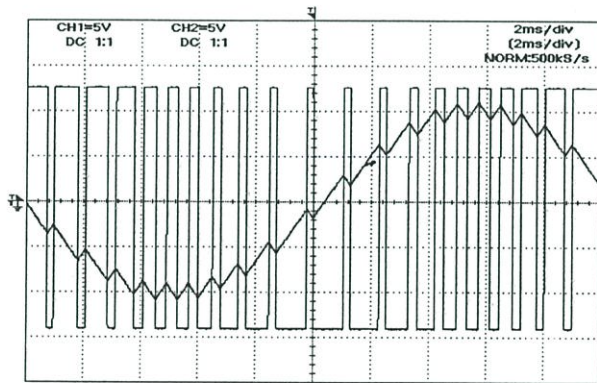
5.4 ผลการเปลี่ยนแปลงรูปคลื่นเคลด้ามีอดดูเลขันเมื่อมีการเปลี่ยนค่าพารามิเตอร์ต่างๆ

จากการวิเคราะห์เทคนิคเคลด้ามีอด ในบทที่ 4 จะพบว่ารูปคลื่นเคลด้ามีอดจะขึ้นอยู่กับขนาดของแรงดันของสัญญาณไซน์อ้างอิง (V_r) ความถี่ของสัญญาณไซน์อ้างอิง (f_r) ค่าคงที่เวลาของอินทิเกรเตอร์ (R_iC) และความกว้างของฮีสเตอร์รีซิส (H) และค่าแรงดันสวิทชิงป้อนกลับ (E)

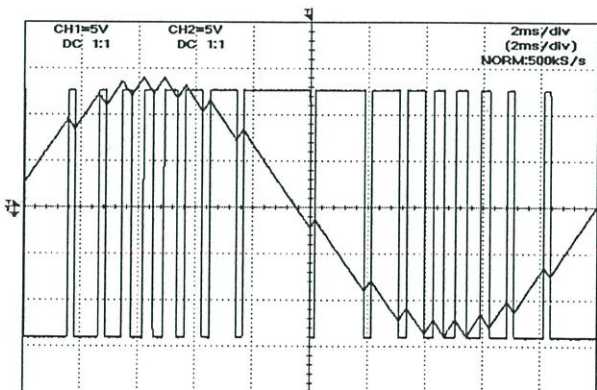
5.4.1 ผลของการเปลี่ยนขนาดแรงดันของสัญญาณไซน์อ้างอิง



(a) $V_r = 8V$



(b) $V_r = 11V$

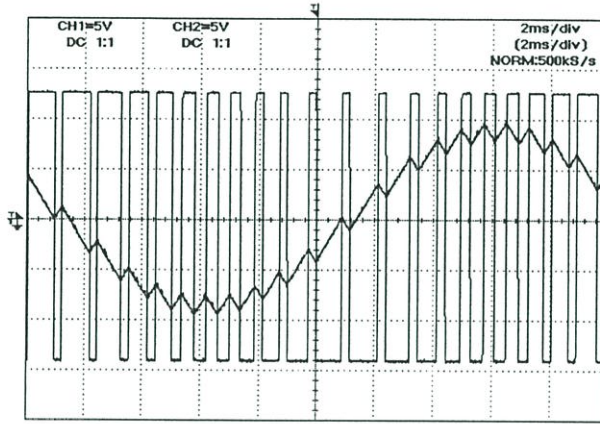


(c) $V_r = 14V$

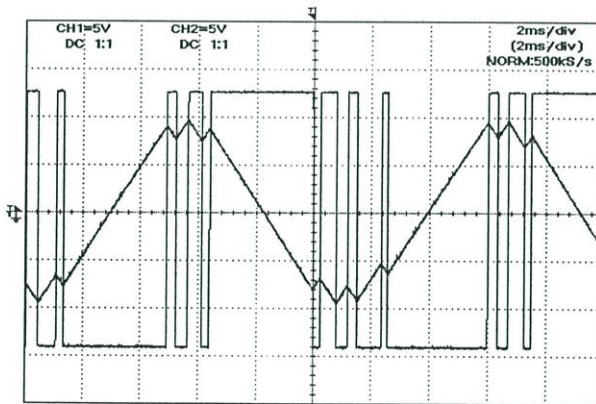
รูปที่ 5.3 รูปคลื่นสัญญาณ v_r และ v_o ที่ความถี่ 50 Hz

จากรูปที่ 5.3 (a),(b) และ (c) เมื่อกำหนดให้ความถี่ของสัญญาณไซน์อ้างอิงมีค่าคงที่และมีการเปลี่ยนขนาดสัญญาณไซน์อ้างอิงจะพบได้ว่าเมื่อขนาดของสัญญาณไซน์อ้างอิงมีค่าสูงขึ้นจะทำให้สัญญาณพัลส์พีคดับลิแอมหรือสัญญาณสวิทช์ลดลง

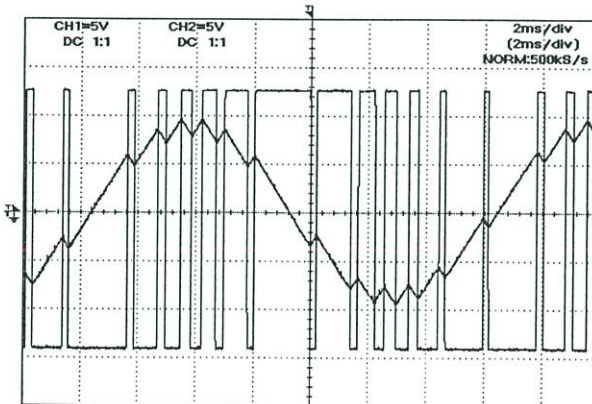
5.4.2 ผลของการเปลี่ยนความถี่ของสัญญาณไซน์อ้างอิง



(a) $f = 50 \text{ Hz}$



(b) $f = 70 \text{ Hz}$

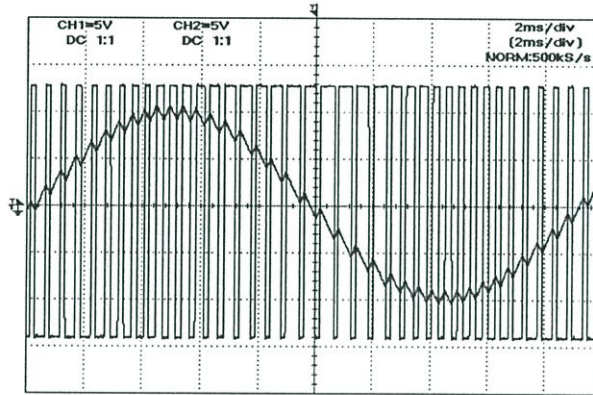


(c) $f = 90 \text{ Hz}$

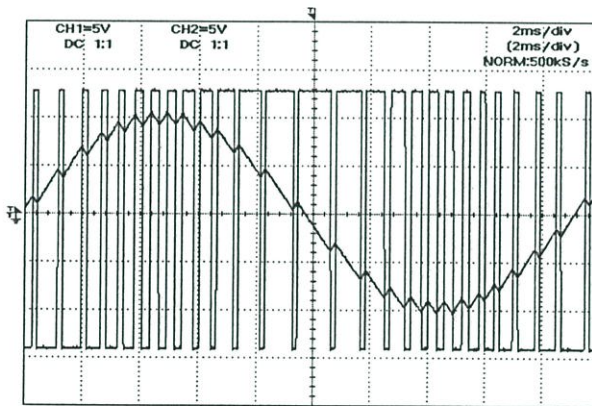
รูปที่ 5.4 รูปคลื่นสัญญาณ v_f และ v_o ที่ $V_r = 9.8\text{V}$

จากรูปที่ 5.4 (a), (b) และ (c) เมื่อกำหนดให้ขนาดของรูปสัญญาณ ไซน์อ้างอิงคงที่ ขณะที่ความถี่ของสัญญาณ ไซน์อ้างอิงสูงขึ้นจะสังเกตเห็นว่าจำนวนครั้งของการสวิตช์มีค่าน้อยลงจนในที่สุดเมื่อความถี่ค่าหนึ่งจะมีการเปลี่ยนพัลส์จากคลื่นพีคดับลิวเอ็มเป็นคลื่นสแควร์ที่มีความถี่เท่ากับ ความถี่ของสัญญาณ ไซน์อ้างอิง

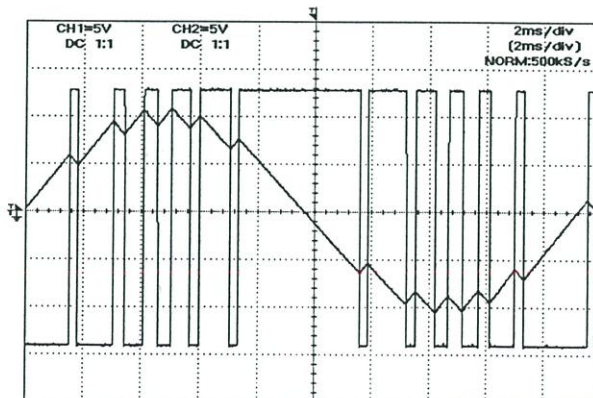
5.4.3 ผลของการเปลี่ยนแปลงค่าคงที่เวลาของการอินทิเกรต



(a) $R = 50 \text{ k}\Omega$, $C = 0.1 \text{ }\mu\text{F}$



(b) $R = 75 \text{ k}\Omega$, $C = 0.1 \text{ }\mu\text{F}$

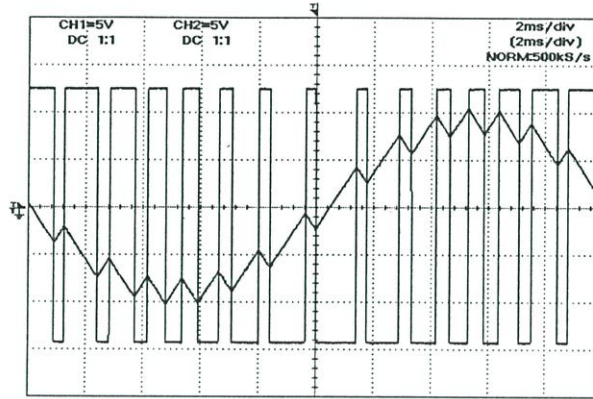


(c) $R = 100 \text{ k}\Omega$, $C = 0.1 \text{ }\mu\text{F}$

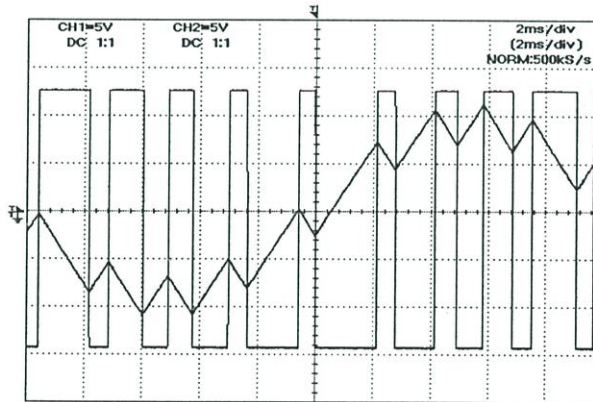
รูปที่ 5.5 รูปคลื่นสัญญาณ v_f และ v_o ที่ $V_r = 9.8\text{V}$ ความถี่ 50 Hz

จากรูปที่ 5.5(a) ,(b)และ(c) เมื่อค่าคงที่เวลาของการอินทิเกรตมีค่าสูงขึ้นจะทำให้ความชันของสัญญาณป้อนกลับ(v_r) มีค่าลดลงทำให้ความถี่การออสซิลเลตของสัญญาณป้อนกลับ(v_o) ลดลงและทำให้มีการสวิทช์น้อยลงดังนั้นค่าคงที่เวลาของการอินทิเกรตจึงมีผลต่อการเปลี่ยนแปลงรูปคลื่น

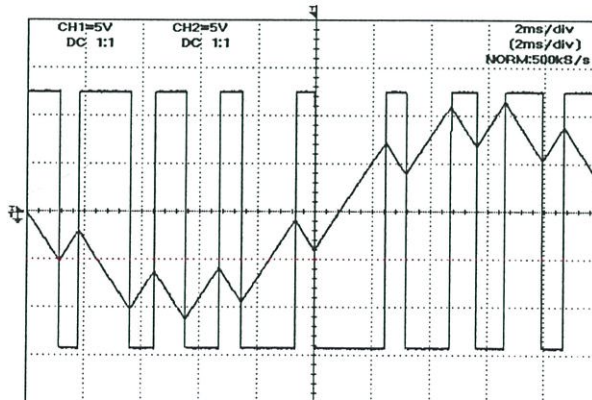
5.4.4 ผลของการเปลี่ยนความกว้างฮิสเตอร์รีซิส



(a) $H = 1.4V$



(b) $H = 2.8V$



(c) $H = 5V$

รูปที่ 5.6 รูปคลื่นสัญญาณ v_r และ v_o ที่ $V_r = 9.8V$ ความถี่ 50 Hz

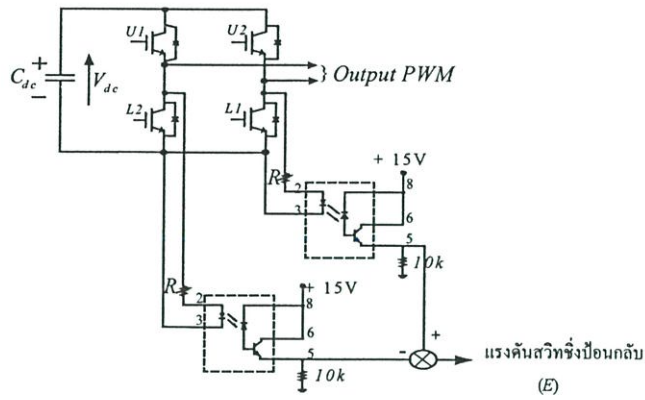
จากรูปที่ 5.6 (a), (b) และ (c) จะพบว่าถ้าค่าความกว้างฮีสเตอร์รีซิส (H) มีค่าเพิ่มขึ้นจะทำให้รูปคลื่นเคลด้าเมื่อมีการสวิตช์ลดลง ดังนั้นถ้ายังทำให้ค่าความกว้างฮีสเตอร์รีซิสแคบเท่าใดก็ยิ่งทำให้สัญญาณป้อนกลับ (V_f) ออสซิลเลตรอบสัญญาณไซน์อ้างอิงด้วยความถี่สูงขึ้น จึงประมาณได้ว่าสัญญาณ (V_f) มีค่าเข้าใกล้สัญญาณไซน์อ้างอิงมากเท่านั้นทำให้ความถี่ของการสวิตช์มีค่าสูงยิ่งขึ้น จากผลการทดลองและสมการที่ 4.17 และ 4.18 จะพบได้ว่าคาบของพัลส์วิตช์จะมีค่าไม่คงที่ขึ้นอยู่กับค่าของ H , K , V_f , ω และ E โดยในเทคนิคนี้ได้กำหนดให้ค่าของ H , K , V_f และ ω คงที่แต่ค่าของแรงดันสวิตช์ป้อนกลับ (E) เปลี่ยนแปลงตามผลรีปเปิลของแรงดันคิซีเชื่อมโยงตามรูปที่ 7.6 ซึ่งให้ผลสอดคล้องกับสมการที่ 5.5

5.5 การออกแบบวงจรตรวจจับแรงดันเอาต์พุตพีดับบลิวเอ็ม

การพิจารณาของเกนในที่นี้ใช้ออปโตได (Opto)6N136 เป็นตัวตรวจจับแรงดันพีดับบลิวเอ็มเอาต์พุตที่มีผลรีปเปิลของแรงดันคิซีเชื่อมโยงรวมอยู่ด้วยที่มาจากสัญญาณขับเคลื่อนโดยนำสัญญาณพีดับบลิวเอ็มเอาต์พุตในกึ่งกลางที่มีเวลาหน่วงในการทำงานของไอจีบีทีมาใช้ ซึ่งได้ใช้ความต้านทานในการลิมิตกระแสก่อนเข้าสู่ออปโตได 6N136 ซึ่งเป็นเกนค่าหนึ่งโดยสัญญาณพีดับบลิวเอ็มเอาต์พุตที่ผ่านออปโตไดเข้าสู่วงจรลบกัณฑ์ได้เป็นแรงดันสวิตช์ป้อนกลับ (E) ซึ่งมีค่าเท่ากับไฟเลี้ยงของออปแอมป์ที่มีผลกระทบรีปเปิลของแรงดันคิซีเชื่อมโยงรวมอยู่ด้วย ก่อนที่จะมีการป้อนเข้าวงจรอินทิเกรทโดยอาศัยหลักการทำงานของทรานซิสเตอร์และไดโอดเปล่งแสง (LED) ภายในตัวของออปโตได 6N136 ดังในรูปที่ 5.7

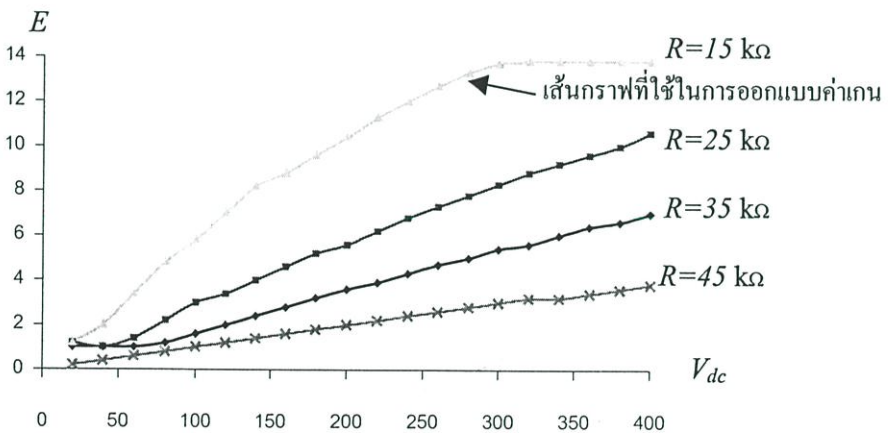
เนื่องจากทรานซิสเตอร์ ประกอบด้วยรอยต่อพีเอ็น 2 แห่งอาจมีการไบแอสเดิบนหน้าหรือไบแอสกลับทางก็ได้ ซึ่งมีวิธีการไบแอสได้ 4 วิธีคือ

1. ให้มีการไบแอสเดิบนหน้าแก่รอยต่ออิมิตเตอร์-เบส และให้ไบแอสกลับทางแก่รอยต่อเบส-คอลเลคเตอร์ทรานซิสเตอร์จะทำหน้าที่เป็นตัวขยายสัญญาณ เรียกว่า ภาวะแอกทีฟ (Active mode)
2. ให้ไบแอสเดิบนหน้าแก่ทั้งรอยต่ออิมิตเตอร์-เบสและรอยต่อเบส-คอลเลคเตอร์เป็นการทำงานในภาวะอิ่มตัว (Saturation mode)
3. ให้ไบแอสกลับทางแก่ทั้งรอยต่ออิมิตเตอร์-เบสและรอยต่อเบส-คอลเลคเตอร์เป็นการทำงานในภาวะคัตออฟ (Cutoff mode)
4. ให้ไบแอสกลับทางแก่ทั้งรอยต่ออิมิตเตอร์-เบสและให้ไบแอสเดิบนหน้าแก่รอยต่อเบส-คอลเลคเตอร์ ซึ่งทรานซิสเตอร์เป็นการทำงานในภาวะแอกทีฟกลับทาง (Inverted active mode)



รูปที่ 5.7 วงจรตรวจจับแรงดันเอาต์พุตที่ดับบลิวเอ็ม

ซึ่งค่าของเกนในที่นี้จะพิจารณาจากการทำงานของทรานซิสเตอร์ในภาวะแอกทีฟ โดยการต่อแหล่งจ่ายไฟฟ้าให้กับทรานซิสเตอร์ทำงานในบริเวณแอกทีฟเป็นการไบแอสตรงที่รอยต่ออิมิตเตอร์-เบสและไบแอสกลับทางที่รอยต่อคอลเลคเตอร์-เบสและทำงานร่วมกับไดโอดเปล่งแสงอาศัยหลักการทำงานของรอยต่อพีเอ็นที่ปล่อยพลังงานออกมาในรูปแสงและความร้อนโดยสามารถนำไปพล็อตกราฟแสดงความสัมพันธ์ระหว่างค่าแรงดันดีซีเชื่อมโยง (V_{dc}) กับแรงดันสวิทช์ป้อนกลับ (E) ที่ความต้านทานค่าต่างๆได้ ดังรูปที่ 5.8



รูปที่ 5.8 ผลการทดลองของความสัมพันธ์ระหว่าง V_{dc} กับ E ของการออกแบบค่าเกน

จากรูปที่ 5.8 เป็นการออกแบบค่าของเกนที่แสดงถึงความสัมพันธ์ระหว่างแรงดันดีซีเชื่อมโยง (V_{dc}) กับค่าแรงดันสวิทซ์ป้อนกลับ (E) ที่เปลี่ยนไป โดยเป็นการเลือกช่วง Active mode มาใช้ในการออกแบบค่าเกน ซึ่งอยู่ในช่วงแรงดันดีซีเชื่อมโยงตั้งแต่ 160V ถึง 320V ที่มีการเพิ่มขึ้นของความสัมพันธ์ระหว่างแรงดันดีซีเชื่อมโยงกับแรงดันสวิทซ์ป้อนกลับในลักษณะเชิงเส้นตรง

5.6 การออกแบบระบบควบคุมแบบพีไอ

ตัวควบคุมเชิงสัดส่วนของอินทิกรัล (Proportion-Plus-Integral Controllers, PI-control) สำหรับกระบวนการที่ไม่ต้องการให้มีค่าความคลาดเคลื่อนที่สถานะคงตัวในระบบหรือการที่มีค่าความคลาดเคลื่อนที่สถานะคงตัวซึ่งจะทำให้การควบคุมมีผลเสียดังนั้นจึงควรใช้ตัวควบคุมชนิดนี้ เนื่องจากผลของตัวควบคุมอินทิกรัล (I) ทำให้ไม่มีค่าความคลาดเคลื่อนที่สถานะคงตัวในระบบควบคุม ซึ่งเป็นคุณสมบัติที่ดีของตัวควบคุมชนิดนี้แต่อาจจะทำให้ระบบควบคุมมีการทำงานที่ช้าลง ซึ่งเป็นการออกแบบระบบให้เกิดเสถียรภาพที่ใช้ตัวควบคุมแบบพีไอ โดยทั่วไประบบควบคุมอัตโนมัติส่วนใหญ่จะใช้การป้อนกลับจากค่าที่วัดได้ควบคุมกระบวนการที่เรียกว่า การควบคุมป้อนกลับ (Feedback control) โดยสถานะของระบบควบคุมอัตโนมัติที่ใช้เป็นการควบคุมแบบพีไอ เนื่องจากรูปแบบของตัวควบคุมแบบพีไอสามารถควบคุมระบบได้เป็นอย่างดี แต่ทั้งนี้จะต้องมีการปรับค่าพารามิเตอร์ของตัวควบคุมให้เหมาะสมด้วย ในการออกแบบค่าพารามิเตอร์ของตัวควบคุมคือการนำฟังก์ชันถ่ายโอนของระบบควบคุมมาวิเคราะห์ รวมทั้งหาทางเดินของรากและทดสอบโดยใช้ฟังก์ชันยูนิตสเตป (Unit step) ในแง่การวิเคราะห์วิธีนี้สามารถทำให้ทราบถึงพฤติกรรมของระบบควบคุมในโดเมนของเวลาและยังสามารถใช้ทำนายพฤติกรรมของระบบควบคุม เมื่อมีการเปลี่ยนพารามิเตอร์ต่างๆซึ่งในการออกแบบตัวควบคุมพีไอนั้นจะมีการฟังก์ชันถ่ายโอน ดังนี้

$$u(t) = K_p \left(e(t) + \frac{1}{T_i} \int_0^t e(t) dt \right) \quad (5.20)$$

$$G_c(s) = K_p \left(1 + \frac{1}{T_i s} \right) \quad (5.21)$$

ดังนั้นตัวควบคุมแบบพีไอเขียนได้ในอีกลักษณะหนึ่ง คือ

$$G_c(s) = K_p + \frac{K_i}{s} \quad (5.22)$$

โดย K_p คือ อัตราขยายสัดส่วน (Proportional gain)

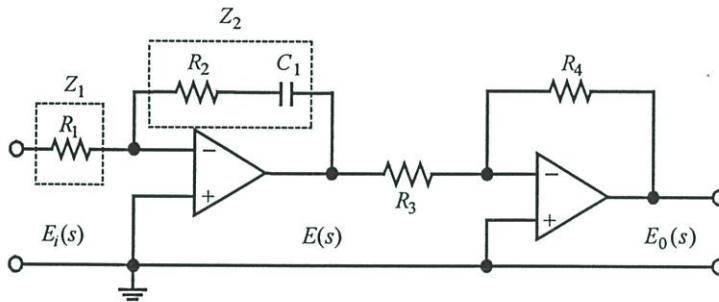
K_i คือ อัตราขยายอินทิกรัล (Integral gain)

T_i คือ เวลาอินทิกรัล (Integral time)

ถ้า $e(t)$ เป็นสัญญาณเข้าของตัวควบคุมแบบพีไอ

$U(t)$ เป็นสัญญาณออกของตัวควบคุมแบบพีไอ

จึงสามารถนำหลักการดังกล่าวมาใช้สร้างเป็นวงจรรีเลย์ทรอนิกส์โดยใช้ออปแอมป์สร้างตัวควบคุมแบบพีไอดังนี้



รูปที่ 5.9 วงจรรีเลย์ทรอนิกส์ของตัวควบคุมแบบพีไอ

เมื่อ
$$\frac{E(s)}{E_i(s)} = -\frac{Z_2}{Z_1} \quad (5.23)$$

$$Z_1 = R_1, \quad Z_2 = \frac{R_2 C_1 S + 1}{C_1 S}$$

ดังนั้น

$$\frac{E(s)}{E_i(s)} = -\frac{1}{R_1} \frac{R_2 C_1 S + 1}{C_1 S} \quad (5.24)$$

และ

$$\frac{E_0(s)}{E(s)} = -\frac{R_4}{R_3} \quad (5.25)$$

จึงได้ว่า

$$\frac{E_0(s)}{E_i(s)} = \frac{E_0(s)}{E(s)} \frac{E(s)}{E_i(s)} = \frac{R_4}{R_3} \left(\frac{R_2 C_1 S + 1}{R_1 C_1 S} \right) \quad (5.26)$$

ฉะนั้น

$$\frac{E_0(s)}{E_i(s)} = \frac{R_4}{R_3} \left(1 + \frac{1}{R_2 C_1 S} \right) \quad (5.27)$$

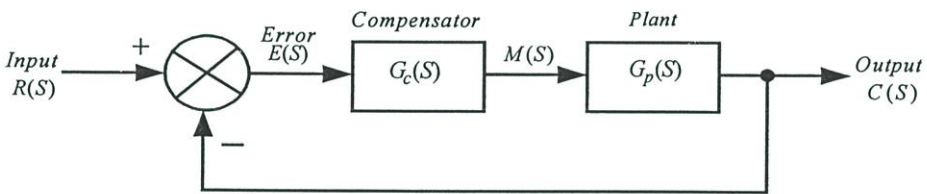
จากสมการที่ 5.21 และ 5.22 จะได้ว่า

$$K_p = \frac{R_2}{R_1}$$

$$T_i = R_1 C_1$$

$$K_i = \frac{1}{R_1 C_1}$$

ซึ่งในระบบควบคุมแบบฟีดแบ็คที่ใช้เป็นการควบคุมแบบป้อนกลับโดยนำสัญญาณจากเอาต์พุทของกระบวนการ $C(S)$ มาเปรียบเทียบกับสัญญาณปรับตั้งที่กำหนด $R(S)$ จากนั้นนำสัญญาณที่ได้จากการเปรียบเทียบ $E(S)$ มาคำนวณตามกฎเกณฑ์ของการควบคุมแบบฟีดแบ็คเพื่อให้ได้สัญญาณควบคุม $M(S)$ ที่นำไปควบคุมกระบวนการต่อไป ดังรูปที่ 5.10



รูปที่ 5.10 กระบวนการที่ใช้ตัวควบคุมฟีดแบ็คที่มีฟังก์ชันถ่ายโอนของตัวป้อนกลับเป็นยูนิตี้

โดย $G_c(S)$ คือ ฟังก์ชันถ่ายโอนของตัวควบคุมฟีดแบ็ค

$G_p(S)$ คือ ฟังก์ชันถ่ายโอนของกระบวนการ (Process)

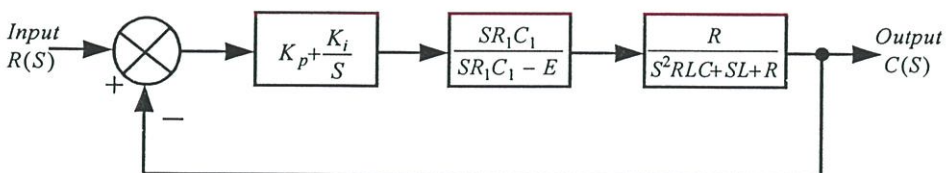
$R(S)$ คือ สัญญาณปรับตั้ง (Set point)

$C(S)$ คือ สัญญาณเอาต์พุทของระบบ

$E(S)$ คือ สัญญาณผิดพลาดที่เกิดจากการเปรียบเทียบระหว่าง $C(S)$ และ $R(S)$

$M(S)$ คือ สัญญาณออกจากตัวควบคุม

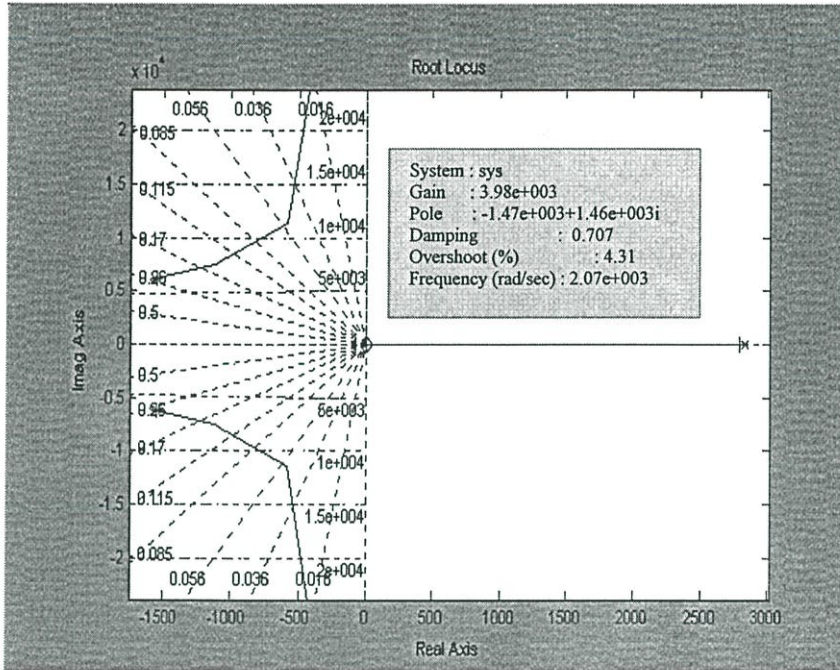
โดยในการวิเคราะห์หาฟังก์ชันถ่ายโอนของระบบอินเวอร์เตอร์ที่นำเสนอ จากรูปที่ 5.1 เป็นการป้อนกลับแบบเคลด้ามีอดและการควบคุมแบบฟีดแบ็คนั้นสามารถแสดงได้ ดังนี้



รูปที่ 5.11 การออกแบบตัวควบคุมแบบฟีดแบ็ค

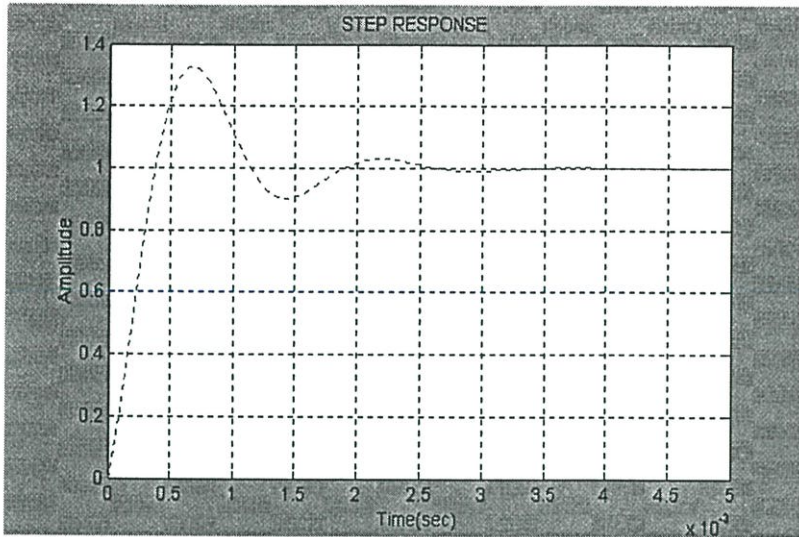
โดยค่าพารามิเตอร์ต่างๆที่ใช้ในการออกแบบ K_p และ K_i

เมื่อ $K_i = 0.5 K_p$ $E = 14 \text{ V}$ $R_1 = 49.54 \text{ k}\Omega$ $C_1 = 0.1 \text{ }\mu\text{F}$
 $R = 4.55$ $C = 35 \text{ }\mu\text{F}$ $L = 0.71 \text{ mH}$



รูปที่ 5.12 เส้นทางเดินรากของระบบที่นำเสนอ

จากรูปที่ 5.12 จะเห็นได้ว่าค่า K ที่ $(3.98e+003)$ เป็นค่าประมาณของค่า K ที่เป็นจุดตัดระหว่างเส้นทางเดินราก ที่ตัดกับแกนจินตภาพและลักษณะของการเคลื่อนที่ของทางเดินรากที่เริ่มต้นจาก Open loop pole เคลื่อนที่ไปยังจุดตัดของเส้นทางเดินรากกับแกนจินตภาพ ซึ่งเป็นระบบ ที่มีเสถียรภาพเนื่องจาก Closed loop pole มีตำแหน่งอยู่ที่ซีกซ้ายของระนาบ S ทุกค่า [32], [33] และจากรูปที่ 5.13 เป็นผลการตอบสนองของระบบที่ทดสอบด้วยสัญญาณอินพุทแบบ Unit step และได้นำผลนี้ไปใช้ในการทดสอบกับการทดลองจริงในบอทถัดไป



รูปที่ 5.13 ผลตอบสนองของระบบ

5.7 สรุป

ในบทนี้ได้แสดงถึงการออกแบบและหลักการทํางานของเทคนิคเคลด้ามีอดที่มีการป้อนกลับแรงดันพีดับบลิวเอ็มเอาท์พุท การแสดงผลการเปลี่ยนแปลงรูปคลื่นเคลด้ามีอดคู่เลขชั้นเมื่อมีการเปลี่ยนค่าพารามิเตอร์ต่างๆ การออกแบบวงจรตรวจจับแรงดันเอาท์พุทพีดับบลิวเอ็ม รวมถึงการออกแบบระบบควบคุมแบบพีไอที่แสดงถึงผลการจำลองและผลการทดลองของการออกแบบนั้น และยังแสดงถึงการออกแบบค่าพารามิเตอร์ของระบบควบคุมในรูปแบบการคณิตศาสตร์ด้วย เพื่อตรวจสอบการทํางานของระบบว่าเป็นไปตามทฤษฎีที่ได้ศึกษาไว้หรือไม่

บทที่ 6

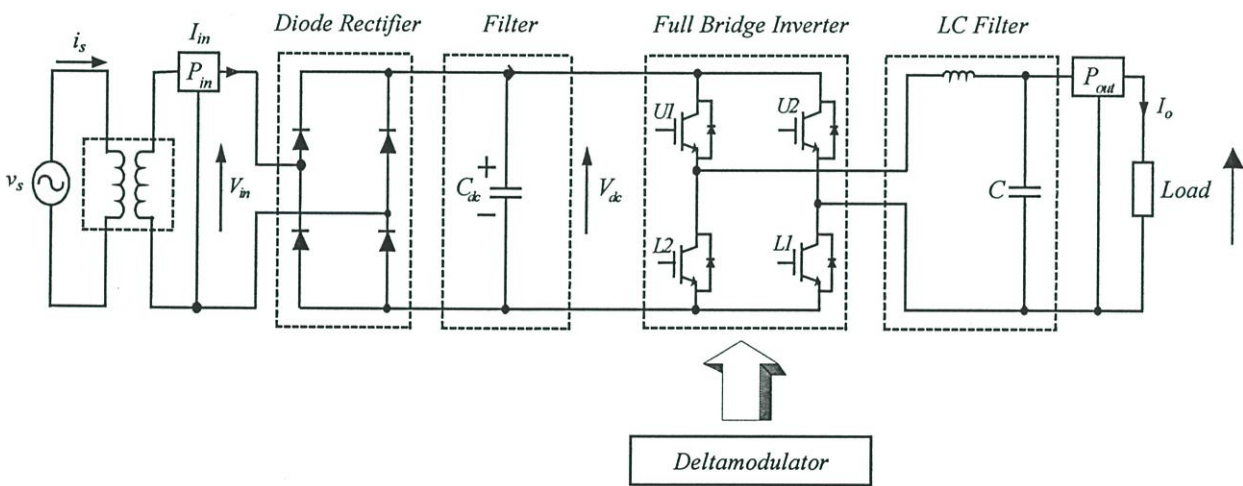
วงจรกำลังและวงจรควบคุมเฟสเดียว

เคลต้าม็อดที่มีการป้อนกลับแรงดันพีดับบลิวเอ็มเอชที่พุก

6.1 บทนำ

ในบทนี้จะกล่าวถึงวงจรกำลังและระบบวงจรควบคุมทั้งหมดที่ได้สร้างและออกแบบขึ้น เพื่อทดสอบระบบการทำงานของเทคนิคเคลต้าม็อดที่มีการป้อนกลับแรงดันพีดับบลิวเอ็มเอชที่พุก เมื่อนำไปทำงานร่วมกับอินเวอร์เตอร์ชนิดแหล่งจ่ายแรงดันที่มีโหลดเป็นความต้านทาน

6.2 วงจรกำลังที่ออกแบบและสร้างขึ้น



รูปที่ 6.1 วงจรกำลังของระบบอินเวอร์เตอร์ด้วยเทคนิคเคลต้าม็อดที่มีการป้อนกลับแรงดันพีดับบลิวเอ็มเอชที่พุก

ในรูปที่ 6.1 แสดงวงจรกำลังของเทคนิคเคลต้าม็อดคุณลักษณะ ซึ่งรายละเอียดของวงจรแต่ละส่วนจะได้กล่าวถึงและนำเสนอในหัวข้อถัดไป

6.2.1 วงจรแปลงไฟฟ้ากระแสสลับเฟสเดียวเป็นไฟฟ้ากระแสตรง (Rectifier)

วงจรในส่วนนี้ประกอบด้วยไดโอด 4 ตัวที่ต่อกันแบบฟูลบริดจ์ (Full bridge) ทำหน้าที่รับไฟฟ้ากระแสสลับอินพุตเฟสเดียวแล้วเปลี่ยนเป็นไฟฟ้ากระแสตรงที่เกิดการกระเพื่อมของแรงดันก่อนเข้าวงจรกรองแรงดันด้วยคาปาซิเตอร์ฟิลเตอร์ เพื่อกรองแรงดันให้เรียบต่อไป ซึ่งในงานวิจัยนี้ได้เลือกใช้บริดจ์ไดโอดที่เป็นแบบ โมดูลขนาด 30A/600V โดยได้ออกแบบเพื่อไว้ให้สามารถทำงานที่แรงดันขาเข้าสภาวะแรงดันเกินชั่วขณะ (Over voltage) และสภาวะกระแสกระชากไว้ด้วย

6.2.2 วงจรส่วนกรองแรงดัน (C-Filter)

ในส่วนของคาปาซิเตอร์ฟิลเตอร์ที่แรงดันคิซีเชื่อมโยงนี้จะใช้สำหรับกรองแรงดันที่ส่งผ่านจากวงจรเรกติไฟเออร์เพื่อลดการกระเพื่อมของแรงดัน แต่ในงานวิจัยนี้ได้เลือกคาปาซิเตอร์ที่มีค่าต่ำๆ เพื่อต้องการให้เกิดการกระเพื่อมของแรงดันไฟฟ้ากระแสตรงด้านอินพุตและนำผลกระทบนี้ไปใช้ในการป้อนกลับเพื่อใช้ในการชดเชยและคงค่าแรงดันทางด้านเอาต์พุต

6.2.3 วงจรกำลังอินเวอร์เตอร์เฟสเดียว

วงจรอินเวอร์เตอร์เป็นวงจรที่ทำหน้าที่เปลี่ยนไฟฟ้ากระแสตรงให้เป็นไฟฟ้ากระแสสลับและสามารถปรับเปลี่ยนแรงดันและความถี่เอาต์พุตได้ วงจรอินเวอร์เตอร์ที่ออกแบบสร้างขึ้นเป็นชนิดแหล่งจ่ายแรงดันเพราะสามารถควบคุมและออกแบบได้ง่าย ซึ่งในงานวิจัยนี้ได้ออกแบบให้อินเวอร์เตอร์สามารถจ่ายโหลดขนาด 1 kVA โดยใช้ไอจีบีที ขนาด 40A/1200V รุ่น IRGPS40B120UD เป็นอุปกรณ์สวิทชิง

6.2.4 วงจรเอาต์พุตฟิลเตอร์

วงจรเอาต์พุตฟิลเตอร์เป็นวงจรที่ทำหน้าที่กรองความถี่ต่ำที่ทำให้ฮาร์โมนิกส์ทางด้านเอาต์พุตมีค่าลดลงประกอบด้วยตัวเหนี่ยวนำและคาปาซิเตอร์เข้าด้วยกันซึ่งในงานวิจัยนี้ได้ออกแบบให้ตัวเหนี่ยวนำมีค่า 0.71 mH และคาปาซิเตอร์มีค่า 35 μ F ที่ความถี่ cut off 1 kHz

6.3 วงจรสร้างสัญญาณคลื่นไซน์ [21]

เป็นวงจรที่ใช้สร้างสัญญาณไซน์อ้างอิงโดยการเก็บข้อมูลในรูป Look up table ในหน่วยความจำแบบ EPROM ซึ่งเป็นข้อมูลเลขดิจิตอลที่แทนค่าแอมพลิจูดของคลื่นไซน์ที่ค่ามุมต่างๆ โดยค่าความละเอียดของรูปคลื่นไซน์จะขึ้นอยู่กับจำนวนข้อมูลที่เก็บในรูปเลขฐานสิบหกดังสมการที่ 6.1

$$V_m \sin \omega t = \frac{V_{ref} R_o}{R_{14}} \left(\frac{A_1}{2} + \frac{A_2}{4} + \frac{A_3}{8} + \dots + \frac{A_8}{256} \right) - \frac{V_{ref} R_o}{R_B} \quad (6.1)$$

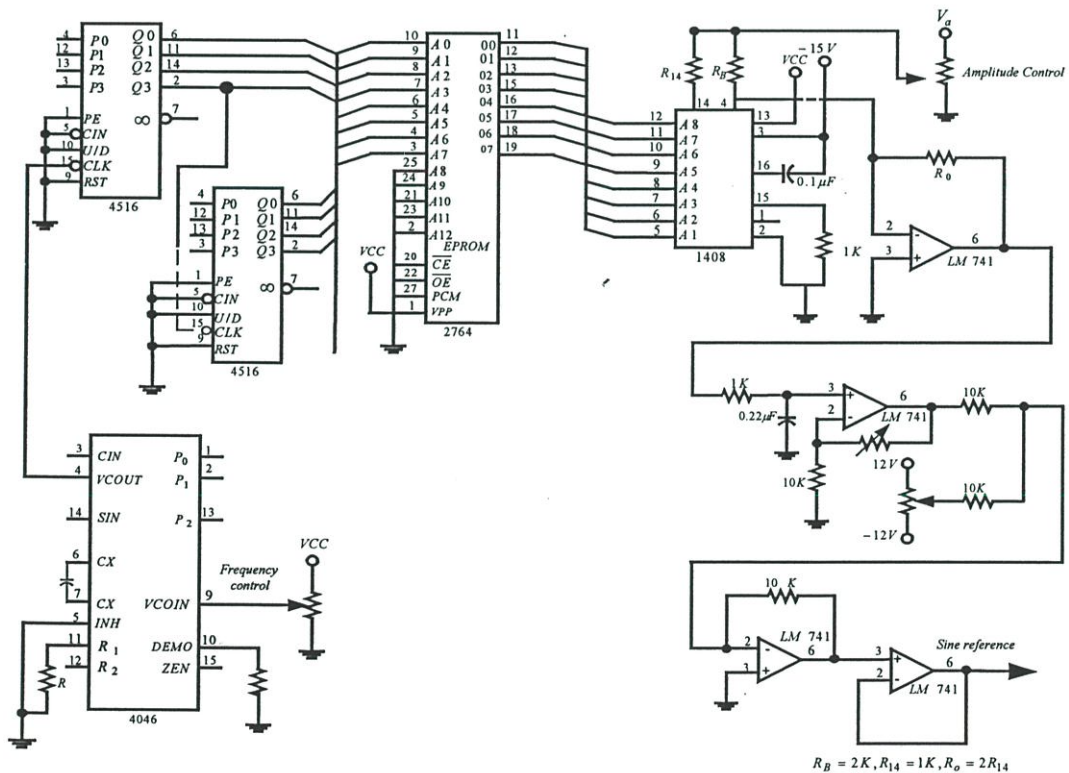
เมื่อ V_m คือ แรงดันสูงสุดคลื่นไซน์

V_{ref} คือ แรงดันไฟกระแสตรง (แรงดันอ้างอิง)

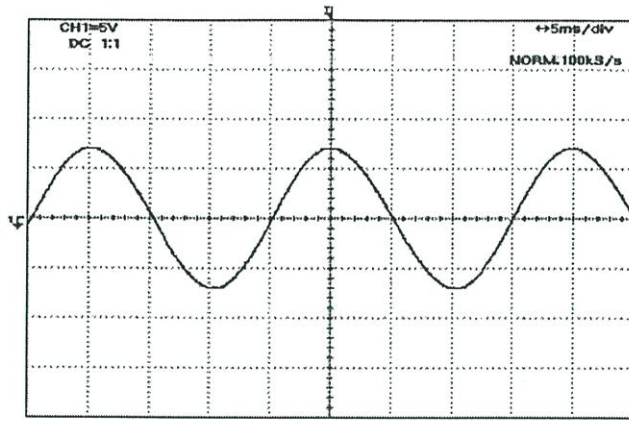
$A_1 - A_8$ คือ ข้อมูลที่แปลงเลขฐาน 2

R_0, R_{14}, R_B คือ ค่าความต้านทาน ; $R_B = 2R_{14}$

ในการนำข้อมูลออกมาใช้งานจะใช้วิธีการอ้างแอดเดรสในการเปิดตาราง (Look-up table) โดยการอ้างแอดเดรสจะใช้ไอซี เบอร์ 4516 (8 bit up/down counter) เป็นตัวนับสัญญาณนาฬิกา และใช้ไอซี เบอร์ 4046 เป็น V_{co} สร้างสัญญาณนาฬิกา เริ่มการนับจาก 0-255หรือนับลงจาก 255-0 เป็นการนับคลื่นไซน์ครบหนึ่งไซเคิลแล้วรีเซ็ตทกลับมาเริ่มนับใหม่เพื่อสร้างคลื่นไซน์ในไซเคิลถัดไปและใช้ไอซีเบอร์ 1408 ที่เป็น DAC ในการเปลี่ยนสัญญาณดิจิทัลเป็นสัญญาณอนาล็อกของรูปไซน์ที่เอาท์พุทของ EPROM โดยสามารถควบคุม Voltage command เพื่อปรับแอมพลิจูดคลื่นไซน์แล้วผ่านวงจร Current to voltage converter เพื่อเปลี่ยนสัญญาณกระแสให้เป็นสัญญาณแรงดันคลื่นไซน์ที่นำไปใช้งานได้ แสดงได้ดังรูปที่ 6.2 และ 6.3



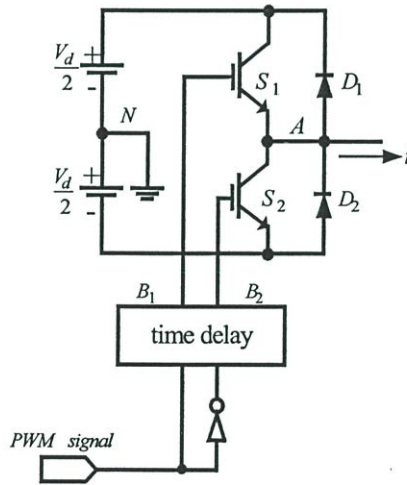
รูปที่ 6.2 วงจรสร้างสัญญาณไซน์อ้างอิง



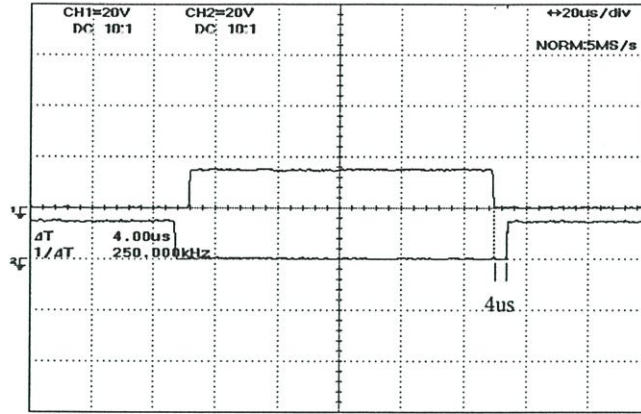
รูปที่ 6.3 ผลของรูปคลื่นไซน์อ้างอิง 50 Hz

6.4 วงจรเดดไทม์ (Dead-time Circuit) [31]

วงจรเดดไทม์ทำหน้าที่แยกสัญญาณ โดยการสร้างเดดไทม์ที่ไปควบคุมไอจีบีทีตัวบนและตัวล่างในกึ่งเดียวกันของวงจรถานเวอร์เตอร์แสดงได้ดังรูปที่ 6.4(a) ไม่ให้ทำงานพร้อมกันในขณะที่มีการเปลี่ยนสถานะการทำงานอันเป็นผลของสต่อเรจไทม์ของไอจีบีทีที่เกิดการลัดวงจรภายในกึ่งทำให้ไอจีบีทีเสียหายได้ ซึ่งหลักการสร้างเดดไทม์แสดงดังรูปที่ 6.4 (b) โดยการสร้างเวลาหน่วงในการทำงานของไอจีบีทีทั้งสองออกไปมีค่าเท่ากับ T_d



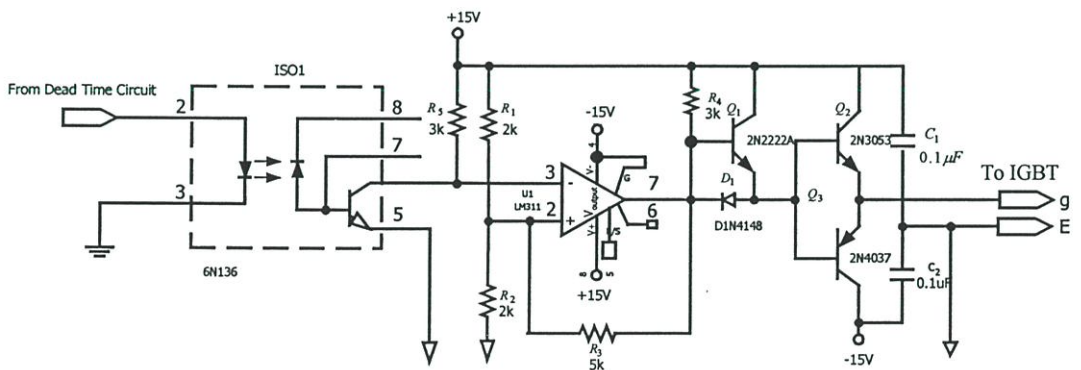
รูปที่ 6.4(a) วงจรกำลังอินเวอร์เตอร์ในหนึ่งกึ่ง



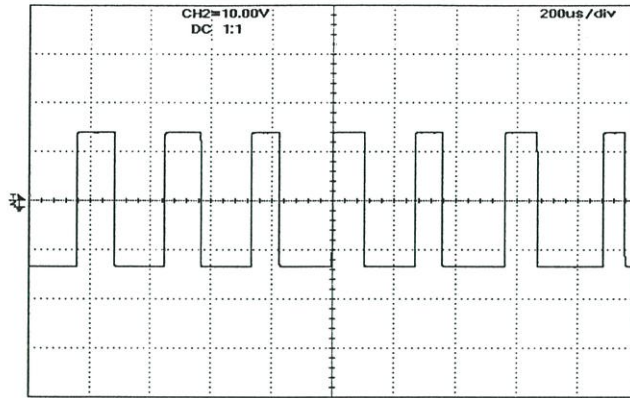
รูปที่ 6.6 สัญญาณเอาต์พุตของวงจรเดดไทม์สำหรับ IGBT Upper และ Lower ในกึ่งเดือวกัน

6.5 วงจรขับเกต (Gate Drive Circuit)

รูปที่ 6.7 แสดงวงจรขับเกตประกอบด้วยออปโตไดโอด 6N136 ไอซี LM311 และทรานซิสเตอร์การทำงาน of วงจรสัญญาณพีดับบลิวเอ็มที่ถูกส่งมาจากวงจรเดดไทม์จะผ่านออปโตไดโอดเพื่อแยกระบบควบคุมออกจากวงจรกำลัง เมื่อสัญญาณเป็น High จากออปโตไดโอดเข้ามาจะมีการทริกที่ขาเบสของทรานซิสเตอร์ภายในตัวของออปโตไดโอดทำให้ทรานซิสเตอร์นำกระแส จึงให้แรงดันที่ขา 3 ของ LM311 มีสถานะเป็น Low ซึ่งที่ขา 2 จะมีค่าแรงดันที่มากกว่าศูนย์ ทำให้ได้เอาต์พุตที่ขา 7 เป็น +15 V สัญญาณจะทริกขาเบสของทรานซิสเตอร์ (2N2222) เกิดการนำกระแสและไปทริกขาเบสของทรานซิสเตอร์ (2N3053) เกิดเป็นพัลส์บวก ในทางตรงกันข้ามถ้าเอาต์พุตของออปโตไดโอด เป็น Low ทำให้แรงดันขา 3 สูงกว่าขา 2 ซึ่งสัญญาณนี้จะไปทริกขาเบสของทรานซิสเตอร์ (2N4037) เกิดเป็นพัลส์ลบดังรูปที่ 6.8



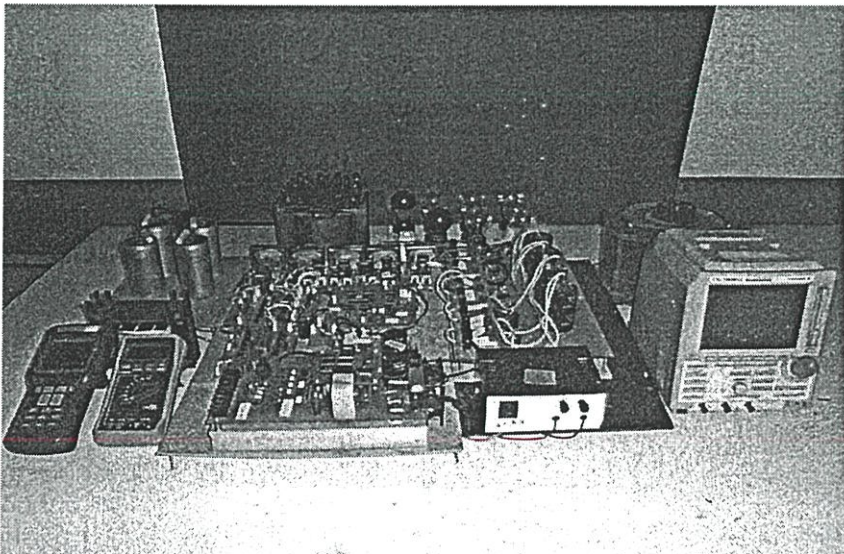
รูปที่ 6.7 วงจรขับเกต 1 ชุดที่ได้ออกแบบ



รูปที่ 6.8 สัญญาณเอาต์พุตของวงจรขับเกท

6.6 ชิ้นงานวิทยานิพนธ์

เครื่องต้นแบบอินเวอร์เตอร์ของวงจรเซลล์ด้ามืดที่มีการป้อนกลับแรงดันพีดับบลิวเอ็มที่มีการป้อนกลับแรงดันพีดับบลิวเอ็มเอาต์พุตสำหรับแหล่งจ่ายไฟกระแสสลับที่ได้ออกแบบสร้างขึ้นมีทั้งวงจรควบคุมและวงจรกำลังของภาคเรกติไฟเออร์ ภาคฟิลเตอร์และภาคอินเวอร์เตอร์ซึ่งได้นำเครื่องต้นแบบดังกล่าวไปทดสอบกับโหลดที่สภาวะต่างๆ สำหรับวงจรควบคุมนั้น ได้ทำการติดตั้งใน PCB เพื่อลดปัญหาต่างๆ เช่น สัญญาณรบกวน สำหรับเพาเวอร์ทรานซิสเตอร์ได้ยึดติดกับแผ่นระบายความร้อน (Heat Sink) และมีพัดลมช่วยในการระบายความร้อนพร้อมติดตั้งอุปกรณ์ในชุดควบคุมให้อยู่ติดใกล้กันที่สุดเพื่อลดค่าอิมพีแดนซ์ของสายป้องกันสัญญาณรบกวนและส่วนของคาปาซิเตอร์ที่แรงดันดีซีเชื่อมโยงนั้นสามารถทนแรงดันได้สูงซึ่งมีการปรับเปลี่ยนค่าตามการทดสอบดังแสดงในรูปที่ 6.9



รูปที่ 6.9 เครื่องต้นแบบอินเวอร์เตอร์ของวงจรเซลล์ด้ามืดที่มีการป้อนกลับแรงดันพีดับบลิวเอ็มเอาต์พุตสำหรับแหล่งจ่ายไฟกระแสสลับ

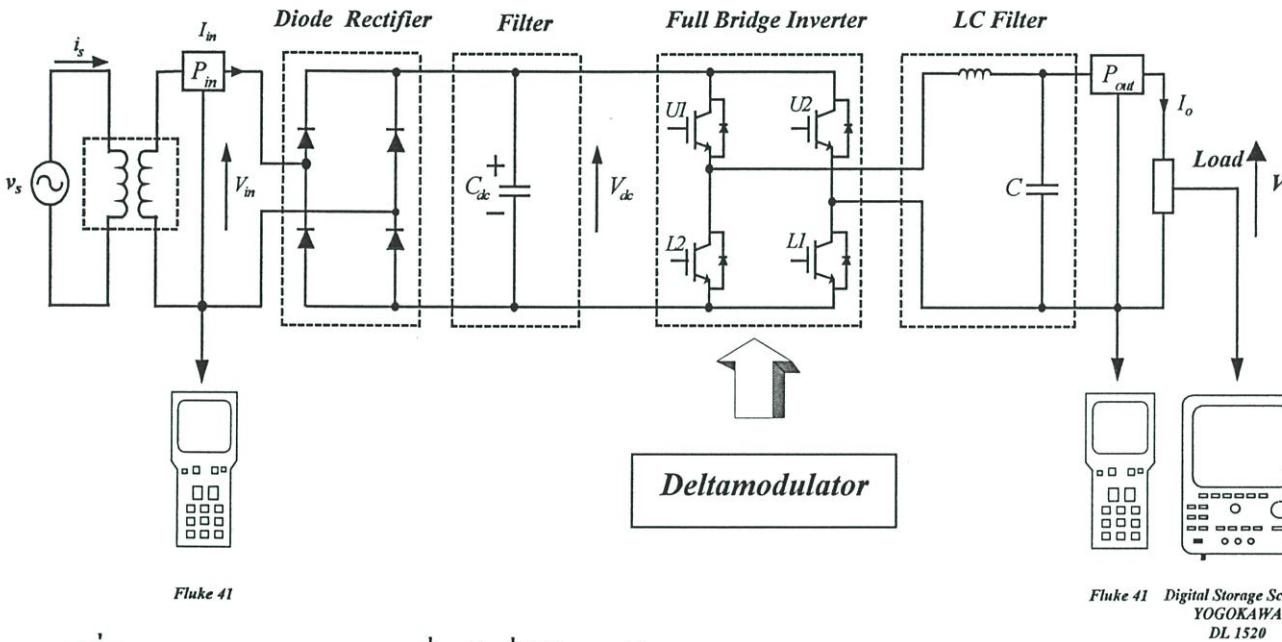
6.7 สรุป

ในบทนี้ได้ออกแบบและสร้างระบบควบคุมวงจรมอเตอร์และวงจรควบคุมเคลด้ามีอคดูเลเตอร์ชนิดอะซิงโครนัสตลอดจนระบบวงจรกำลังซึ่งมีการแสดงและอธิบายอย่างละเอียด อีกทั้งยังมีการแสดงผลการตรวจสอบการทำงานของวงจรต่างๆที่ยืนยันว่าวงจรที่ได้วิเคราะห์และออกแบบนั้นทำงานได้ถูกต้อง รวมถึงชิ้นงานที่สร้างขึ้นเป็นเครื่องต้นแบบในงานวิจัยนี้และการศึกษาในอนาคตต่อไป

บทที่ 7

การทดลองและผลการทดลอง

อินเวอร์เตอร์เครื่องต้นแบบที่ได้ออกแบบสามารถนำไปทดสอบจ่ายโหลด ขนาด 1kVA เพื่อทดสอบหาคุณสมบัติการทำงานต่างๆ ของระบบอินเวอร์เตอร์ วงจรที่ใช้ในการทดลองและเครื่องมือที่ใช้ในการวัดแสดงในรูปที่ 7.1



Fluke 41

Fluke 41 Digital Storage Scope
YOGOKAWA
DL 1520

รูปที่ 7.1 วงจรการทดลองและเครื่องมือที่ใช้ในการวัด

ผลการทดสอบของอินเวอร์เตอร์เครื่องต้นแบบที่ได้สร้างขึ้น โดยใช้เทคนิคเคลด้ามีอดคูลเลชันแบบอะซิงโครนัสที่ได้นำเสนอไว้จะเป็นผลการเปรียบเทียบของเทคนิคเคลด้ามีอดคูลเลชันใน 3 เทคนิค ได้แก่ เทคนิคเคลด้ามีอดที่ไม่มี การป้อนกลับ เทคนิคเคลด้ามีอดที่มีการป้อนกลับแรงดันพีดับลิวเอ็มเอท์พุทและเทคนิคเคลด้ามีอดที่มีการป้อนกลับแรงดันพีดับลิวเอ็มเอท์พุทรวมกับการควบคุมแบบพีไอ โดยนำไปทดสอบในกรณีที่โหลดเป็นความต้านทาน ความต้านทานต่ออนุกรมกับตัวเหนี่ยวนำ (RL) นอกจากนี้ยังมีการจำลองการทำงานโดยใช้โปรแกรม MATLAB แล้วเก็บข้อมูลให้อยู่ในไฟล์ *.CSV เพื่อนำไปวิเคราะห์คุณภาพของรูปคลื่นด้วยโปรแกรม MATLAB (โปรแกรม MATLAB ที่ใช้ในการวิเคราะห์คุณภาพของรูปคลื่นต่างๆ ได้แสดงไว้ในภาคผนวก ข) ส่วนการทดลองได้จากการเก็บข้อมูลของรูปคลื่นกระแสและแรงดันที่ไหลผ่านโหลดของอินเวอร์เตอร์ โดยใช้ Digital Oscilloscope ยี่ห้อ YOGOKAWA รุ่น DL 1520 ที่มี A/D ขนาด 8 bits 200 MS/s 150 MHz แล้วเก็บข้อมูลให้อยู่

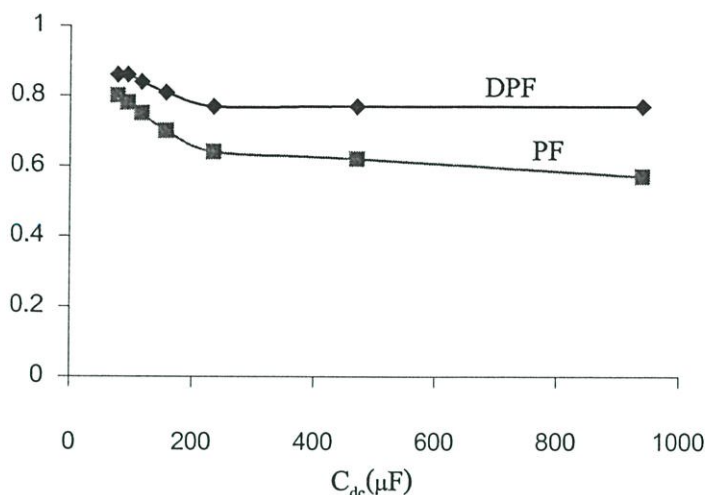
ในไฟล์ *.CSV แล้วนำไปวิเคราะห์คุณภาพรูปคลื่นด้วยค่าดัชนีคุณภาพของกระแสและแรงดันด้วยโปรแกรม MATLAB ต่อไปโดยแบ่งหัวข้อของการทดลองได้ดังต่อไปนี้

7.1 การทดสอบเพื่อเปรียบเทียบสมรรถนะทางด้านอินพุท

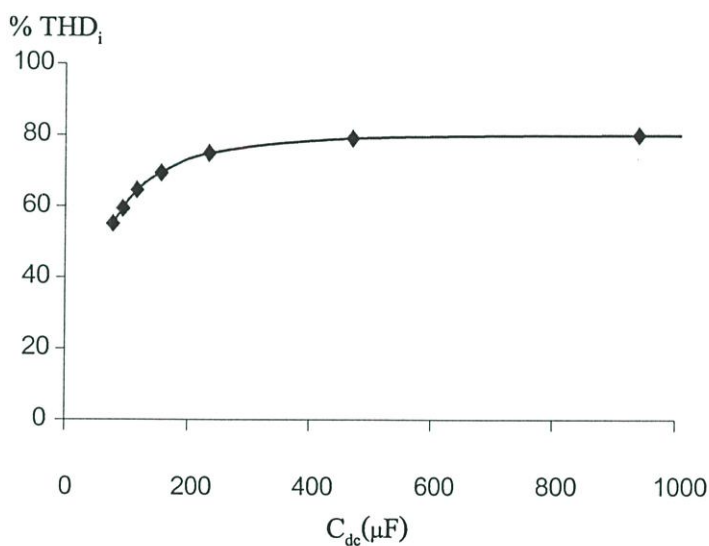
เป็นการทดลองเพื่อเปรียบเทียบเทคนิคเซลล์ด้ามืดที่ไม่มีการป้อนกลับและเทคนิคเซลล์ด้ามืดที่มีการป้อนกลับแรงดันพีคดับลิวเอ็มเอชที่พารามิเตอร์เดียวกัน แต่แตกต่างกันเพียงค่าระดับแรงดันสวิทซ์ป้อนกลับที่ตรวจจับ เพื่อใช้ในการป้อนกลับเข้าสู่วงจรรินทิเกรเตอร์ ซึ่งเทคนิคเซลล์ด้ามืดที่ไม่มีการป้อนกลับจะมีค่าเท่ากับ V_{cc} ของคอมพาราเตอร์ที่ไม่ได้คำนึงถึงผลกระทบริปเปิลของแรงดันดีซีเชื่อมโยง แต่เทคนิคเซลล์ด้ามืดที่มีการป้อนกลับแรงดันพีคดับลิวเอ็มเอชที่พู่จะมีผลของแรงดีซีเชื่อมโยงและผลกระทบของริปเปิลรวมอยู่ด้วย โดยเป็นการทดลองที่มีการปรับเปลี่ยนค่าคาปาซิเตอร์ที่แรงดันดีซีเชื่อมโยง (C_{dc}) เพื่อศึกษาผลกระทบของค่าคาปาซิเตอร์ที่แรงดันดีซีเชื่อมโยงในการทำงานของระบบรวมถึงค่าDPF(Displacement Power Factor), PF (PowerFactor)ทางด้านอินพุทและค่าผิดเพี้ยนรวมของกระแสอินพุท(THD_i)

ตารางที่ 7.1 ค่า DPF, % THD_i และ PF ทางด้านอินพุท เมื่อค่าคาปาซิเตอร์เปลี่ยนไป

C_{dc} (μF)	DPF	THD_i (%)	PF
78	0.86	55.1	0.8
94	0.86	59.4	0.78
117	0.84	64.5	0.75
157	0.81	69.4	0.7
235	0.77	74.9	0.64
470	0.77	79	0.62
940	0.77	80	0.57



รูปที่ 7.2 ค่า DPF , PF ทางด้านอินพุท เมื่อค่าคาปาซิเตอร์เปลี่ยนไป



รูปที่ 7.3 ค่า %THD ของกระแสอินพุท เมื่อค่าคาปาซิเตอร์เปลี่ยนไป

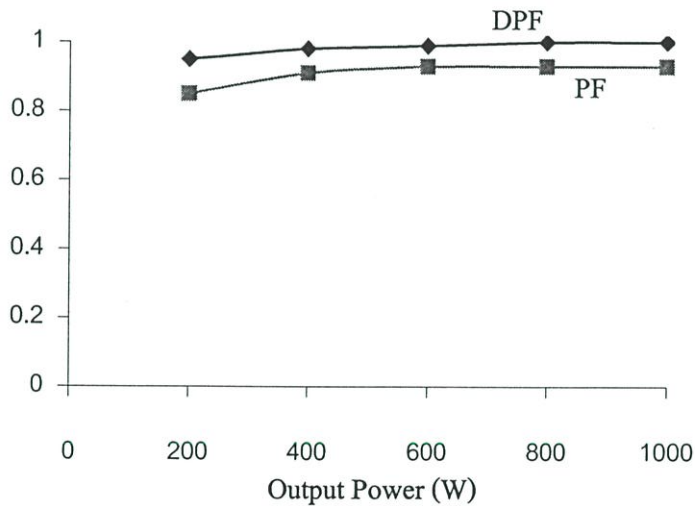
จากตารางที่ 7.1 และรูปที่ 7.2, 7.3 จะพบได้ว่า เมื่อคาปาซิเตอร์มีค่ามากขึ้นจะทำให้ค่า DPF ต่ำลงและ %THD_i มีค่าสูงขึ้นส่งผลให้ค่า PF ต่ำลงซึ่งจะส่งผลเสียต่อกระแสและแรงดันทางด้านเอาต์พุทรวมถึงสมรรถนะของระบบดังกล่าวในบทข้างต้นแสดงให้เห็นถึงว่าค่าคาปาซิเตอร์ที่มีขนาดเล็กลงจะเป็นการปรับปรุงค่า DPF และ PF ทางด้านอินพุท อย่างไรก็ตามจะส่งผลให้เกิดมีรีปเปลของแรงดันเชื่อมโยงมาก

7.2 การทดสอบสมรรถนะทางด้านอินพุทโดยการเปลี่ยนแปลงโหลดทางด้านเอาต์พุท

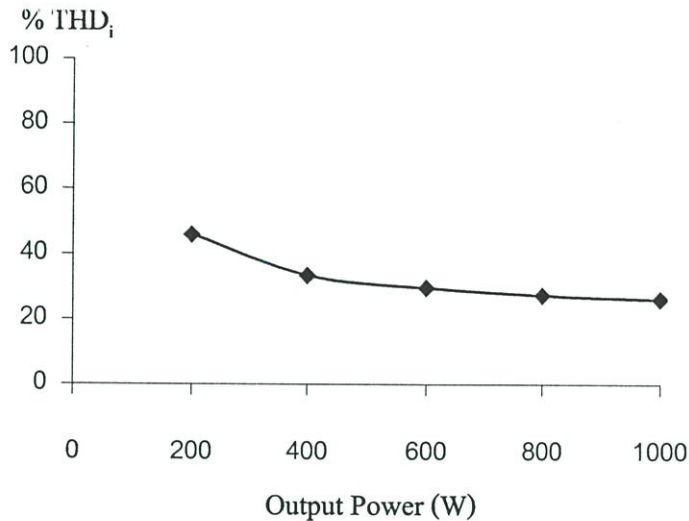
ในการทดสอบสมรรถนะทางด้านอินพุทนี้ได้มีการทดสอบ โดยการเปลี่ยนแปลง โหลด โดยการเพิ่มทีละสเต็ปจาก 200 W ถึง 1000 W ที่คาปาซิเตอร์ของแรงดันคิซีเชื่อมโยงมีค่าเท่ากับ 330 μF

ตารางที่ 7.2 ค่า DPF, %THD_i และ PF ทางด้านอินพุท เมื่อโหลดเปลี่ยนไป

Output Power (W)	DPF	THD _i (%)	PF
200	0.95	45.9	0.85
400	0.98	33.4	0.91
600	0.99	29.6	0.93
800	1	27.3	0.93
1000	1	26.1	0.93



รูปที่ 7.4 ค่า DPF,PF ทางด้านอินพุทเมื่อโหลดเปลี่ยนไป

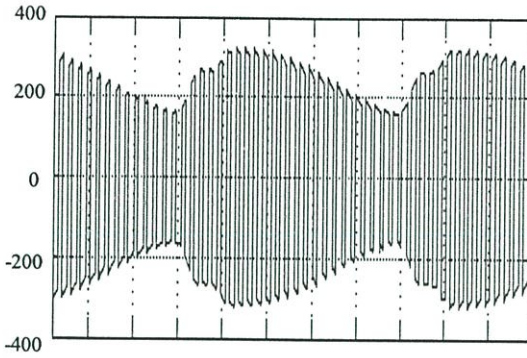


รูปที่ 7.5 ค่า %THD ของกระแสอินพุทเมื่อโหลดเปลี่ยนไป

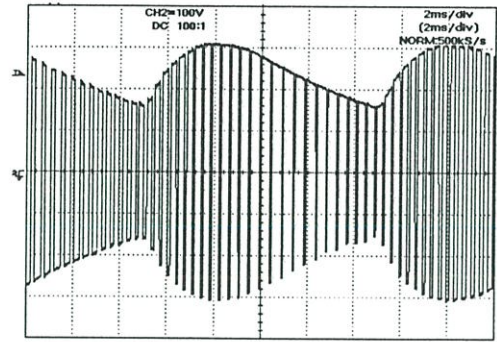
จากตารางที่ 7.2 เป็นการศึกษาภายใต้เงื่อนไขที่สภาวะโหลดต่าง ๆ กันจากโหลด 200 W ถึง 1000 W ที่คาปาซิเตอร์ของแรงดันคิซีเชื่อมโยงมีค่าเท่ากับ 330 μF จะเห็นได้ว่า เมื่อทำการเพิ่มโหลดทีละสเต็ป จะทำให้ค่า DPF สูงขึ้นและ %THD_i มีค่าต่ำลงส่งผลให้ค่า PF สูงขึ้นดังแสดงในรูปที่ 7.4 และ 7.5 แต่อย่างไรก็ดีผลจากการลดค่าคาปาซิเตอร์ที่แรงดันคิซีเชื่อมโยงนี้จะมีผลกระทบต่อริปเปิลของแรงดันคิซีเชื่อมโยงและส่งผลกระทบต่อรูปคลื่นของกระแสและแรงดันทางด้านเอาต์พุททำให้เกิดความผิดเพี้ยนไปจากรูปคลื่นไซน์ ดังนั้นกล่าวได้ว่า ถ้าลดค่าคาปาซิเตอร์ให้ต่ำลงในขณะที่โหลดเพิ่มขึ้นจะส่งผลดีต่อค่า DPF และ PF ทางด้านอินพุทแต่จะส่งผลเสียต่อกระแสและแรงดันทางด้านเอาต์พุท

7.3 การทดสอบแรงดันพีคดับลิวิตีเอาต์พุทของทั้ง 2 เทคนิค

เป็นการศึกษาถึงผลกระทบริปเปิลที่มีต่อการปรับตัวของแรงดันพีคดับลิวิตีเออร์รักษาาระดับแรงดันเอาต์พุทมาตรฐานของเทคนิคเคลด้ามีอดที่ไม่มีกร็อนกลับและเทคนิคเคลด้ามีอดที่มีการกร็อนกลับแรงดันพีคดับลิวิตีเออร์ที่ความถี่สวิทซ์ 1 kHz เพื่อให้เห็นถึงการขยายตัวของเนื้อฟิลล์อย่างชัดเจนเมื่อเกิดริปเปิลขึ้นที่สภาวะโหลดเดียวกัน โดยทดสอบกับ Resistive Load ก่อนฟิลเตอร์เป็นความสัมพันธ์ระหว่างสัญญาณพีคดับลิวิตีเออร์ของค่าระดับแรงดันสวิทซ์กร็อนกลับ (E)



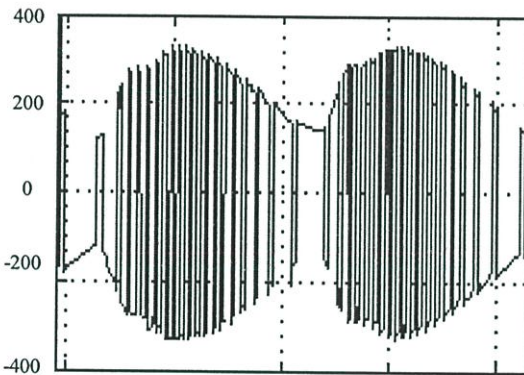
(a) ผลการจำลอง



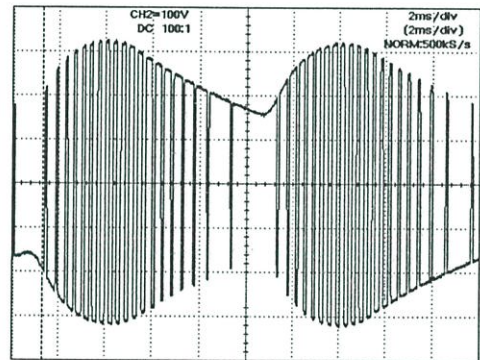
สเกล x:2 ms/div, y:100 v/div

(b) ผลการทดลอง

รูปที่ 7.6 แรงดันที่คัปปลิงเอมเอทพุทของเซลล์มีอดที่ไม่มีป้อนกลับ ($C_{dc} = 330 \mu\text{F}$, $I_L = 4.6 \text{ A}$)



(a) ผลการจำลอง



สเกล x:2 ms/div, y:100 v/div

(b) ผลการทดลอง

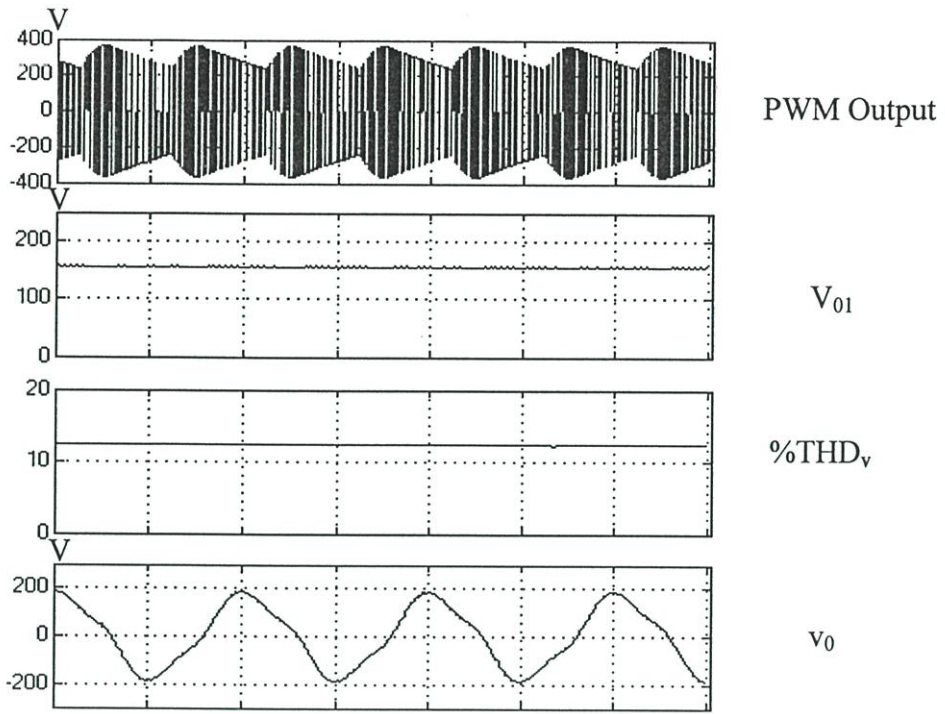
รูปที่ 7.7 แรงดันที่คัปปลิงเอมเอทพุทของเซลล์มีอดที่มีป้อนกลับ ($C_{dc} = 330 \mu\text{F}$, $I_L = 4.6 \text{ A}$)

จากรูปที่ 7.6 และ 7.7 เป็นการศึกษาถึงการทำงานของเทคนิคเซลล์มีอดที่ไม่มีป้อนกลับและเทคนิคเซลล์มีอดที่มีป้อนกลับแรงดันที่คัปปลิงเอมเอทพุท โดยในการทดลองนี้ได้เปรียบเทียบการทำงานของทั้งสองเทคนิคในรูปของการจำลองและการทดลอง ที่ความถี่สวิทซ์ซึ่ง 1 kHz ที่คาปาซิเตอร์ของแรงดันคิซีเชื่อมโยงมีค่าเท่ากับ $330 \mu\text{F}$ เพื่อให้เห็นถึงการขยายตัวของเนื้อพัลส์อย่างชัดเจนภายใต้เงื่อนไขสภาวะโหลดเดียวกัน โดยทดสอบกับ Resistive Load ภายหลังจากการสแต็ปโหลดที่สภาวะคงตัวของวงจรจากข้อสรุปในการทดลองที่ 7.2 เมื่อค่าคาปาซิเตอร์มีค่าน้อยลงในขณะที่ที่กระแสโหลดเพิ่มขึ้นจะทำให้เกิดริบเปิลของแรงดันคิซีเชื่อมโยงมากขึ้น ส่งผลให้แรงดันที่คัปปลิงเอมเอทพุทมีค่าลดลงตามการกระเพื่อมของริบเปิลและจากผลการจำลองและการทดลองจะพบได้ว่าเทคนิคเซลล์มีอดที่มีป้อนกลับแรงดันที่คัปปลิงเอมเอทพุท เมื่อเกิดริบเปิลของแรงดันคิซีเชื่อม

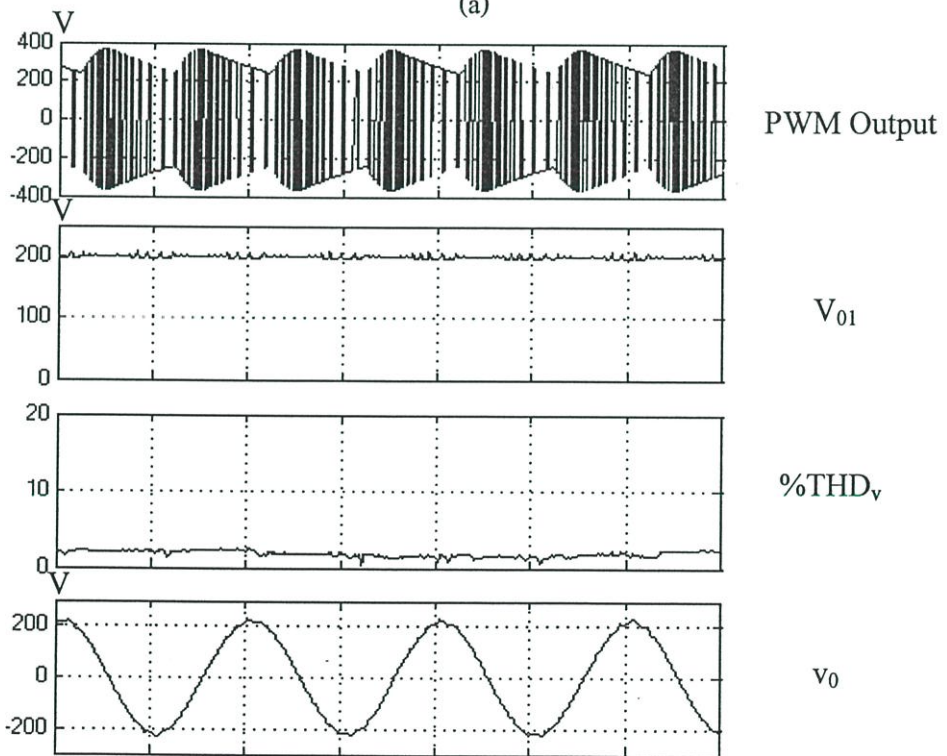
โยจขึ้นจะมีการขยายตัวของเนื้อพัลส์ ตามสมการที่ 4.14 และ 4.15 เมื่อแรงดันสวิทซ์ซึ่งป้อนกลับ (E) มีค่าลดลงทำให้การเปลี่ยนแปลงของค่าเวลาในการสวิทซ์เกิดในสองลักษณะ คือ ถ้า Δt_+ มีค่ามากขึ้น Δt_- ก็จะมีค่าน้อยลง ในทางกลับกัน เมื่อ Δt_- มีค่ามากขึ้น Δt_+ ก็จะมีค่าน้อยลง ส่งผลให้คาบพัลส์วิด (T_c) มีค่าเท่าเดิมและจากหลักการนี้จึงเกิดการขยายตัวของเนื้อพัลส์เมื่อแรงดันที่ดับบลิวเอ็มเอท์พุทตกลงตามผลของรีปเปิล เพื่อชดเชยและรักษาแรงดันเอท์พุทมาตรฐานให้คงที่และลดผลกระทบรีปเปิลของแรงดันดีซีเชื่อมโยจที่มีผลต่อกระแสและแรงดันทางด้านเอท์พุทรวมถึงสมรรถนะของระบบด้วย

7.4 รูปคลื่นทางด้านเอท์พุท

จากการทดลองที่ 7.3 จะพบได้ว่าวงจรเคลด้ามีอดที่มีการป้อนกลับแรงดันที่ดับบลิวเอ็มเอท์พุทสามารถลดผลกระทบรีปเปิลของแรงดันดีซีเชื่อมโยจได้ ดังนั้นในการทดลองนี้จึงได้ทดสอบอินเวอร์เตอร์ที่ใช้เทคนิคเคลด้ามีอดที่ไม่มีการป้อนกลับและเทคนิคเคลด้ามีอดที่มีการป้อนกลับแรงดันที่ดับบลิวเอ็มเอท์พุท ที่ความถี่สวิทซ์ 10 kHz (LC Output Filter ที่ $L=0.71$ mH, $C = 35$ μ F)จ่าย โหลดความต้านทานป้อนแรงดันไฟฟ้ากระแสตรง 320 V และในการทดลองนี้ยังมีการจำลองการทำงาน ของระบบด้วยซึ่งให้ผลสอดคล้องกับการทดลอง ดังรูป



(a)

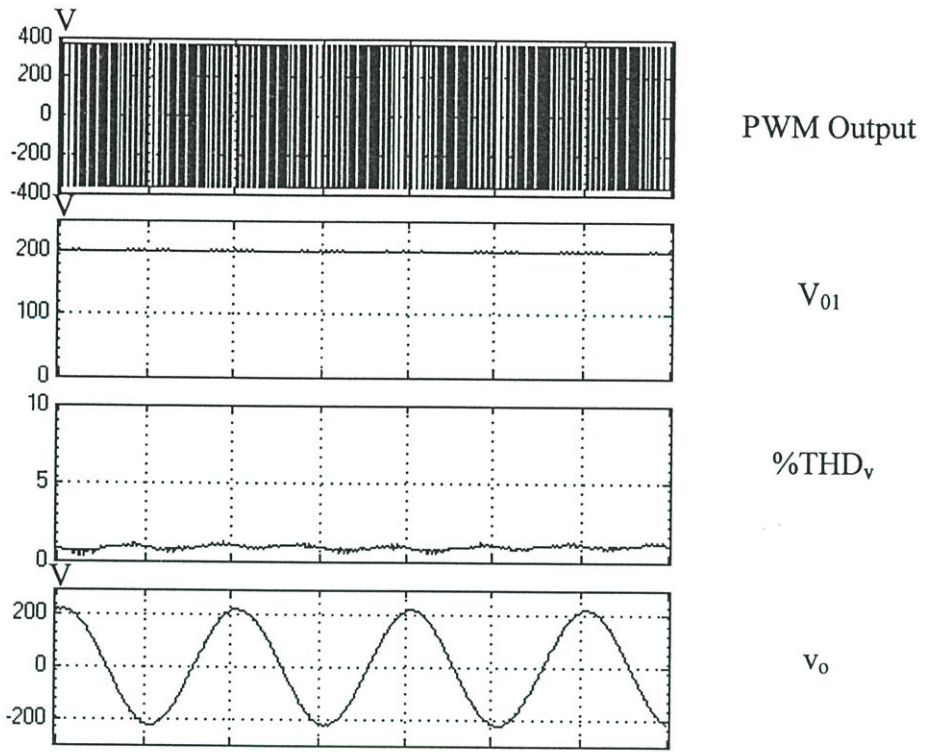


(b)

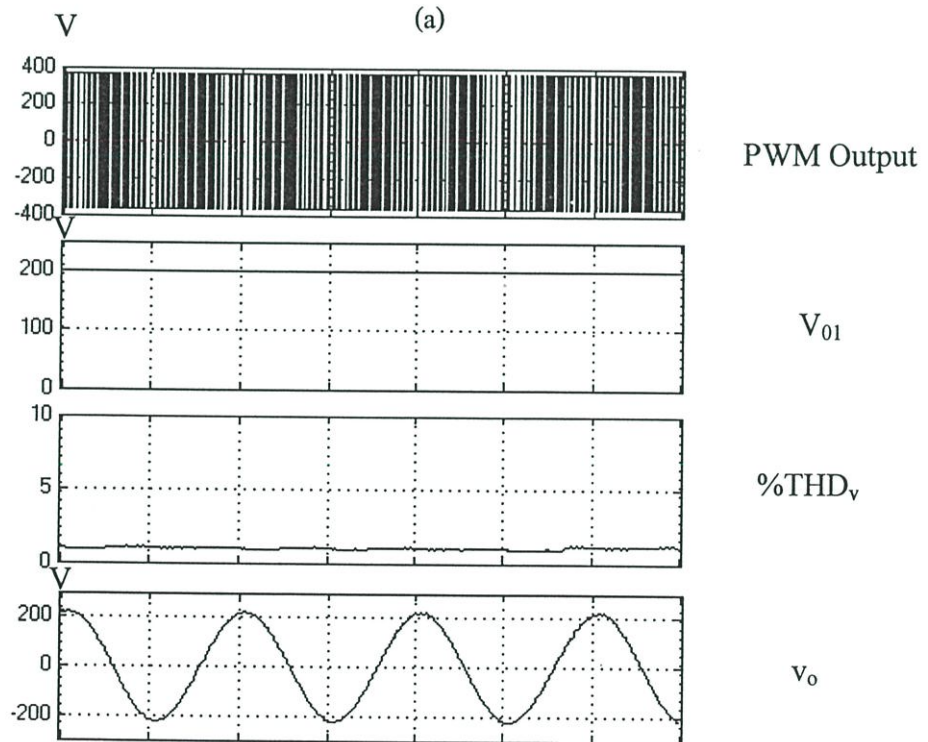
รูปที่ 7.8 ผลการจำลองของแรงดันเอาต์พุตที่ $C_{dc} = 330 \mu\text{F}$

(a) เทคนิคเดลด้ามีอดที่ไม่มีกำรป้อนกลับ

(b) เทคนิคเดลด้ามีอดที่มีกำรป้อนกลับแรงดันพีคบัปลิวเอ็มเอาต์พุต



(a)

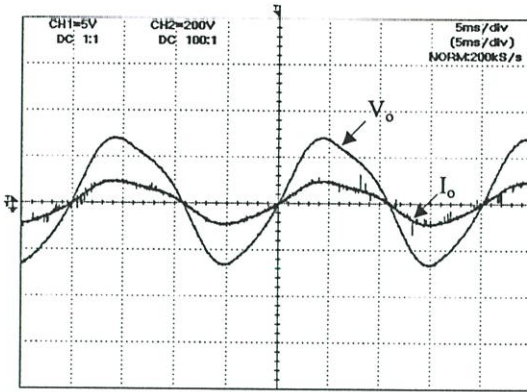


(b)

รูปที่ 7.9 ผลการจำลองของแรงดันเอาต์พุตที่ $C_{dc} = 5000 \mu\text{F}$

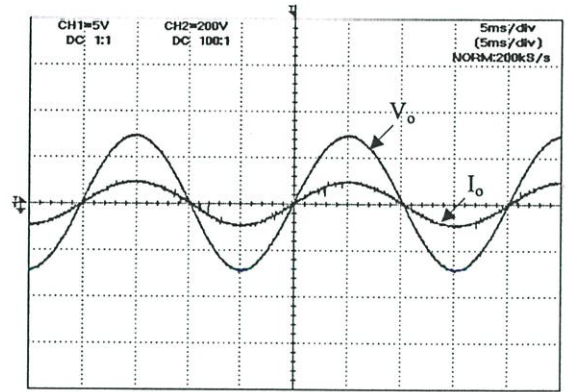
(a) เทคนิคเดลด้ามีอดที่ไม่มีกำรป้อนกลับ

(b) เทคนิคเดลด้ามีอดที่มีกำรป้อนกลับแรงดันที่ดับบลิวเอ็มเอาต์พุต



สเกล x:5 ms/div, y:200 v/div

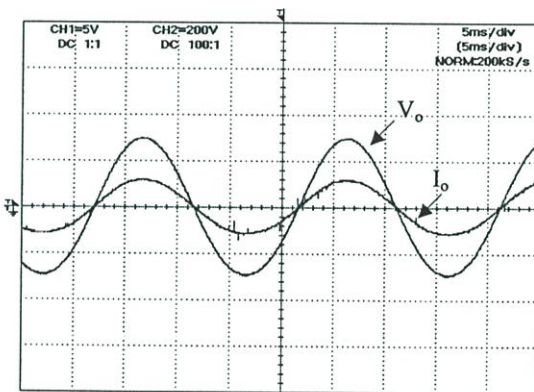
($C_{dc} = 330 \mu\text{F}$, $I_L = 4.6 \text{ A}$)



สเกล x:5 ms/div, y:200 v/div

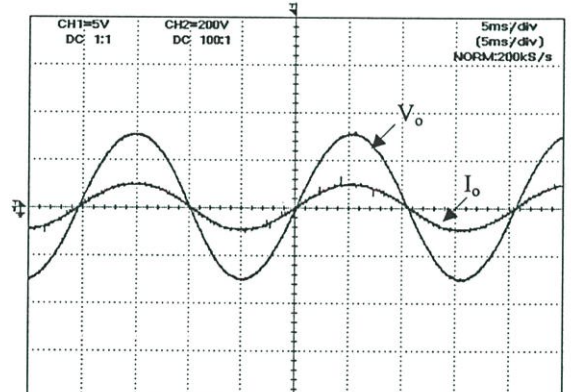
($C_{dc} = 5000 \mu\text{F}$, $I_L = 4.6 \text{ A}$)

รูปที่ 7.10 กระแสและแรงดันเอาต์พุตของเซลล์ที่มีการป้อนกลับเมื่อผ่านฟิลเตอร์



สเกล x:5 ms/div, y:200 v/div

($C_{dc} = 330 \mu\text{F}$, $I_L = 4.6 \text{ A}$)



สเกล x:5 ms/div, y:200 v/div

($C_{dc} = 5000 \mu\text{F}$, $I_L = 4.6 \text{ A}$)

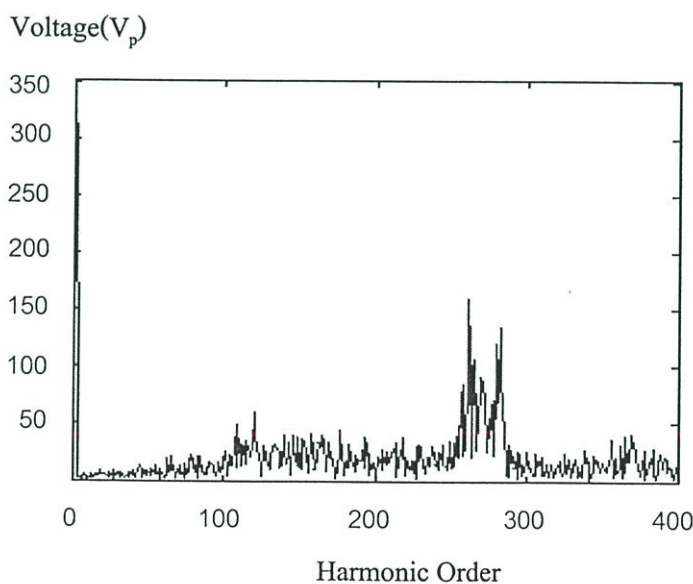
รูปที่ 7.11 กระแสและแรงดันเอาต์พุตของเซลล์ที่มีการป้อนกลับเมื่อผ่านฟิลเตอร์

จากผลการจำลองในรูปที่ 7.8 และ 7.9 เมื่อเกิดรีเปิลของแรงดันดีซีเชื่อมโยง ซึ่งเป็นไปตามการทดลองที่ 7.3 ทำให้แรงดันที่คัปปลิ้งเอาต์พุตเกิดการกระเพื่อมขึ้น โดยในรูปที่ 7.8(a) เป็นเทคนิคเซลล์ที่มีคัปปลิ้งที่คาปาซิเตอร์ของแรงดันดีซีเชื่อมโยงมีค่าเท่ากับ $330 \mu\text{F}$ จะสังเกตได้ว่าแรงดันเอาต์พุตมูลฐานจะมีค่าตกลงและค่าความผิดเพี้ยนรวมของแรงดันทางด้านเอาต์พุต (THD_v) มีค่าสูงขึ้น เมื่อเทียบกับเทคนิคเซลล์ที่มีคัปปลิ้งที่คัปปลิ้งเอาต์พุตที่มีการขยายตัวของเนื้อพัลส์ เพื่อชดเชยแรงดันเอาต์พุตมูลฐานให้คงที่ และลดค่าความผิดเพี้ยนรวมของแรงดันทางด้านเอาต์พุตด้วยดังรูปที่ 7.8 (b) และเมื่อคาปาซิเตอร์ของแรงดันดีซีเชื่อมโยงมีค่าเท่ากับ $5000 \mu\text{F}$

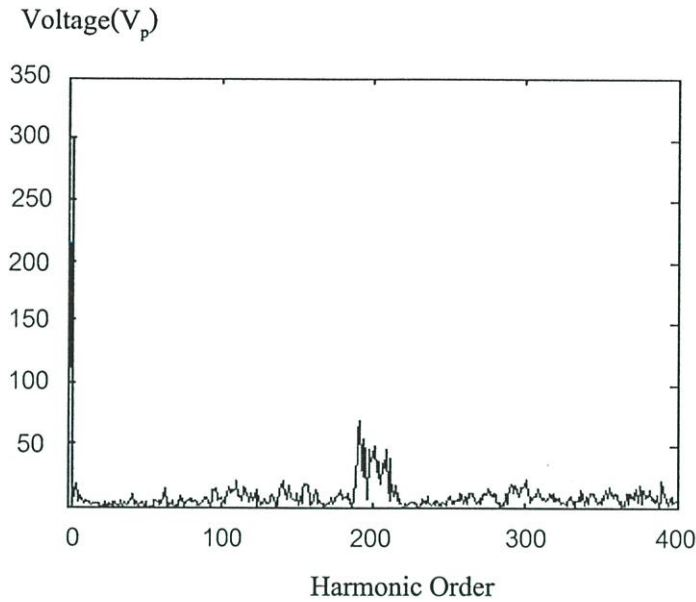
ภายใต้เงื่อนไขเดียวกันกับคาปาซิเตอร์ของแรงดันดีซีเชื่อมโยงมีค่าเท่ากับ $330 \mu\text{F}$ จะเห็นได้ว่าผลที่ได้เหมือนกันแม้ว่าจะใช้เทคนิคเคลด้ามีอดแบบที่มีการป้อนกลับแรงดันพีคดับบลิวเอ็มเอท์พุทหรือเทคนิคเคลด้ามีอดที่ไม่มีการป้อนกลับก็ตามดังนั้นจึงกล่าวได้ว่าที่คาปาซิเตอร์มีค่าค่านั้นเทคนิคเคลด้ามีอดที่มีการป้อนกลับแรงดันพีคดับบลิวเอ็มเอท์พุทสามารถลดผลกระทบริบเปิดของแรงดันดีซีเชื่อมโยงได้และชดเชยแรงดันเอท์พุทมาตรฐานให้คงที่ได้

จากรูปที่ 7.10 และ 7.11 เป็นการทดสอบเทคนิคเคลด้ามีอดที่ไม่มีการป้อนกลับกับเทคนิคเคลด้ามีอดที่มีการป้อนกลับแรงดันพีคดับบลิวเอ็มเอท์พุท โดยในรูปที่ 7.10 คาปาซิเตอร์ของแรงดันดีซีเชื่อมโยงมีค่าเท่ากับ $330 \mu\text{F}$ เปรียบเทียบกับคาปาซิเตอร์ของแรงดันดีซีเชื่อมโยงมีค่าเท่ากับ $5000 \mu\text{F}$ ซึ่งในการทดลองนี้ค่ากระแสและแรงดันเอท์พุทที่คาปาซิเตอร์ของแรงดันดีซีเชื่อมโยงมีค่าเท่ากับ $330 \mu\text{F}$ จะมีผลกระทบของริบเปิดมากทำให้รูปคลื่นกระแสและแรงดันมีการบิดเบี้ยวไปจากสัญญาณรูปคลื่นไซน์ และที่คาปาซิเตอร์ของแรงดันดีซีเชื่อมโยงมีค่าเท่ากับ $5000 \mu\text{F}$ ที่สภาวะโหลดเดียวกันจะไม่มีผลกระทบของริบเปิดแต่อย่างใดเนื่องจากคาปาซิเตอร์มีค่ามากทำให้เกิดริบเปิดน้อย รูปที่ 7.11 เมื่อทำการทดสอบเทคนิคเคลด้ามีอดที่มีการป้อนกลับทางด้านแรงดันพีคดับบลิวเอ็มเอท์พุทที่คาปาซิเตอร์ของแรงดันดีซีเชื่อมโยงมีค่าเท่ากับ $330 \mu\text{F}$ และคาปาซิเตอร์ของแรงดันดีซีเชื่อมโยงมีค่าเท่ากับ $5000 \mu\text{F}$ ผลการทดลองที่ได้เหมือนกันและจากผลการจำลองและผลการทดลองทำให้เทคนิคเคลด้ามีอดที่มีการป้อนกลับแรงดันพีคดับบลิวเอ็มเอท์พุทสามารถลดผลกระทบริบเปิดของแรงดันดีซีเชื่อมโยงได้

7.5 รูปสเปกตรัมฮาร์โมนิกส์



รูปที่ 7.12 สเปกตรัมฮาร์โมนิกส์ของแรงดันเอท์พุทพีคดับบลิวเอ็มสำหรับเทคนิคเคลด้ามีอดที่มีการป้อนกลับที่ No Load



รูปที่ 7.13 สเปกตรัมฮาร์โมนิกส์ของแรงดันเอาต์พุตที่ดับลิ่วเอ็ม
เทคนิคเคลด้ามีอคที่มีการป้อนกลับที่ Full Load

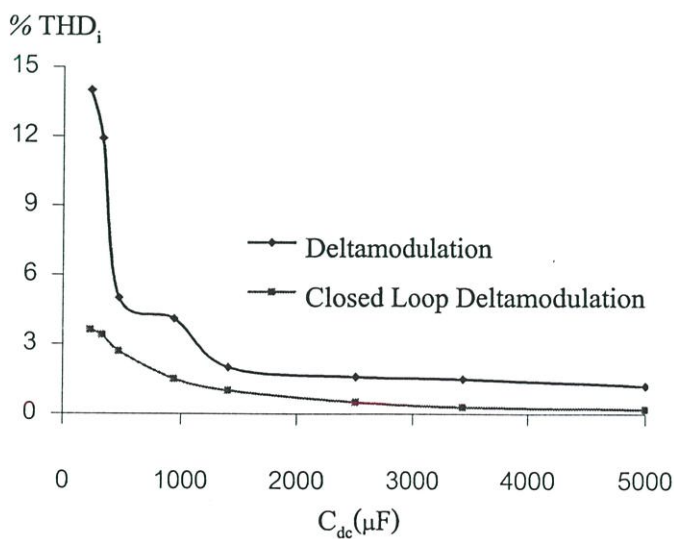
เป็นการทดสอบเพื่อดูการเปลี่ยนแปลงของสเปกตรัมของฮาร์โมนิกส์ของแรงดันเอาต์พุตที่ดับลิ่วเอ็มสำหรับเทคนิคเคลด้ามีอคที่มีการป้อนกลับแรงดันที่ดับลิ่วเอ็มเอาต์พุตที่คาปาซิเตอร์ของแรงดันดีซีเชื่อมโยงมีค่าเท่ากับ $330 \mu\text{F}$ โดยทดสอบที่ No Load และ Full Load ที่ LC Output Filter เดียวกันดังแสดงในรูปที่ 7.12 และ 7.13 โดยในรูปที่ 7.12 ที่เป็นการทดสอบที่สภาวะ No Load จะเห็นได้ว่าแรงดันเอาต์พุตมูลฐานมีค่าประมาณ $310 V_{\text{peak}}$ โดยที่ค่าของกลุ่มฮาร์โมนิกส์สวิทซึ่งอยู่ที่ออร์เดอร์ประมาณ 270 หรือที่ความถี่สวิทซึ่งประมาณ 13.5 kHz และมีขนาดค่อนข้างสูง เนื่องจากค่ามีอคดูเลชันอินเด็คต่ำและเมื่อทดสอบที่โหลด 1000 W จะสังเกตได้ว่าค่าแรงดันเอาต์พุตมูลฐานออร์เดอร์ที่ 1 จะมีค่าเท่ากับ $300 V_{\text{peak}}$ และแรงดันที่กลุ่มฮาร์โมนิกส์สวิทซึ่งจะมีค่าลดลงเนื่องจากมีอคดูเลชันอินเด็คมีค่าสูงขึ้นส่งผลให้แรงดันเอาต์พุตมูลฐานมีค่าเพิ่มขึ้นด้วยเพื่อเป็นการรักษาระดับแรงดันเอาต์พุตที่ตกไป เนื่องจากผลกระทบปริเปิดของแรงดันดีซีเชื่อมโยง และกลุ่มของฮาร์โมนิกส์ ที่เกิดขึ้นจะใกล้เคียงกับค่าแรงดันเอาต์พุตมูลฐานทำให้กลุ่มฮาร์โมนิกส์อันดับต่ำมาเกาะกับแรงดันเอาต์พุตมูลฐานมากขึ้นด้วย ซึ่งหมายความว่าค่าที่ดับลิ่วเอ็มเอาต์พุตที่มีความถี่ลดลงเนื่องจากการขยายตัวของเนื้อพัลส์

7.6 การทดสอบเพื่อเปรียบเทียบสมรรถนะทางด้านเอาท์พุทของอินเวอร์เตอร์

จากการทดลองนี้เป็นการทดสอบผลกระทบของริปเปิลที่มีต่อกระแสและแรงดันทางด้านเอาท์พุทเมื่อคาปาซิเตอร์มีค่าเพิ่มและเป็นการทดลองที่อยู่ภายใต้สภาวะโหลดเดียวกันที่ Full Load ดังตารางที่ 7.3 และ 7.4

ตารางที่ 7.3 ค่า% THD_i ทางด้านเอาท์พุท เมื่อค่าคาปาซิเตอร์เปลี่ยนไป

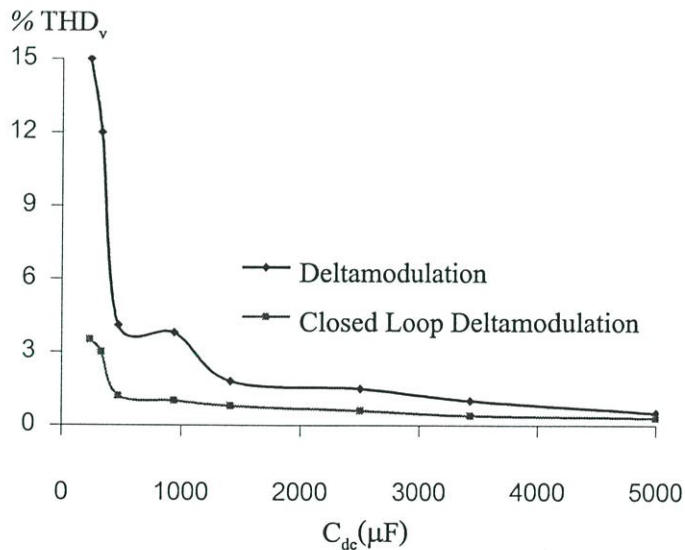
C _{dc} (μ F)	THD _i (%)	
	เทคนิคเดลต้ามีอดที่ไม่มีกรป้อนกลับ	เทคนิคเดลต้ามีอดที่มีการป้อนกลับ แรงดันพีคดับลิแวมเอาท์พุท
235	14	3.6
330	11.9	3.4
470	5	2.7
940	4.1	1.5
1410	2	1
2500	1.6	0.5
3440	1.5	0.3
5000	1.2	0.2



รูปที่ 7.14 กราฟค่า %THD_i ทางด้านเอาท์พุท เมื่อคาปาซิเตอร์เปลี่ยนไป

ตารางที่ 7.4 ค่า % THD_v ทางด้านเอาต์พุต เมื่อค่าคาปาซิเตอร์เปลี่ยนไป

C _{dc} (μF)	THD _v (%)	
	เทคนิคเดลต้ามีอดที่ไม่มี การป้อนกลับ	เทคนิคเดลต้ามีอดที่มีการป้อนกลับ แรงดันพีคดับลิวเอ็มเอาต์พุต
235	15	3.5
330	12	3
470	4.1	1.2
940	3.8	1
1410	1.8	0.8
2500	1.5	0.6
3440	1	0.4
5000	0.5	0.3



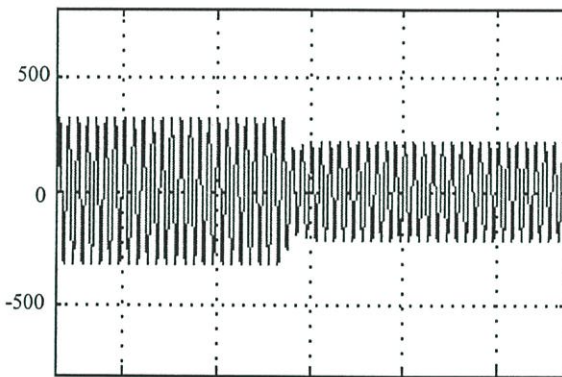
รูปที่ 7.15 กราฟค่า % THD_v ทางด้านเอาต์พุต เมื่อค่าคาปาซิเตอร์เปลี่ยนไป

จากตารางที่ 7.3 และ 7.4 ดังกราฟที่ 7.14 และ 7.15 เป็นผลการทดสอบถึงค่าความผิดเพี้ยนรวมของกระแสและแรงดันทางด้านเอาต์พุต เมื่อใช้เทคนิคเดลต้ามีอดที่ไม่มี การป้อนกลับและเทคนิคเดลต้ามีอดที่มีการป้อนกลับแรงดันพีคดับลิวเอ็มเอาต์พุต จากผลการทดลองจะเห็นได้ว่าที่คาปาซิเตอร์ค่าต่ำๆนั้น จะทำให้ค่าความผิดเพี้ยนรวมของกระแสและแรงดันทางด้านเอาต์พุตมีค่าสูงขึ้นมากกว่าเมื่อใช้คาปาซิเตอร์ที่มีค่าสูงอันเนื่องมาจากผลกระทบริบเปิดของแรงดันดีซีเชื่อมโยง แต่เมื่อใช้เทคนิค

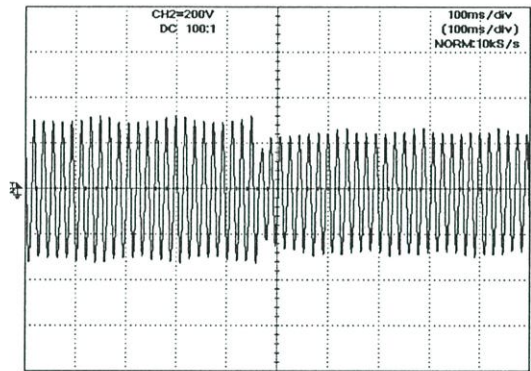
เคลด้ามีอดที่มีการป้อนกลับแรงดันพีคดับลิวเอ็มเอท์พุทแล้วจะช่วยลดผลกระทบของริปเปิลที่แรงดันดีซีเชื่อมโยงได้ทำให้ค่า THD_i และ THD_v นั้นมีค่าน้อยลงส่งผลให้กระแสและแรงดันมีรูปคลื่นใกล้เคียงรูปคลื่นไซน์ เมื่อเปรียบเทียบกับเทคนิคเคลด้ามีอดที่ไม่มีการป้อนกลับตามการทดลองที่ 7.4 ดังนั้นในการทดลองนี้เห็นได้ชัดเจนว่า เทคนิคเคลด้ามีอดที่มีการป้อนกลับแรงดันพีคดับลิวเอ็มเอท์พุทสามารถลดผลกระทบริปเปิลของแรงดันดีซีเชื่อมโยงได้จริงซึ่งเป็นข้อดีของเทคนิคนี้และเป็นผลดีต่อระบบที่จะนำไปใช้งาน

7.7 การทดสอบอินเวอร์เตอร์ที่มีการสลับโพลแบบนับปล้น

การทดสอบนี้เป็นการทดสอบอินเวอร์เตอร์ทั้ง 3 เทคนิคที่คาปาซิเตอร์เท่ากับ $330\mu\text{F}$ และ $5000\mu\text{F}$ โดยทำการทดสอบที่สภาวะ No Load ไปสู่สภาวะ Full Load ที่ได้ผลตามรูปที่ 7.16, 7.17 และ 7.18



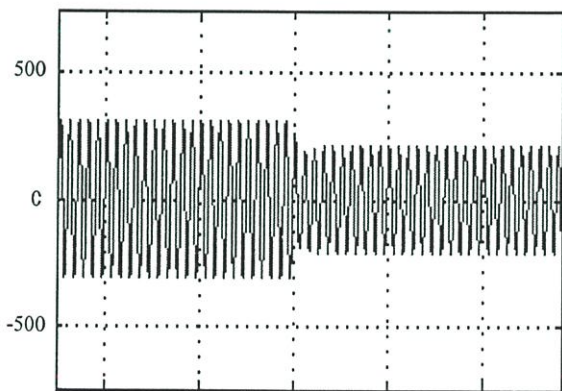
(a) ผลการจำลอง



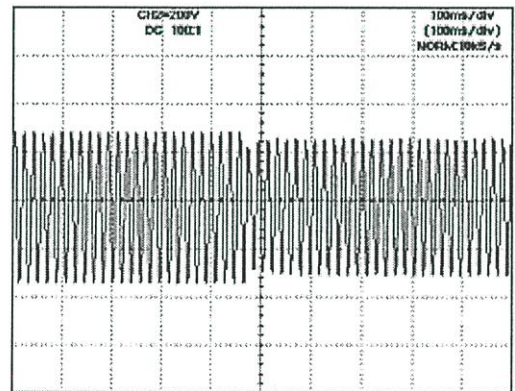
สเกล x:100 ms/div, y:200 v/div

$$C_{dc} = 330 \mu\text{F}, I_L = 4.6 \text{ A}$$

(b) ผลการทดลอง



(a) ผลการจำลอง

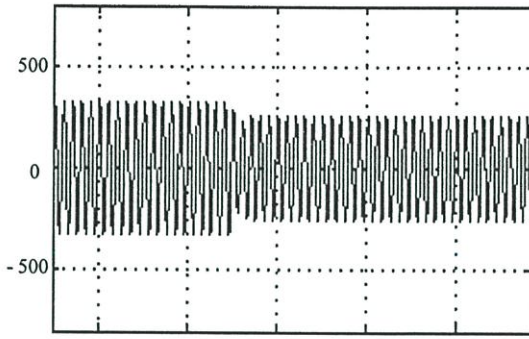


สเกล x:100 ms/div, y:200 v/div

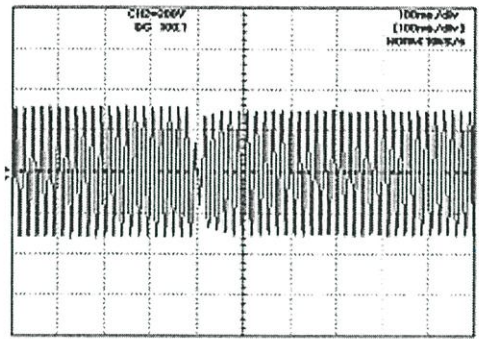
$$C_{dc} = 5000 \mu\text{F}, I_L = 4.6 \text{ A}$$

(b) ผลการทดลอง

รูปที่ 7.16 แรงดันเอาท์พุทอินเวอร์เตอร์ของเทคนิคเคลด้ามีอดคู่เลชั่นที่ไม่มีการป้อนกลับ



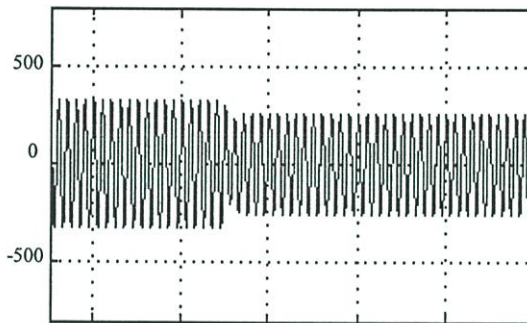
(a) ผลการจำลอง



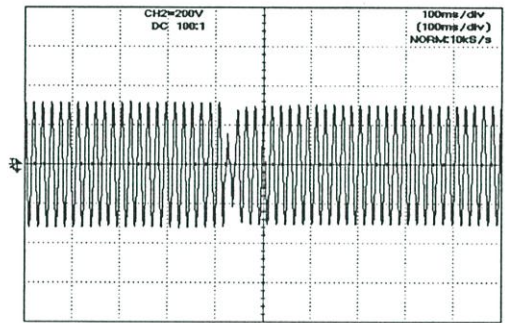
สเกล x:100 ms/div, y:200 v/div

$$C_{dc} = 330 \mu\text{F}, I_L = 4.6 \text{ A}$$

(b) ผลการทดลอง



(a) ผลการจำลอง

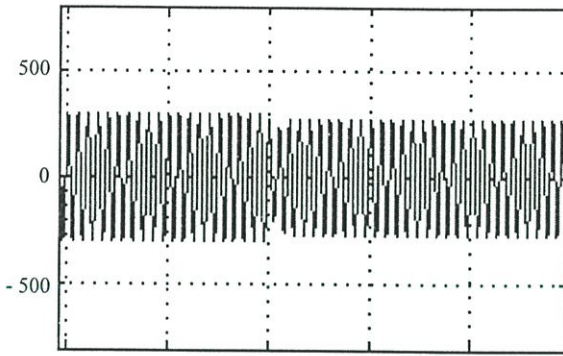


สเกล x:100 ms/div, y:200 v/div

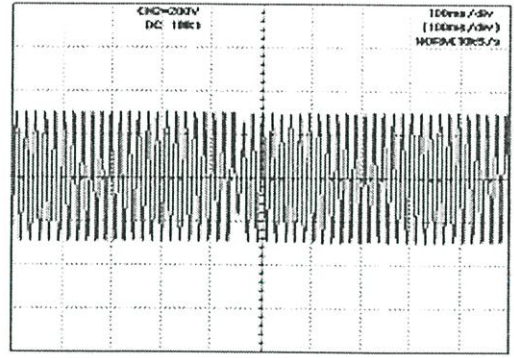
$$C_{dc} = 5000 \mu\text{F}, I_L = 4.6 \text{ A}$$

(b) ผลการทดลอง

รูปที่ 7.17 แรงดันเอาต์พุตอินเวอร์เตอร์ของเทคนิคเซลล์ด้ามืดคู่เลขชั้นที่มีการป้อนกลับ



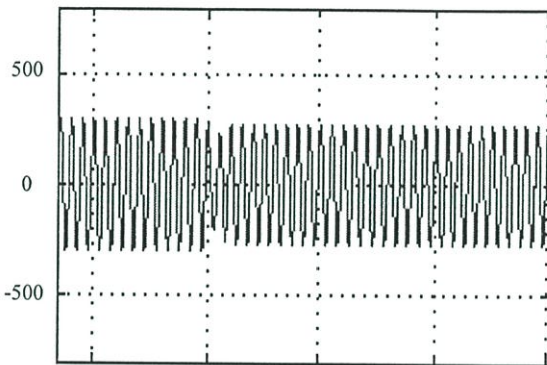
(a) ผลการจำลอง



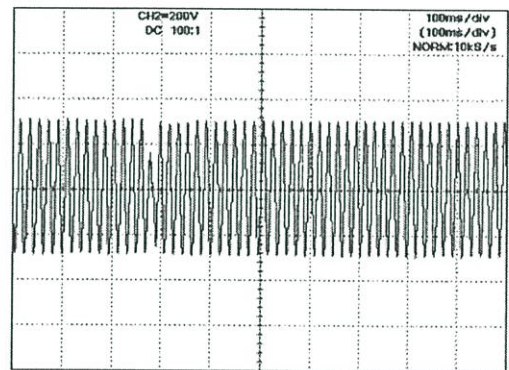
สเกล x:100 ms/div, y:200 v/div

$$C_{dc} = 330 \mu\text{F}, I_L = 4.6 \text{ A}$$

(b) ผลการทดลอง



(a) ผลการจำลอง



สเกล x:100 ms/div, y:200 v/div

$$C_{dc} = 5000 \mu\text{F}, I_L = 4.6 \text{ A}$$

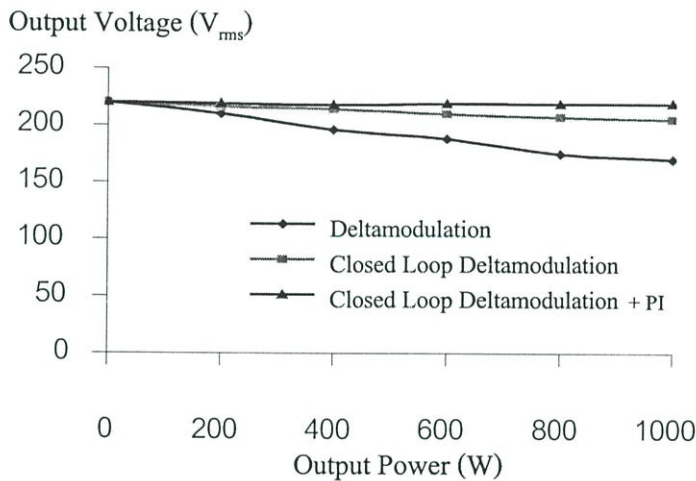
(b) ผลการทดลอง

รูปที่ 7.18 แรงดันเอาต์พุตอินเวอร์เตอร์ของเทคนิคเดลด้ามีอดดูเลชั่นที่มีการป้อนกลับ ร่วมกับการควบคุมแบบพีโอ

เมื่อเปรียบเทียบผลที่ได้จากการจำลองและการทดลองด้วยเทคนิคเดลด้ามีอดแบบที่ไม่มีการป้อนกลับกับเทคนิคเดลด้ามีอดที่มีการป้อนกลับแรงดันพีดับบลิวเอ็มเอาต์พุตและเทคนิคเดลด้ามีอดที่มีการป้อนกลับแรงดันพีดับบลิวเอ็มเอาต์พุตร่วมกับการควบคุมแบบพีโอจะเห็นได้ว่าเทคนิคเดลด้ามีอดที่ไม่มีการป้อนกลับเมื่อมีการเพิ่มโหลดจะทำให้แรงดันเอาต์พุตตกลงที่คาปาซิเตอร์ของแรงดันดีซีเชื่อมโยงมีค่าเท่ากับ $330 \mu\text{F}$ และคาปาซิเตอร์ของแรงดันดีซีเชื่อมโยงมีค่าเท่ากับ $5000 \mu\text{F}$ แต่จะสังเกตได้ว่าที่คาปาซิเตอร์ของแรงดันดีซีเชื่อมโยงมีค่าเท่ากับ $330 \mu\text{F}$ จะมีแรงดันเอาต์พุตตกมากกว่าคาปาซิเตอร์ของแรงดันดีซีเชื่อมโยงมีค่าเท่ากับ $5000 \mu\text{F}$ เนื่องจากผลกระทบริบเปิดของแรงดันดีซีเชื่อมโยงทำให้แรงดันพีดับบลิวเอ็มเอาต์พุตลดลง ตามผลการจำลองและผลการทดลองในรูปที่ 7.7 แต่เมื่อใช้เทคนิคเดลด้ามีอดที่มีการป้อนกลับแรงดันพีดับบลิวเอ็มเอาต์พุตสามารถรักษาระดับแรงดัน

เอาต์พุต ได้ดีกว่าเทคนิคเดลต้ามีมอดที่ไม่มี การป้อนกลับแต่ไม่ดีเท่าที่ควรเนื่องจากเทคนิคเดลต้ามีมอดที่มีการป้อนกลับแรงดันพีคดับลิแวมเอาต์พุตที่มีการตรวจจับสัญญาณแรงดันพีคดับลิแวมเอาต์พุตซึ่งอยู่ก่อนฟิลเตอร์จึงไม่สามารถรักษาระดับแรงดันเอาต์พุตที่โหลดได้เท่าที่ควร แต่เมื่อมีการทำงานร่วมกับ การควบคุมแบบพีไอแล้วผลที่ได้สามารถรักษาระดับแรงดันเอาต์พุตที่โหลดให้คงที่ได้และยังช่วยลดระยะเวลาในการฟื้นตัวได้เร็วขึ้นซึ่งมีค่าใกล้เคียงกับค่าที่ได้ ออกไว้โดยผลที่ได้จากการทดลองมีความสอดคล้องกับผลที่ได้จำลองไว้

7.8 ผลการทดสอบการคงค่าแรงดันเอาต์พุตของทั้ง 3 เทคนิค



รูปที่ 7.19 กราฟแรงดันเอาต์พุตทั้ง 3 เทคนิคกับ โหลดที่เปลี่ยนไป ($C_{dc} = 330 \mu\text{F}$)

จากรูปที่ 7.19 เป็นกราฟแรงดันเอาต์พุตทั้ง 3 เทคนิคกับ โหลดที่เปลี่ยนแปลงไปของคาปาซิเตอร์ที่แรงดันดีซีเชื่อมโยงมีค่าเท่ากับ $330 \mu\text{F}$ เมื่อทำการทดสอบโดยการเพิ่ม โหลดทีละสเต็ปจะเห็นได้ว่าเทคนิคเดลต้ามีมอดที่มีการป้อนกลับแรงดันพีคดับลิแวมเอาต์พุตจะสามารถรักษาระดับแรงดันเอาต์พุตได้ดีกว่าเทคนิคเดลต้ามีมอดที่ไม่มี การป้อนกลับแต่ยังคงไม่สามารถรักษาระดับแรงดันเอาต์พุตที่โหลดได้เนื่องจากเทคนิคเดลต้ามีมอดที่มีการป้อนกลับแรงดันพีคดับลิแวมเอาต์พุตที่ตรวจจับสัญญาณแรงดันพีคดับลิแวมเอาต์พุตนั้นอยู่ก่อนฟิลเตอร์แต่เมื่อมีการทำงานร่วมกับการป้อนกลับแบบพีไอจะรักษาระดับแรงดันเอาต์พุตที่ โหลดให้คงที่ได้ตามทฤษฎีและหลักการที่นำเสนอในข้างต้น

7.9 ผลการทดสอบหาค่าประสิทธิภาพของระบบอินเวอร์เตอร์

เป็นการทดสอบเพื่อหาค่าการสูญเสียและประสิทธิภาพของระบบอินเวอร์เตอร์เมื่อนำไปประยุกต์ใช้งานที่ความถี่เอาต์พุตคงที่ โดยโหลดที่ใช้ทดสอบเป็นโหลดความต้านทานและความต้านทานต่ออนุกรมกับตัวเหนี่ยวนำที่คาปาซิเตอร์ของแรงดันดีซีซึ่งเชื่อมโยงเท่ากับ $330 \mu\text{F}$ และ $5000 \mu\text{F}$ ในการวัดกำลังอินพุตและเอาต์พุตได้ใช้ Fluke 41B เป็นเครื่องมือวัดและทดสอบซึ่งข้อมูลเกี่ยวกับเครื่องมือวัดแสดงในภาคผนวก ค โดยการทดสอบนี้ได้มีการจำลองและการทดลองเพื่อเป็นการเปรียบเทียบค่าประสิทธิภาพการทำงานและหาค่าการสูญเสียที่เกิดขึ้นในระบบอินเวอร์เตอร์ของเทคนิคเคลด้ามีอดคที่ไม่มีป้อนกลับกับเทคนิคเคลด้ามีอดคที่มีการป้อนกลับแรงดันพีดับบลิวเอ็มเอาต์พุต ซึ่งเงื่อนไขในการทดลองคือ จะรักษาระดับแรงดันเอาต์พุตอินเวอร์เตอร์ให้มีค่าคงที่และฟิลเตอร์ที่ค่าเดียวกันตามสภาวะโหลดที่ความถี่สวิทชิง เท่ากับ 10 kHz ดังกล่าวซึ่งการทดสอบได้มีผลดังนี้

ตารางที่ 7.5 ผลการจำลองและผลการทดลองค่าประสิทธิภาพของระบบอินเวอร์เตอร์ที่โหลดความต้านทาน

ผลการจำลองของเทคนิคเคลด้ามีอดคที่ไม่มีป้อนกลับ $C_{dc}=330 \mu\text{F}$

V_{out} (V)	I_{out} (A)	P_{out} (W)	V_{in} (V)	I_{in} (A)	P_{in} (W)	ประสิทธิภาพ (%)
220	0.5	110	196	1.54	225	48.9
220	1.19	261.8	200	2.32	400	65.5
220	2.1	462	220	3.51	600	77
220	3.13	688.6	225	3.92	850	81
220	4.27	939.4	230	5.84	1120	83.9

ผลการจำลองของเทคนิคเคลด้ามีอดคที่มีการป้อนกลับแรงดันพีดับบลิวเอ็มเอาต์พุต $C_{dc}= 330 \mu\text{F}$

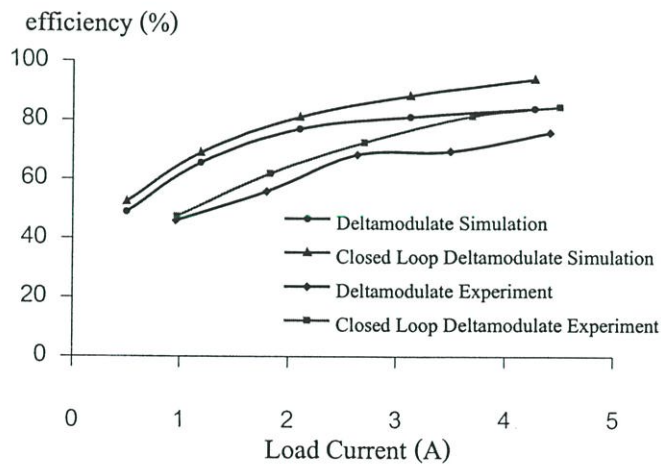
V_{out} (V)	I_{out} (A)	P_{out} (W)	V_{in} (V)	I_{in} (A)	P_{in} (W)	ประสิทธิภาพ (%)
220	0.5	110	250	1.57	210	52.4
220	1.19	261.8	258	1.99	380	68.9
220	2.1	462	261	2.40	570	81.1
220	3.13	688.6	270	3.32	780	88.3
220	4.27	939.4	286	3.81	1000	93.9

ผลการทดลองของเทคนิคเคลด้ามีอดที่ไม่มีกรป้อนกลับ $C_{dc} = 330 \mu\text{F}$

V_{out} (V)	I_{out} (A)	P_{out} (W)	V_{in} (V)	I_{in} (A)	P_{in} (W)	ประสิทธิภาพ (%)
220	0.96	211.2	192	3.03	460	45.9
220	1.8	396	210	4.2	710	55.8
220	2.64	580.8	217	5.04	850	68.3
220	3.5	770	223	6.23	1110	69.4
220	4.41	970.2	232	6.59	1280	75.8

ผลการทดลองของเทคนิคเคลด้ามีอดที่มีการป้อนกลับแรงดันพีคบัลลวเอ็มเอทพุท $C_{dc} = 330 \mu\text{F}$

V_{out} (V)	I_{out} (A)	P_{out} (W)	V_{in} (V)	I_{in} (A)	P_{in} (W)	ประสิทธิภาพ (%)
220	0.97	213.4	254	2.31	450	47.4
220	1.83	402.6	258	3.05	650	61.9
220	2.7	594	260	4.03	820	72.4
220	3.7	814	274	4.4	1000	81.4
220	4.5	990	283	4.93	1170	84.6



รูปที่ 7.20 กราฟผลการจำลองและผลการทดลองประสิทธิภาพของอินเวอร์เตอร์
ที่โหลดความต้านทาน ($C_{dc} = 330 \mu\text{F}$)

ผลการจำลองของเทคนิคเดลด้ามี้อคที่ไม่มีกรป้อนกลับ $C_{dc} = 5000 \mu\text{F}$

V_{out} (V)	I_{out} (A)	P_{out} (W)	V_{in} (V)	I_{in} (A)	P_{in} (W)	ประสิทธิภาพ (%)
220	0.5	110	189	1.45	230	47.8
220	1.19	261.8	198	2.3	410	63.9
220	2.1	462	208	3.3	640	72.2
220	3.13	688.6	220	4	845	81.5
220	4.27	939.4	227	5.4	1100	85.4

ผลการจำลองของเทคนิคเดลด้ามี้อคที่มีการป้อนกลับแรงดันพีดับบลิวเอ็มเอทพุท $C_{dc} = 5000 \mu\text{F}$

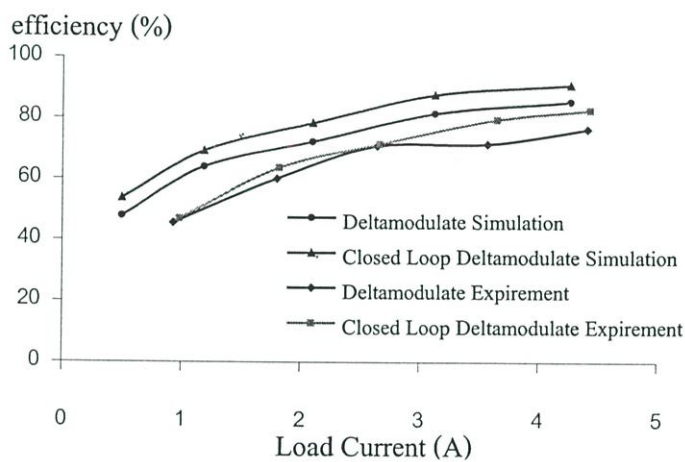
V_{out} (V)	I_{out} (A)	P_{out} (W)	V_{in} (V)	I_{in} (A)	P_{in} (W)	ประสิทธิภาพ (%)
220	0.5	110	250	1.13	205	53.7
220	1.19	261.8	258	1.67	379	69.1
220	2.1	462	261	2.94	590	78.3
220	3.13	688.6	270	3.24	786	87.6
220	4.27	939.4	286	3.97	1034	90.9

ผลการทดลองของเทคนิคเดลด้ามี้อคที่ไม่มีกรป้อนกลับ $C_{dc} = 5000 \mu\text{F}$

V_{out} (V)	I_{out} (A)	P_{out} (W)	V_{in} (V)	I_{in} (A)	P_{in} (W)	ประสิทธิภาพ (%)
220	0.93	204.6	184	3.02	450	45.5
220	1.8	396	191	3.92	660	60
220	2.64	580.8	199	4.89	820	70.8
220	3.57	785.4	205	5.97	1100	71.4
220	4.41	970.2	208	6.7	1270	76.4

ผลการทดลองของเทคนิคเคลด้ามีอคด์ที่มีการป้อนกลับแรงดันพีคดับบลิวเอ็มเอท์พุท $C_{dc} = 5000 \mu F$

V_{out} (V)	I_{out} (A)	P_{out} (W)	V_{in} (V)	I_{in} (A)	P_{in} (W)	ประสิทธิภาพ (%)
220	0.98	215.6	242	2.4	460	46.9
220	1.82	400.4	249	3.21	630	63.6
220	2.66	585.2	252	3.94	820	71.4
220	3.65	803	256	4.73	1010	79.5
220	4.43	974.6	264	5.33	1180	82.6



รูปที่ 7.21 กราฟผลการจำลองและผลการทดลองประสิทธิภาพของอินเวอร์เตอร์ที่โหลดความต้านทาน ($C_{dc} = 5000 \mu F$)

ตารางที่ 7.6 ผลการจำลองและผลการทดลองค่าประสิทธิภาพของระบบอินเวอร์เตอร์ที่โหลด RL

ผลการจำลองของเทคนิคเคลด้ามีอคด์ที่ไม่มีการป้อนกลับ $C_{dc} = 330 \mu F$

V_{out} (V)	I_{out} (A)	P_{out} (W)	V_{in} (V)	I_{in} (A)	P_{in} (W)	ประสิทธิภาพ (%)
220	0.6	112	230	1.37	264	42.4
220	1.8	377	240	3	614	61.4
220	2.3	483	257	3.8	722	66.9
220	3.4	726	270	4.6	932	77.9
220	4.4	880	286	5.6	1022	86.1

ผลการจำลองของเทคนิคเคลด้ามีอคต์ที่มีการป้อนกลับแรงดันพีคดับปลิวเอ็มเอท์พุท $C_{dc}=330 \mu\text{F}$

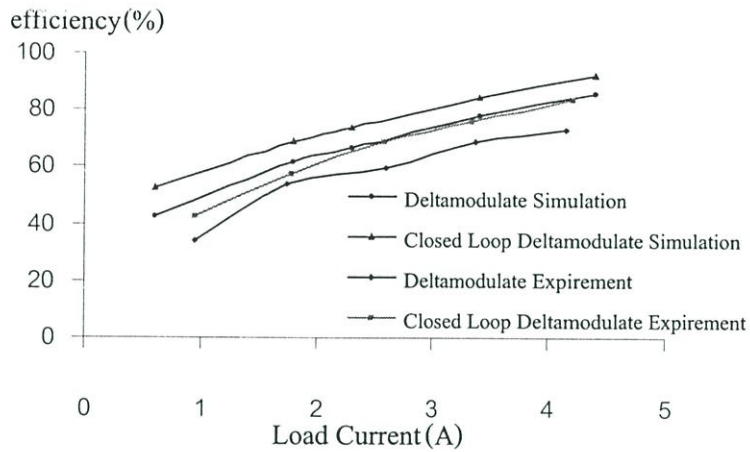
V_{out} (V)	I_{out} (A)	P_{out} (W)	V_{in} (V)	I_{in} (A)	P_{in} (W)	ประสิทธิภาพ (%)
220	0.6	100	250	1.3	230	52.2
220	1.8	380	258	2.98	554	68.6
220	2.3	494	261	3.36	669	73.8
220	3.4	710	270	4	843	84.2
220	4.4	920	286	4.1	1000	92

ผลการทดลองของเทคนิคเคลด้ามีอคต์ที่ไม่มีการป้อนกลับ $C_{dc}= 330 \mu\text{F}$

V_{out} (V)	I_{out} (A)	P_{out} (W)	V_{in} (V)	I_{in} (A)	P_{in} (W)	ประสิทธิภาพ (%)
220	0.96	180	190	3.6	530	34
220	1.75	370	197	4.38	690	53.6
220	2.59	540	206	5.36	910	59.3
220	3.37	700	212	6.16	1020	68.6
220	4.16	840	224	6.2	1150	73

ผลการทดลองของเทคนิคเคลด้ามีอคต์ที่มีการป้อนกลับแรงดันพีคดับปลิวเอ็มเอท์พุท $C_{dc}= 330 \mu\text{F}$

V_{out} (V)	I_{out} (A)	P_{out} (W)	V_{in} (V)	I_{in} (A)	P_{in} (W)	ประสิทธิภาพ (%)
220	0.96	200	228	2.95	470	42.6
220	1.78	380	232	3.74	670	57.6
220	2.58	550	259	4.5	800	68.8
220	3.34	720	265	4.94	950	75.9
220	4.20	910	285	5.99	1090	83.5



รูปที่ 7.22 กราฟผลการจำลองและผลการทดลองประสิทธิภาพของอินเวอร์เตอร์
ที่โหลด RL ($C_{dc} = 330 \mu\text{F}$)

ผลการจำลองของเทคนิคเคลด้ามีอดที่ไม่มีกรป้อนกลับ $C_{dc} = 5000 \mu\text{F}$

V_{out} (V)	I_{out} (A)	P_{out} (W)	V_{in} (V)	I_{in} (A)	P_{in} (W)	ประสิทธิภาพ (%)
220	0.6	112	205	1.74	250	44.8
220	1.8	368	220	3.47	611	60.2
220	2.3	483	230	3.95	745	64.8
220	3.4	715	238	5.35	950	75.3
220	4.28	871	250	5.63	1035	84.2

ผลการจำลองของเทคนิคเคลด้ามีอดที่มีการป้อนกลับแรงดันพีคดับลิวเอ็มเอทท์พุท $C_{dc} = 5000 \mu\text{F}$

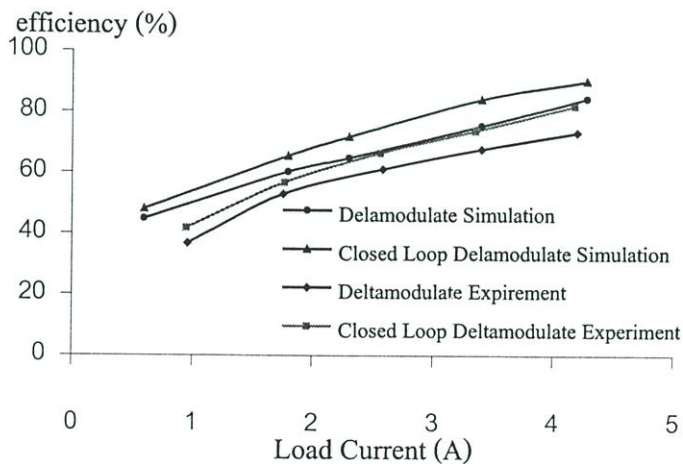
V_{out} (V)	I_{out} (A)	P_{out} (W)	V_{in} (V)	I_{in} (A)	P_{in} (W)	ประสิทธิภาพ (%)
220	0.6	126	200	1.54	263	47.9
220	1.8	386	220	3.39	590	65.4
220	2.3	495	240	3.84	690	71.7
220	3.4	734	251	4.36	874	84
220	4.28	909	258	5.1	1009	90.1

ผลการทดลองของเทคนิคเดล์ต้ามีอดที่ไม่มีกำรป้อนกลับ $C_{dc} = 5000\mu F$

V_{out} (V)	I_{out} (A)	P_{out} (W)	V_{in} (V)	I_{in} (A)	P_{in} (W)	ประสิทธิภาพ (%)
220	0.96	180	200	3.1	490	36.7
220	1.76	360	212	4	680	52.9
220	2.58	550	221	5.1	900	61.1
220	3.4	710	232	5.9	1050	67.6
220	4.2	870	245	6.71	1190	73.1

ผลการทดลองของเทคนิคเดล์ต้ามีอดที่มีกำรป้อนกลับแรงดันพีคดับลิวเอ็มเอท์พุท $C_{dc} = 5000\mu F$

V_{out} (V)	I_{out} (A)	P_{out} (W)	V_{in} (V)	I_{in} (A)	P_{in} (W)	ประสิทธิภาพ (%)
220	0.95	200	198	3.02	480	41.7
220	1.77	380	213	3.97	670	56.7
220	2.56	550	238	4.48	830	66.3
220	3.35	730	243	5.1	990	73.7
220	4.18	900	249	5.7	1100	81.8



รูปที่ 7.23 กราฟผลการจำลองและผลการทดลองประสิทธิภาพของอินเวอร์เตอร์
ที่โหลด RL ($C_{dc} = 5000\mu F$)

จากผลการจำลองและผลการทดลองจะเห็นได้ว่าประสิทธิภาพของระบบอินเวอร์เตอร์ที่ใช้เทคนิคเคลด้ามีอคต์ที่มีการป้อนกลับแรงดันพีคดับลิวเอ็มเอท์พุทมีค่าดีกว่าระบบอินเวอร์เตอร์ของเทคนิคเคลด้ามีอคต์ที่ไม่มีการป้อนกลับจะพบได้ว่าผลการจำลองให้ค่าประสิทธิภาพที่สูงกว่าผลการทดลองเนื่องจากมีผลของค่าการสูญเสียของอุปกรณ์อิเล็กทรอนิกส์ที่เกิดขึ้นน้อยมากและจากผลกระทบจากริปเปิ้ลนี้ทำให้แรงดันเอาท์พุทผิดเพี้ยนไปตามผลการจำลองและผลการทดลองที่ 7.4 ตัวประกอบกำลัง $PF = (1/\sqrt{1+THD_i^2}) \times DPF$ จะพบได้ว่าเมื่อทดสอบที่โหลด R หรือ โหลด RL กระแสและแรงดันทางด้านเอาท์พุทจะเกิดความผิดเพี้ยนไปจากเดิมเมื่อใช้เทคนิคเคลด้ามีอคต์ที่ไม่มีการป้อนกลับทำให้ค่าตัวประกอบกำลังมีค่าต่ำลงส่งผลให้กำลังไฟฟ้าทางด้านเอาท์พุทตกลงตามและผลอีกสิ่งหนึ่งที่ทำให้ประสิทธิภาพของอินเวอร์เตอร์ที่ไม่มีการป้อนกลับต่ำกว่าอินเวอร์เตอร์ที่มีการป้อนกลับแรงดันพีคดับลิวเอ็มเอท์พุท คือ ความถี่สวิตชิ่งจากการทดลองที่ 7.3 และ 7.5 เมื่อริบเปิ้ลของแรงดันดีซีเชื่อมโยมมากทำให้เนื้อพัลส์ขยายตัวส่งผลให้ความถี่สวิตชิ่งลดลงซึ่งทำให้การสูญเสียจากการสวิตช์มีค่าลดลงไปด้วย จากผลการจำลองและผลการทดลองนี้จึงสรุปได้ว่าเทคนิคเคลด้ามีอคต์ที่ไม่มีการป้อนกลับจะมีประสิทธิภาพต่ำกว่าเทคนิคเคลด้ามีอคต์ที่มีการป้อนกลับแรงดันพีคดับลิวเอ็มเอท์พุท

บทที่ 8

บทสรุปและข้อเสนอแนะ

งานวิจัยนี้ได้วิเคราะห์และประเมินคุณสมบัติของเทคนิคเคลด้ามือคูลูเลชั่นชนิดอะซิงโครนัส ทั้ง 3 เทคนิค ประกอบด้วย เทคนิคเคลด้ามือคูลูที่ไม่มี การป้อนกลับถือได้ว่าเป็นวงจรเคลด้ามือคูลูแบบ ทั่วๆ ไป เทคนิคเคลด้ามือคูลูที่มีการป้อนกลับแรงดันพีคดับบลิวเอ็มเอท์พุทและเทคนิคเคลด้ามือคูลูที่มี การป้อนกลับแรงดันพีคดับบลิวเอ็มเอท์พุทร่วมกับการควบคุมแบบพีไอ เพื่อนำมาประยุกต์ใช้กับ อินเวอร์เตอร์แบบพีคดับบลิวเอ็มชนิดแหล่งจ่ายแรงดัน ซึ่งจากการศึกษาและวิเคราะห์ผลการจำลอง การทำงานของเทคนิคเคลด้ามือคูลูเลชั่นด้วยโปรแกรมMATLABเพื่อออกแบบแล้วมีการตรวจสอบ ด้วยการทดลองจริงเปรียบเทียบกับ การจำลองดังกล่าว จะพบว่าผลที่ได้มีความสอดคล้องกับสมมติ ฐานและทฤษฎีที่ได้ตั้งไว้ โดยเทคนิคที่นำเสนอนี้จะช่วยในการรักษาระดับแรงดันเอาท์พุทที่โหลด ให้คงที่และลดผลกระทบริบเปิดของแรงดันดีซีเชื่อมโยงที่เกิดจากตัวคาปาซิเตอร์ที่มีค่าจำกัดหรือ กระแสเอาท์พุทมีค่ามากขึ้นอันเนื่องมาจากการเพิ่มขึ้นของโหลดทำให้ริบเปิดที่เกิดขึ้นนั้นมีค่าสูง ขึ้นด้วย ซึ่งจะส่งผลกระทบต่อสมรรถนะทางด้านอินพุท และผลกระทบทางด้านเอาท์พุทของ อินเวอร์เตอร์ นอกจากนี้ยังมีการทำงานร่วมกับการป้อนกลับแบบพีไอในลูปนอกเพื่อช่วยลดระยะ เวลาการเข้าสู่สภาวะเดิมได้เร็วขึ้น อีกทั้งยังช่วยในการรักษาระดับแรงดันเอาท์พุทที่โหลดให้คงที่ ด้วยและเมื่อคาปาซิเตอร์ของแรงดันดีซีเชื่อมโยงมีค่าต่ำ ทำให้ค่า DPF สูงขึ้นและ THD_v มีค่าต่ำลง ส่งผลให้ค่า PF สูงขึ้นทำให้กระแสและแรงดันทางด้านเอาท์พุทเป็นรูปคลื่นไซน์ แม้จะเกิดริบเปิด ของแรงดันดีซีเชื่อมโยงก็ตาม

8.1 สรุปผลการทดลอง

การวิจัยนี้ได้ศึกษาและวิเคราะห์ทฤษฎีของเทคนิคเคลด้ามือคูลูที่ไม่มี การป้อนกลับเพื่อเปรียบ เทียบผลกับเทคนิคเคลด้ามือคูลูที่มีการป้อนกลับแรงดันพีคดับบลิวเอ็มเอท์พุทและกับเทคนิคเคลด้ามือ คูลูที่มีการป้อนกลับแรงดันพีคดับบลิวเอ็มเอท์พุทร่วมกับการควบคุมแบบพีไอที่ได้ออกแบบขึ้น เพื่อวิเคราะห์ถึงคุณสมบัติของแต่ละเทคนิค โดยได้นำเทคนิคเคลด้ามือคูลูที่มีการป้อนกลับแรงดัน พีคดับบลิวเอ็มเอท์พุทชนิดอะซิงโครนัสมาใช้กับแหล่งจ่ายไฟกระแสสลับแล้วมีการตรวจสอบผล ด้วยการจำลองและการทดลองที่มีการเปลี่ยนคาปาซิเตอร์และ โหลดค่าต่างๆซึ่งให้ผลสอดคล้องกับ สมมติฐานและทฤษฎีที่ได้ศึกษาวิเคราะห์ไว้ โดยสามารถสรุปคุณสมบัติของเทคนิคเคลด้ามือคูลูที่ได้ นำเสนอ ดังนี้

8.1.1 จากผลการทดลองเมื่อรูปคลื่นเคลด้ามือคูลูเลชั่นเปลี่ยนแปลงตามค่าพารามิเตอร์ต่างๆที่ เปลี่ยนไปซึ่งในการปรับเปลี่ยนรูปคลื่นเคลด้ามือคูลูนั้นทำได้ง่ายเพียงแต่ปรับเปลี่ยนค่าพารามิเตอร์

อย่างใดอย่างหนึ่งหรือหลายอย่างพร้อมๆกันซึ่งจะมีผลต่อดัชนีของการมีอคติหรือผลต่อการเปลี่ยน Base frequency ตามผลการทดลองที่นำเสนอ

8.1.2 จากผลการทดลองเพื่อเปรียบเทียบค่า DPF, THD_i และ PF ทางด้านอินพุทที่มีการเปลี่ยนแปลงคาปาซิเตอร์ค่าต่างๆนั้นจะพบได้ว่า เทคนิคเคลด้ามีอคติที่มีการป้อนกลับแรงดันพีคดับลิวิตีเอ็มเอท์พุท จะทำให้ค่า DPF สูงขึ้นและ THD_i มีค่าต่ำลง ส่งผลให้ค่า PF ทางด้านอินพุทสูงขึ้นที่คาปาซิเตอร์ค่าต่ำ ซึ่งจะส่งผลดีต่อกระแสและแรงดันทางด้านเอาท์พุทรวมถึงสมรรถนะของระบบ โดยแตกต่างจากเทคนิคเคลด้ามีอคติที่ไม่มีการป้อนกลับ ซึ่งต้องใช้คาปาซิเตอร์ที่มีค่าสูงและขนาดใหญ่เพื่อไม่ให้เกิดผลกระทบของริปเปิลที่แรงดันดีซีเชื่อมโยงและจะส่งผลเสียต่อสมรรถนะของระบบ

8.1.3 จากผลการทดลองเพื่อเปรียบเทียบค่า DPF, THD_i และ PF ทางด้านอินพุทที่มีการเปลี่ยนแปลงโหลดค่าต่างๆ ปรากฏว่าเทคนิคเคลด้ามีอคติที่มีการป้อนกลับแรงดันพีคดับลิวิตีเอ็มเอท์พุทจะให้ค่าจะทำให้ค่า DPF สูงขึ้นและ THD_i มีค่าต่ำลง ส่งผลให้ค่า PF ทางด้านอินพุทสูงขึ้น แม้โหลดจะเพิ่มขึ้นก็ตามและจะส่งผลดีต่อกระแสและแรงดันทางด้านเอาท์พุทรวมถึงสมรรถนะของระบบ

8.1.4 จากผลการจำลองและผลการทดลองที่เปรียบเทียบสัญญาณพีคดับลิวิตีเอ็มเอท์ทางด้านเอาท์พุทของเทคนิคเคลด้ามีอคติที่ไม่มีการป้อนกลับกับเทคนิคเคลด้ามีอคติที่มีการป้อนกลับแรงดันพีคดับลิวิตีเอ็มเอท์พุทที่สภาวะโหลดเดียวกันจะพบได้ว่าเทคนิคเคลด้ามีอคติที่มีการป้อนกลับแรงดันพีคดับลิวิตีเอ็มเอท์พุทจะมีการขยายตัวของเนื้อพัลส์อย่างชัดเจนเพื่อเกาะติดสัญญาณไซน์อ้างอิง ซึ่งจะเป็นการรักษาแรงดันเอาท์พุทมาตรฐานให้คงที่เมื่อเกิดริปเปิลของแรงดันดีซีเชื่อมโยง และในทางตรงกันข้ามเทคนิคเคลด้ามีอคติที่ไม่มีการป้อนกลับจะไม่มีการขยายตัวของเนื้อพัลส์เมื่อเกิดริปเปิลทำให้แรงดันเอาท์พุทมาตรฐานตกลงตามริปเปิลของแรงดันดีซีเชื่อมโยง

8.1.5 จากผลการทดลองเทคนิคเคลด้ามีอคติที่มีการป้อนกลับแรงดันพีคดับลิวิตีเอ็มเอท์พุทจะลดผลกระทบที่เกิดจากริปเปิลของแรงดันดีซีเชื่อมโยง อันเนื่องมาจากค่าคาปาซิเตอร์ที่มีค่าจำกัดและการเพิ่มขึ้นของกระแสโหลด ซึ่งจากผลการใช้เทคนิคเคลด้ามีอคติที่มีการป้อนกลับแรงดันพีคดับลิวิตีเอ็มเอท์พุท ทำให้สามารถลดค่าและขนาดคาปาซิเตอร์ที่แรงดันดีซีเชื่อมโยงให้ต่ำลงได้ เพื่อปรับปรุงสมรรถนะในการทำงานของระบบให้ดียิ่งขึ้นและทำให้กระแสและแรงดันเป็นรูปคลื่นไซน์ตามผลการจำลองและผลการทดลอง

8.1.6 จากผลการจำลองและผลการทดลองจะพบได้ว่า เทคนิคเคลด้ามีอคติที่มีการป้อนกลับแรงดันพีคดับลิวิตีเอ็มเอท์พุทจะสามารถรักษาระดับแรงดันเอาท์พุทได้ดีกว่าเทคนิคเคลด้ามีอคติที่ไม่มีการป้อนกลับซึ่งถือว่าเป็นปริเร็กคิวเลเตอร์ แต่ไม่ดีเท่าที่ควร เนื่องจากเทคนิคเคลด้ามีอคติที่มีการป้อนกลับแรงดันพีคดับลิวิตีเอ็มเอท์พุทอยู่ก่อนฟิลเตอร์จึงไม่สามารถรักษาแรงดันเอาท์พุทที่โหลดได้เท่าที่ควร แต่เมื่อมีการทำงานร่วมกับการป้อนกลับแบบพีไอจะทำการรักษาระดับแรงดันเอาท์พุทที่โหลดให้ดีขึ้นและช่วยลดระยะเวลาฟื้นตัวให้เร็วขึ้นในขณะที่มีการเปลี่ยนแปลงโหลดแบบฉับพลัน

8.1.7 จากผลการทดลองเพื่อเปรียบเทียบค่าความผิดเพี้ยนรวมของกระแส(THD_v) และค่าความผิดเพี้ยนรวมของแรงดัน(THD_v) ทางด้านเอาต์พุตที่มีการเปลี่ยนแปลงค่าคาปาซิเตอร์พบว่าเทคนิคเคลด้ามีอคตที่มีการป้อนกลับแรงดันพีดับบลิวเอ็มเอาต์พุตสามารถลดค่าความผิดเพี้ยนรวมของกระแสและแรงดันทางด้านเอาต์พุตให้มีค่าต่ำได้ดีกว่าเทคนิคเคลด้ามีอคตที่ไม่มีการป้อนกลับทำให้กระแสและแรงดันทางด้านเอาต์พุตเป็นรูปคลื่นไซน์ แม้จะใช้คาปาซิเตอร์ที่มีค่าต่ำก็ตามแต่ให้ผลเหมือนกับคาปาซิเตอร์ที่มีค่าสูงเช่นกัน

8.1.8 จากผลการทดสอบหาค่าประสิทธิภาพของระบบอินเวอร์เตอร์แสดงให้เห็นว่าเทคนิคเคลด้ามีอคตที่มีการป้อนกลับแรงดันพีดับบลิวเอ็มเอาต์พุตจะให้ค่าประสิทธิภาพที่ดีกว่าเทคนิคเคลด้ามีอคตที่ไม่มีการป้อนกลับที่โหลดความต้านทานและความต้านทานต่ออนุกรมกับตัวเหนี่ยวนำเมื่อมีการเปลี่ยนแปลงค่าคาปาซิเตอร์ เนื่องจากมีการรักษาระดับแรงดันทางด้านเอาต์พุตให้สูงขึ้นและมีการขยายเนื้อพัลส์ ทำให้การสูญเสียจากการสวิตช์ลดลง

8.2 ปัญหาในงานวิจัยและข้อเสนอแนะ

1. เทคนิคเคลด้ามีอคตคุณลักษณะต้องใช้ตัวฟิลเตอร์ที่มีขนาดใหญ่ เนื่องจากผลของฮาร์โมนิกส์อันดับต่ำ
2. วงจรเคลด้ามีอคตคุณลักษณะทำงานได้ดีในขณะที่มีความถี่ต่ำ
3. เกิดสัญญาณรบกวนในระบบทำให้การทำงานผิดพลาดส่งผลให้วงจรกำลังเกิดความเสียหายเนื่องจากการลัดวงจรชั่วขณะที่ยิ่งเดียวกันของอุปกรณ์สวิตซ์จึงควรมีการป้องกันและลดทอนสัญญาณรบกวนเหล่านี้
4. การวิเคราะห์ข้อมูลเทคนิคเคลด้ามีอคตที่มีการป้อนกลับแรงดันพีดับบลิวเอ็มเอาต์พุตควรมีการวิเคราะห์ในรูปแบบสมการคณิตศาสตร์เพื่อใช้ในการพัฒนาต่อไป
5. งานวิจัยต่อไปควรมีการพัฒนาวิธีการควบคุมด้วยวงจรควบคุมทางดิจิทัลเพื่อให้ผลการทำงานของวงจรมีประสิทธิภาพที่ดีขึ้น
6. ศึกษาความสัมพันธ์ระหว่างรีปเปิลของแรงดันดีซีเชื่อมโยยที่ตกลงกับการชดเชยในส่วนที่ตกไปของเทคนิคเคลด้ามีอคตที่มีการป้อนกลับแรงดันพีดับบลิวเอ็มเอาต์พุต

- [1] M.A. Rahman, J.E Quicoe and M.A Choundhury, "A Comparative Study of Delta and Sine Pulse Width Modulated Inverters." Pro.EPE., vol.1, Oct. 1985. pp. 1.163-1.167.
- [2] M.H. Kheraluwala and D.M. Divan, "Delta Modulation Strategies for Resonant Link Inverter." IEEE Trans on Power Electronics, vol. 5, no.2, April 1990.
- [3] N. Abdel-Rahim and J.E. Quicoe. "A Single-Phase Delta-Modulated Inverter for UPS Application." IEEE Trans. on Ind.Electron., vol. 40, no. 3, June 1993. pp. 347-354.
- [4] P.Jain, D.Vincenti and H. Jin, "An Optimized Single-Phase AC Power Supply with DC Synchronizations." in Conf. Rec. IEEE APEC'96, Mar. 1996. pp. 981-910.
- [5] กมสัน กลีบบัว, วิจิตร กิณเรศ. "การออกแบบและวิเคราะห์ 1 เฟสเคลดตำมือคดูเลตที่ดับบลิวเอ็ม อินเวอร์เตอร์ที่มีการคงค่าแรงดันเอาท์พุท." วิศวกรรมลาดกระบัง คณะวิศวกรรมศาสตร์ สถาบันเทคโนโลยีพระจอมเกล้าเจ้าคุณทหารลาดกระบัง ปีที่ 19, ฉบับที่ 1, มีนาคม 2545. หน้า 83-88.
- [6] S. Sae-Sue, V.Kinnares, K. Sirichanpong and K. Kleebbua, "Design and Anaysis of Delta Modulated PWM Inverter with Regulated Output Voltage for 1- ϕ Induction Motor Drives." Proc. IPEC'01, May 2001. pp. 661-666.
- [7] โศทม อารียา. อิเล็กทรอนิกส์กำลัง 1-2. กรุงเทพมหานคร:บริษัท ซีเอ็ด ยูเคชั่น จำกัด(มหาชน).
- [8] M.H. Rashid. **Power Electronics Circuits, Devices and Applications.** 2nd Ed. New Jersey : Prentice-Hall, Inc. 1988.
- [9] M.H. T.M. Undeland, W.P. Robbins. **Power Electronics Converter, Applications and Design.** 2nd Ed. Canada : John Wiley & Sons, Inc. 1995.
- [10] D.W. Hart. **Introduction to Power Electronics.** London : Prentice-Hall, Inc. 1997.
- [11] ถาวร อมตกิตติ. ระบบกำลังไฟฟ้าต่อเนื่อง (ยูพีเอส) และเครื่องควบคุมคุณภาพไฟฟ้า. กรุงเทพมหานคร : สำนักพิมพ์บริษัทเอ็มแอนด์ดี จำกัด (สมาคมวิศวกรรมออกแบบและปรึกษาเครื่องกลและไฟฟ้าไทย : MECT). 2543.
- [12] B.K.Bose. **Power Electronics and AC Drives.** New Jersey : Prentice-Hall, Inc pp. 37-40, 140-152. . 1986.
- [13] ชาญวิทย์ ตั้งสิริวรกุล. "การวิเคราะห์และประเมินคุณสมบัติของเทคนิคเคลดตำมือคดูเลชั่น ที่มีขอบเขตฮีสเตอร์รีซีสแบบต่างๆสำหรับอินเวอร์เตอร์ชนิดจ่ายแรงดัน." วิทยานิพนธ์วิศวกรรมศาสตรมหาบัณฑิต, สาขาวิศวกรรมไฟฟ้า บัณฑิตวิทยาลัย, สถาบันเทคโนโลยีพระจอมเกล้าเจ้าคุณทหารลาดกระบัง. 2544.

- [14] M.A. Rahman, J.E Quicoe and M.A Choundhury, "Harmonic Minimization in Delta Modulation Inverters using Tuned Filters." IEEE PESC'88 Record, April 1988. pp. 462-468.
- [15] J. F.B. "Calculating Delta Modulator Performance." IEEE Trans on Audio Electracon, 1968. pp. 121-129.
- [16] A.I. Maswood, "Delta Modulation Technique with PI Controller for Voltage Source Inverter A Superior Alternate," IPEC'99, Vol. 2, pp. 555-559, May 1999.
- [17] J. F.B. "Calculating Delta Modulator Performance." IEEE Trans on Audio Electracon, 1968. pp. 121-129.
- [18] M.A. Rahman, J.E. Quicoe and M.A Choundhury, "Performance Analysis of Delta Modulated PWM Inverters." IEEE Trans on Power Electron., vol. PE-2, no.3, July 1987. pp. 227-233.
- [19] M.H. Kheraluwala and D.M. Divan, "Delta Modulation Strategies for Resonant Link Inverter." IEEE Trans on Power Electronics, vol. 5, no.2, April 1990.
- [20] C.A. Karybakas, "A DC to AC inverter based on the delta modulation principle," INT.J.ELECTRONIC, Vol. 49, No.6, pp. 56-66, 1980.
- [21] P.D. Ziogas, "The Delta Modulation Techniques in Static PWM Inverters." IEEE Trans. on Ind., Appl., vol. IA-17, no.2. Mar./Apr. 1981. pp. 199-204.
- [22] วิจิตร กิณเรศ. "สามเฟสเดลต้ามีอดดูเลตพีดับบลิวเอ็มอินเวอร์เตอร์สำหรับขับเคลื่อนมอเตอร์เหนี่ยวนำ", วิทยานิพนธ์วิศวกรรมศาสตรมหาบัณฑิต สาขาวิศวกรรมไฟฟ้า บัณฑิตวิทยาลัย, สถาบันเทคโนโลยีพระจอมเกล้าเจ้าคุณทหารลาดกระบัง. 2534.
- [23] S. Sae-Sue, Ch. Charumit, V. Kinnares and S. Potevejkul "Design and Evaluation of an Adaptive Hysteresis band Delta Modulator for VSI." Proc. IPEC'99, Singapore, May, 1999. pp. 661-666.
- [24] S. Sae-Sue V. Kinnares, Ch. Tangsiriworakul, and S. Potevejkul, "Comparative Performance Evaluation of Fixed and Adaptive Hysteresis Band Delta Modulation Technique for UPS." IEEE Proc. Power Electronics and Drive System Conf., vol.2, Hongkong, July 1999. pp. 956-960.
- [25] C.F. Christiansen, M.I. Valla, and C.H. Rivetta, " A Synchronization Technique for Static delta PWM Inverter," IEEE Trans. Ind. on Electron., vol.35, no.4, Nov.1988. pp. 502-507.
- [26] C.F. Christiansen, M.I. Valla, and C.H. Rivetta, "Spectral Analysis of a Synchronized Delta Modulated PWM Inverter," Int.J.Electronics, Vol.63, No.3, pp. 409-418, 1987.

เอกสารอ้างอิง (ต่อ)

- [27] M.A. Rahman, J.E. Quicoe and M.A. Bows and E.S. Lai, "Investigation into optimising high switching frequency regular sampled PWM control for drives and static power converters." IEEE Trans on PE., vol. 143, no. 4, July 1996.
- [28] P.Jain, "Performance of a Single – Stage UPS System for Single-Phase Trapezoidal–Shaped AC-Voltage Supplies." IEEE , Trans. on Power Electron., vol.13, no. 5, September 1998.
- [29] Abdel-Rahim and J.E. Quicoe. "Analysis and Design of a Multiple Feedback Loop Control Strategy for Single-Phase Voltage-Source UPS Inverters." IEEE Trans. on Power Electron., vol. 11, no. 4, July 1996. pp. 532-541.
- [30] M.Pande, H.Jin, "Output Voltage Integral Control Technique for Compensating Nonideal DC Buses in Voltage Source Inverter. " IEEE Trans. on Ind. Electron., vol. 12, no.2, March 1997.
- [31] M.Pande, H. Jin, "Modulated integral Control Technique for Compensating Switch Delays and Nonideal DC Buses in Voltage Source Inverters." IEEE Trans on Ind. Electron., vol. 44, no. 2 April 1997.
- [32] C.L.Philipe, R.D. Harbor. **Feedback Control Systems.** International Editions. New Jersey : Prentice-Hall, Inc. 1988.
- [33] K. Ogata. **Modern Control Engineering.** India : Practice Hall, Inc. 1978.

ภาคผนวก ก

บทความที่ได้รับการตีพิมพ์

ลาดกระบัง

LADKRABANG ENGINEERING JOURNAL

ปีที่ 19 ฉบับที่ 1

มีนาคม 2545

1. ปรากฏการณ์ความต้านทานเชิงลบแบบควบคุมด้วยแรงดันในซิลิคอนไดโอดชนิด n-i-al injection gate
ชลิดา จรรย์หาญ สมเกียรติ ศุภเดช 1
2. การสังเคราะห์ชั้นความนำไฟฟ้าจากฟิล์มเพชรชนิดอินทรินซิกด้วยวิธี H-termination
พีระวุฒิ ชันวรรังสี วิสุทธิ์ รุติรุ่งเรือง 7
3. วงจรกำลังสองและวงจรถอดรากที่สองโดยใช้แหล่งจ่ายไฟเลี้ยงต่ำ
ชัยวัฒน์ สากุล กอบชัย เดชหาญ วิชัย แซ่ลี 13
4. วงจรทรานสดักต์แกนซัลเฟอร์ที่มีช่วงอินพุตแบบ เรล ทู เรล
วิชัย แซ่ลี อธิพนธ์ ชัยสายัณห์ 19
5. วงจรกรองความถี่แบบนอตช์ที่มีแถบความถี่ศูนย์กลางหยุดที่ 60 Hz โดยใช้วงจรทรานส์คอนดักเตอร์
มนตรี คำเงิน กอบชัย เดชหาญ วิไลพร โอบอ้อม วิษณุ กอพยัคฆินทร์ 25
6. วงจรซิมพลอปแอมป์ที่มีค่าทรานส์คอนดักต์แกนซัลเฟอร์และมีช่วงอินพุตและเอาต์พุตปฏิบัติงานแบบ Rail - to Rail
ชุมชล จิตรนารถทรัพย์ กอบชัย เดชหาญ 30
7. วงจร μ -C อินทิเกรเตอร์โดยอินพุตกระตุ้นที่ขา Bulk ของมอสทรานซิสเตอร์
มนตรี คำเงิน กอบชัย เดชหาญ ชยพล ต้นวงศ์वाल วิษณุ กอพยัคฆินทร์ 35
8. การคำนวณหาสนามการแพร่กระจายคลื่นของสายอากาศไมโครสตรียากี้แถวลำดับ
กิตติพงศ์ เพชรระบูรณิน เจริญ สุรวัดณ์ปัญญา 41
9. การประมาณอัตราการตกของฝนด้วย Wind Profiler ในย่านความถี่ UHF
กิตติชัย วิเศษศิริ ชัยวัฒน์ สมบูรณ์ลาภ นิภา ลีลาจรจิ ณรงค์ เหมกรณ์ 47
10. การปรับปรุง line code 2B1Q ในการเข้ารหัสเพื่อเพิ่มประสิทธิภาพการรับส่งข้อมูล
อภิชาติ เลิศศุภศาสตร์ กอบชัย เดชหาญ พิเชษฐ ม่วงนวล 53
11. การหาช่วงเวลาตัดกระแสเกินในระบบไฟฟ้าขนาดใหญ่โดยใช้โครงข่ายประสาทเทียม
ชายชาญ ไพธิสาร สมชาติ จิรวิภากร ศุภี บรรจงจิตร 59
12. การวิเคราะห์ความแตกต่างระหว่างกระแสอินรีชและฟอลต์ของหม้อแปลงด้วยการแปลงเวฟเล็ดแบบเต็มหน่วย
เกรียงไกร กิตติวรารุณี อานันท์วัฒน์ คุณากร ศุภี บรรจงจิตร 65
13. การวิเคราะห์บุสท์คอนเวอร์เตอร์ที่ป้อนด้วยแรงดันฟูลเวฟ
ชนนวรรณ หัวหาญ วิริยะ พิเชษฐจำเริญ 71
14. การจำลองการควบคุมแรงบิดโดยตรงของมอเตอร์เหนี่ยวนำสามเฟส
อาจ เกษภาษา กำพล ศิริจันทร์พงศ์ วิจิตร กิณเรศ 77
15. การออกแบบและวิเคราะห์ 1 เฟส เบลต์ดรัมมอเตอร์เฟดดิบลิวเอ็มอินเวอร์เตอร์ที่มีการคงค่าแรงดันเอาต์พุต
คมสัน กลีบบัว วิจิตร กิณเรศ 83
16. 3-เฟส เฟดดิบลิวเอ็ม เอช-เอช เมตริกซ์คอนเวอร์เตอร์ในทอแมคคณิตศาสตร์และการแปลความหมายในทางปฏิบัติ
วิโชค ไททองคำ วิริยะ พิเชษฐจำเริญ 89
17. ชุดเครื่องกลไฟฟ้าเพื่อใช้ทดแทนระบบนิวแมติก
ประภาส ไพธิสารณา สาคร วุฒิพัฒน์พันธ์ 95
18. การพยากรณ์โดยเทคนิคการเฉลี่ยน้ำหนักของข้อมูลแต่ละค่าเท่า ๆ กันและเทคนิคการทำให้เรียบแบบเอกโพแนนเชียล
นฤมล ชังเกียรติตระกูล สมชาติ จิรวิภากร 101
19. การตรวจหาเลนด้วยการยึดและหดแม่แบบ
เกษตร์ ศิริสันติสัมฤทธิ์ กมลจิติ กุลสงค์ 107
20. การรู้จักอักษรพิมพ์ภาษาไทยโดยวิธีการติดตามทิศทางเคลื่อนที่ของเส้นโครงร่าง
นิคม เสาวดี เพิ่มพล กุดจอมศรี ทรงชัย วีระทวีมาศ 113
21. การแบ่งงานแบบถ่วงน้ำหนักบนระบบประมวลผลขนาน PVM
ทิวา จารณศรี บรรจง ปิยะธำรง 119
22. การบีบอัดข้อมูลของการเข้ารหัสแบบการสูญเสียต่ำที่มีความซับซ้อนต่ำ
กอบชัย เดชหาญ สายนำฝน หอมจันทร์ นภัทร สระเอี่ยม อัครพล ตริรัตน์ 125
23. การประยุกต์ใช้งานไมโครคอนโทรลเลอร์บนเครือข่าย
สุรัชย์ จันทร์ฉาย กอบชัย เดชหาญ สุจินต์ วัฒนพิทักษ์พงศ์ 131
24. การออกแบบโปรแกรมเพื่อใช้คอมพิวเตอร์พกพาเชื่อมต่อเพื่อแสดงผลและสั่งการควบคุมระบบอุตสาหกรรม
ทวีชัย คำศรี กอบชัย เดชหาญ สรรพสิทธิ์ ทองมี 137

การออกแบบและวิเคราะห์ 1 เฟส เดลต้ามีอดจูเลต พีดีบีบลิวเอ็มอินเวอร์เตอร์ที่มีการคงค่าแรงดันเอาต์พุต

Design and Analysis of 1- ϕ Delta Modulated PWM Inverter with Regulated Output Voltage

คมสัน กลีบบัว วิจิตร กิณเรศ

ภาควิชาวิศวกรรมไฟฟ้า คณะวิศวกรรมศาสตร์ สถาบันเทคโนโลยีพระจอมเกล้าเจ้าคุณทหารลาดกระบัง

บทคัดย่อ

ในบทความนี้ ได้นำเสนอเทคนิคการควบคุมเดลต้ามีอดจูเลตพีดีบีบลิวเอ็มที่มีการป้อนกลับแรงดันพีดีบีบลิวเอ็มเอาต์พุตสำหรับแหล่งจ่ายไฟกระแสสลับ โดยเทคนิคนี้จะทำหน้าที่เป็นปริเร็กิวเลเตอร์ (Preregulator) ซึ่งจะช่วยลดผลกระทบที่เกิดจากรีเปิลของแรงดันดีซีเชื่อมโยงอันเนื่องมาจากค่าตัวเก็บประจุที่มีค่าจำกัดและการเพิ่มขึ้นของกระแสโหลด ค่าตัวเก็บประจุของแรงดันดีซีเชื่อมโยงที่น้อยจะส่งผลให้ค่าDPF(Displacement Power Factor), PF(Power Factor) ทางด้านอินพุตสูงขึ้นและความค่าความผิดเพี้ยนรวมของกระแสอินพุต(THD_i) ลดลง จากผลการใช้เทคนิคที่นำเสนอนี้จะทำให้การคงค่าของแรงดันเอาต์พุตดีขึ้นและการตอบสนองทางไดนามิกเนื่องจากการเปลี่ยนแปลงโหลดอย่างฉับพลันดีขึ้นด้วย นอกจากนี้ในระบบยังมีการเพิ่มวงจrp้อนกลับแบบพีไอสำหรับการควบคุมรูปนอกซึ่งช่วยในการคงค่าแรงดันและลดระยะเวลาในการฟื้นตัวทางด้านเอาต์พุตเพื่อปรับปรุงสมรรถนะในการทำงานของระบบให้ดียิ่งขึ้น ในบทความนี้ได้มีการตรวจสอบสมรรถนะของระบบที่นำเสนออย่างละเอียด

Abstract

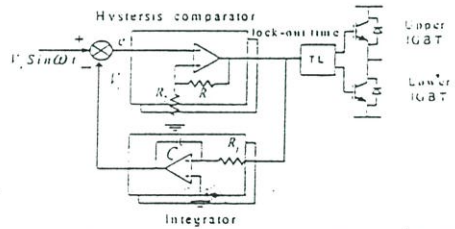
This paper presents a control technique of 1- ϕ delta modulated PWM inverter having PWM output voltage feedback for ac power supplies. This technique is used as a preregulator which compensates for effect of dc link voltage ripple on output voltage due to a finite capacitor and an increase in load currents. Low value of dc link capacitor causes increased displacement power factor (DPF) and increased input power factor (PF), and decreased total harmonic distortion of input current (THD_i). As a result, output voltage regulation is improved. Dynamic response due to a step load change is also improved. Furthermore PI controller is included for outer loop control for system performance improvement. In this paper, the performance investigation of the proposed system is fully given.

1. บทนำ

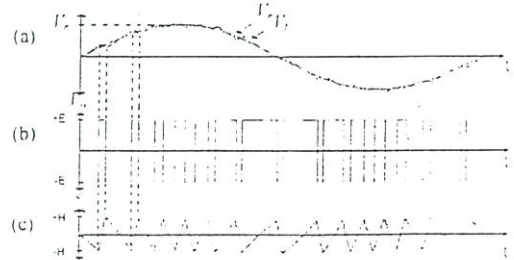
ในปัจจุบันได้มีการพัฒนาอินเวอร์เตอร์ทางด้านเทคนิคของการควบคุมสัญญาณที่ดับปลิวเอ็มหลากหลายมากขึ้น ซึ่งแต่ละเทคนิคนั้นมีข้อดีและข้อเสียแตกต่างกันไป ถึงแม้ว่าเทคนิคดังกล่าวจะมีการใช้งานได้อย่างกว้างขวางก็ตาม เกล็ดำมีอดคู่เลขันก็ยังเป็นอีกเทคนิคหนึ่งที่ใช้ในการสร้างสัญญาณที่ดับปลิวเอ็ม สำหรับอินเวอร์เตอร์ที่ให้เอาท์พุทเป็นรูปคลื่นไซน์ ซึ่งสามารถลดทอนฮาร์โมนิกส์อันดับต่ำและง่ายต่อการควบคุมเอาท์พุทของอินเวอร์เตอร์ โดยข้อดีของเทคนิคเกล็ดำมีอดคือสามารถสร้างรูปคลื่นที่ดับปลิวเอ็มที่มีการปรับเปลี่ยนความถี่และแรงดันเอาท์พุทได้ โดยการเปลี่ยนความถี่หรือแอมพลิจูดของสัญญาณไซน์อ้างอิง[1-4] ดังนั้นจึงได้นำเทคนิคดังกล่าวมาใช้กับอินเวอร์เตอร์ โดยทั่วไปแล้ววงจรหลักของ AC/DC/AC คอนเวอร์เตอร์ที่ใช้ในงานแหล่งจ่ายไฟเอซีประกอบด้วยส่วนของคอนเวอร์เตอร์(Converter) และ อินเวอร์เตอร์(Inverter) ซึ่งในส่วนของคอนเวอร์เตอร์นี้จะประกอบด้วยตัวเก็บประจุสำหรับแรงดันดีซีเชื่อมโยง หากว่าค่าตัวเก็บประจุที่ใช้มีค่ามากจะส่งผลทำให้ค่า DPF (Displacement Power Factor) ของรูปคลื่นกระแสต่ำและตัวประกอบกำลัง(PF) ต่ำลงเช่นกัน[4] แต่ถ้าค่าตัวเก็บประจุมีค่าน้อยจะส่งผลให้แรงดันดีซีเชื่อมโยงเกิดริบเบิลมาก จึงทำให้กระแสเอาท์พุทไม่เป็นรูปคลื่นไซน์และจะมีผลต่อสมรรถนะของอินเวอร์เตอร์ เพื่อแก้ไขปัญหาที่เกิดขึ้นดังกล่าวบทความฉบับนี้จึงได้นำเสนอเทคนิคเกล็ดำมีอดที่มีการป้อนกลับแรงดันที่ดับปลิวเอ็มเอาท์พุท ซึ่งเทคนิคนี้จะชดเชยแรงดันเอาท์พุทมูลฐาน (Fundamental Output Voltage) ให้คงที่ไม่เปลี่ยนแปลงของริบเบิลและยังสามารถปรับปรุ่ค่า DPF, PF ของกระแสอินพุทให้ดีขึ้นด้วย อีกทั้งยังมีการตรวจสอบการทำงานของวงจรที่ได้ออกแบบขึ้นเพื่อคุณสมบัติของอินเวอร์เตอร์การลดผลกระทบของริบเบิลเมื่อค่าตัวเก็บประจุมีค่าต่ำ การคงค่าแรงดันเอาท์พุทและการตอบสนองของระบบ

2. เทคนิคเกล็ดำมีอดที่ไม่มีการป้อนกลับ

เทคนิคนี้จะใช้สัญญาณป้อนกลับจากวงจรควบคุมแทนที่จะเป็นวงจรกำลัง หลักการทำงานของเทคนิคเกล็ดำมีอดที่ไม่มีการป้อนกลับสามารถอธิบายด้วยบล็อกไดอะแกรมตามรูปที่ 1 โดยสัญญาณไซน์อ้างอิง(V_r) จะถูกนำมาเปรียบเทียบกับสัญญาณป้อนกลับ(V_f)ที่เกิดจากวงจรอินทิเกรท ซึ่งจะทำให้เกิดผลต่างระหว่างสัญญาณ(V_r) และ (V_f) เกิดเป็นสัญญาณ error จากนั้นสัญญาณ errorจะผ่านวงจร Hysteresis Comparatorทำให้เกิดพัลส์ที่ดับปลิวเอ็มจากรูปที่ 2(a)แสดงสัญญาณป้อนกลับ(V_f)ที่ได้จากการการอินทิเกรทสัญญาณที่ดับปลิวเอ็ม ซึ่งจะเคลื่อนที่เกาะติดตามสัญญาณไซน์อ้างอิง(V_r)อยู่ระหว่างขอบเขตฮิสเตอร์รีซิสด้วยความกว้างของฮิสเตอร์รีซิส($\pm H$) รูป2(b) เป็นรูปสัญญาณที่ดับปลิวเอ็มที่ใช้ในการขับเกทของอุปกรณ์สวิทชิง รูปที่ 2(c) เป็นสัญญาณ error ที่เกิดจากการเปรียบเทียบระหว่างสัญญาณ(V_r) และ (V_f) จากรูปที่ 3 แสดงลักษณะการเกิดพัลส์ของเทคนิคเกล็ดำมีอดซึ่งรายละเอียดของการหาค่าเวลาของพัลส์ สามารถดูได้จาก [4-6] โดยที่ค่าของพัลส์บวกนั้นสามารถแสดงได้ดังสมการที่ 1

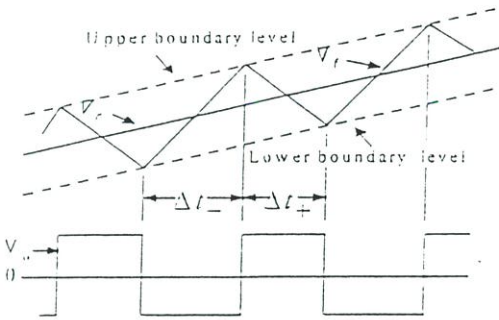


รูปที่ 1 บล็อกไดอะแกรมของเทคนิคเกล็ดำมีอดที่ไม่มีการป้อนกลับสำหรับอินเวอร์เตอร์ชนิดแหล่งจ่ายแรงดัน



รูปที่ 2 รูปคลื่นเกล็ดำมีอดที่ไม่มีการป้อนกลับ

- (a) สัญญาณไซน์อ้างอิง (V_r) และสัญญาณป้อนกลับ (V_f)
- (b) สัญญาณที่ดับปลิวเอ็ม
- (c) ผลต่าง (error) ของ (V_r) และ (V_f)



รูปที่ 3 ค่าเวลาการเกิดพัลส์ของเทคนิคเคลด้ามือคดูเลชั่น

$$\text{เมื่อ } \Delta t_+ = \frac{2H}{K \left(\frac{V_{dc}(t)}{G} \right) \times \left[1 - \frac{V_r \omega_r \cos(\omega_r t)}{K \left(\frac{V_{dc}(t)}{G} \right)} \right]} \quad (1)$$

โดยที่ Δt_- คือค่าเวลาของพัลส์บวก

H คือค่าความกว้างของฮิสเตอร์รีซิส $\left(\frac{R_2 E}{R_2 - R_3} \right)$;

พารามิเตอร์จากวงจรรูปที่ 1

K คือค่าเวลาคงที่ของอินทิเกรทเท่ากับ $\left(\frac{1}{R_1 C} \right)$;

พารามิเตอร์จากวงจรรูปที่ 1

$\left(\frac{V_{dc}(t)}{G} \right)$ คือค่าแรงดันสวิทช์ซึ่งป้อนกลับ

V_r คือค่าแอมพลิจูดของสัญญาณไซน์อ้างอิง

ω_r คือความเร็วเชิงมุม $2\pi f$

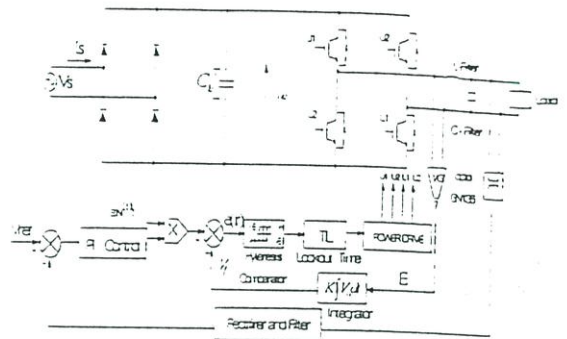
V_f คือสัญญาณป้อนกลับของสัญญาณไซน์อ้างอิง

ในขณะที่ค่าเวลาของพัลส์ลบ คือ

$$\Delta t_- = \frac{2H}{K \left(\frac{V_{dc}(t)}{G} \right) \times \left[1 + \frac{V_r \omega_r \cos(\omega_r t)}{K \left(\frac{V_{dc}(t)}{G} \right)} \right]} \quad (2)$$

โดยที่ Δt คือค่าเวลาของพัลส์ลบ ดังนั้นค่าคาบเวลาของพัลส์แสดงดังสมการที่ 3

$$\Delta t_+ + \Delta t_- = \frac{4H}{K \left(\frac{V_{dc}(t)}{G} \right) \times \left[1 - \frac{(V_r \omega_r \cos(\omega_r t))^2}{\left(K \left(\frac{V_{dc}(t)}{G} \right) \right)^2} \right]} \quad (3)$$



รูปที่ 4 บล็อกไดอะแกรมของวงจรเคลด้ามือคดูเลชั่นที่มีการป้อนกลับแรงดันที่ดับปลิวเอ็มเอท์พุทและการควบคุมแบบพีไอ

3. เทคนิคเคลด้ามือคดูเลชั่นที่มีการป้อนกลับแรงดันที่ดับปลิวเอ็มเอท์พุท

หลักการทํางานของเทคนิคที่นำเสนอ แสดงได้ดังรูปที่ 4 โดยในส่วนแรกจะเป็นส่วนของวงจรเรียงกระแสแบบ full bridge ที่มีตัวเก็บประจุ (C_{dc}) ทำหน้าที่เป็นฟิลเตอร์กรองแรงดันให้เรียบ ซึ่งเมื่อใช้ตัวเก็บประจุที่มีค่าน้อยจะทำให้เกิดริบเบิลมากในขณะที่โหลดเพิ่มขึ้นเป็นผลให้แรงดันเอาท์พุทที่ดับปลิวเอ็มเอท์พุทเพื่อตามริบเบิลของแรงดันดีซีเชื่อมโยง จากปัญหาดังกล่าวจึงได้นำผลการเปลี่ยนแปลงของระดับแรงดันที่ดับปลิวเอ็มเอท์พุทมาป้อนกลับ โดยใช้อุปได้เป็นตัวตรวจจับแรงดันที่ป้อนเข้าวงจรอินทิเกรทและถือว่าเป็นอัตราขยายเกน ($1/G$) ดังนั้นจะได้ว่า

$$E = \frac{V_{dc}(t)}{G} \quad (4)$$

เมื่อแรงดันสวิทช์ซึ่งป้อนกลับผ่านวงจรอินทิเกรทเป็นสัญญาณป้อนกลับ (V_f) นั้นจะมีการปรับตัว เพื่อให้เกาะติดกับสัญญาณ ไซน์อ้างอิงตลอดเวลา จากสมการ(1)และ(2) จะเห็นได้ว่าค่าระดับแรงดันสวิทช์ซึ่งป้อนกลับ (E) (มีค่าเท่ากับ V_{cc} ของคอมพารเตอรในกรณีของเคลด้ามือคดูเลชั่นที่ไม่มีการป้อนกลับ) ของเคลด้ามือคดูเลชั่นที่มีการป้อนกลับแรงดันที่ดับปลิวเอ็มเอท์พุทจะมีผลของแรงดันดีซีเชื่อมโยงและผลกระทบของริบเบิลรวมอยู่ด้วย จากผลที่กล่าวมาข้างต้นจะทำให้ค่าเวลาของพัลส์กว้างมากขึ้นซึ่งเป็นการปรับเพิ่มการมอดูเลตตามแรงดันดีซีเชื่อมโยงที่ตกไป จึงทำให้แรงดันเอาท์พุทมูลฐานเพิ่มขึ้น เพื่อชดเชยแรงดันที่ตกไปให้คงที่

จึงทำให้เทคนิคนี้สามารถลดผลกระทบริบเบิลของแรงดัน
ลิซีเชื่อม โยงที่มีต่อแรงดันเอาต์พุตและสมรรถนะของ
ระบบได้

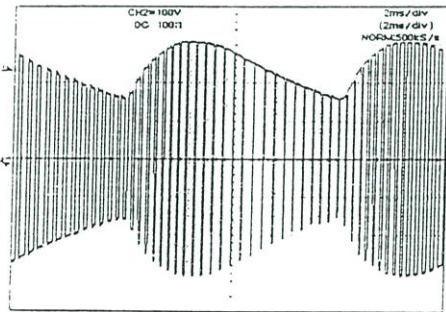
4. ตัวอย่างการออกแบบ

ในการออกแบบกำหนดให้ควมถี่สวิชิ่งมีค่าเท่ากับ 10 kHz และค่าดัชนีการมอดเริ่มที่ 0.8 โดย $V_p = 10V$, $K_p = 400$, $K_r = 0.1$, $R = 25k\Omega$, $C = 0.1\mu F$, $G = 30$, Ripple = $90V(p-p)$.

$V_{dc} = 300V$, $C_{output\ filter} = 200\mu F$, $L_{output\ filter} = 70\text{ mH}$

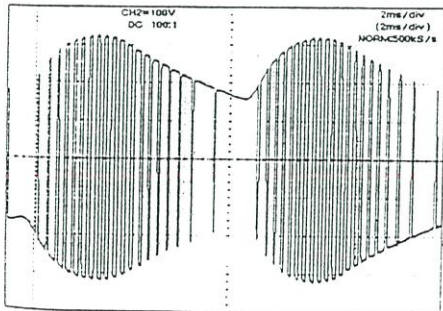
5. ผลการทดลอง

ในการทดลองได้มีการออกแบบวงจรควบคุมตาม
ค่าที่ได้กำหนดไว้ในข้างต้น โดยได้ทำการทดสอบ
สมรรถนะทางด้านเอาต์พุตให้ผลดังต่อไปนี้



สเกล x:2 ms/div, y:100 v/div

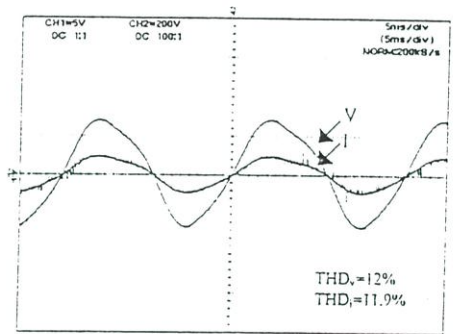
รูปที่ 5 แรงดันที่ดับบลิวเอ็มเอาต์พุตของเซลล์มอดที่
ไม่มีการป้อนกลับ ($C_{dc} = 330\ \mu F$, $I_L = 4.6\ A$)



สเกล x:2 ms/div, y:100 v/div

รูปที่ 6 แรงดันที่ดับบลิวเอ็มเอาต์พุตของเซลล์มอดที่
มีการป้อนกลับ ($C_{dc} = 330\ \mu F$, $I_L = 4.6\ A$)

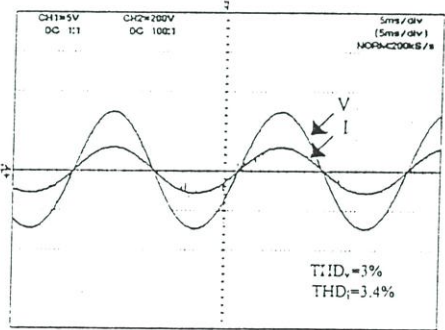
รูปที่ 5 และ 6 เป็นผลการทดสอบที่สภาวะโหลด
เดียวกันจะพบว่าเมื่อเกิดริบเบิลมากขึ้น จากผลที่กล่าวใน
ข้างต้นเซลล์มอดที่มีการป้อนกลับแรงดันที่ดับบลิวเอ็ม
เอาต์พุตจะมีการขยายของเนื้อพัลส์เพื่อเกาะติดสัญญาณ
ไซน์อ้างอิงซึ่งจะเป็นการรักษาแรงดันเอาต์พุตมูลฐานให้
คงที่โดยทดลองที่ความถี่สวิชิ่งที่ 1 kHz เพื่อให้เห็นถึงการ
ขยายตัวของเนื้อพัลส์อย่างชัดเจนเมื่อเกิดริบเบิลขึ้นตาม
ทฤษฎีและเทคนิคที่นำเสนอ



สเกล x:5 ms/div, y:100 v/div

รูปที่ 7 กระแสและแรงดันเอาต์พุตของเซลล์มอดที่
ไม่มีการป้อนกลับเมื่อผ่านฟิลเตอร์

($C_{dc} = 330\ \mu F$, $I_L = 4.6\ A$)



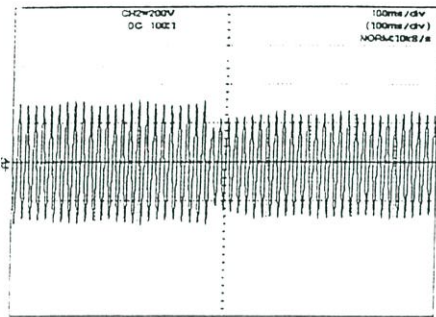
สเกล x:5 ms/div, y:100 v/div

รูปที่ 8 กระแสและแรงดันเอาต์พุตของเซลล์มอดที่มี
การป้อนกลับเมื่อผ่านฟิลเตอร์

($C_{dc} = 330\ \mu F$, $I_L = 4.6\ A$)

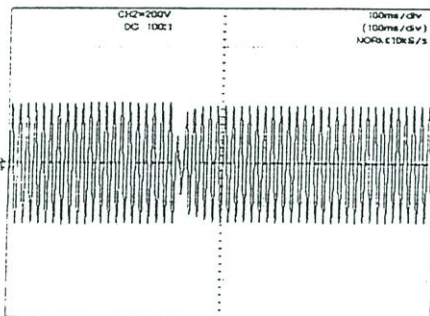
รูปที่ 7 และ 8 เป็นรูปคลื่นกระแสและแรงดันทาง
ด้านเอาต์พุตของอินเวอร์เตอร์สำหรับ Resistive Load ที่
มีการเปรียบเทียบระหว่างเทคนิคเซลล์มอดที่ไม่มีการ
ป้อนกลับและเทคนิคเซลล์มอดที่มีการป้อนกลับแรงดัน

ที่ดัดแปลงแล้ว จะเห็นได้ว่าเทคนิคเคลด้ามีอดที่มี การป้อนกลับแรงดันที่ดัดแปลงแล้วสามารถชดเชย แรงดันเอาต์พุตและลดผลกระทบที่เกิดจากรีเบิ้ลได้ส่งผล ให้เป็นรูปคลื่นไซน์ดีขึ้นและทำให้ค่า THD_v และ THD_i ต่ำลง



สเกล x:100 ms/div, y:100 v/div

รูปที่ 9 แรงดันเอาต์พุตอินเวอร์เตอร์ของเคลด้ามีอดที่มี ไม่มีการป้อนกลับ ($C_{dc} = 330 \mu F, I_L = 4.6 A$)



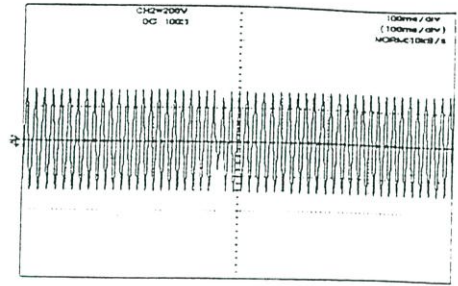
สเกล x:100 ms/div, y:100 v/div

รูปที่ 10 แรงดันเอาต์พุตอินเวอร์เตอร์ของเคลด้ามีอดที่มี การป้อนกลับ ($C_{dc} = 330 \mu F, I_L = 4.6 A$)

เมื่อทำการทดสอบอินเวอร์เตอร์ทั้งสามแบบ โดย ให้มีการเปลี่ยนโหลดอย่างฉับพลันที่ 0% เป็น 100% จาก รูปที่ 9, 10 และ 11 จะเห็นได้ว่าเคลด้ามีอดที่มี การป้อนกลับ แรงดันที่ดัดแปลงแล้วจะมีการรักษาระดับแรงดัน เอาต์พุตได้ดีกว่าเคลด้ามีอดที่ไม่มี การป้อนกลับ แต่เมื่อมี การทำงานร่วมกับการป้อนกลับแบบพีไอแล้วจะช่วยให้ การรักษาระดับแรงดันเอาต์พุตและลดระยะเวลาในการฟื้น ด้วได้เร็วกว่าแบบอื่นๆ (ประมาณ 60 ms)

จาก รูปที่ 12 และ 13 ที่ โหลดคงที่เป็นผลการ ทดสอบการเปลี่ยนค่าตัวเก็บประจุที่แรงดันดีซีเชื่อมโยง ผล

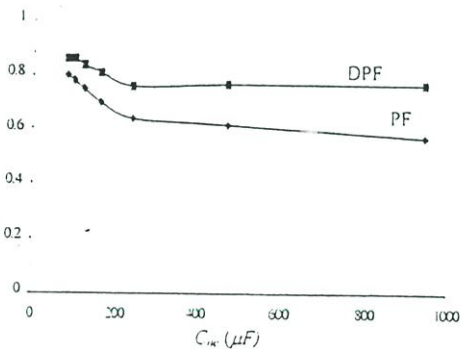
จากการทดลองจะพบได้ว่า เมื่อตัวเก็บประจุมีค่าที่จะส่งผล ให้ DPF และ PF มีค่าสูงขึ้น แต่ THD ของกระแสอินพุต นั้นจะมีค่าต่ำลงเนื่องจากกระแสอินพุตเป็นรูปคลื่น ไซน์ มากขึ้น ซึ่งจะส่งผลกระทบต่อกระแสและแรงดันทางเอาต์ พูตรวมถึงสมรรถนะของระบบคั้งที่กล่าวมาในข้างต้น



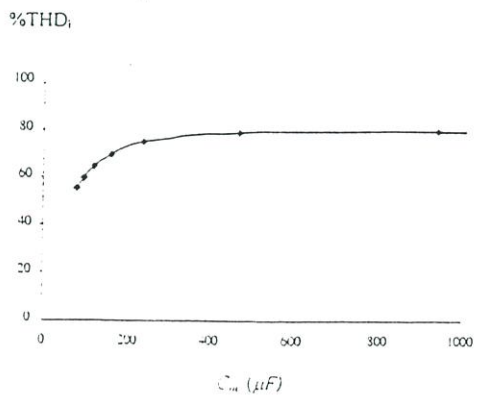
สเกล x:100 ms/div, y:100 v/div

รูปที่ 11 แรงดันเอาต์พุตอินเวอร์เตอร์ของเคลด้ามีอดที่มี การป้อนกลับร่วมกับการควบคุมแบบพีไอ

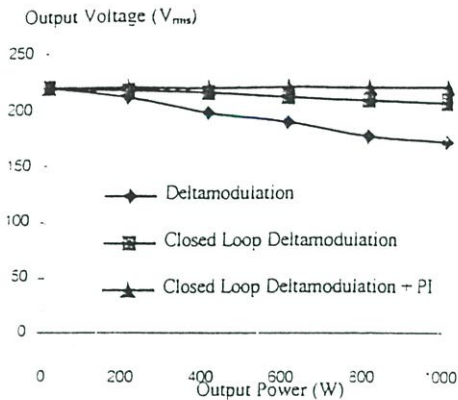
$$(C_{dc} = 330 \mu F, I_L = 4.6 A)$$



รูปที่ 12 กราฟความสัมพันธ์ DPF , PF ของกระแสอินพุต เมื่อค่าตัวเก็บประจุเปลี่ยนไป



รูปที่ 13 กราฟความสัมพันธ์ THD ของกระแสอินพุต เมื่อค่าตัวเก็บประจุเปลี่ยนไป



รูปที่ 14 กราฟความสัมพันธ์ระหว่างแรงดันเอาต์พุตทั้ง 3 เทคนิคกับ โหลดที่เปลี่ยนไป ($C_{dc} = 330 \mu F$)

จากกราฟที่ 14 เมื่อทำการทดสอบโดยการเพิ่ม โหลดทีละสเต็ป จะเห็นได้ว่าปริเร็กทิวเลเตอร์จะสามารถ รักษาแรงดันเอาต์พุตได้ดีกว่าเซลล์ที่มีออดที่ไม่มีการ ป้อนกลับ แต่ไม่ดีเท่าที่ควรเนื่องจากปริเร็กทิวเลเตอร์ที่ ตรวจสอบสัญญาณแรงดันพีดับบลิวเอ็มเอาต์พุตซึ่งอยู่ก่อน ฟิลเตอร์จึงไม่สามารถที่รักษาแรงดันเอาต์พุตที่โหลด ได้เท่าที่ควร แต่เมื่อมีการทำงานร่วมกับการป้อนกลับแบบ พีไอจะมีการรักษาแรงดันเอาต์พุตที่โหลดให้คงที่ได้

6. สรุปผลการทดลอง

จากผลการทดลองของวงจรเซลล์ที่มีออดที่มีการ ป้อนกลับแรงดันพีดับบลิวเอ็มเอาต์พุตสามารถลดผลกระทบที่เกิดจากริปเปิลของแรงดันดีซีเชื่อมโยงและยัง รักษาแรงดันเอาต์พุตให้คงที่ ดังนั้นจึงถือว่าเป็น ปริเร็กทิวเลเตอร์ และเมื่อไปทำงานร่วมกับการป้อนกลับ แบบพีไอจะยังคงรักษาแรงดันเอาต์พุตที่โหลดให้ คงที่และยังช่วยลดระยะเวลาในการฟื้นตัวให้เร็วขึ้นในขณะที่ มีการเปลี่ยนแปลงโหลดฉับพลันและจากผลของการใช้ เทคนิคเซลล์ที่มีออดที่มีการป้อนกลับแรงดันพีดับบลิวเอ็ม เอาต์พุตทำให้สามารถลดค่าและขนาดของตัวเก็บประจุที่ แรงดันดีซีเชื่อมโยงให้ต่ำลงได้ ซึ่งจากที่กล่าวในข้างต้นจะ ทำให้ค่า DPF และ PF มีค่าสูงขึ้นแต่ THD ของกระแส อินพุตนั้นจะมีค่าต่ำลงตามผลการทดลองที่แสดงดังรูปที่ 12 และ 13 โดยบทความนี้เป็นารนำเสนอเทคนิคการควบคุม

เซลล์ที่มีออดสำหรับควบคุมอินเวอร์เตอร์หนึ่งเฟสที่ช่วยใน การชดเชยและลดระยะเวลาในการฟื้นตัวทางด้านแรงดัน เอาต์พุตให้ดีขึ้นและการรักษาแรงดันเอาต์พุตที่ โหลดให้คงที่

7. เอกสารอ้างอิง

- [1] N. Abdel-Rahim and J.E. Quaicoe, "A Single-Phase Delta-Modulated Inverter for UPS Application," IEEE Trans. Ind. Electronics., Vol. 40, No. 3, pp. 347-354., June 1993.
- [2] M.A. Rahman, J.E. Quaicoe and M.A. Bows and E.S. Lai. "Investigation into optimising high switching frequency regular sampled PWM control for drives and static power converters," IEEE Trans. PE., Vol. 143, No. 4, July 1996.
- [3] M.A. Rahman, J.E. Quaicoe and M.A. Choundhury, "Performance Analysis of Delta PWM Inverters," IEEE Trans. Power Electron., Vol. PE-2, pp. 227-233, July 1987.
- [4] P.D. Ziogas. "The Delta modulation technique in static PWM inverters." IEEE Trans. Ind. Applicat., Vol. IA-17, pp. 199-204. Mar./Apr. 1981.
- [5] S. Sae-Sue, Ch. Charumit, V. Kinnares and S. Potevejkul "Design and Evaluation of an Adaptive Hysteresis band Delta Modulator for VSI," Proc. IPEC'99 Singapore, pp. 661-666, May. 1999.
- [6] C.F. Christiansen, M.I. Valla and C.H. Rivetta. "A synchronization technique for static delta PWM inverters." IEEE Trans. Ind. Electron., Vol.35 No.4, pp. 502-507. Nov.1988.

POWERCON 2000

Proceedings

4 - 7 December 2000

The University of Western Australia

Perth, Australia

2000 International
Conference on
Power System
Technology

Volume I

General Chair/Editors

Ki-Po Wong

Qi Su

Bob Stewart

Xiaoxin Zhou



IEEE
Networking the World



Design and Analysis of Delta Modulated PWM Inverter with regulated output voltage for 1- ϕ Induction Motor Drives

S. Sae-Sue, Student Member, IEEE

Dept. of Electrical Engineering, Faculty of Engineering, Mahanakorn University of Technology, Nongchok, Bangkok, 10530, Thailand.

V. Kinnares K. Sirichanpong and K. Kleebua
Dept. of Electrical Engineering, Faculty of Engineering, King Mongkut's Institute of Technology Ladkrabang, Bangkok, 10520, Thailand

Abstract: This paper proposes the analysis and design of a delta modulated PWM voltage source inverter having feedback output voltage for 1- ϕ induction motor drives. This technique offers good advantages over a conventional delta modulated PWM technique in terms of remaining output voltage fairly constant under variations in load conditions and reducing capacitor value of a dc link filter. DC link ripple is inevitable, especially for finite LC or C filters at heavy load conditions. Consequently, output voltage is reduced thus, decreasing fundamental flux level in induction motors. The proposed technique can overcome such problems. The practical performance evaluation has been made over a wide range of operating conditions.

Keywords: Delta Modulated PWM, Induction Motors, regulated output voltage source inverter.

I. INTRODUCTION

Static voltage source inverters (VSI) employ various PWM techniques to improve the quality of the load voltage [1]. This has led directly to a reduction in the size and weight of the filter components for UPS applications and a reduction in machine losses and other undesirable effects such as torque ripple for drive applications. Although these techniques have been successfully implemented for a wide range of applications, they suffer from complex control circuitry and moderate voltage utilization ratio. Delta modulation has become an established alternative to sine PWM in inverter application for offering a sinusoidal output with low harmonic contents and ease of control of inverter output voltage [2]-[6]. The synchronised delta modulation technique having fixed switching frequency can be found in [7]. This allows the solution to the unbalanced voltages in a three phase system. However, the circuitry is very complex and difficult. Recently, an adaptive hysteresis band delta modulator has been proposed for improving performance, especially load current ripple [8]. However, there are few papers focusing on regulating fundamental output voltage and applying to induction motor drives. Therefore, this paper contributes this intensive subject.

II. THEORY

Analysis of a conventional delta modulation technique

The principle of operation of the traditional delta modulation can be described with the aid of the block diagram shown in Fig. 1. A reference signal v_r is compared with a feedback signal or a carrier signal v_f , obtained by integrating the modulator output signal (low pass filtering process), to produce an error signal e . According to the sign

and predetermined magnitude of e , the output of the modulator has two possible levels $\pm E$, whereas the time duration between two successive levels is determined by the slope of the reference signal.

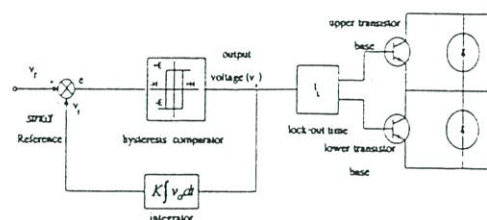


Fig. 1 Block diagram of a simple modulator for PWM VSI

Fig. 2 shows the waveforms at various nodes in the modulator block diagram. It can be seen that the feedback signal tracks the reference signal within the upper and lower boundary levels $\pm H$. From the modulator-operating principle, it can be observed that the output signal is decoded by the integrator in the feedback path.

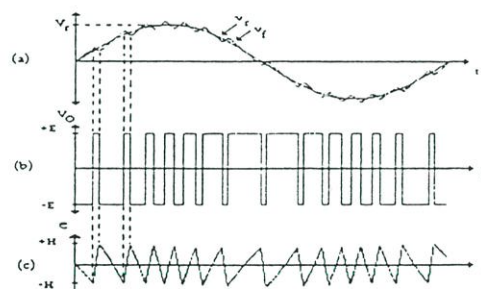


Fig. 2 Delta modulation technique
(a) reference voltage and feedback voltage
(b) PWM signal with the variation of switching frequency
(c) error signal with fixed hysteresis band $\pm H$

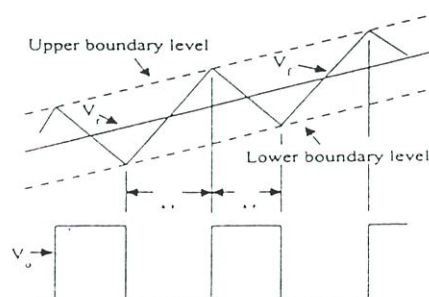


Fig. 3 Extended delta modulation wave forms

The mathematical expressions for a parametric model can be derived. The more detail of the analysis can be found in [7]. From Fig. 3, the positive pulse time is:

$$\Delta t_+ = \frac{2H}{KE[1 - \frac{V_r \omega_r \cos(\omega_r t)}{KE}]} \quad (1)$$

Where

- H : Fixed hysteresis band
- K : Integrator time constant
- E : Supply voltage
- V_r : Amplitude of reference signal
- ω_r : Reference angular frequency

Similarly, the negative pulse time is:

$$\Delta t_- = \frac{2H}{KE[1 + \frac{V_r \omega_r \cos(\omega_r t)}{KE}]} \quad (2)$$

Then, the switching period is:

$$\Delta t_+ + \Delta t_- = \frac{4H}{KE[1 - \frac{(V_r \omega_r \cos(\omega_r t))^2}{(KE)^2}]} \quad (3)$$

Generally, a delta modulation technique employs feedback signal from internal gating pattern. This is fairly simple to control. However in order to compensate for effects of dc link voltage ripple, the PWM output voltage will be used in stead of such feedback signal of conventional delta modulation.

III. System Configuration and Operation

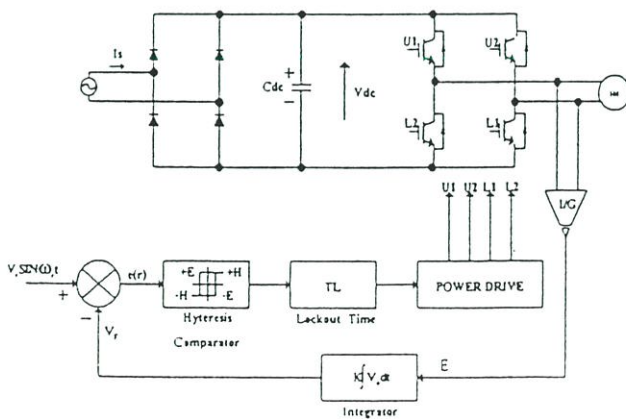


Fig. 4 Block diagram of a control and main power circuit

Fig. 4 illustrates an overall proposed approach. Output voltage is sensed via an isolator with a reduced suitable gain ($\frac{1}{G}$). This feedback signal takes effects of output voltage

levels and ripple into account. This signal emulates internal gating pattern for a conventional delta modulation technique. The feedback signal is fed through the integrator to track the reference signal. From (1) and (2), E is a parameter affecting pulse time. When E is sensed from output voltage which is varied with dc link voltage level and ripple, pulse time will adapt in order to obtain feedback signal tracking the reference signal.

Design Example

System parameters are as follows.

Maximum switching frequency = 1kHz, Modulation index = 0.8 , Peak reference voltage = 10 V, Integrator time constant (K) = 400 (R = 25kΩ, C=0.1μF), Ripple voltage = 90 V_{p-p}, V_{dc} = 300 V, G = 30

IV. Experimental Results

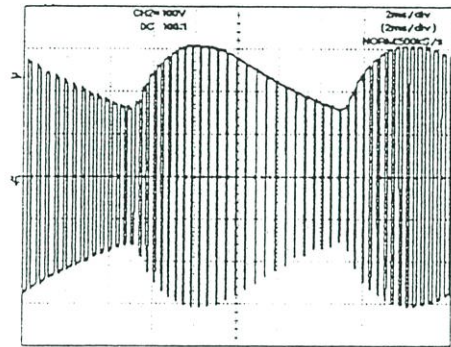


Fig. 5 Output voltage waveform: C_{dc} = 220 μF. (conventional delta modulation)

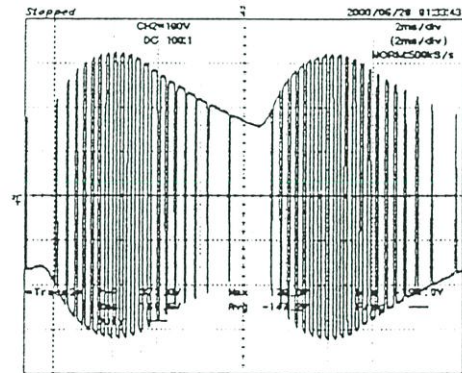


Fig. 6 Output voltage waveform: C_{dc} = 220 μF. (Proposed delta modulation)

As shown in Fig. 5 and Fig. 6 clearly, in contrast, at the same load condition, delta modulation with feedback output voltage will adapt pulse width particularly at the trough of ripple for keeping the fundamental output voltage constant in order to compensate for effects of ripple. The increased pulse width can be clearly considered from (1). The decreased output voltage results in an increase in pulse time due to a decrease in E levels. Increasing pulse width will be adapted automatically in order to keep output of the integrator

(v_r) to track the reference signal. By this way, the fundamental output voltage will remain fairly constant. Fig. 7, Fig. 8 and Fig. 9 show a change in output voltage spectra during various load conditions and fundamental frequency of 50 Hz. It can be seen that at a heavy load condition, harmonic sidebands move closer to the fundamental component. Moreover at increased load, lower order harmonics will appear. These confirm that when increasing load level, pulse width is increased for compensating for decreased output voltage and ripple. Fig. 10 and Fig. 11 illustrate how the proposed technique keep fundamental output voltage fairly constant as varying loads, compared with a conventional delta modulation technique. The proposed technique provides better voltage regulation over a conventional technique for a lower value of capacitors. This confirms the capability of the proposed technique in terms of compensation for ripple of output voltage and reducing value of a dc link capacitor. Fig. 12 shows motor voltage and current waveforms at 50Hz. Another advantage of a reduction in capacitor size is dynamic response improvement. The further work will investigate motor performance in terms of dynamics response, torque-speed characteristics, etc.

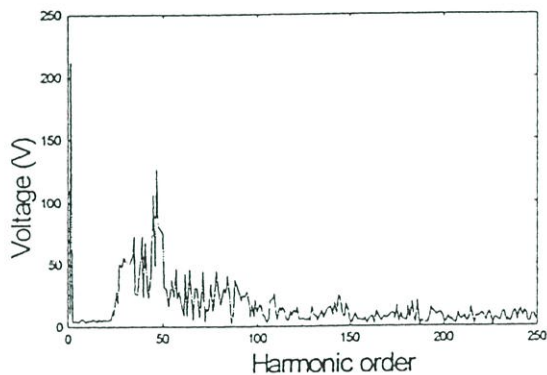


Fig. 7 Spectra of output voltage: $C_{dc} = 220 \mu F$, light load condition

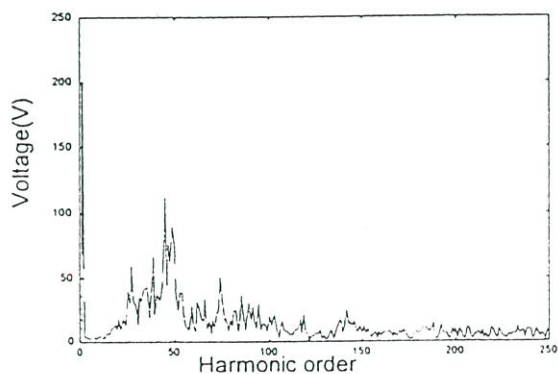


Fig. 8 Spectra of output voltage: $C_{dc} = 220 \mu F$, medium load condition

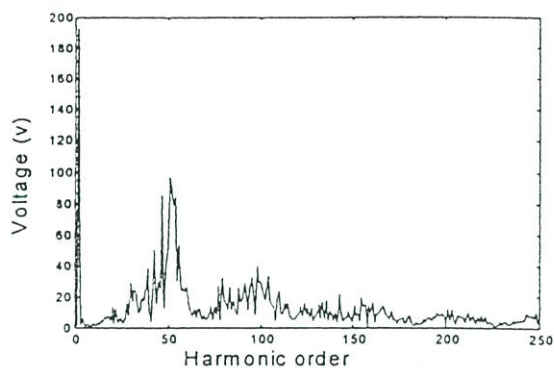


Fig.9 Spectra of output voltage: $C_{dc} = 220 \mu F$, heavy condition

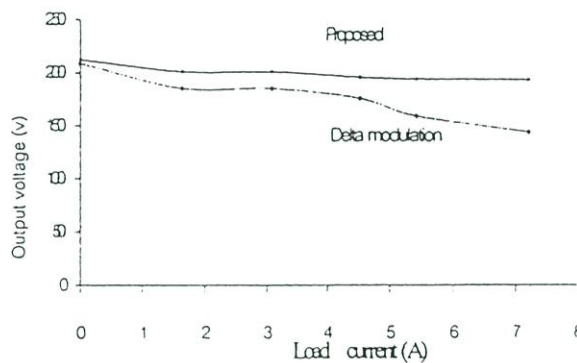


Fig.10 Fundamental output voltage with a variation of current; $C_{dc} = 220 \mu F$

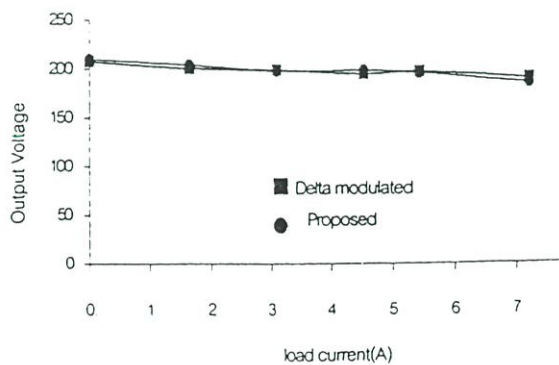


Fig.11 Fundamental output voltage with a variation of current; $C_{dc} = 4700 \mu F$

VII. BIOGRAPHIES

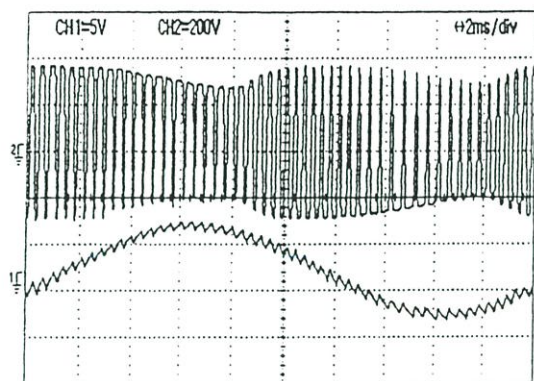


Fig. 12 Motor voltage and current waveforms

V. CONCLUSIONS

This paper has dealt with the analysis and design of a control technique for a single phase delta modulated PWM inverter fed induction motor having feedback output voltage in order to compensate for effects of dc link voltage ripple on output voltage. As a result, some performances have been improved such as output voltage regulation. This helps to reduce the size of the dc link capacitor. Experimental results have proved effective for the proposed approach.

VI. REFERENCES

- [1] Bows and E.S. Lai, "Investigation into optimising high switching frequency regular sampled PWM control for drives and static power converters", *IEEE Trans. on PE.*, Vol. 143, No. 4, July 1996.
- [2] Naser Abdel-Rahim and John E. Quicoe, "A Single-Phase Delta-Modulated Inverter for UPS Application", *IEEE Trans. On Ind. Electronics.*, Vol. 40, No. 3, pp. 347-354., June 1993.
- [3] M.A. Rahman, J.E. Quicoe and M.A Choundhury, "Performance Analysis of Delta PWM Inverters", *IEEE Trans. Power Electron.*, Vol. PE-2, pp. 227-233, July 1987.
- [4] M.A. Rahman, J.E. Quicoe and M.A Choundhury, "Harmonic Minimization in Delta Modulated Inverter Using Tuned Filters", *PESC'88 Record*, April 1988.
- [5] P.D. Ziogas, "The Delta modulation technique in static PWM inverters", *IEEE Trans. Ind. Applicat.*, Vol. IA-17, pp. 199-204, Mar./Apr. 1981.
- [6] Vijit Kinnares, "3- ϕ Delta Modulated PWM Inverter for Induction Motor Drives", Master thesis, KMITL, 1991.
- [7] Christiansen, M.I. Valla, and C.H. Rivetta, "A synchronization technique for static delta PWM inverters" *IEEE Trans. Ind. Electron.*, Vol. 35, No. 4, pp.502-507, Nov. 1988.
- [8] S. Sae-Sue, Ch. Charumit, V. Kinnares, and S. Potevejkul "Design and Evaluation of an Adaptive Hysteresis band Delta Modulator for VSI", *IPEC'99 Record*, Singapore, pp. 661-666, May. 1999.

Dr. Vijit Kinnares received the B.Eng. degree and the M. Eng. degree in electrical engineering from King Mongkut's Institute of Technology Ladkrabang Bangkok Thailand and the Ph. D. degree from the University of Nottingham UK. His research interests include power electronics and electric drives. Currently, he is a lecturer at Dept. of Electrical Engineering, Faculty of Engineering, King Mongkut's Institute of Technology Ladkrabang Bangkok Thailand. e-mail: kkwijit@kmitl.ac.th

Surachart Sae-Sue received the B. Eng. Degree in electrical engineering from Mahanakorn University of Technology Bangkok Thailand. His research interests include power electronics and electric drives. He is also working towards M. Eng. degree at King Mongkut' Institute of Technology Ladkrabang Bangkok Thailand. Currently, he is a lecturer at Dept. of Electrical Engineering, Faculty of Engineering, Mahanakorn University of Technology Bangkok Thailand. e-mail: surachar@mut.ac.th

Kumpon sirichanpong received the B. Eng. degree in electrical engineering from Mahanakorn University of Technology Bangkok Thailand. His research interests include power electronics. He is also working towards M. Eng. degree at King Mongkut' Institute of Technology Ladkrabang Bangkok Thailand.

Khomsan Kleebua received the B.Eng.degree in electrical engineering from Siam University Thailand. His research interests include power electronics. He is also working towards M.Eng. degree at King Mongkut' Institute of Technology Ladkrabang Bangkok Thailand.

ภาคผนวก ข

โปรแกรม MATLAB สำหรับ
การวิเคราะห์คุณภาพของรูปคลื่นพีดับบลิวเอ็ม

```

%-----
%%% Calculation program of parameter of delta modulation technique
%%%
%-----
%%% Input parameter of delta modulation technique
%-----
kk=input('k= ');
fcc=input('fc= ');
vrr=input('Vr= ');
fre=input('f= ');
ee=13.6;
ww1=2*pi*fre;
%-----
pot1=kk*ee/(4*fcc);
pot2=(0.5*vrr^2*ww1^2)/(4*fcc*kk*ee);
pot3=pot1-pot2
%-----
pot4=pot3-pot2;
pot5=pot3+pot2;
pot6=pot5-pot4;
%-----
%%% Parameter of adaptive band
%-----
fprintf('** DC = %e      **\n',pot3)
fprintf('** Amplitude(-)= %e  **\n',pot2)
%-----

%%% Parameter of sine band
%-----
fprintf('** DC = %e      **\n',pot4)
fprintf('** Amplitude(-)= %e  **\n',pot6)
%-----

```

```

%-----
%% Calculation program of quality index of PWM technique
%-----
st=input(' Input voltage data ');
st1=abs(fft(st(1:length(st)))/round((length(st)/2)));
st2=st1(2:round((length(st)/2)));
%-----
inn=input(' Input current data ');
inn1=abs(fft(inn(1:length(inn)))/round((length(inn)/2)));
in=inn1(2:round((length(inn)/2)));
%-----
zer=0;
for i=1:length(st);
    if st(i)>0;
        sw(i)=200;
    else
        sw(i)=0;
    end
end
%-----
%% Calculation program of pulse number
%-----
num=0;
for r=1:length(sw)-1
    if sw(r)~=sw(r+1)
        num=num+1;
    end
%-----
v11=st2(1)/sqrt(2);
fprintf(' ** V1rms = %e      **\n',v11)
%-----
%-----

```

```

hhh=st2;
hh1=160;
hh2=hhh(2:hh1);
bbb=sqrt(sum(hh2.^2));
thds=(bbb/hhh(1))*100;
fprintf(' ** THDv = %e      **\n',thds)
%-----
hhh1=in;
hh22=hhh1(2:hh1);
bbb1=sqrt(sum(hh22.^2));
thdsi=(bbb1/hhh1(1))*100;
fprintf(' ** THDi = %e      **\n',thdsi)
%-----
athd1=st2;
athd1=rot90(athd1);
athdd=athd1(2:hh1);
annn=(2:hh1);
am11=sqrt(sum((athdd./annn).^2));
am22=(100/athd1(1))*am11;
fprintf(' ** DF1 = %e      **\n',am22)
%-----
bthd1=st2;
bthd1=rot90(bthd1);
bthdd=bthd1(2:hh1);
bnnn=(2:hh1).^2;
bm11=sqrt(sum((bthdd./bnnn).^2));
bm22=(100/bthd1(1))*bm11;
fprintf(' ** DF2 = %e      **\n',bm22)
%-----

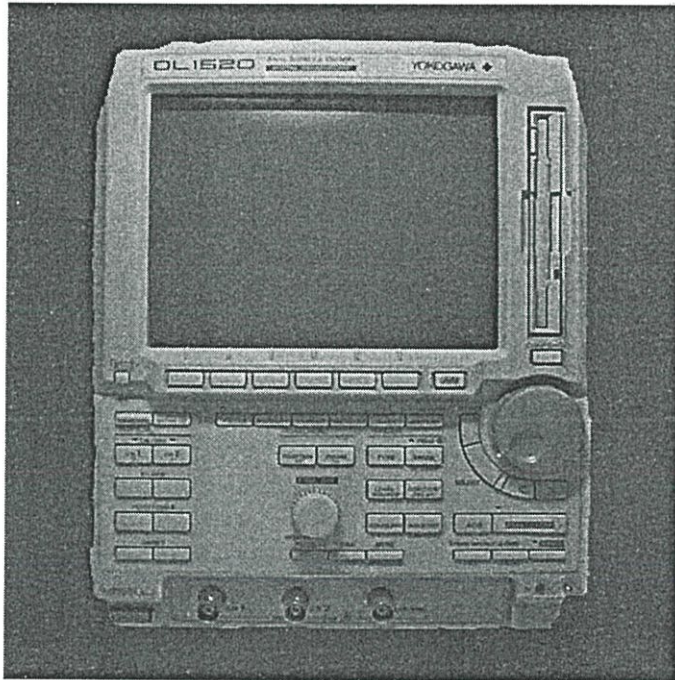
```

ภาคผนวก ค

ข้อมูลเกี่ยวกับเครื่องมือที่ใช้ทดลอง

1) Portable Digital Oscilloscopes

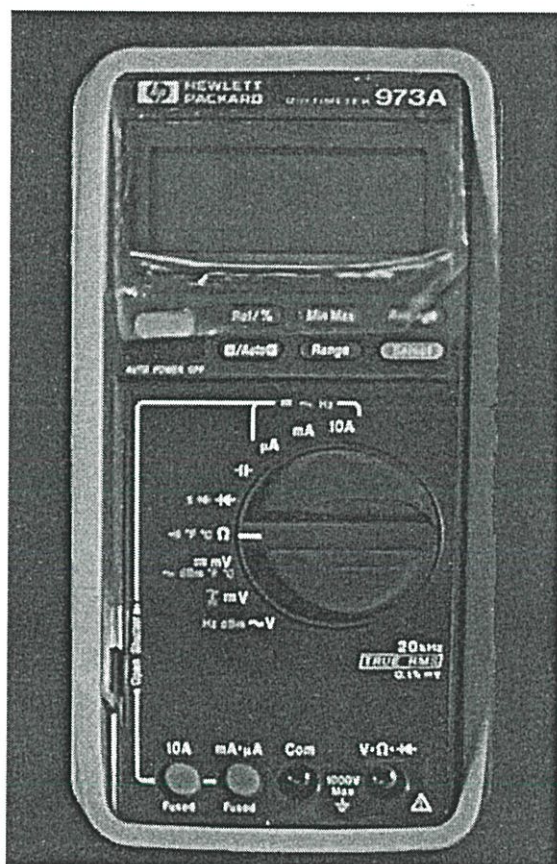
Type	Yokogawa DL1540C/DL1540CL
Maximum sampling Rate	200 MS/s
Analog bandwidth	150 MHz
Vertical resolution	8 bit



รูปที่ ค.1 Digital Oscilloscope ยี่ห้อ YOKOGAWA, 8 bits 200M/s , 150 MHz

2) Digital Multimeter

Type	Hewlett Packard 973A
Voltage Range	AC/DC 0-1000V
Current Range	AC/DC 0-10A
Frequency Range	20 kHz



รูปที่ ค.2 เครื่องมือวัดโวลท์-แอมป์ด้านอินพุท ยี่ห้อ Hewlett Packard 973A

3) Fluke 41B Power Quality Meter

Type	Hewlett Packard 973A
Voltage	5.0 V - 600V rms
Current	1.00 - 1000A
Watts/Volt-Amps	0.0W(VA) – 600 kW
Frequency	6.0 Hz –99.9 Hz



รูปที่ ๓.3 เครื่องมือวัดกำลังงานอินพุท/เอาต์พุทของ Fluke 41B

ภาคผนวก ง

ข้อมูลเกี่ยวกับไอจีบีที IRGPS40B120UD

IRGPS40B120UD

INSULATED GATE BIPOLAR TRANSISTOR WITH
 ULTRAFAST SOFT RECOVERY DIODE

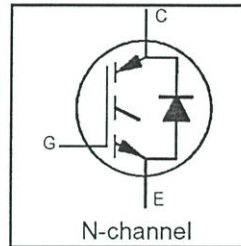
UltraFast Co-Pack IGBT

Features

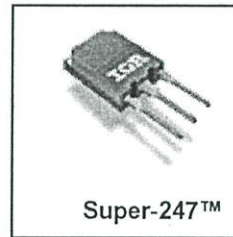
- Non Punch Through IGBT Technology.
- Low Diode VF.
- 10 μ s Short Circuit Capability.
- Square RBSOA.
- Ultrasoft Diode Reverse Recovery Characteristics.
- Positive VCE (on) Temperature Coefficient.
- Super-247 Package.

Benefits

- Benchmark Efficiency for Motor Control.
- Rugged Transient Performance.
- Low EMI.
- Significantly Less Snubber Required
- Excellent Current Sharing in Parallel Operation.



$V_{CES} = 1200V$
$V_{CE(on)} \text{ typ.} = 3.12V$
@ $V_{GE} = 15V,$
$I_{CE} = 40A, T_j = 25^\circ C$



Absolute Maximum Ratings

	Parameter	Max.	Units
V_{CES}	Collector-to-Emitter Voltage	1200	V
$I_C @ T_C = 25^\circ C$	Continuous Collector Current	80	A
$I_C @ T_C = 100^\circ C$	Continuous Collector Current	40	
I_{CM}	Pulsed Collector Current	160	
I_{LM}	Clamped Inductive Load Current	160	
$I_F @ T_C = 25^\circ C$	Diode Continuous Forward Current	80	
$I_F @ T_C = 100^\circ C$	Diode Continuous Forward Current	40	
I_{FM}	Diode Maximum Forward Current	160	V
V_{GE}	Gate-to-Emitter Voltage	± 20	
$P_D @ T_C = 25^\circ C$	Maximum Power Dissipation	595	W
$P_D @ T_C = 100^\circ C$	Maximum Power Dissipation	238	
T_J	Operating Junction and	-55 to +150	$^\circ C$
T_{STG}	Storage Temperature Range		
	Soldering Temperature, for 10 sec.	300 (0.063 in. (1.6mm) from case)	

Thermal Resistance

	Parameter	Min.	Typ.	Max.	Units
$R_{\theta JC}$	Junction-to-Case - IGBT	—	—	0.20	$^\circ C/W$
$R_{\theta JC}$	Junction-to-Case - Diode	—	—	0.83	
$R_{\theta CS}$	Case-to-Sink, flat, greased surface	—	0.24	—	
$R_{\theta JA}$	Junction-to-Ambient, typical socket mount	—	—	40	
	Recommended Clip Force	20 (2)	—	—	N(kgf)
Wt	Weight	—	6.0 (0.21)	—	g (oz)
Le	Internal Emitter Inductance (5mm from package)	—	13	—	nH

IRGPS40B120UD

International
IR RectifierElectrical Characteristics @ $T_J = 25^\circ\text{C}$ (unless otherwise specified)

	Parameter	Min.	Typ.	Max.	Units	Conditions	Ref.Fig.
$V_{(BR)CES}$	Collector-to-Emitter Breakdown Voltage	1200	—	—	V	$V_{GE} = 0V, I_C = 500\mu A$	
$\Delta V_{(BR)CES}/\Delta T_J$	Temperature Coeff. of Breakdown Voltage	—	0.40	—	V/ $^\circ\text{C}$	$V_{GE} = 0V, I_C = 1.0mA, (25^\circ\text{C}-125^\circ\text{C})$	
$V_{CE(on)}$	Collector-to-Emitter Saturation Voltage	—	3.12	3.40	V	$I_C = 40A, V_{GE} = 15V$ $I_C = 50A, I_C = 40A, T_J = 125^\circ\text{C}$ $I_C = 50A, T_J = 125^\circ\text{C}$	5, 6
		—	3.39	3.70			7, 9
		—	3.88	4.30			10
		—	4.24	4.70			11
$V_{GE(th)}$	Gate Threshold Voltage	4.0	5.0	6.0		$V_{CE} = V_{GE}, I_C = 250\mu A$	9,10
$\Delta V_{GE(th)}/\Delta T_J$	Temperature Coeff. of Threshold Voltage	—	-12	—	mV/ $^\circ\text{C}$	$V_{CE} = V_{GE}, I_C = 1.0mA, (25^\circ\text{C}-125^\circ\text{C})$	11, 12
g_{fo}	Forward Transconductance	—	30.5	—	S	$V_{CE} = 50V, I_C = 40A, PW=80\mu s$	
I_{CES}	Zero Gate Voltage Collector Current	—	—	500	μA	$V_{GE} = 0V, V_{CE} = 1200V$	
		—	420	1200		$V_{GE} = 0V, V_{CE} = 1200V, T_J = 125^\circ\text{C}$	
V_{FM}	Diode Forward Voltage Drop	—	2.03	2.40	V	$I_C = 40A$ $I_C = 50A$ $I_C = 40A, T_J = 125^\circ\text{C}$ $I_C = 50A, T_J = 125^\circ\text{C}$	8
		—	2.17	2.60			
		—	2.26	2.68			
		—	2.46	2.95			
I_{GES}	Gate-to-Emitter Leakage Current	—	—	± 100	nA	$V_{GE} = \pm 20V$	

Switching Characteristics @ $T_J = 25^\circ\text{C}$ (unless otherwise specified)

	Parameter	Min.	Typ.	Max.	Units	Conditions	Ref.Fig.
Q_g	Total Gate Charge (turn-on)	—	340	510	nC	$I_C = 40A$ $V_{CC} = 600V$	23
Q_{ge}	Gate - Emitter Charge (turn-on)	—	40	60			CT1
Q_{gc}	Gate - Collector Charge (turn-on)	—	165	248		$V_{GE} = 15V$	
E_{on}	Turn-On Switching Loss	—	1400	1750	μJ	$I_C = 40A, V_{CC} = 600V$ $V_{GE} = 15V, R_G = 4.7\Omega, L = 200\mu H$ $L_s = 150nH, T_J = 25^\circ\text{C}$	CT4
E_{off}	Turn-Off Switching Loss	—	1650	2050			WF1
E_{tot}	Total Switching Loss	—	3050	3800	μJ	Energy losses include "tail" and diode reverse recovery. $T_J = 125^\circ\text{C}$	WF2
E_{on}	Turn-On Switching Loss	—	1950	2300			13,15
E_{off}	Turn-Off Switching Loss	—	2200	2950			
E_{tot}	Total Switching Loss	—	4150	5250			
$t_{d(on)}$	Turn-On Delay Time	—	76	99	ns	$I_C = 40A, V_{CC} = 600V$ $V_{GE} = 15V, R_G = 4.7\Omega, L = 200\mu H$ $L_s = 150nH, T_J = 125^\circ\text{C}$	14, 16
t_r	Rise Time	—	39	55			CT4
$t_{d(off)}$	Turn-Off Delay Time	—	332	365			WF1
t_f	Fall Time	—	25	33			WF2
C_{ies}	Input Capacitance	—	4300	—	pF	$V_{GE} = 0V$ $V_{CC} = 30V$ $f = 1.0MHz$	22
C_{oes}	Output Capacitance	—	330	—			
C_{res}	Reverse Transfer Capacitance	—	160	—			
RBSOA	Reverse Bias Safe Operating Area	FULL SQUARE				$T_J = 150^\circ\text{C}, I_C = 160A, V_p = 1200V$ $V_{CC} = 1000V, V_{GE} = +15V \text{ to } 0V$ $R_G = 4.7\Omega$	4 CT2
SCSOA	Short Circuit Safe Operating Area	10	—	—	μs	$T_J = 150^\circ\text{C}, V_p = 1200V$ $V_{CC} = 900V, V_{GE} = +15V \text{ to } 0V,$ $R_G = 4.7\Omega$	CT3 WF4
E_{rec}	Reverse Recovery energy of the diode	—	3346	—	μJ	$T_J = 125^\circ\text{C}$	17,18,19
t_{rr}	Diode Reverse Recovery time	—	180	—	ns	$V_{CC} = 600V, I_F = 60A, L = 200\mu H$	20, 21
I_{rr}	Diode Peak Reverse Recovery Current	—	50	—	A	$V_{GE} = 15V, R_G = 4.7\Omega, L_s = 150nH$	CT4, WF3

IRGPS40B120UD

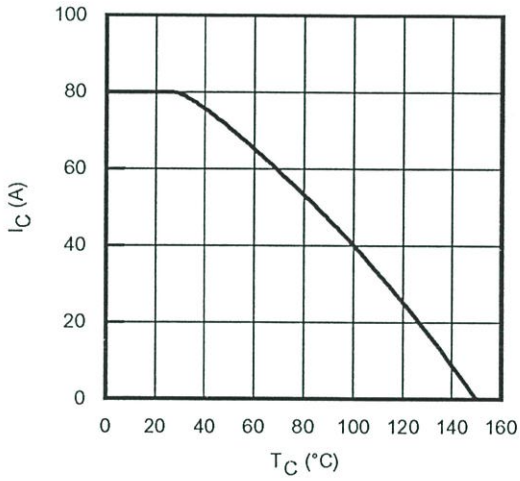


Fig. 1 - Maximum DC Collector Current vs. Case Temperature

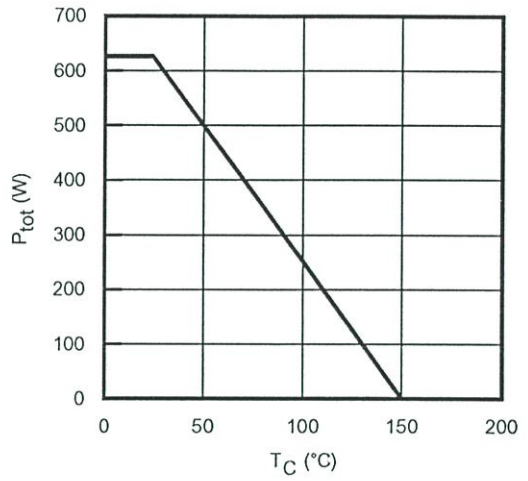


Fig. 2 - Power Dissipation vs. Case Temperature

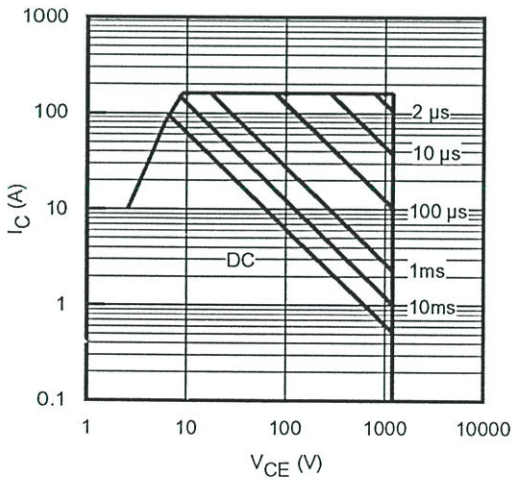


Fig. 3 - Forward SOA
 $T_C = 25^\circ\text{C}; T_{JS} \leq 150^\circ\text{C}$

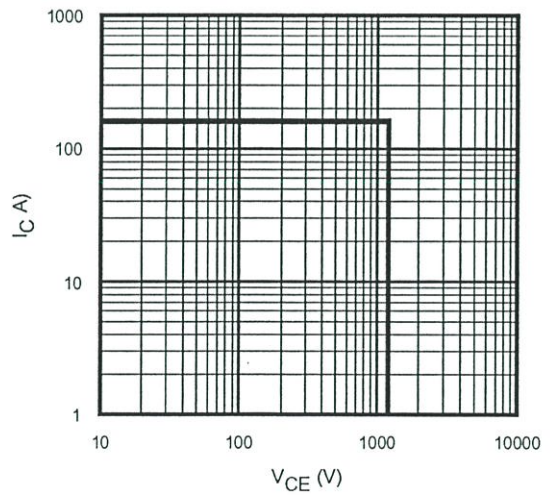


Fig. 4 - Reverse Bias SOA
 $T_J = 150^\circ\text{C}; V_{GE} = 15\text{V}$

IRGPS40B120UD

International
IR Rectifier

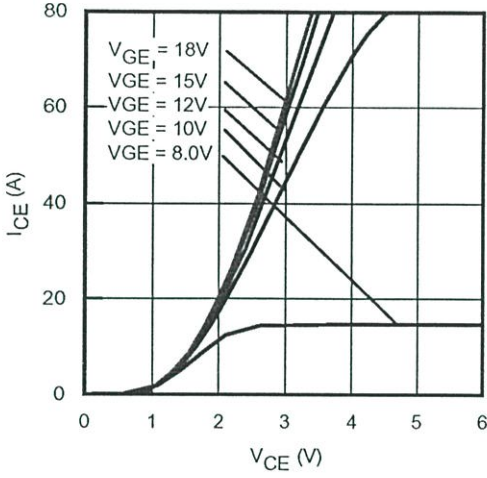


Fig. 5 - Typ. IGBT Output Characteristics
 $T_J = -40^\circ\text{C}$; $t_p = 80\mu\text{s}$

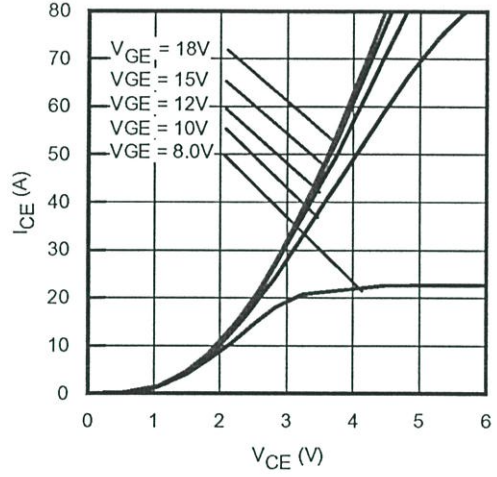


Fig. 6 - Typ. IGBT Output Characteristics
 $T_J = 25^\circ\text{C}$; $t_p = 80\mu\text{s}$

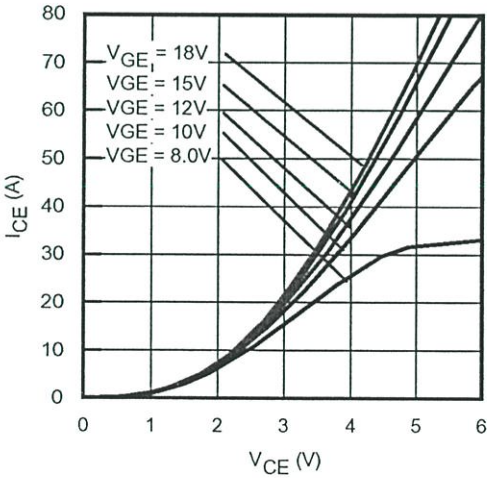


Fig. 7 - Typ. IGBT Output Characteristics
 $T_J = 125^\circ\text{C}$; $t_p = 80\mu\text{s}$

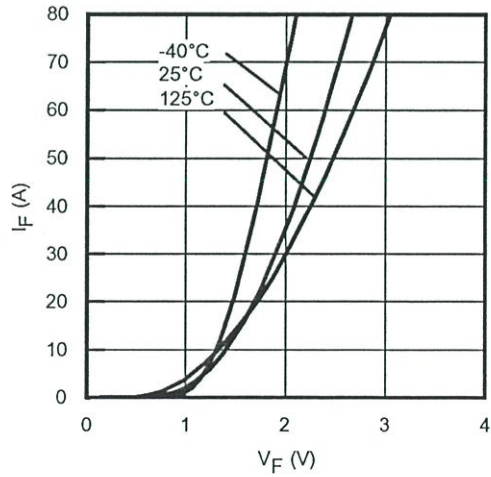


Fig. 8 - Typ. Diode Forward Characteristics
 $t_p = 80\mu\text{s}$

IRGPS40B120UD

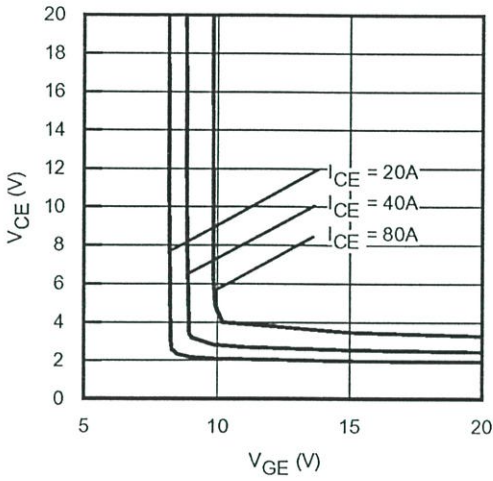


Fig. 9 - Typical V_{CE} vs. V_{GE}
 $T_J = -40^\circ\text{C}$

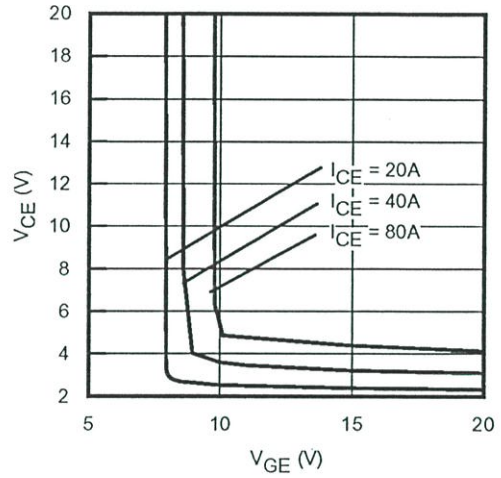


Fig. 10 - Typical V_{CE} vs. V_{GE}
 $T_J = 25^\circ\text{C}$

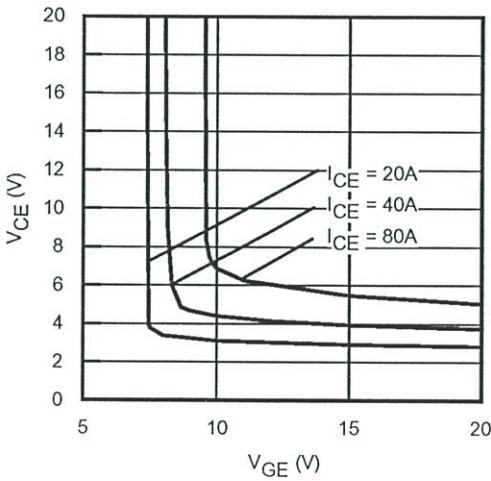


Fig. 11 - Typical V_{CE} vs. V_{GE}
 $T_J = 125^\circ\text{C}$

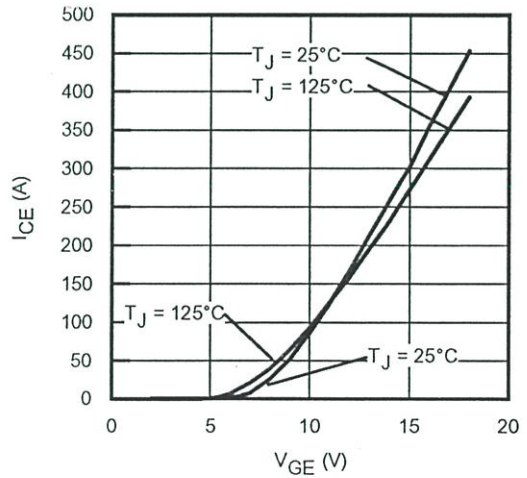


Fig. 12 - Typ. Transfer Characteristics
 $V_{CE} = 50\text{V}$; $t_p = 10\mu\text{s}$

IRGPS40B120UD

International
IR Rectifier

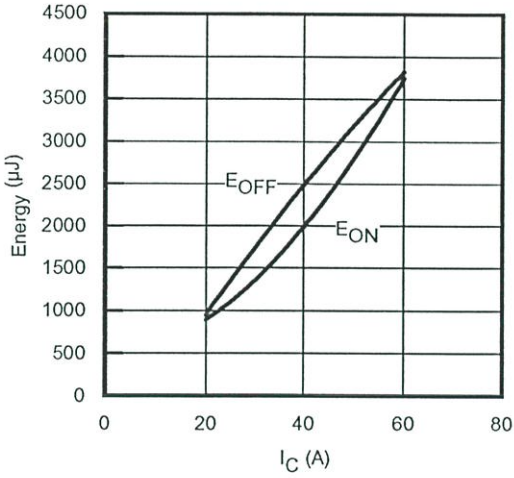


Fig. 13 - Typ. Energy Loss vs. IC
 $T_J = 125^\circ\text{C}; L=200\mu\text{H}; V_{CE}= 600\text{V}$
 $R_G = 4.7\Omega; V_{GE}= 15\text{V}$

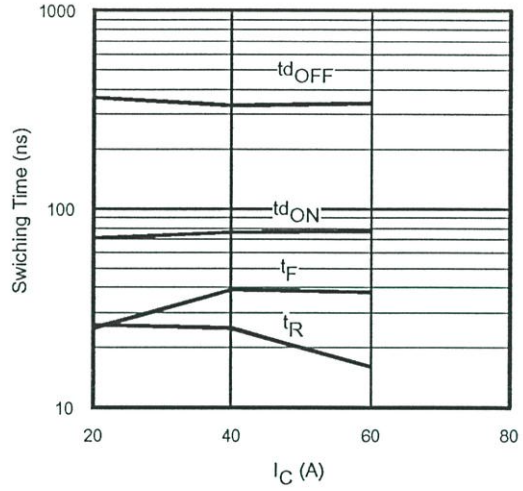


Fig. 14 - Typ. Switching Time vs. IC
 $T_J = 125^\circ\text{C}; L=200\mu\text{H}; V_{CE}= 600\text{V}$
 $R_G = 4.7\Omega; V_{GE}= 15\text{V}$

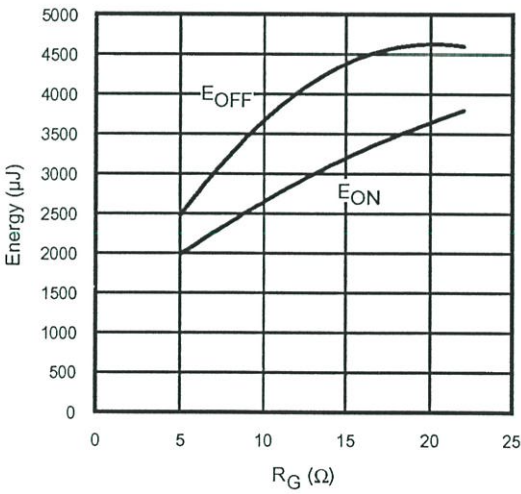


Fig. 15 - Typ. Energy Loss vs. RG
 $T_J = 125^\circ\text{C}; L=200\mu\text{H}; V_{CE}= 600\text{V}$
 $I_{CE}= 40\text{A}; V_{GE}= 15\text{V}$

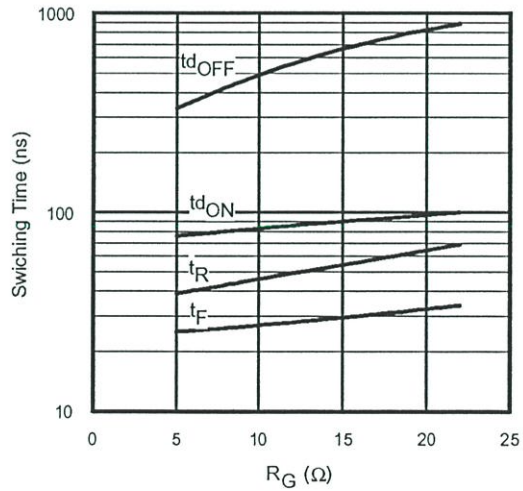


Fig. 16 - Typ. Switching Time vs. RG
 $T_J = 125^\circ\text{C}; L=200\mu\text{H}; V_{CE}= 600\text{V}$
 $I_{CE}= 40\text{A}; V_{GE}= 15\text{V}$

IRGPS40B120UD

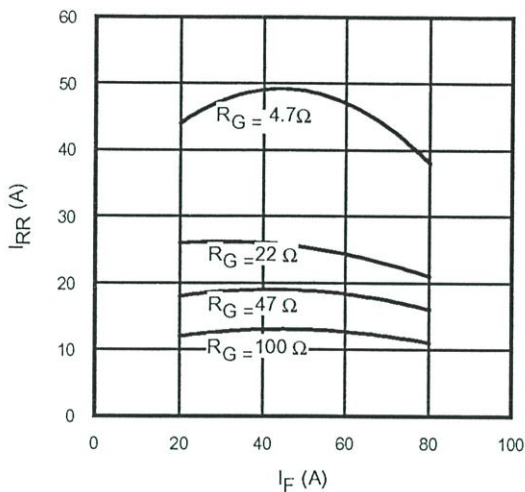


Fig. 17 - Typical Diode I_{RR} vs. I_F
 $T_J = 125^\circ\text{C}$

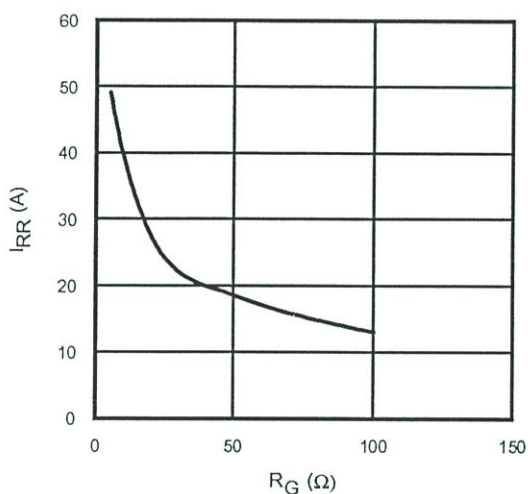


Fig. 18 - Typical Diode I_{RR} vs. R_G
 $T_J = 125^\circ\text{C}; I_F = 40\text{A}$

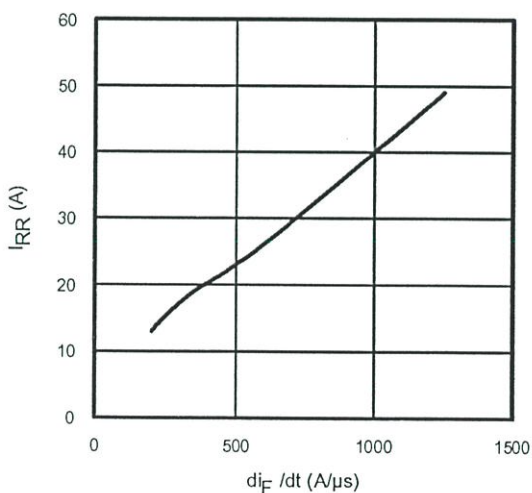


Fig. 19- Typical Diode I_{RR} vs. di_F/dt
 $V_{CC} = 600\text{V}; V_{GE} = 15\text{V};$
 $I_{CE} = 40\text{A}; T_J = 125^\circ\text{C}$

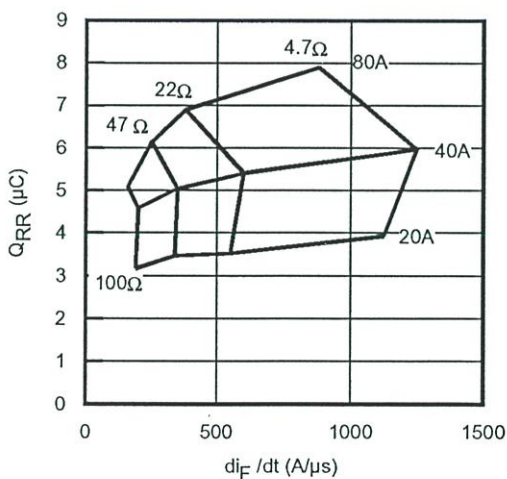


Fig. 20 - Typical Diode Q_{RR}
 $V_{CC} = 600\text{V}; V_{GE} = 15\text{V}; T_J = 125^\circ\text{C}$

IRGPS40B120UD

International
IR Rectifier

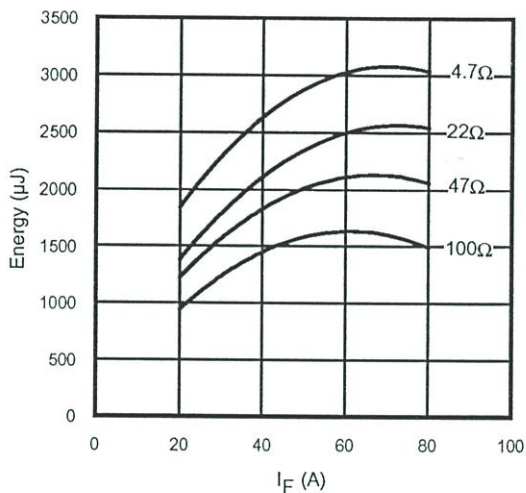


Fig. 21 - Typical Diode E_{RR} vs. I_F
 $T_J = 125^\circ\text{C}$

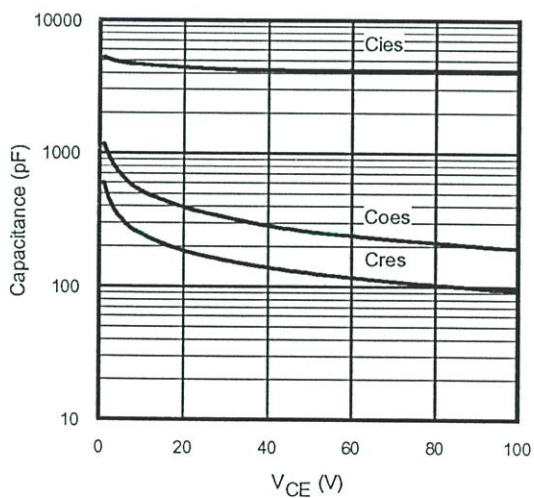


Fig. 22- Typ. Capacitance vs. V_{CE}
 $V_{GE} = 0V$; $f = 1\text{MHz}$

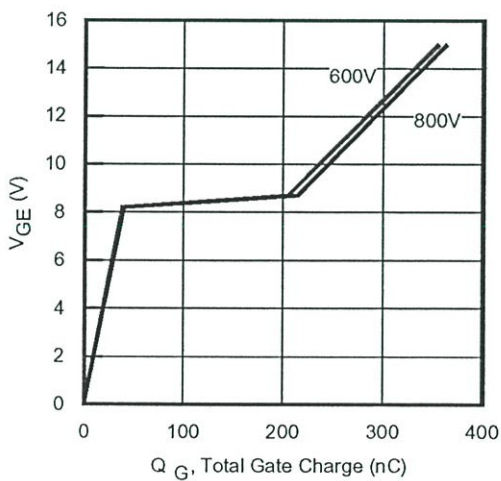


Fig. 23 - Typical Gate Charge vs. V_{GE}
 $I_{CE} = 40A$; $L = 600\mu\text{H}$

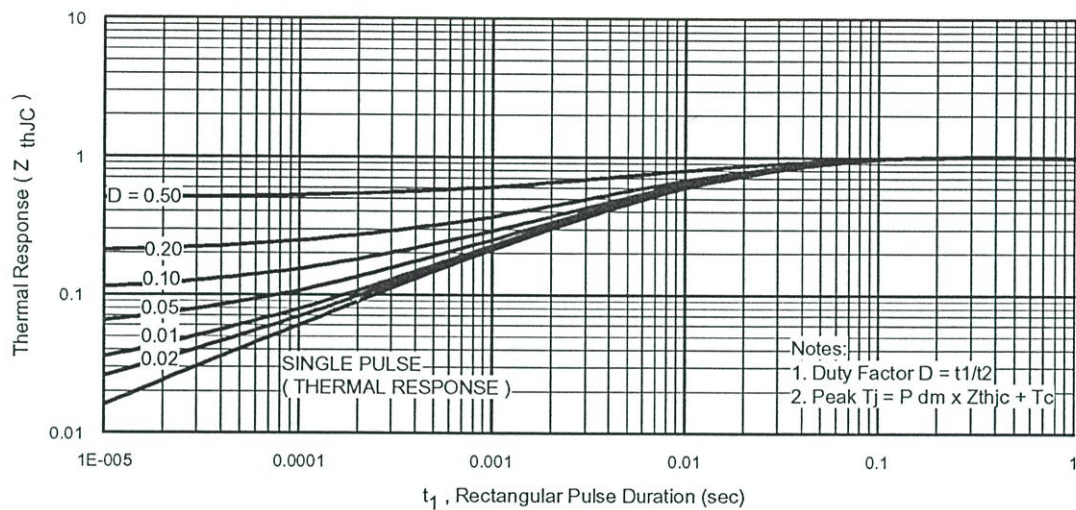


Fig 24. Normalized Transient Thermal Impedance, Junction-to-Case (IGBT)

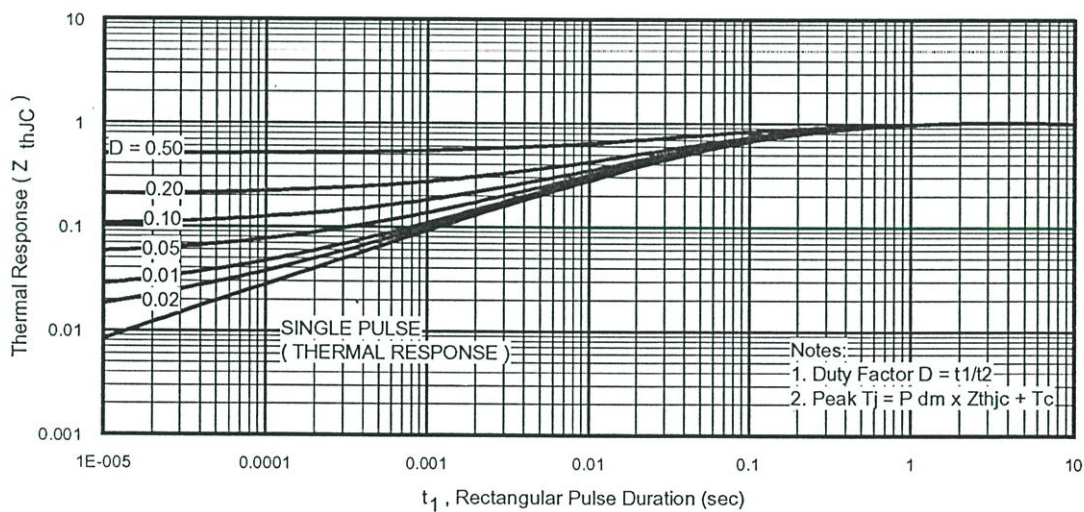


Fig 25. Normalized Transient Thermal Impedance, Junction-to-Case (DIODE)

IRGPS40B120UD

International
IR Rectifier

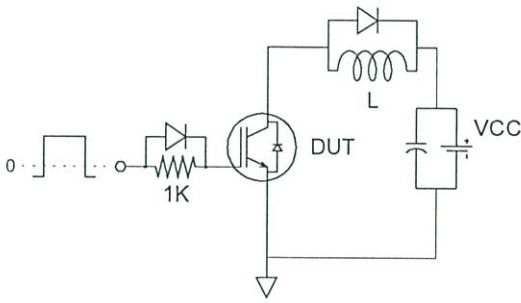


Fig.C.T.1 - Gate Charge Circuit (turn-on)

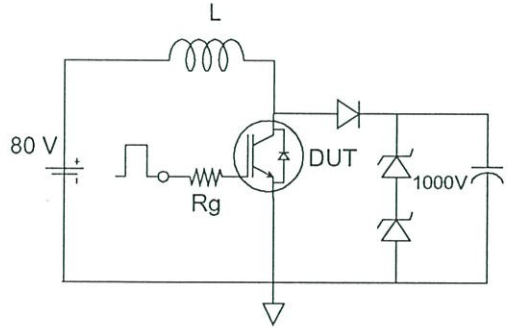


Fig.C.T.2 - RBSOA Circuit

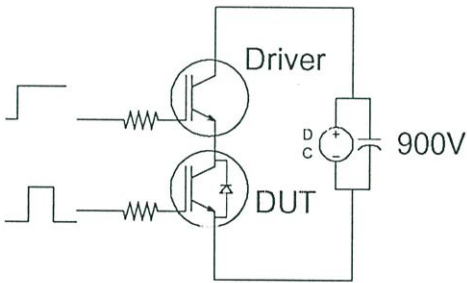


Fig.C.T.3 - RBSOA Circuit

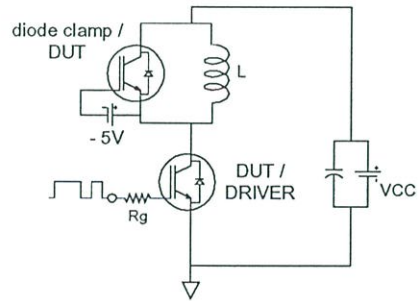


Fig.C.T.4 - RBSOA Circuit

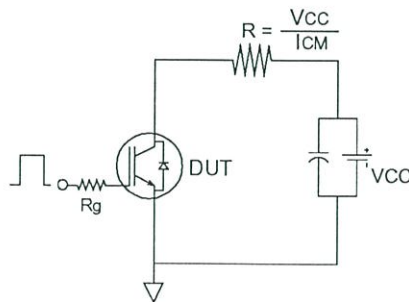


Fig.C.T.5 - RBSOA Circuit

IRGPS40B120UD

Fig. WF.1 - Typ. Turn-off Loss Waveform
 @ $T_j=125^\circ\text{C}$ using Fig. CT.4

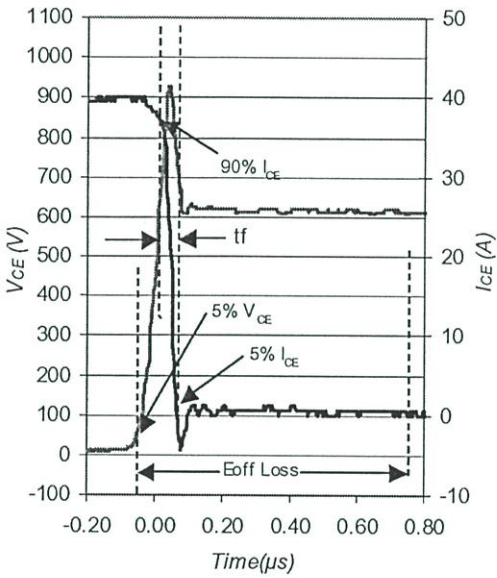


Fig. WF.2 - Typ. Turn-on Loss Waveform
 @ $T_j=125^\circ\text{C}$ using Fig. CT.4

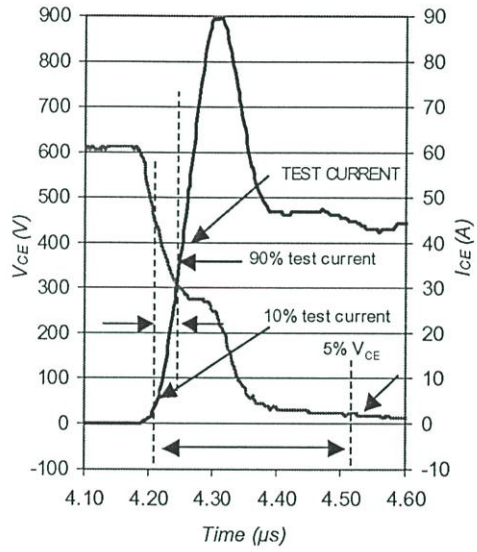


Fig. WF.3 - Typ. Diode Recovery Waveform
 @ $T_j=125^\circ\text{C}$ using Fig. CT.4

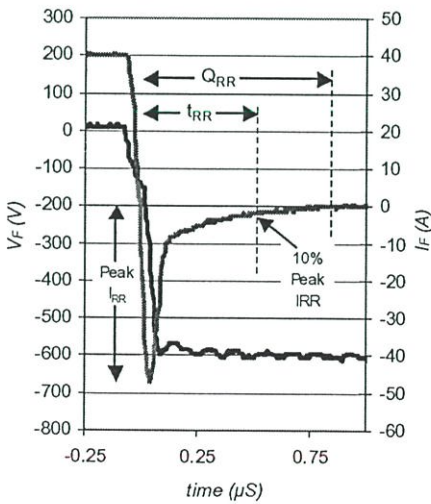
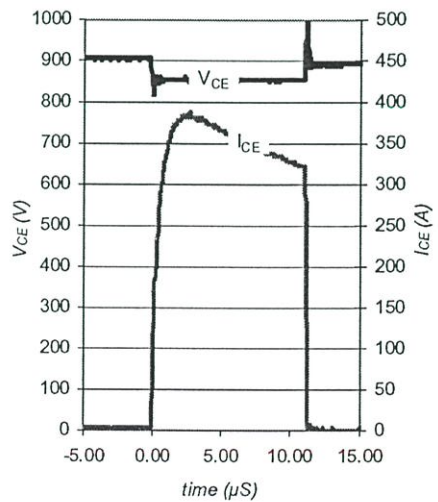


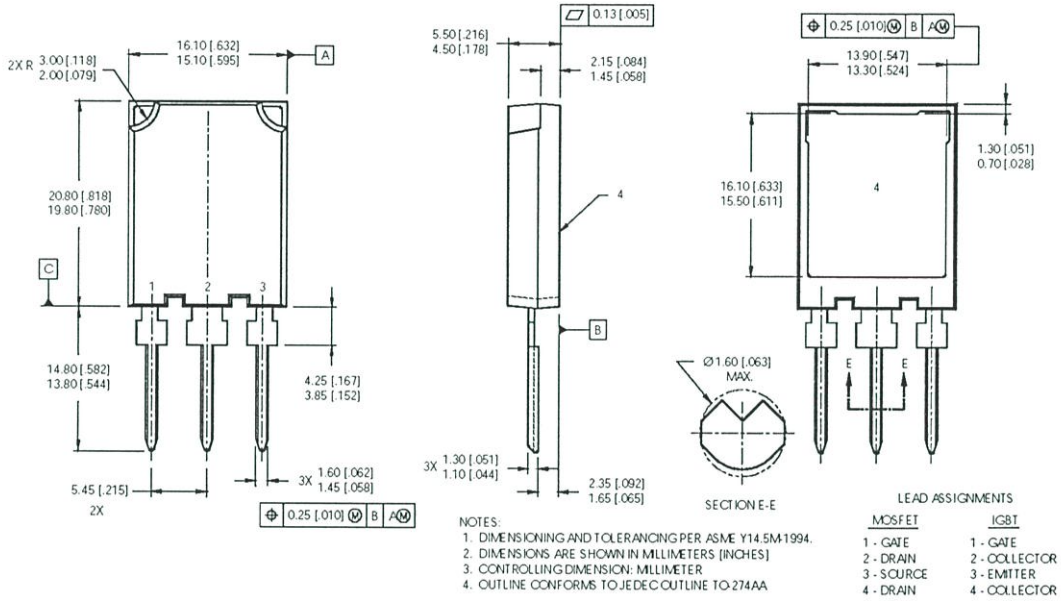
Fig. WF.4 - Typ. S.C. Waveform
 @ $T_C=150^\circ\text{C}$ using Fig. CT.3



IRGPS40B120UD

International
IR Rectifier

Super-247™ Package Outline



Data and specifications subject to change without notice.
This product has been designed and qualified for the industrial market.
Qualification Standards can be found on IR's Web site.

International
IR Rectifier

IR WORLD HEADQUARTERS: 233 Kansas St., El Segundo, California 90245, USA Tel: (310) 252-7105
TAC Fax: (310) 252-7903

Visit us at www.irf.com for sales contact information.01/02

www.irf.com

ประวัติผู้เขียน

นายคมสัน กลีบบัว เกิดเมื่อวันที่ 3 กันยายน 2516 ที่จังหวัดกรุงเทพฯ สำเร็จการศึกษาวิศวกรรมศาสตร์บัณฑิต สาขาวิศวกรรมไฟฟ้า จากมหาวิทยาลัยสยาม ปีการศึกษา 2538

ปี พ.ศ. 2539 เข้าทำงานบริษัทสุขสันต์พลาสติก ตำแหน่งวิศวกรไฟฟ้า และในปี พ.ศ. 2544 ทำงานที่บริษัท เทเลเซนเนอร์ (ประเทศไทย) จำกัด ตำแหน่งหัวหน้าควบคุมวิศวกรไฟฟ้า

ปัจจุบันเข้าทำงานบริษัทสยาม อินเทอร์เน็ตเซ็นแนล อินดซ์ทรี เซอร์วิส จำกัด ตำแหน่งหัวหน้าวิศวกรไฟฟ้า